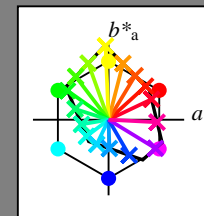


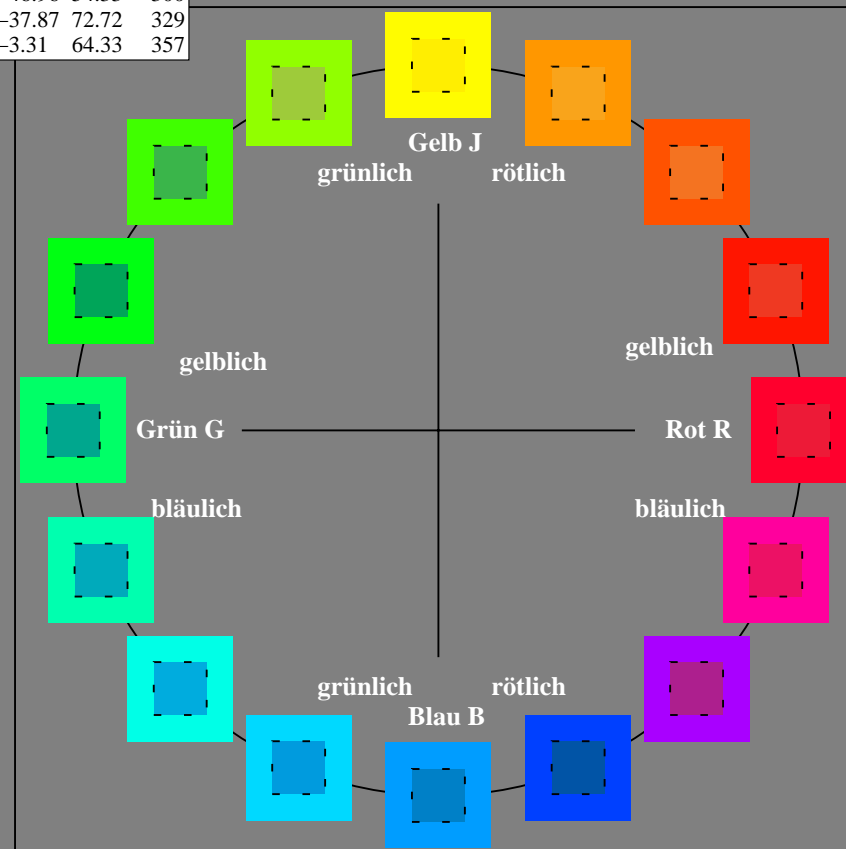
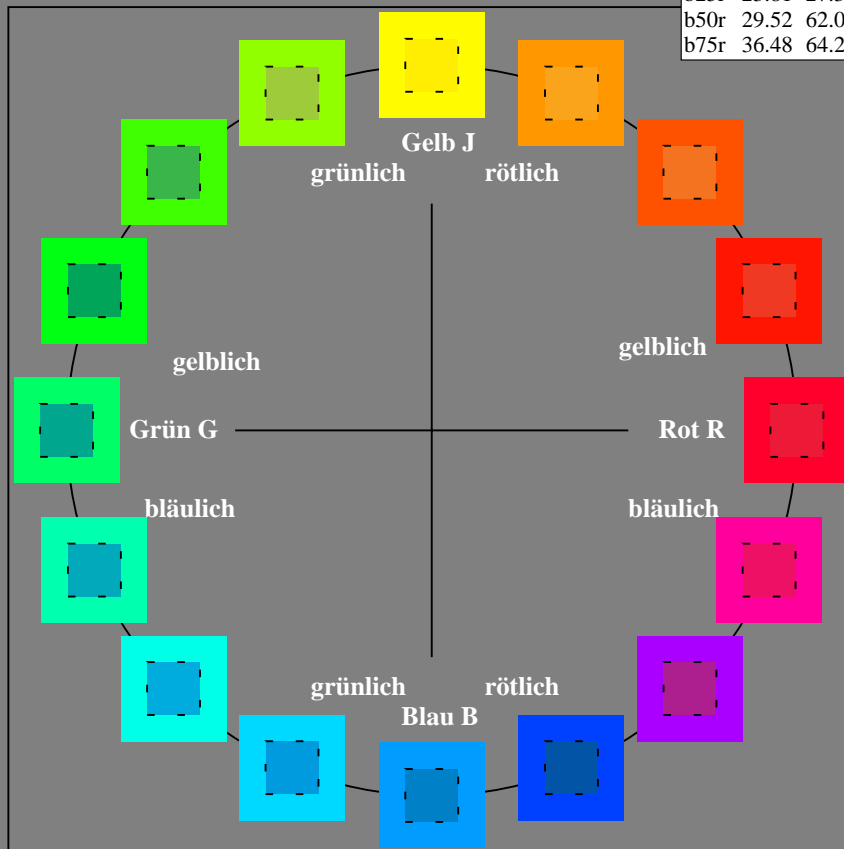
Ein und Ausgabe:
Farbmetrisches Drucker-Reflektiv-System FRS15_90a
Daten für jede Farbe:
 $lab^{*}ch^{*}$ und $lab^{*}icu^{*}$
Elementar-Bunttontext:
 $u^{*} = 16$ Bunttöne $r00j$, $r25j$, ..., $b75r$
Kontrastreduzierungsfaktor:
 $c_R = 0.9$

FRS15_90a; adaptierte CIELAB-Daten					
	$L^{*}=L^{*}_a$	a^{*}_a	b^{*}_a	$C^{*}_{ab,a}$	$h^{*}_{ab,a}$
r00j	35.47	56.92	27.12	63.05	25
r25j	39.12	49.04	44.45	66.19	42
r50j	50.64	35.19	58.33	68.13	59
r75j	64.01	19.11	74.45	76.87	76
j00g	83.18	-3.93	97.56	97.64	92
j25g	66.73	-26.86	74.66	79.35	110
j50g	54.03	-43.42	57.07	71.71	127
j75g	44.73	-54.21	38.33	66.4	145
g00b	47.59	-44.11	14.14	46.33	162
g25b	49.97	-35.68	-6.03	36.19	190
g50b	51.85	-29.05	-21.88	36.38	217
g75b	46.92	-15.53	-32.37	35.92	244
b00r	37.91	1.15	-38.05	38.08	272
b25r	23.81	27.31	-46.96	54.33	300
b50r	29.52	62.07	-37.87	72.72	329
b75r	36.48	64.24	-3.31	64.33	357



%Umfang
 $u^{*}_{rel} = 88$
%Regularität
 $g^{*}_{H,rel} = 31$
 $g^{*}_{C,rel} = 40$

FRS15_90a; adaptierte CIELAB-Daten					
	$L^{*}=L^{*}_a$	a^{*}_a	b^{*}_a	$C^{*}_{ab,a}$	$h^{*}_{ab,a}$
OMa	35.06	53.93	39.55	66.88	36
YMa	83.77	-4.63	98.26	98.37	93
LMa	44.13	-56.32	43.36	71.09	142
CMa	52.66	-26.18	-28.74	38.89	228
VMa	14.15	45.22	-53.06	69.72	310
MMa	37.37	70.69	-30.1	76.83	337
NMa	15.0	0.0	0.0	0.0	0
WMa	90.0	0.0	0.0	0.0	0
RCIE	39.92	58.74	27.99	65.07	25
JCIE	81.26	-2.88	71.56	71.62	92
GCIE	52.23	-42.41	13.6	44.55	162
BCIE	30.57	1.41	-46.46	46.49	272



Ein und Ausgabe: Farbmétrisches Drucker-Reflektiv-System FRS15_90a für relativen CIELAB-Buntton $h^* = \text{lab}^*h^* = h_{ab}/360 = 25/360 = 0.071$

Daten für jede Farbe:

*lab*tch** und *lab*icu**

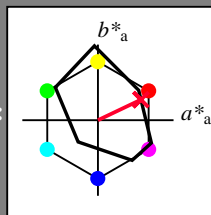
Elementar-Bunttontext:

$$u^* = r00j$$

Kontrastreduzierungsfaktor:

 $c_R = 0.9$

Dreiecks-Helligkeit t^*



FRS15 90a; adaptierte CIELAB-Daten						
	$L^* = L_a^*$	a^*_a	b^*_a	$C^*_{ab,a}$	$h^*_{ab,a}$	
O _{Ma}	35.06	53.93	39.55	66.88	36	
Y _{Ma}	83.77	-4.63	98.26	98.37	93	
L _{Ma}	44.13	-56.32	43.36	71.09	142	
C _{Ma}	52.66	-26.18	-28.74	38.89	228	
V _{Ma}	14.15	45.22	-53.06	69.72	310	
M _{Ma}	37.37	70.69	-30.1	76.83	337	
N _{Ma}	15.0	0.0	0.0	0.0	0	
W _{Ma}	90.0	0.0	0.0	0.0	0	
R _{CIE}	39.92	58.74	27.99	65.07	25	
J _{CIE}	81.26	-2.88	71.56	71.62	92	
G _{CIE}	52.23	-42.41	13.6	44.55	162	
B _{CIE}	30.57	1.41	-46.46	46.49	272	

Daten für Maximalfarbe (Ma):

*LAB*LAB*Mo: 35 57 27*

LAD*LCU* 35 63 25

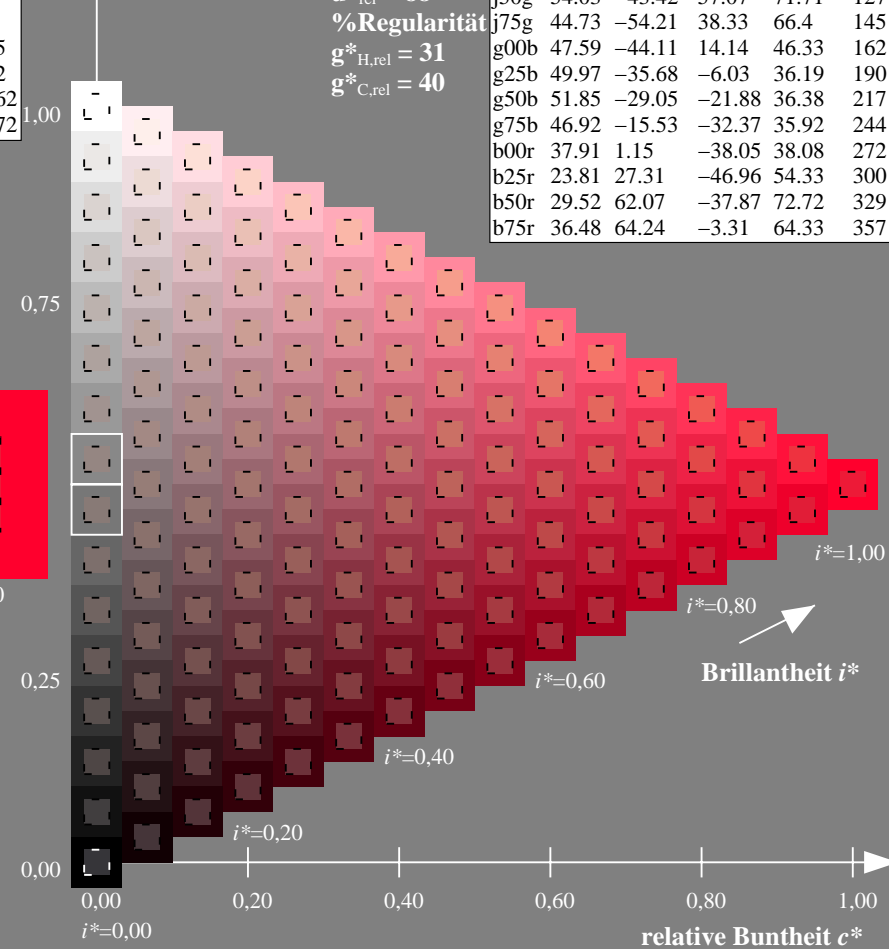
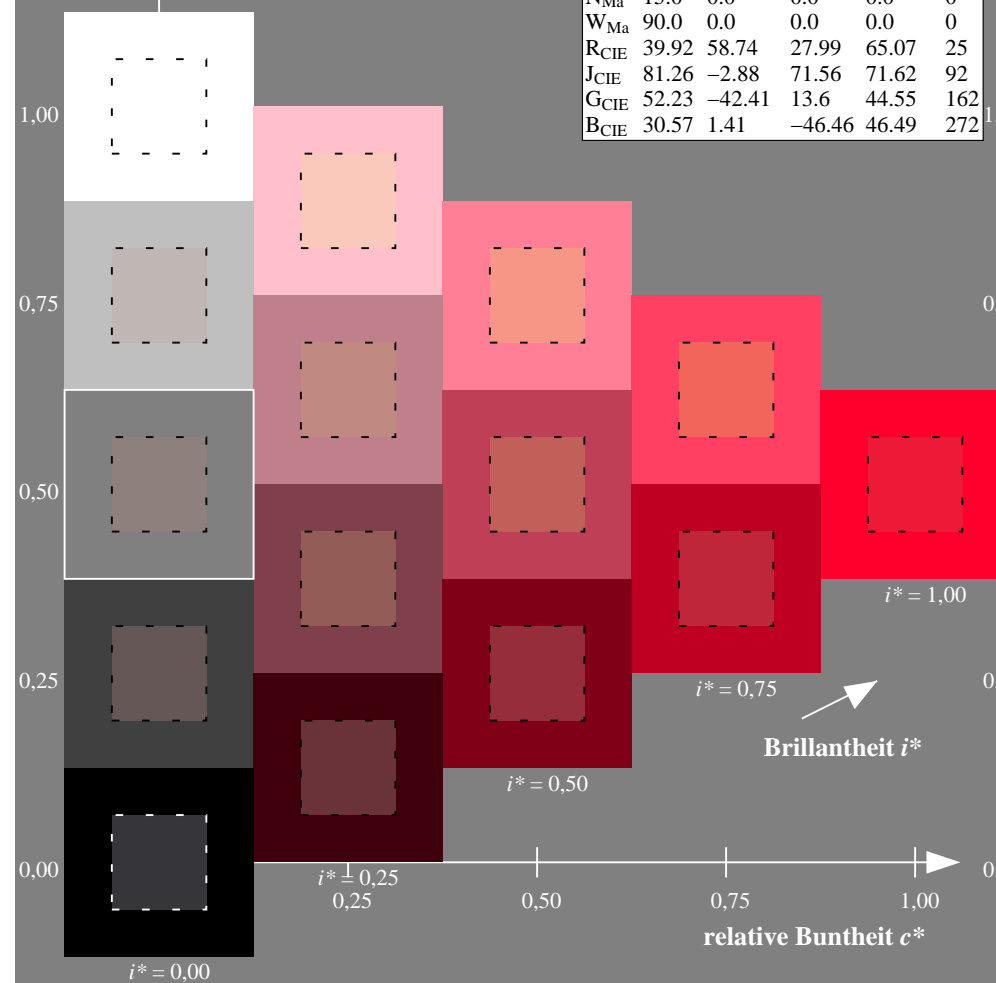
LAB*LCH*Ma: 35 63 23

*lab*rgb*_Ma: 1.0 0.0 0.0*

*lab*olv**_{Ma}: 1.0 0.0 0.18

Dreiecks-Helligkeit t^*

FRS15_90a; adaptierte CIELAB-Daten					
	$L^* = L^*_a$	a^*_a	b^*_a	$C^*_{ab,a}$	$h^*_{ab,a}$
r00j	35.47	56.92	27.12	63.05	25
r25j	39.12	49.04	44.45	66.19	42
r50j	50.64	35.19	58.33	68.13	59
r75j	64.01	19.11	74.45	76.87	76
j00g	83.18	-3.93	97.56	97.64	92
j25g	66.73	-26.86	74.66	79.35	110
j50g	54.03	-43.42	57.07	71.71	127
j75g	44.73	-54.21	38.33	66.4	145
g00b	47.59	-44.11	14.14	46.33	162
g25b	49.97	-35.68	-6.03	36.19	190
g50b	51.85	-29.05	-21.88	36.38	217
g75b	46.92	-15.53	-32.37	35.92	244
b00r	37.91	1.15	-38.05	38.08	272
b25r	23.81	27.31	-46.96	54.33	300
b50r	29.52	62.07	-37.87	72.72	329
b75r	36.48	64.24	-3.31	64.33	357



Ein und Ausgabe: Farbmetrisches Drucker-Reflektiv-System FRS15_90a für relativen CIELAB-Buntton $h^* = lab^*h^* = h_{ab}/360 = 42/360 = 0.117$

Daten für jede Farbe:

lab^*ch^* und lab^*icu^*

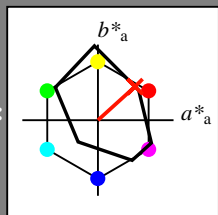
Elementar-Bunttontext:

$u^* = r25j$

Kontrastreduzierungsfaktor:

$c_R = 0.9$

Dreiecks-Helligkeit t^*



FRS15_90a; adaptierte CIELAB-Daten

	$L^*=L_a^*$	a_a^*	b_a^*	$C_{ab,a}^*$	$h_{ab,a}^*$
O _{Ma}	35.06	53.93	39.55	66.88	36
Y _{Ma}	83.77	-4.63	98.26	98.37	93
L _{Ma}	44.13	-56.32	43.36	71.09	142
C _{Ma}	52.66	-26.18	-28.74	38.89	228
V _{Ma}	14.15	45.22	-53.06	69.72	310
M _{Ma}	37.37	70.69	-30.1	76.83	337
N _{Ma}	15.0	0.0	0.0	0.0	0
W _{Ma}	90.0	0.0	0.0	0.0	0
R _{CIE}	39.92	58.74	27.99	65.07	25
J _{CIE}	81.26	-2.88	71.56	71.62	92
G _{CIE}	52.23	-42.41	13.6	44.55	162
B _{CIE}	30.57	1.41	-46.46	46.49	272

Daten für Maximalfarbe (Ma):

$LAB^*LAB^*_{Ma}$: 39 49 44

$LAB^*LCH^*_{Ma}$: 39 66 42

$lab^*rgb^*_{Ma}$: 1.0 0.25 0.0

$lab^*olv^*_{Ma}$: 1.0 0.08 0.0

Dreiecks-Helligkeit t^*

%Umfang

$u^*_{rel} = 88$

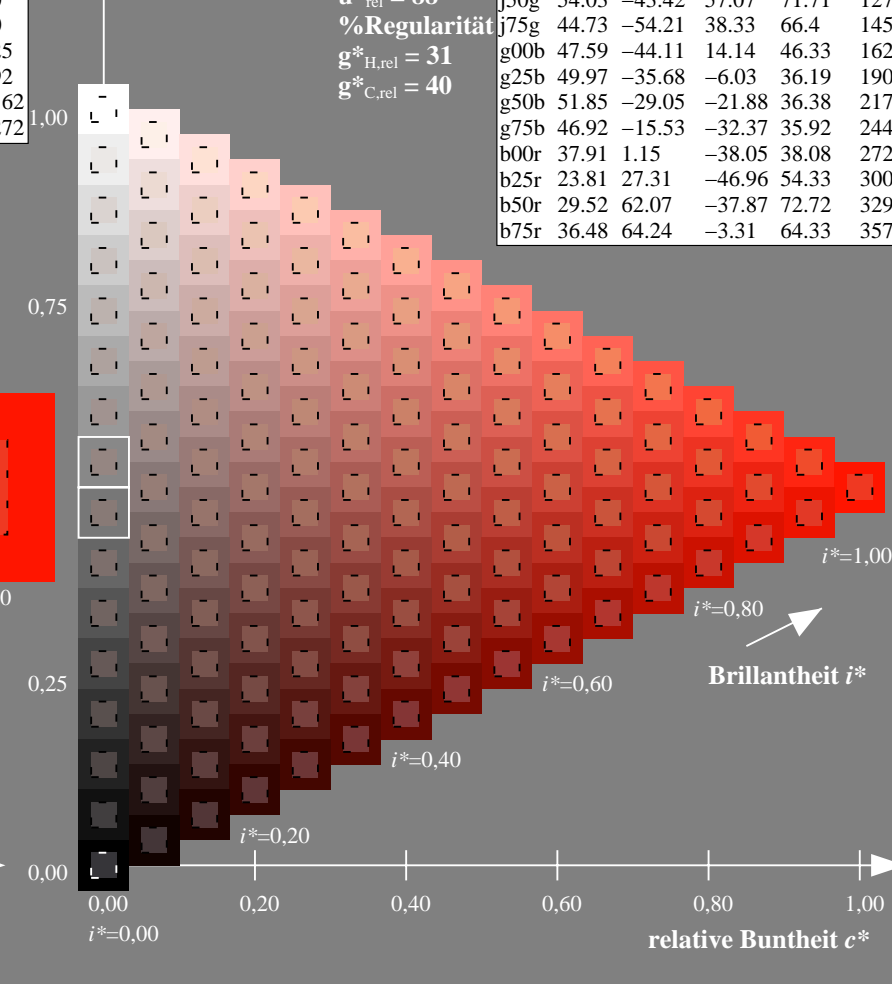
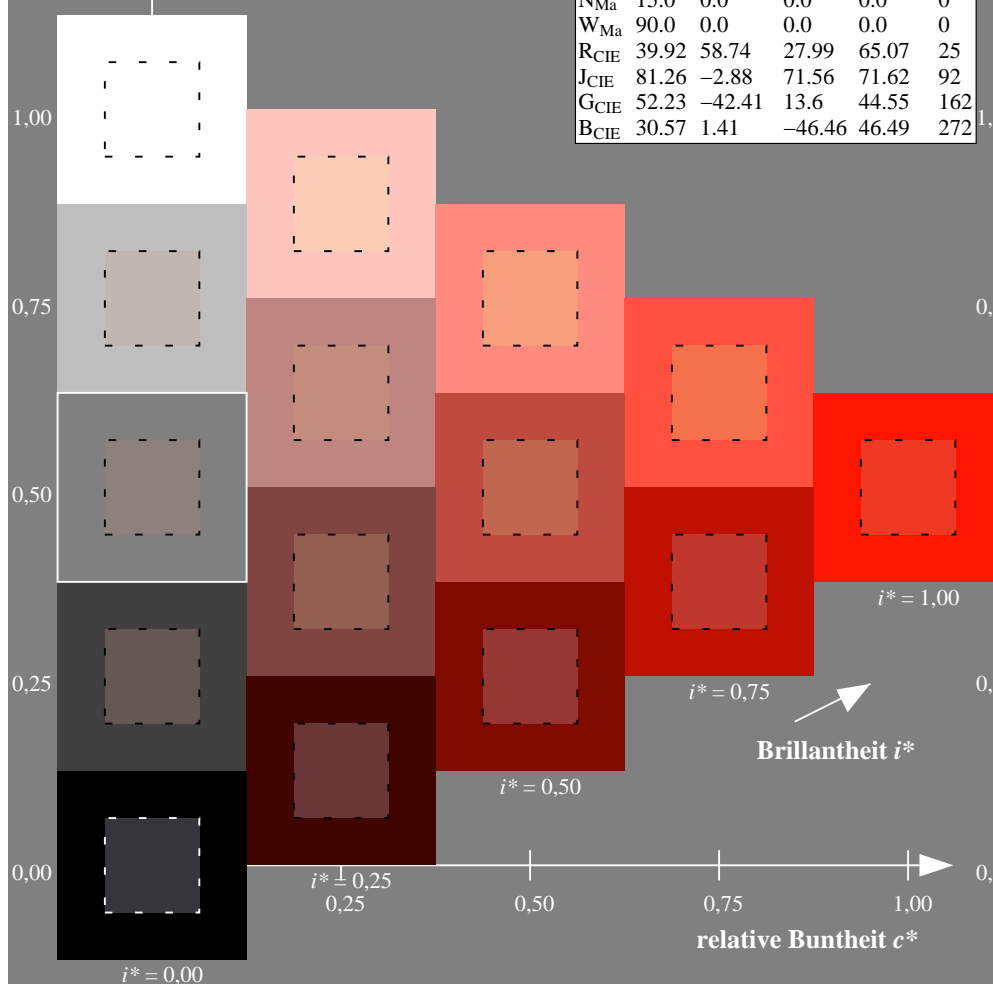
%Regularität

$g^*_{H,rel} = 31$

$g^*_{C,rel} = 40$

FRS15_90a; adaptierte CIELAB-Daten

	$L^*=L_a^*$	a_a^*	b_a^*	$C_{ab,a}^*$	$h_{ab,a}^*$
r00j	35.47	56.92	27.12	63.05	25
r25j	39.12	49.04	44.45	66.19	42
r50j	50.64	35.19	58.33	68.13	59
r75j	64.01	19.11	74.45	76.87	76
j00g	83.18	-3.93	97.56	97.64	92
j25g	66.73	-26.86	74.66	79.35	110
j50g	54.03	-43.42	57.07	71.71	127
j75g	44.73	-54.21	38.33	66.4	145
g00b	47.59	-44.11	14.14	46.33	162
g25b	49.97	-35.68	-6.03	36.19	190
g50b	51.85	-29.05	-21.88	36.38	217
g75b	46.92	-15.53	-32.37	35.92	244
b00r	37.91	1.15	-38.05	38.08	272
b25r	23.81	27.31	-46.96	54.33	300
b50r	29.52	62.07	-37.87	72.72	329
b75r	36.48	64.24	-3.31	64.33	357



Ein und Ausgabe: Farbmetrisches Drucker-Reflektiv-System FRS15_90a für relativen CIELAB-Buntton $h^* = lab^*h^* = h_{ab}/360 = 59/360 = 0.164$

Daten für jede Farbe:

lab^*ch^* und lab^*icu^*

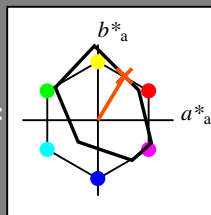
Elementar-Bunttontext:

$u^* = r50j$

Kontrastreduzierungsfaktor:

$c_R = 0.9$

Dreiecks-Helligkeit i^*



FRS15_90a; adaptierte CIELAB-Daten

	$L^*=L_a^*$	a_a^*	b_a^*	$C^*_{ab,a}$	$h^*_{ab,a}$
O _{Ma}	35.06	53.93	39.55	66.88	36
Y _{Ma}	83.77	-4.63	98.26	98.37	93
L _{Ma}	44.13	-56.32	43.36	71.09	142
C _{Ma}	52.66	-26.18	-28.74	38.89	228
V _{Ma}	14.15	45.22	-53.06	69.72	310
M _{Ma}	37.37	70.69	-30.1	76.83	337
N _{Ma}	15.0	0.0	0.0	0.0	0
W _{Ma}	90.0	0.0	0.0	0.0	0
R _{CIE}	39.92	58.74	27.99	65.07	25
J _{CIE}	81.26	-2.88	71.56	71.62	92
G _{CIE}	52.23	-42.41	13.6	44.55	162
B _{CIE}	30.57	1.41	-46.46	46.49	272

Daten für Maximalfarbe (Ma):

$LAB^*LAB^*_{Ma}$: 51 35 58

$LAB^*LCH^*_{Ma}$: 51 68 59

$lab^*rgb^*_{Ma}$: 1.0 0.5 0.0

$lab^*olv^*_{Ma}$: 1.0 0.32 0.0

Dreiecks-Helligkeit i^*

%Umfang

$u^*_{rel} = 88$

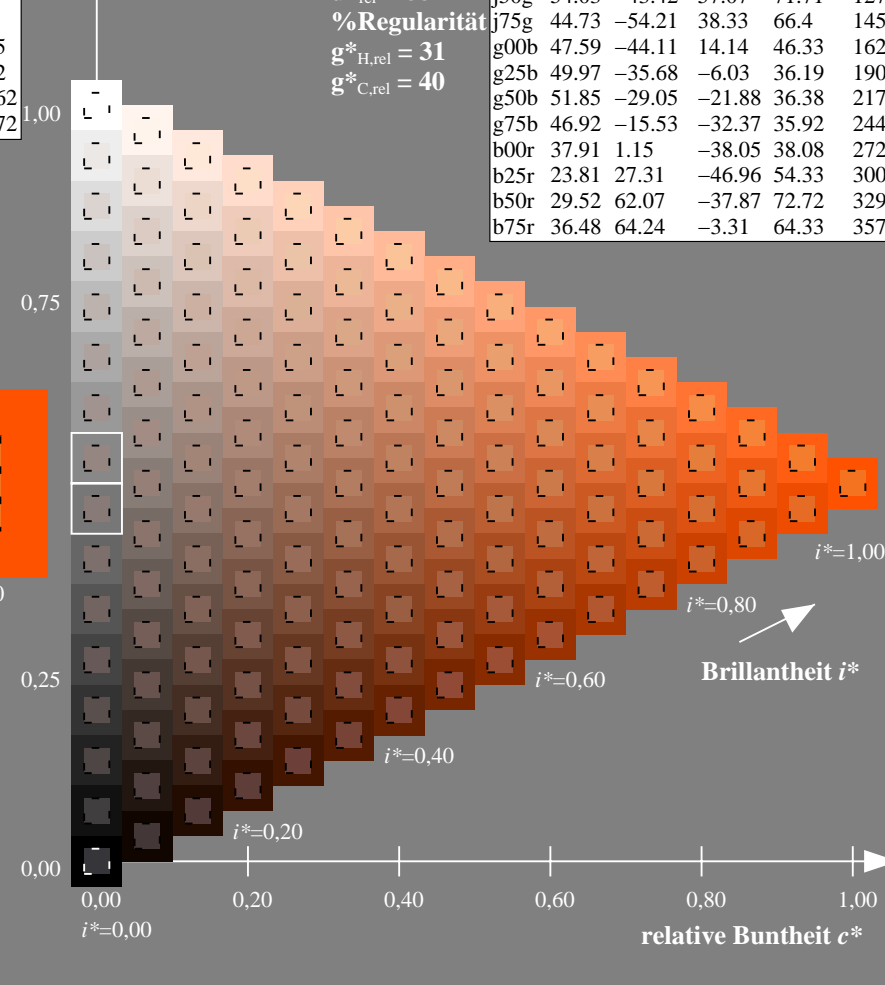
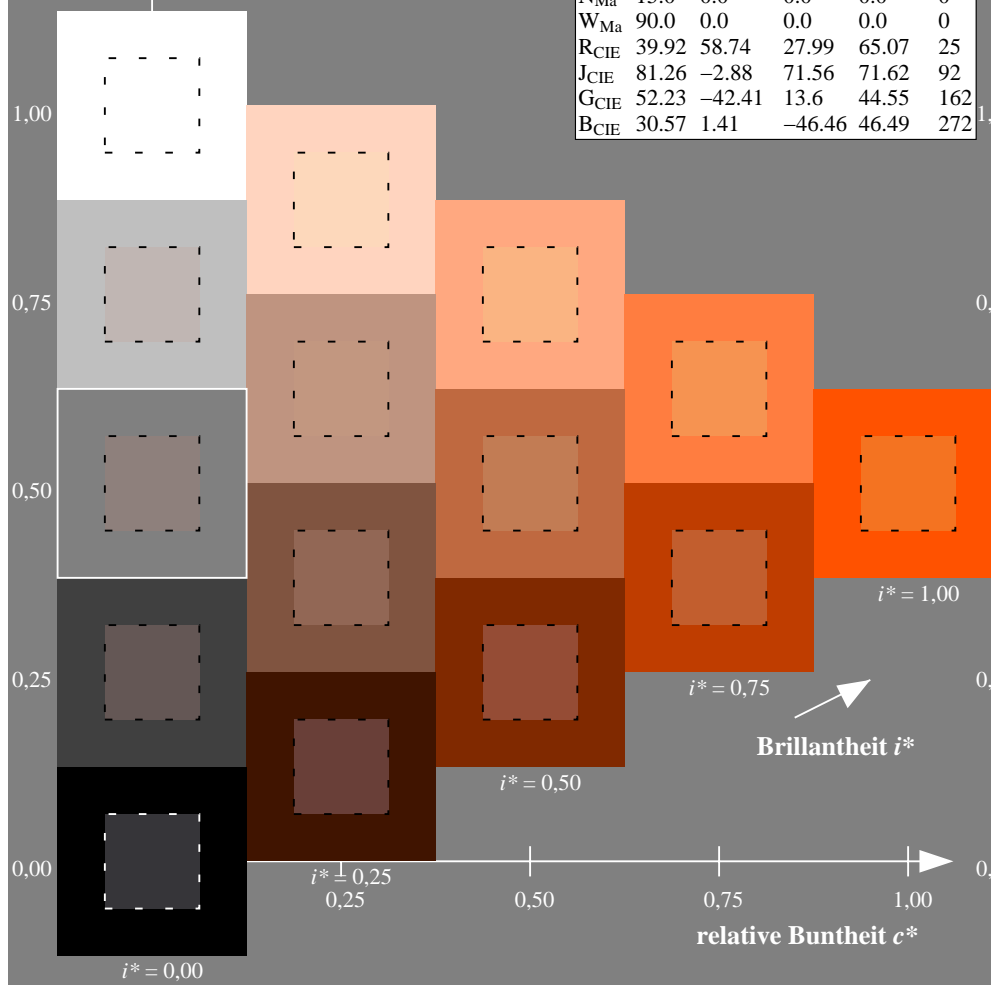
%Regularität

$g^*_{H,rel} = 31$

$g^*_{C,rel} = 40$

FRS15_90a; adaptierte CIELAB-Daten

	$L^*=L_a^*$	a_a^*	b_a^*	$C^*_{ab,a}$	$h^*_{ab,a}$
r00j	35.47	56.92	27.12	63.05	25
r25j	39.12	49.04	44.45	66.19	42
r50j	50.64	35.19	58.33	68.13	59
r75j	64.01	19.11	74.45	76.87	76
j00g	83.18	-3.93	97.56	97.64	92
j25g	66.73	-26.86	74.66	79.35	110
j50g	54.03	-43.42	57.07	71.71	127
j75g	44.73	-54.21	38.33	66.4	145
g00b	47.59	-44.11	14.14	46.33	162
g25b	49.97	-35.68	-6.03	36.19	190
g50b	51.85	-29.05	-21.88	36.38	217
g75b	46.92	-15.53	-32.37	35.92	244
b00r	37.91	1.15	-38.05	38.08	272
b25r	23.81	27.31	-46.96	54.33	300
b50r	29.52	62.07	-37.87	72.72	329
b75r	36.48	64.24	-3.31	64.33	357



Ein und Ausgabe: Farbmetrisches Drucker-Reflektiv-System FRS15_90a für relativen CIELAB-Buntton $h^* = lab^*h^* = h_{ab}/360 = 76/360 = 0.21$

Daten für jede Farbe:

lab^*ch^* und lab^*icu^*

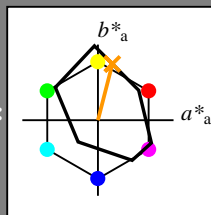
Elementar-Bunttontext:

$u^* = r75j$

Kontrastreduzierungsfaktor:

$c_R = 0.9$

Dreiecks-Helligkeit t^*



FRS15_90a; adaptierte CIELAB-Daten

	$L^*=L_a^*$	a_a^*	b_a^*	$C_{ab,a}^*$	$h_{ab,a}^*$
O _{Ma}	35.06	53.93	39.55	66.88	36
Y _{Ma}	83.77	-4.63	98.26	98.37	93
L _{Ma}	44.13	-56.32	43.36	71.09	142
C _{Ma}	52.66	-26.18	-28.74	38.89	228
V _{Ma}	14.15	45.22	-53.06	69.72	310
M _{Ma}	37.37	70.69	-30.1	76.83	337
N _{Ma}	15.0	0.0	0.0	0.0	0
W _{Ma}	90.0	0.0	0.0	0.0	0
R _{CIE}	39.92	58.74	27.99	65.07	25
J _{CIE}	81.26	-2.88	71.56	71.62	92
G _{CIE}	52.23	-42.41	13.6	44.55	162
B _{CIE}	30.57	1.41	-46.46	46.49	272

Daten für Maximalfarbe (Ma):

LAB^*LAB^*Ma : 64 19 74

LAB^*LCH^*Ma : 64 77 76

lab^*rgb^*Ma : 1.0 0.75 0.0

lab^*olv^*Ma : 1.0 0.59 0.0

Dreiecks-Helligkeit t^*

%Umfang

$u^*_{rel} = 88$

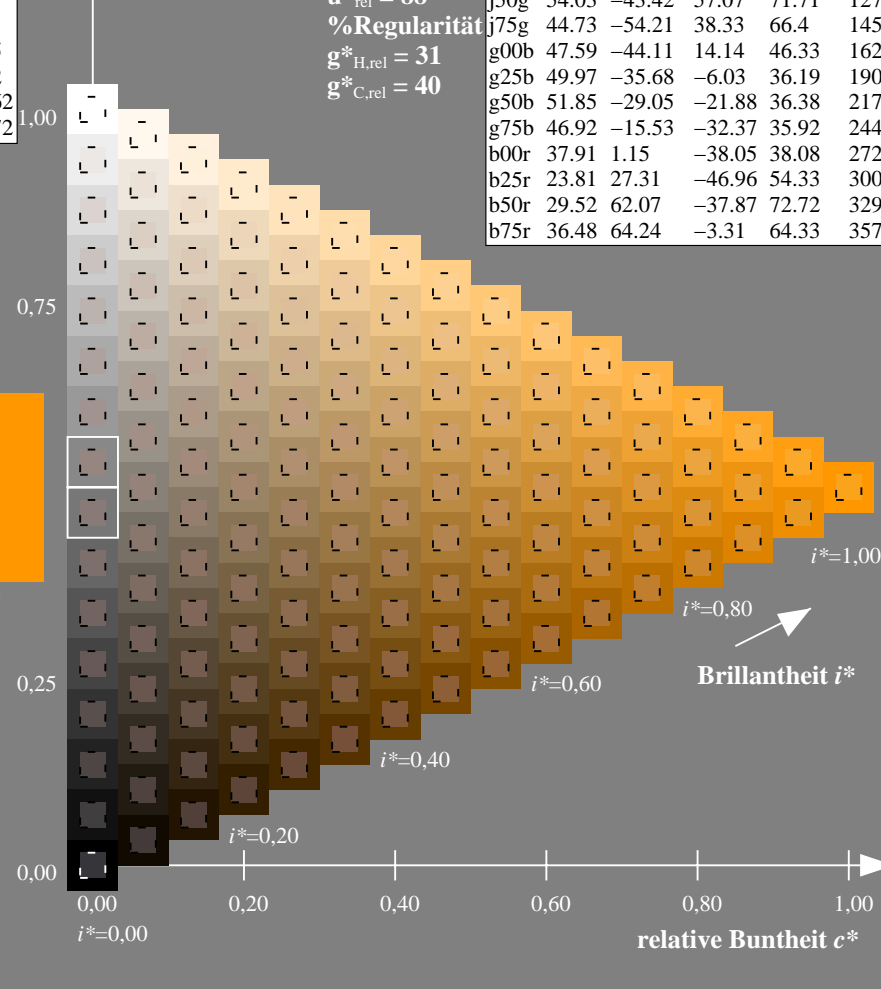
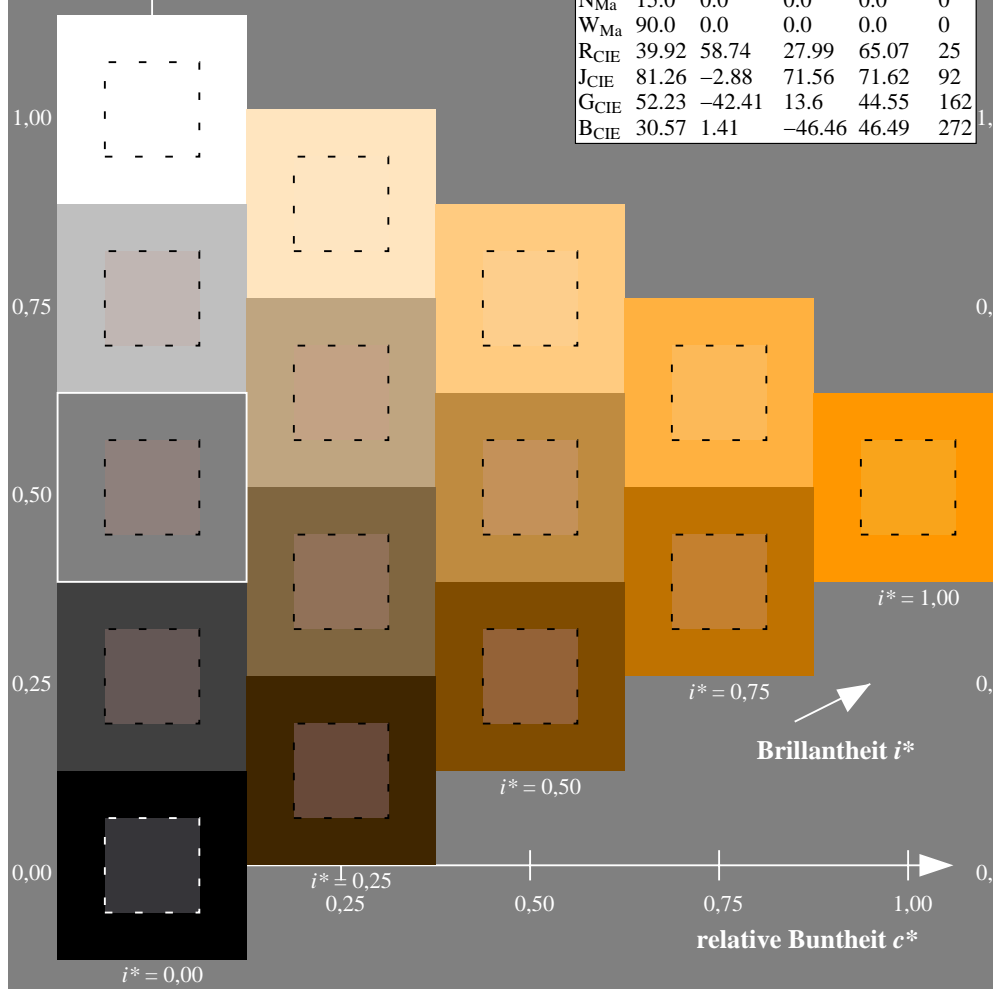
%Regularität

$g^*_{H,rel} = 31$

$g^*_{C,rel} = 40$

FRS15_90a; adaptierte CIELAB-Daten

	$L^*=L_a^*$	a_a^*	b_a^*	$C_{ab,a}^*$	$h_{ab,a}^*$
r00j	35.47	56.92	27.12	63.05	25
r25j	39.12	49.04	44.45	66.19	42
r50j	50.64	35.19	58.33	68.13	59
r75j	64.01	19.11	74.45	76.87	76
j00g	83.18	-3.93	97.56	97.64	92
j25g	66.73	-26.86	74.66	79.35	110
j50g	54.03	-43.42	57.07	71.71	127
j75g	44.73	-54.21	38.33	66.4	145
g00b	47.59	-44.11	14.14	46.33	162
g25b	49.97	-35.68	-6.03	36.19	190
g50b	51.85	-29.05	-21.88	36.38	217
g75b	46.92	-15.53	-32.37	35.92	244
b00r	37.91	1.15	-38.05	38.08	272
b25r	23.81	27.31	-46.96	54.33	300
b50r	29.52	62.07	-37.87	72.72	329
b75r	36.48	64.24	-3.31	64.33	357



Ein und Ausgabe: Farbmetrisches Drucker-Reflektiv-System FRS15_90a für relativen CIELAB-Buntton $h^* = lab^*h^* = h_{ab}/360 = 92/360 = 0.256$

Daten für jede Farbe:

lab^*ch^* und lab^*icu^*

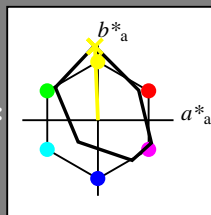
Elementar-Bunttontext:

$u^* = j00g$

Kontrastreduzierungsfaktor:

$c_R = 0.9$

Dreiecks-Helligkeit i^*



FRS15_90a; adaptierte CIELAB-Daten

	$L^*=L_a^*$	a_a^*	b_a^*	$C^*_{ab,a}$	$h^*_{ab,a}$
O _{Ma}	35.06	53.93	39.55	66.88	36
Y _{Ma}	83.77	-4.63	98.26	98.37	93
L _{Ma}	44.13	-56.32	43.36	71.09	142
C _{Ma}	52.66	-26.18	-28.74	38.89	228
V _{Ma}	14.15	45.22	-53.06	69.72	310
M _{Ma}	37.37	70.69	-30.1	76.83	337
N _{Ma}	15.0	0.0	0.0	0.0	0
W _{Ma}	90.0	0.0	0.0	0.0	0
R _{CIE}	39.92	58.74	27.99	65.07	25
J _{CIE}	81.26	-2.88	71.56	71.62	92
G _{CIE}	52.23	-42.41	13.6	44.55	162
B _{CIE}	30.57	1.41	-46.46	46.49	272

Daten für Maximalfarbe (Ma):

$LAB^*LAB^*_{Ma}$: 83 -3 98

$LAB^*LCH^*_{Ma}$: 83 98 92

$lab^*rgb^*_{Ma}$: 1.0 1.0 0.0

$lab^*olv^*_{Ma}$: 1.0 0.99 0.0

Dreiecks-Helligkeit i^*

%Umfang

$u^*_{rel} = 88$

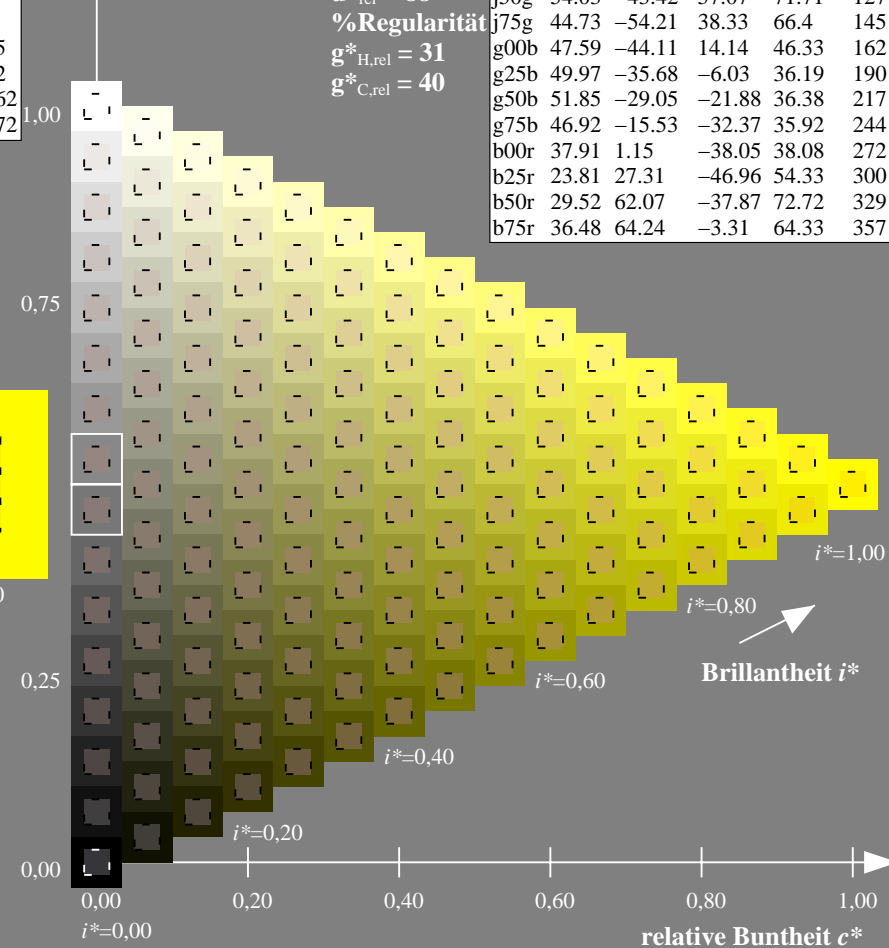
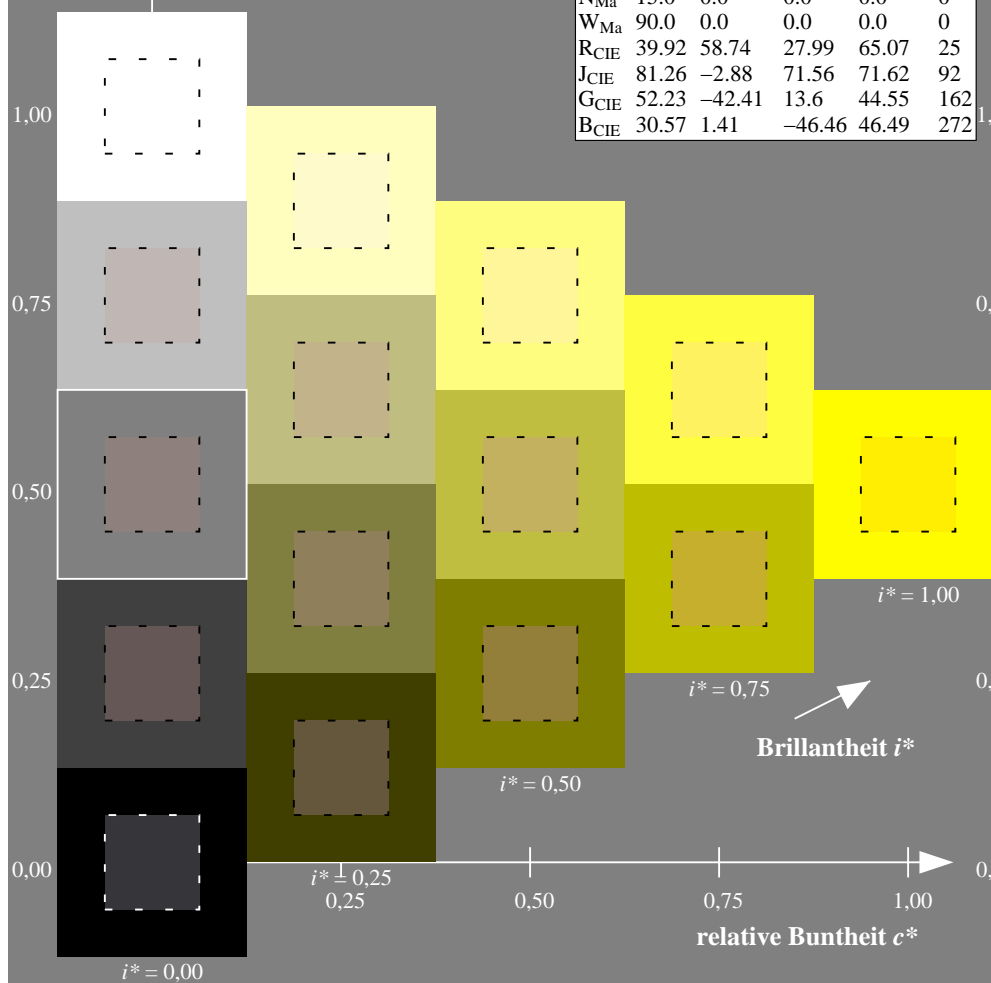
%Regularität

$g^*_{H,rel} = 31$

$g^*_{C,rel} = 40$

FRS15_90a; adaptierte CIELAB-Daten

	$L^*=L_a^*$	a_a^*	b_a^*	$C^*_{ab,a}$	$h^*_{ab,a}$
r00j	35.47	56.92	27.12	63.05	25
r25j	39.12	49.04	44.45	66.19	42
r50j	50.64	35.19	58.33	68.13	59
r75j	64.01	19.11	74.45	76.87	76
j00g	83.18	-3.93	97.56	97.64	92
j25g	66.73	-26.86	74.66	79.35	110
j50g	54.03	-43.42	57.07	71.71	127
j75g	44.73	-54.21	38.33	66.4	145
g00b	47.59	-44.11	14.14	46.33	162
g25b	49.97	-35.68	-6.03	36.19	190
g50b	51.85	-29.05	-21.88	36.38	217
g75b	46.92	-15.53	-32.37	35.92	244
b00r	37.91	1.15	-38.05	38.08	272
b25r	23.81	27.31	-46.96	54.33	300
b50r	29.52	62.07	-37.87	72.72	329
b75r	36.48	64.24	-3.31	64.33	357



Ein und Ausgabe: Farbmetrisches Drucker-Reflektiv-System FRS15_90a für relativen CIELAB-Buntton $h^* = lab^*h^* = h_{ab}/360 = 110/360 = 0.305$

Daten für jede Farbe:

lab^*ch^* und lab^*icu^*

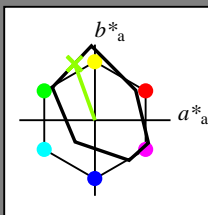
Elementar-Bunttontext:

$u^* = j25g$

Kontrastreduzierungsfaktor:

$c_R = 0.9$

Dreiecks-Helligkeit i^*



FRS15_90a; adaptierte CIELAB-Daten

	$L^*=L_a^*$	a_a^*	b_a^*	$C_{ab,a}^*$	$h_{ab,a}^*$
O _{Ma}	35.06	53.93	39.55	66.88	36
Y _{Ma}	83.77	-4.63	98.26	98.37	93
L _{Ma}	44.13	-56.32	43.36	71.09	142
C _{Ma}	52.66	-26.18	-28.74	38.89	228
V _{Ma}	14.15	45.22	-53.06	69.72	310
M _{Ma}	37.37	70.69	-30.1	76.83	337
N _{Ma}	15.0	0.0	0.0	0.0	0
W _{Ma}	90.0	0.0	0.0	0.0	0
R _{CIE}	39.92	58.74	27.99	65.07	25
J _{CIE}	81.26	-2.88	71.56	71.62	92
G _{CIE}	52.23	-42.41	13.6	44.55	162
B _{CIE}	30.57	1.41	-46.46	46.49	272

Daten für Maximalfarbe (Ma):

$LAB^*LAB^*_{Ma}$: 67 -26 75

$LAB^*LCH^*_{Ma}$: 67 79 110

$lab^*rgb^*_{Ma}$: 0.75 1.0 0.0

$lab^*olv^*_{Ma}$: 0.57 1.0 0.0

Dreiecks-Helligkeit i^*

%Umfang

$u^*_{rel} = 88$

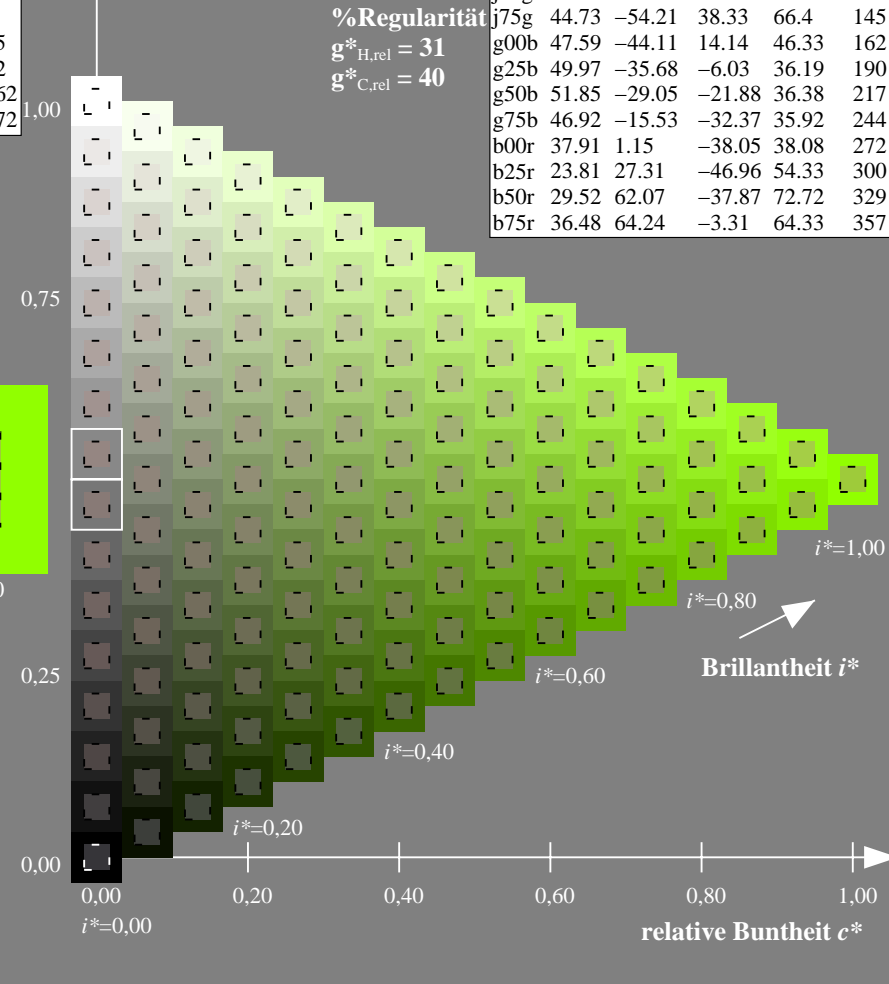
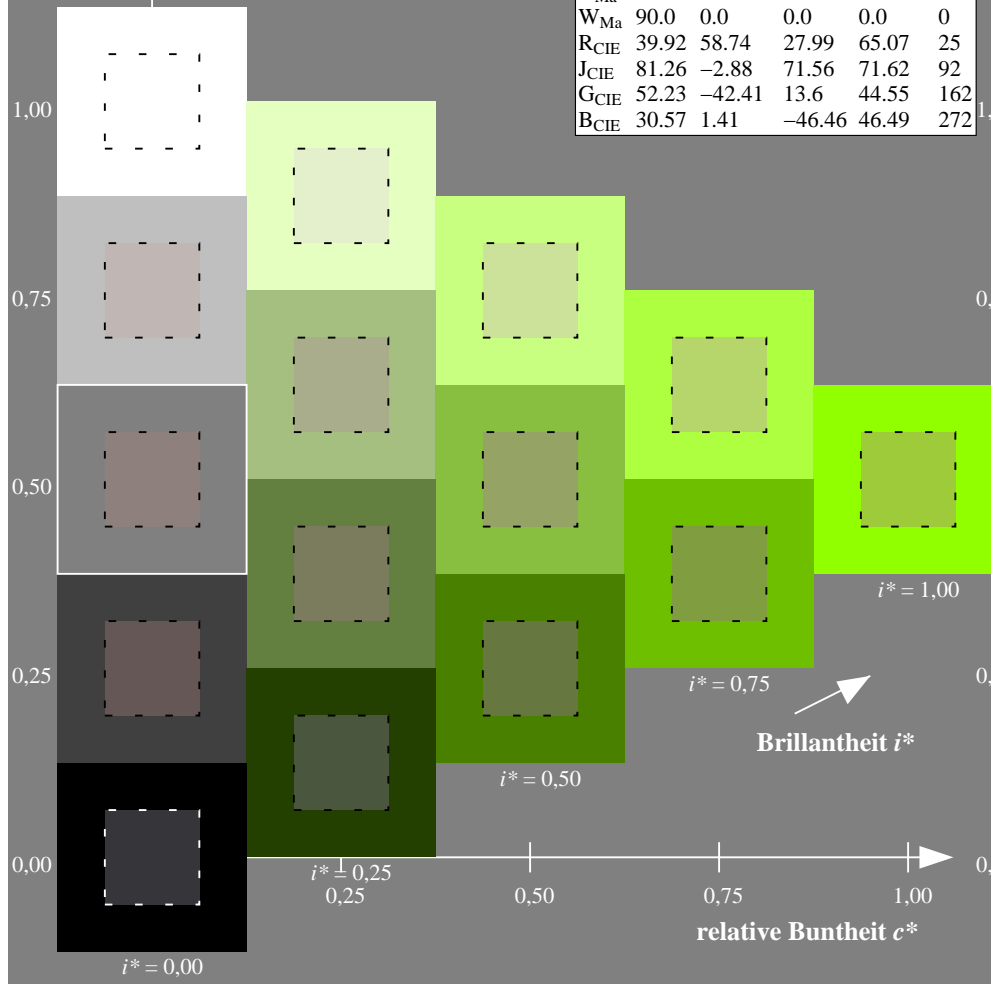
%Regularität

$g^*_{H,rel} = 31$

$g^*_{C,rel} = 40$

FRS15_90a; adaptierte CIELAB-Daten

	$L^*=L_a^*$	a_a^*	b_a^*	$C_{ab,a}^*$	$h_{ab,a}^*$
r00j	35.47	56.92	27.12	63.05	25
r25j	39.12	49.04	44.45	66.19	42
r50j	50.64	35.19	58.33	68.13	59
r75j	64.01	19.11	74.45	76.87	76
j00g	83.18	-3.93	97.56	97.64	92
j25g	66.73	-26.86	74.66	79.35	110
j50g	54.03	-43.42	57.07	71.71	127
j75g	44.73	-54.21	38.33	66.4	145
g00b	47.59	-44.11	14.14	46.33	162
g25b	49.97	-35.68	-6.03	36.19	190
g50b	51.85	-29.05	-21.88	36.38	217
g75b	46.92	-15.53	-32.37	35.92	244
b00r	37.91	1.15	-38.05	38.08	272
b25r	23.81	27.31	-46.96	54.33	300
b50r	29.52	62.07	-37.87	72.72	329
b75r	36.48	64.24	-3.31	64.33	357



Ein und Ausgabe: Farbmetrisches Drucker-Reflektiv-System FRS15_90a für relativen CIELAB-Buntton $h^* = lab^*h^* = h_{ab}/360 = 127/360 = 0.354$

Daten für jede Farbe:

lab^*ch^* und lab^*icu^*

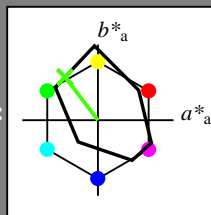
Elementar-Bunttontext:

$u^* = j50g$

Kontrastreduzierungsfaktor:

$c_R = 0.9$

Dreiecks-Helligkeit i^*



FRS15_90a; adaptierte CIELAB-Daten

	$L^*=L_a^*$	a_a^*	b_a^*	$C_{ab,a}^*$	$h_{ab,a}^*$
O _{Ma}	35.06	53.93	39.55	66.88	36
Y _{Ma}	83.77	-4.63	98.26	98.37	93
L _{Ma}	44.13	-56.32	43.36	71.09	142
C _{Ma}	52.66	-26.18	-28.74	38.89	228
V _{Ma}	14.15	45.22	-53.06	69.72	310
M _{Ma}	37.37	70.69	-30.1	76.83	337
N _{Ma}	15.0	0.0	0.0	0.0	0
W _{Ma}	90.0	0.0	0.0	0.0	0
R _{CIE}	39.92	58.74	27.99	65.07	25
J _{CIE}	81.26	-2.88	71.56	71.62	92
G _{CIE}	52.23	-42.41	13.6	44.55	162
B _{CIE}	30.57	1.41	-46.46	46.49	272

Daten für Maximalfarbe (Ma):

$LAB^*LAB^*_{Ma}$: 54 -42 57

$LAB^*LCH^*_{Ma}$: 54 72 127

$lab^*rgb^*_{Ma}$: 0.5 1.0 0.0

$lab^*olv^*_{Ma}$: 0.25 1.0 0.0

Dreiecks-Helligkeit i^*

%Umfang

$u^*_{rel} = 88$

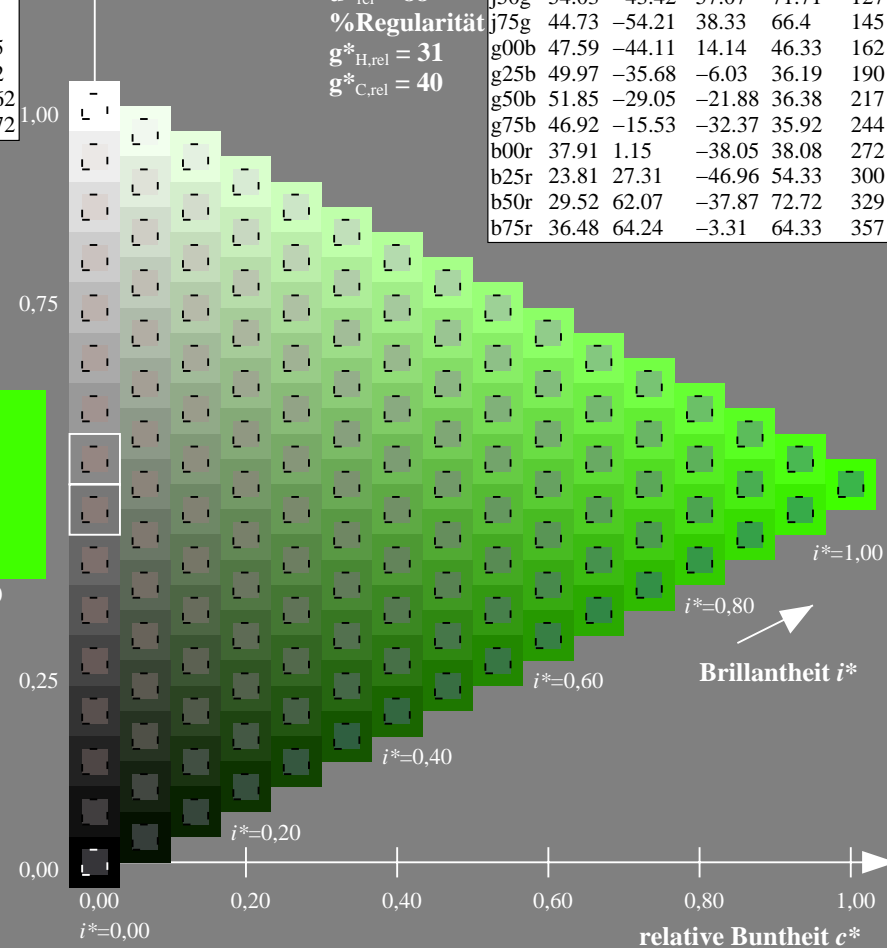
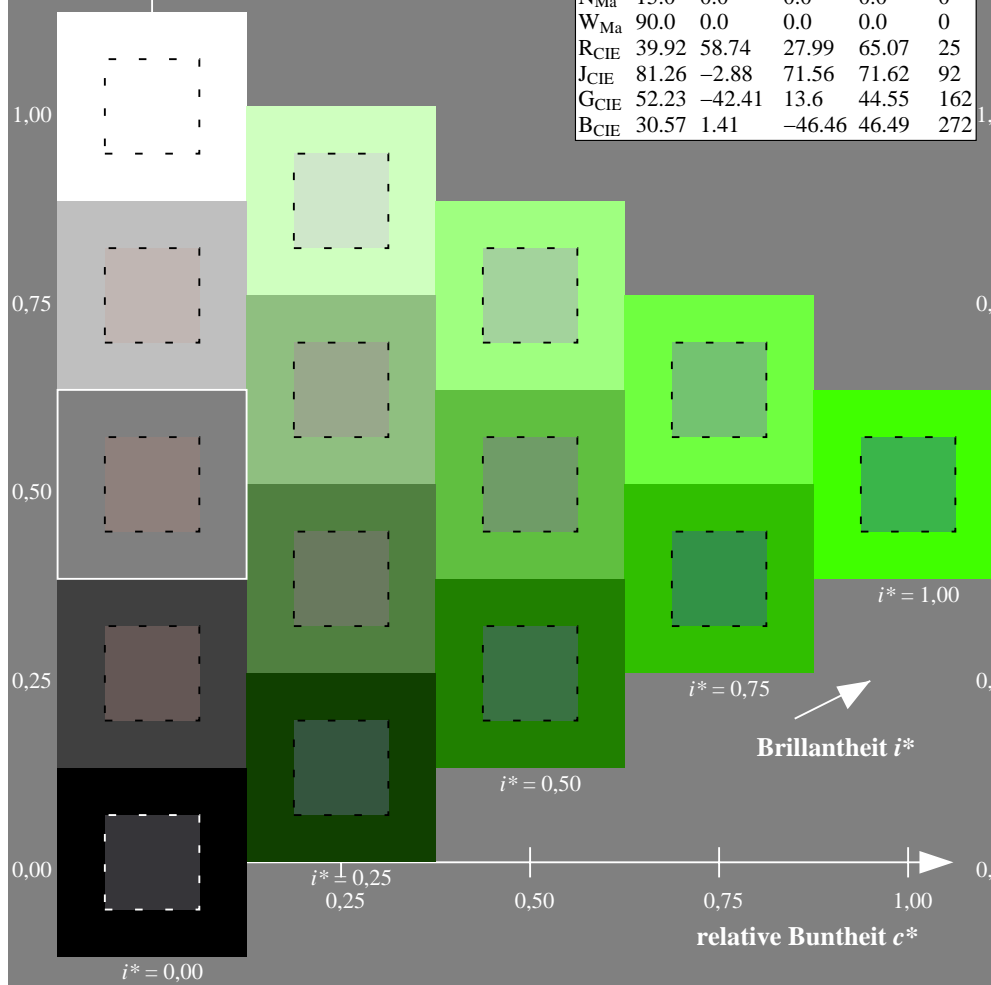
%Regularität

$g^*_{H,rel} = 31$

$g^*_{C,rel} = 40$

FRS15_90a; adaptierte CIELAB-Daten

	$L^*=L_a^*$	a_a^*	b_a^*	$C_{ab,a}^*$	$h_{ab,a}^*$
r00j	35.47	56.92	27.12	63.05	25
r20j	39.12	49.04	44.45	66.19	42
r50j	50.64	35.19	58.33	68.13	59
r75j	64.01	19.11	74.45	76.87	76
j00g	83.18	-3.93	97.56	97.64	92
j25g	66.73	-26.86	74.66	79.35	110
j50g	54.03	-43.42	57.07	71.71	127
j75g	44.73	-54.21	38.33	66.4	145
g00b	47.59	-44.11	14.14	46.33	162
g25b	49.97	-35.68	-6.03	36.19	190
g50b	51.85	-29.05	-21.88	36.38	217
g75b	46.92	-15.53	-32.37	35.92	244
b00r	37.91	1.15	-38.05	38.08	272
b25r	23.81	27.31	-46.96	54.33	300
b50r	29.52	62.07	-37.87	72.72	329
b75r	36.48	64.24	-3.31	64.33	357



Ein und Ausgabe: Farbmimetrisches Drucker-Reflektiv-System FRS15_90a für relativen CIELAB-Buntton $h^* = lab^*h^* = h_{ab}/360 = 145/360 = 0.402$

Daten für jede Farbe:

lab^*ch^* und lab^*icu^*

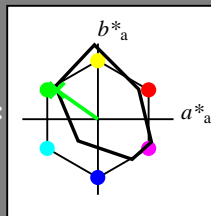
Elementar-Bunttonstext:

$u^* = j75g$

Kontrastreduzierungsfaktor:

$c_R = 0.9$

Dreiecks-Helligkeit i^*



FRS15_90a; adaptierte CIELAB-Daten

	$L^* = L^*_a$	a^*_a	b^*_a	$C^*_{ab,a}$	$h^*_{ab,a}$
O _{Ma}	35.06	53.93	39.55	66.88	36
Y _{Ma}	83.77	-4.63	98.26	98.37	93
L _{Ma}	44.13	-56.32	43.36	71.09	142
C _{Ma}	52.66	-26.18	-28.74	38.89	228
V _{Ma}	14.15	45.22	-53.06	69.72	310
M _{Ma}	37.37	70.69	-30.1	76.83	337
N _{Ma}	15.0	0.0	0.0	0.0	0
W _{Ma}	90.0	0.0	0.0	0.0	0
R _{CIE}	39.92	58.74	27.99	65.07	25
J _{CIE}	81.26	-2.88	71.56	71.62	92
G _{CIE}	52.23	-42.41	13.6	44.55	162
B _{CIE}	30.57	1.41	-46.46	46.49	272

Daten für Maximalfarbe (Ma):

$LAB^*LAB^*_{Ma}$: 45 -53 38

$LAB^*LCH^*_{Ma}$: 45 66 145

$lab^*rgb^*_{Ma}$: 0.25 1.0 0.0

$lab^*olv^*_{Ma}$: 0.0 1.0 0.07

Dreiecks-Helligkeit i^*

%Umfang

$u^*_{rel} = 88$

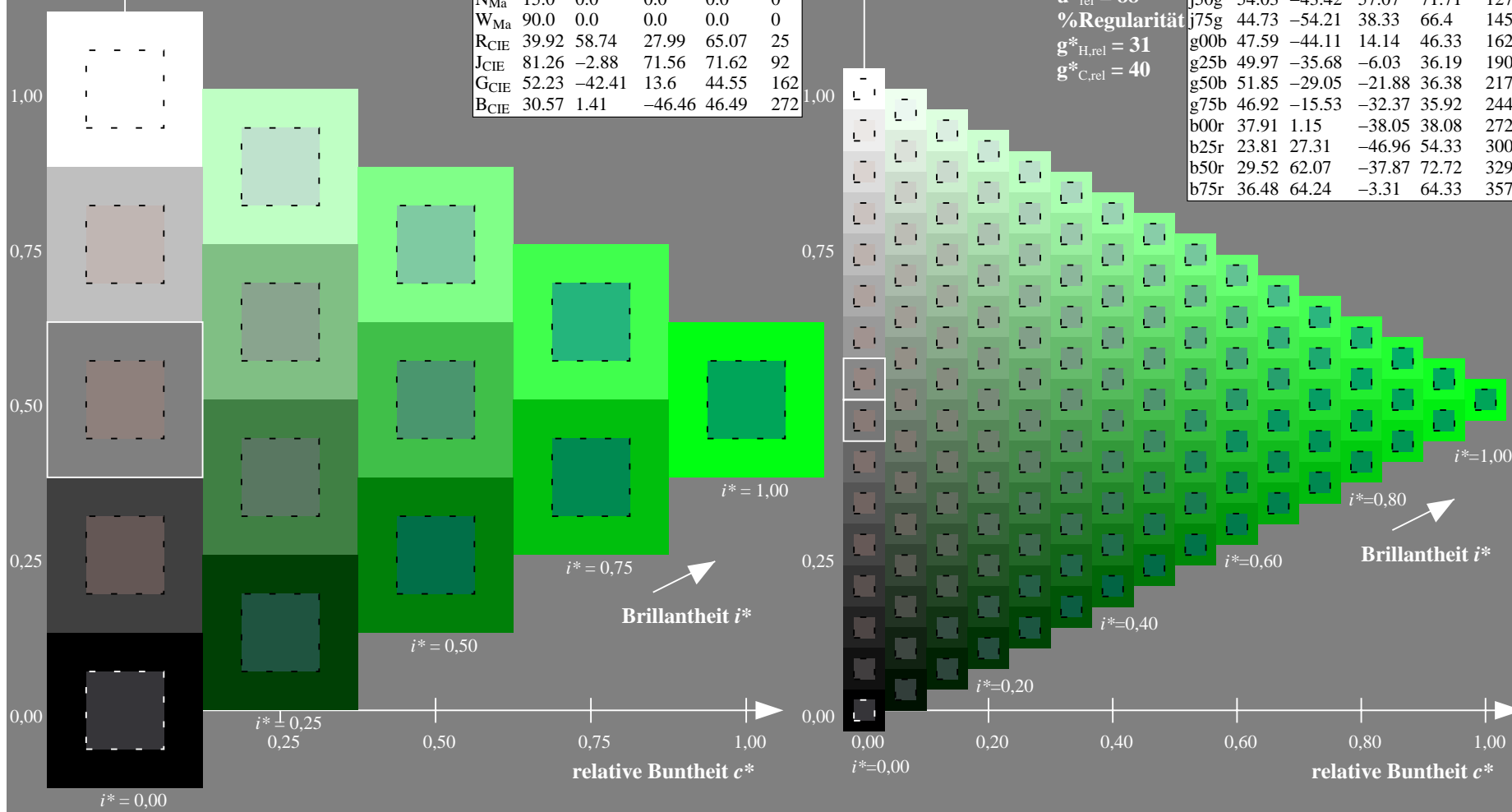
%Regularität

$g^*_{H,rel} = 31$

$g^*_{C,rel} = 40$

FRS15_90a; adaptierte CIELAB-Daten

	$L^* = L^*_a$	a^*_a	b^*_a	$C^*_{ab,a}$	$h^*_{ab,a}$
r00j	35.47	56.92	27.12	63.05	25
r25j	39.12	49.04	44.45	66.19	42
r50j	50.64	35.19	58.33	68.13	59
r75j	64.01	19.11	74.45	76.87	76
j00g	83.18	-3.93	97.56	97.64	92
j25g	66.73	-26.86	74.66	79.35	110
j50g	54.03	-43.42	57.07	71.71	127
j75g	44.73	-54.21	38.33	66.4	145
g00b	47.59	-44.11	14.14	46.33	162
g25b	49.97	-35.68	-6.03	36.19	190
g50b	51.85	-29.05	-21.88	36.38	217
g75b	46.92	-15.53	-32.37	35.92	244
b00r	37.91	1.15	-38.05	38.08	272
b25r	23.81	27.31	-46.96	54.33	300
b50r	29.52	62.07	-37.87	72.72	329
b75r	36.48	64.24	-3.31	64.33	357



Ein und Ausgabe: Farbmetrisches Drucker-Reflektiv-System FRS15_90a für relativen CIELAB-Buntton $h^* = lab^*h^* = h_{ab}/360 = 162/360 = 0.451$

Daten für jede Farbe:

lab^*ch^* und lab^*icu^*

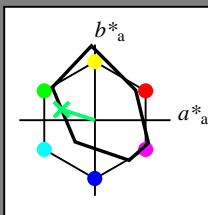
Elementar-Bunttontext:

$u^* = g00b$

Kontrastreduzierungsfaktor:

$c_R = 0.9$

Dreiecks-Helligkeit i^*



FRS15_90a; adaptierte CIELAB-Daten

	$L^*=L^*_a$	a^*_a	b^*_a	$C^*_{ab,a}$	$h^*_{ab,a}$
O _{Ma}	35.06	53.93	39.55	66.88	36
Y _{Ma}	83.77	-4.63	98.26	98.37	93
L _{Ma}	44.13	-56.32	43.36	71.09	142
C _{Ma}	52.66	-26.18	-28.74	38.89	228
V _{Ma}	14.15	45.22	-53.06	69.72	310
M _{Ma}	37.37	70.69	-30.1	76.83	337
N _{Ma}	15.0	0.0	0.0	0.0	0
W _{Ma}	90.0	0.0	0.0	0.0	0
R _{CIE}	39.92	58.74	27.99	65.07	25
J _{CIE}	81.26	-2.88	71.56	71.62	92
G _{CIE}	52.23	-42.41	13.6	44.55	162
B _{CIE}	30.57	1.41	-46.46	46.49	272

Daten für Maximalfarbe (Ma):

$LAB^*LAB^*_{Ma}$: 48 -43 14

$LAB^*LCH^*_{Ma}$: 48 46 162

$lab^*rgb^*_{Ma}$: 0.0 1.0 0.0

$lab^*olv^*_{Ma}$: 0.0 1.0 0.41

Dreiecks-Helligkeit i^*

%Umfang

$u^*_{rel} = 88$

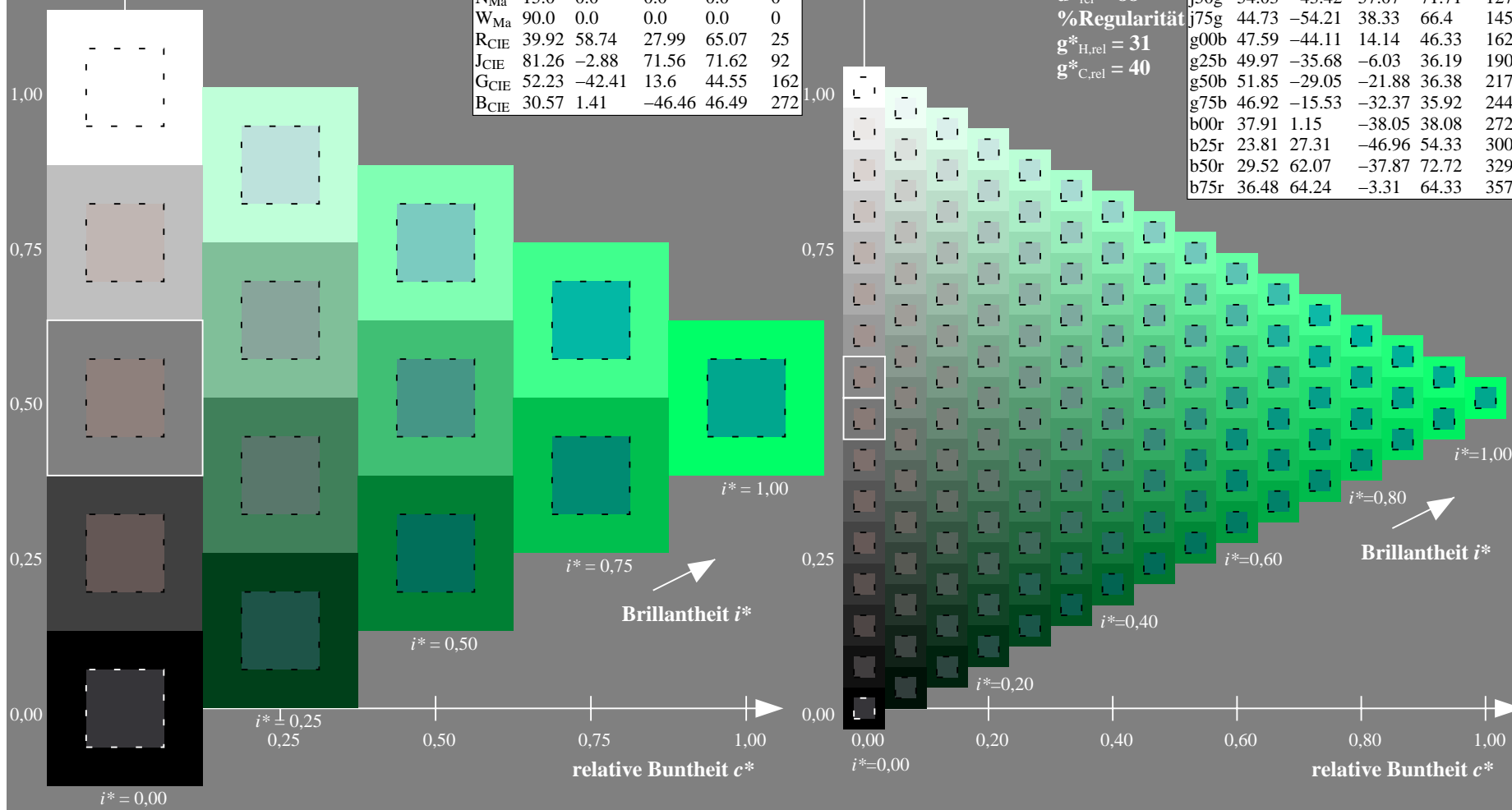
%Regularität

$g^*_{H,rel} = 31$

$g^*_{C,rel} = 40$

FRS15_90a; adaptierte CIELAB-Daten

	$L^*=L^*_a$	a^*_a	b^*_a	$C^*_{ab,a}$	$h^*_{ab,a}$
r00j	35.47	56.92	27.12	63.05	25
r25j	39.12	49.04	44.45	66.19	42
r50j	50.64	35.19	58.33	68.13	59
r75j	64.01	19.11	74.45	76.87	76
j00g	83.18	-3.93	97.56	97.64	92
j25g	66.73	-26.86	74.66	79.35	110
j50g	54.03	-43.42	57.07	71.71	127
j75g	44.73	-54.21	38.33	66.4	145
g00b	47.59	-44.11	14.14	46.33	162
g25b	49.97	-35.68	-6.03	36.19	190
g50b	51.85	-29.05	-21.88	36.38	217
g75b	46.92	-15.53	-32.37	35.92	244
b00r	37.91	1.15	-38.05	38.08	272
b25r	23.81	27.31	-46.96	54.33	300
b50r	29.52	62.07	-37.87	72.72	329
b75r	36.48	64.24	-3.31	64.33	357



Ein und Ausgabe: Farbmétrisches Drucker-Reflektiv-System FRS15_90a für relativen CIELAB-Buntton $h^* = lab^*h^* = h_{ab}/360 = 217/360 = 0.603$

Daten für jede Farbe:

lab^*ch^* und lab^*icu^*

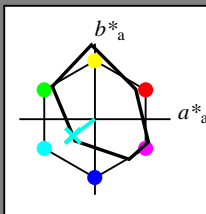
Elementar-Bunttontext:

$u^* = g50b$

Kontrastreduzierungsfaktor:

$c_R = 0.9$

Dreiecks-Helligkeit i^*



FRS15_90a; adaptierte CIELAB-Daten

	$L^*=L_a^*$	a_a^*	b_a^*	$C_{ab,a}^*$	$h_{ab,a}^*$
O _{Ma}	35.06	53.93	39.55	66.88	36
Y _{Ma}	83.77	-4.63	98.26	98.37	93
L _{Ma}	44.13	-56.32	43.36	71.09	142
C _{Ma}	52.66	-26.18	-28.74	38.89	228
V _{Ma}	14.15	45.22	-53.06	69.72	310
M _{Ma}	37.37	70.69	-30.1	76.83	337
N _{Ma}	15.0	0.0	0.0	0.0	0
W _{Ma}	90.0	0.0	0.0	0.0	0
R _{CIE}	39.92	58.74	27.99	65.07	25
J _{CIE}	81.26	-2.88	71.56	71.62	92
G _{CIE}	52.23	-42.41	13.6	44.55	162
B _{CIE}	30.57	1.41	-46.46	46.49	272

Daten für Maximalfarbe (Ma):

$LAB^*LAB^*_{Ma}$: 52 -28 -21

$LAB^*LCH^*_{Ma}$: 52 36 217

$lab^*rgb^*_{Ma}$: 0.0 1.0 1.0

$lab^*olv^*_{Ma}$: 0.0 1.0 0.9

Dreiecks-Helligkeit i^*

%Umfang

$u^*_{rel} = 88$

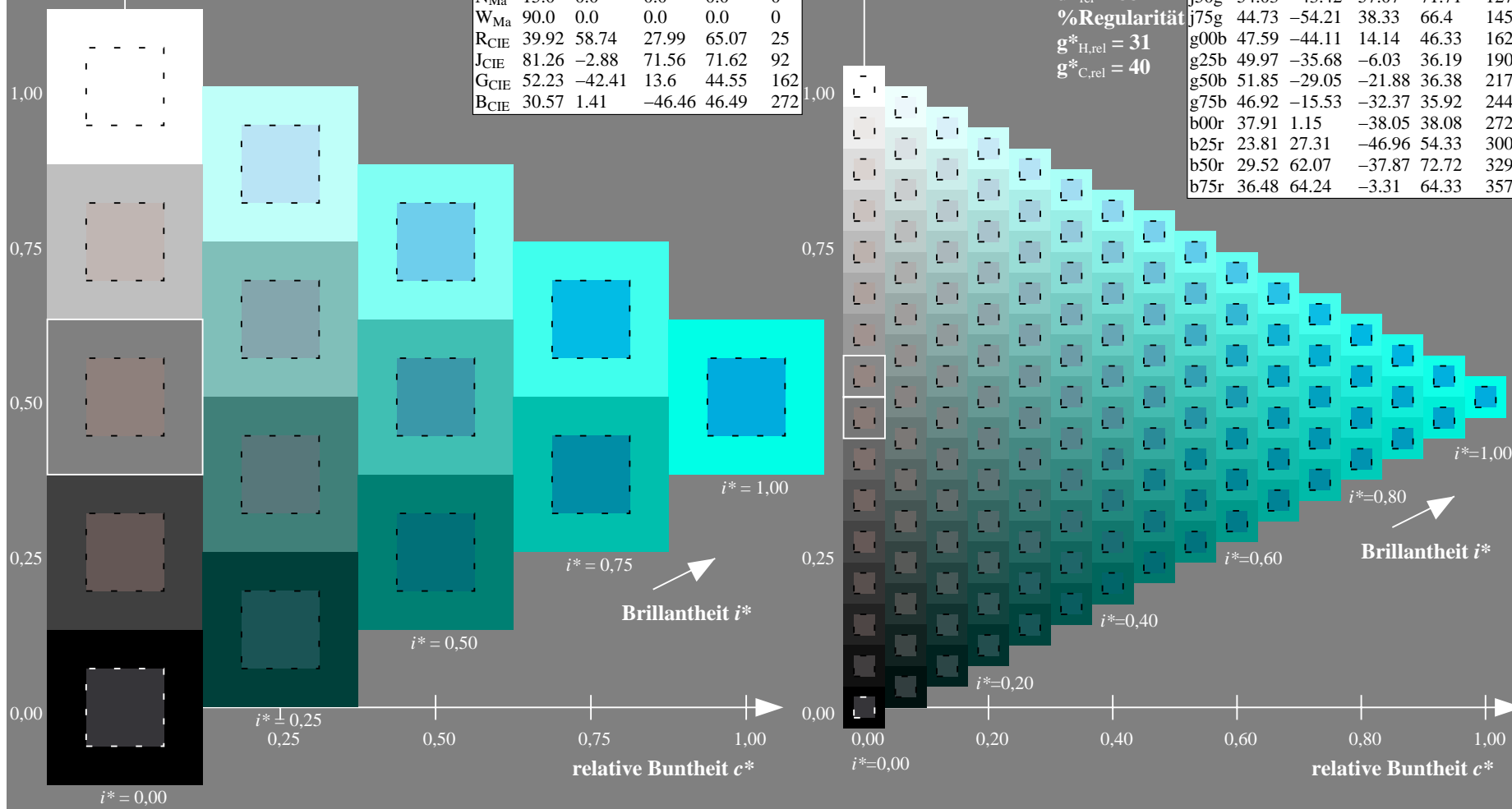
%Regularität

$g^*_{H,rel} = 31$

$g^*_{C,rel} = 40$

FRS15_90a; adaptierte CIELAB-Daten

	$L^*=L_a^*$	a_a^*	b_a^*	$C_{ab,a}^*$	$h_{ab,a}^*$
r00j	35.47	56.92	27.12	63.05	25
r25j	39.12	49.04	44.45	66.19	42
r50j	50.64	35.19	58.33	68.13	59
r75j	64.01	19.11	74.45	76.87	76
j00g	83.18	-3.93	97.56	97.64	92
j25g	66.73	-26.86	74.66	79.35	110
j50g	54.03	-43.42	57.07	71.71	127
j75g	44.73	-54.21	38.33	66.4	145
g00b	47.59	-44.11	14.14	46.33	162
g25b	49.97	-35.68	-6.03	36.19	190
g50b	51.85	-29.05	-21.88	36.38	217
g75b	46.92	-15.53	-32.37	35.92	244
b00r	37.91	1.15	-38.05	38.08	272
b25r	23.81	27.31	-46.96	54.33	300
b50r	29.52	62.07	-37.87	72.72	329
b75r	36.48	64.24	-3.31	64.33	357



Ein und Ausgabe: Farbmetrisches Drucker-Reflektiv-System FRS15_90a für relativen CIELAB-Buntton $h^* = lab^*h^* = h_{ab}/360 = 244/360 = 0.679$

Daten für jede Farbe:

lab^*ch^* und lab^*icu^*

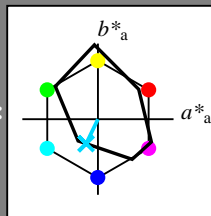
Elementar-Bunttontext:

$u^* = g75b$

Kontrastreduzierungsfaktor:

$c_R = 0.9$

Dreiecks-Helligkeit i^*



FRS15_90a; adaptierte CIELAB-Daten

	$L^*=L_a^*$	a_a^*	b_a^*	$C^*_{ab,a}$	$h^*_{ab,a}$
O _{Ma}	35.06	53.93	39.55	66.88	36
Y _{Ma}	83.77	-4.63	98.26	98.37	93
L _{Ma}	44.13	-56.32	43.36	71.09	142
C _{Ma}	52.66	-26.18	-28.74	38.89	228
V _{Ma}	14.15	45.22	-53.06	69.72	310
M _{Ma}	37.37	70.69	-30.1	76.83	337
N _{Ma}	15.0	0.0	0.0	0.0	0
W _{Ma}	90.0	0.0	0.0	0.0	0
R _{CIE}	39.92	58.74	27.99	65.07	25
J _{CIE}	81.26	-2.88	71.56	71.62	92
G _{CIE}	52.23	-42.41	13.6	44.55	162
B _{CIE}	30.57	1.41	-46.46	46.49	272

Daten für Maximalfarbe (Ma):

$LAB^*LAB^*_{Ma}$: 47 -15 -31

$LAB^*LCH^*_{Ma}$: 47 36 244

$lab^*rgb^*_{Ma}$: 0.0 0.5 1.0

$lab^*olv^*_{Ma}$: 0.0 0.85 1.0

Dreiecks-Helligkeit i^*

%Umfang

$u^*_{rel} = 88$

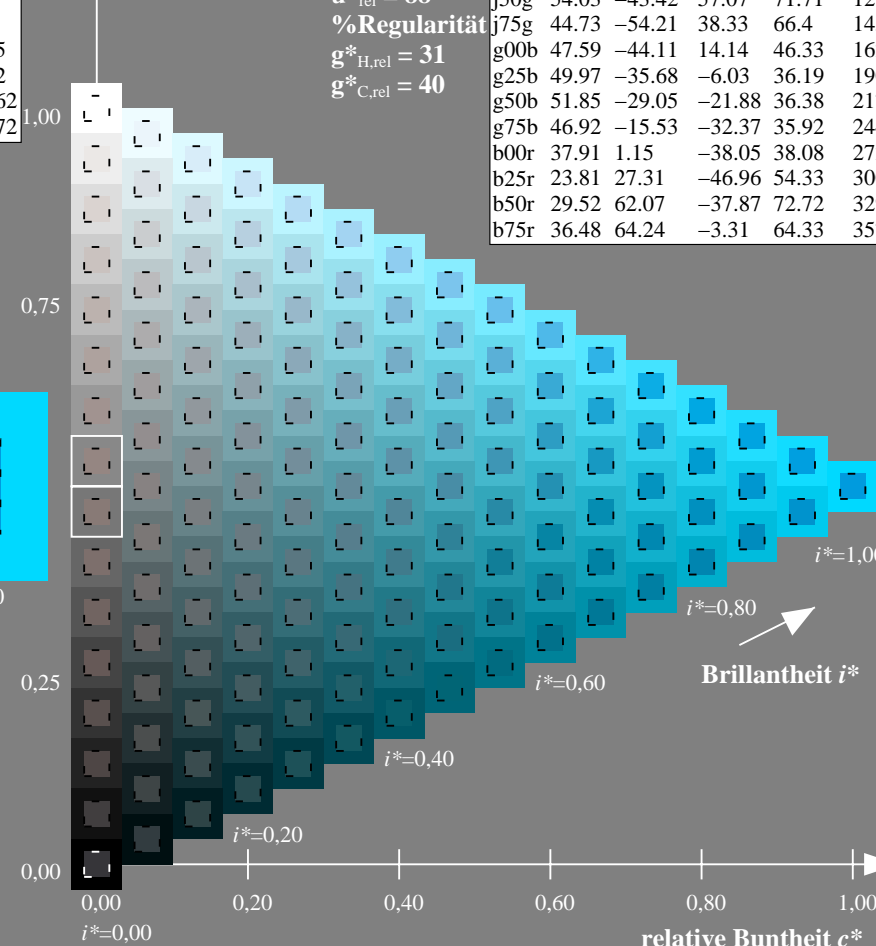
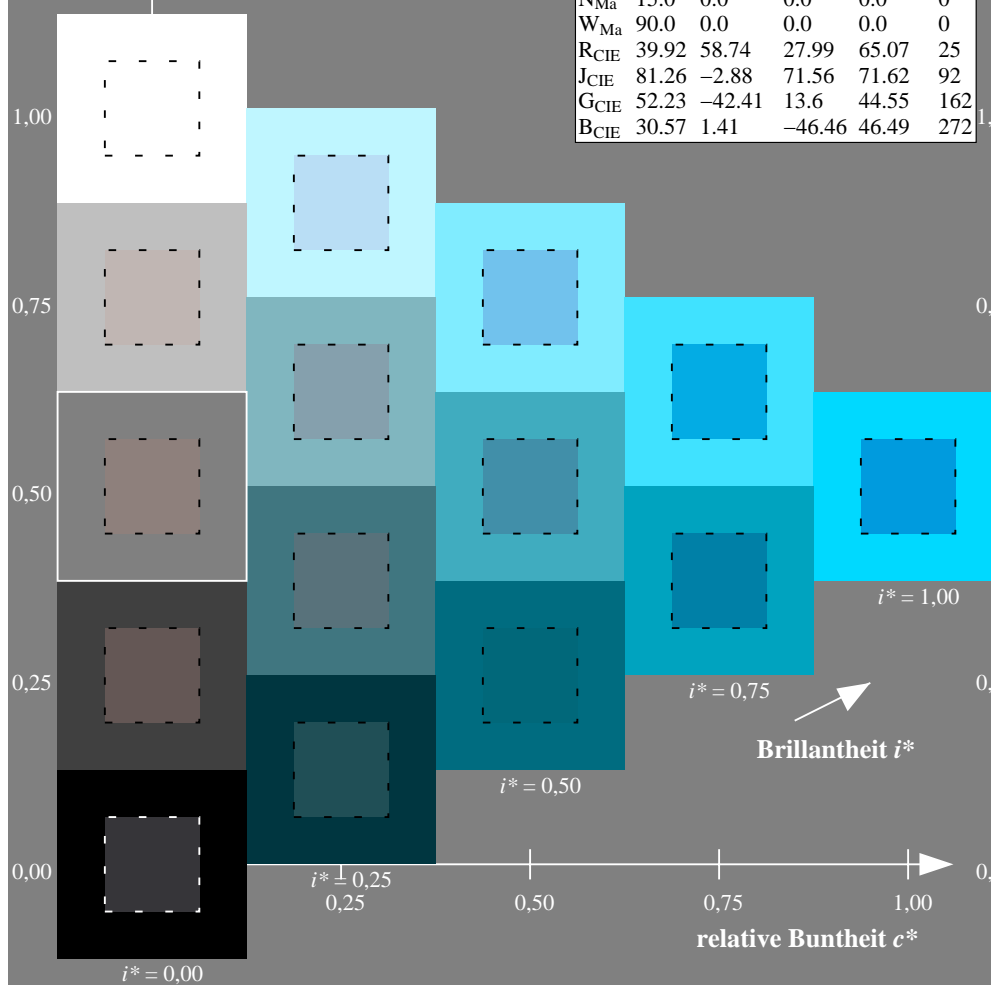
%Regularität

$g^*_{H,rel} = 31$

$g^*_{C,rel} = 40$

FRS15_90a; adaptierte CIELAB-Daten

	$L^*=L_a^*$	a_a^*	b_a^*	$C^*_{ab,a}$	$h^*_{ab,a}$
r00j	35.47	56.92	27.12	63.05	25
r25j	39.12	49.04	44.45	66.19	42
r50j	50.64	35.19	58.33	68.13	59
r75j	64.01	19.11	74.45	76.87	76
j00g	83.18	-3.93	97.56	97.64	92
j25g	66.73	-26.86	74.66	79.35	110
j50g	54.03	-43.42	57.07	71.71	127
j75g	44.73	-54.21	38.33	66.4	145
g00b	47.59	-44.11	14.14	46.33	162
g25b	49.97	-35.68	-6.03	36.19	190
g50b	51.85	-29.05	-21.88	36.38	217
g75b	46.92	-15.53	-32.37	35.92	244
b00r	37.91	1.15	-38.05	38.08	272
b25r	23.81	27.31	-46.96	54.33	300
b50r	29.52	62.07	-37.87	72.72	329
b75r	36.48	64.24	-3.31	64.33	357



Ein und Ausgabe: Farbmétrisches Drucker-Reflektiv-System FRS15_90a für relativen CIELAB-Buntton $h^* = lab^*h^* = h_{ab}/360 = 272/360 = 0.755$

Daten für jede Farbe:

*lab*tch** und *lab*icu**

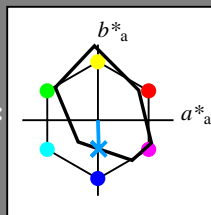
Elementar-Bunttontext:

$$u^* = b00r$$

Kontrastreduzierungsfaktor:

 $c_R = 0.9$

Dreiecks-Helligkeit t^*



FRS15 90a; adaptierte CIELAB-Daten						
	$L^* = L^*_a$	a^*_a	b^*_a	$C^*_{ab,a}$	$h^*_{ab,a}$	
O _{Ma}	35.06	53.93	39.55	66.88	36	
Y _{Ma}	83.77	-4.63	98.26	98.37	93	
L _{Ma}	44.13	-56.32	43.36	71.09	142	
C _{Ma}	52.66	-26.18	-28.74	38.89	228	
V _{Ma}	14.15	45.22	-53.06	69.72	310	
M _{Ma}	37.37	70.69	-30.1	76.83	337	
N _{Ma}	15.0	0.0	0.0	0.0	0	
W _{Ma}	90.0	0.0	0.0	0.0	0	
R _{CIE}	39.92	58.74	27.99	65.07	25	
J _{CIE}	81.26	-2.88	71.56	71.62	92	
G _{CIE}	52.23	-42.41	13.6	44.55	162	
B _{CIE}	30.57	1.41	-46.46	46.49	272	

Daten für Maximalfarbe (Ma):

LAB*LAB*Mo: 38 1 -37

LAD*LCU* = 38 38 272

LAB*LCH*Ma: 38 38 21

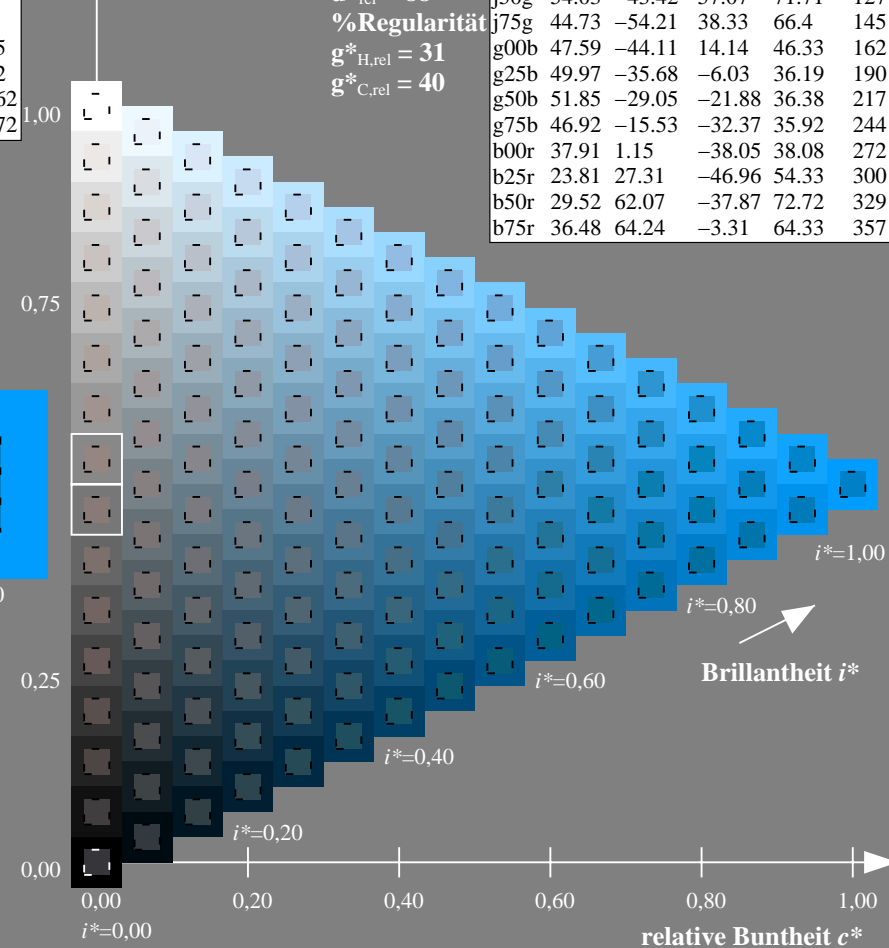
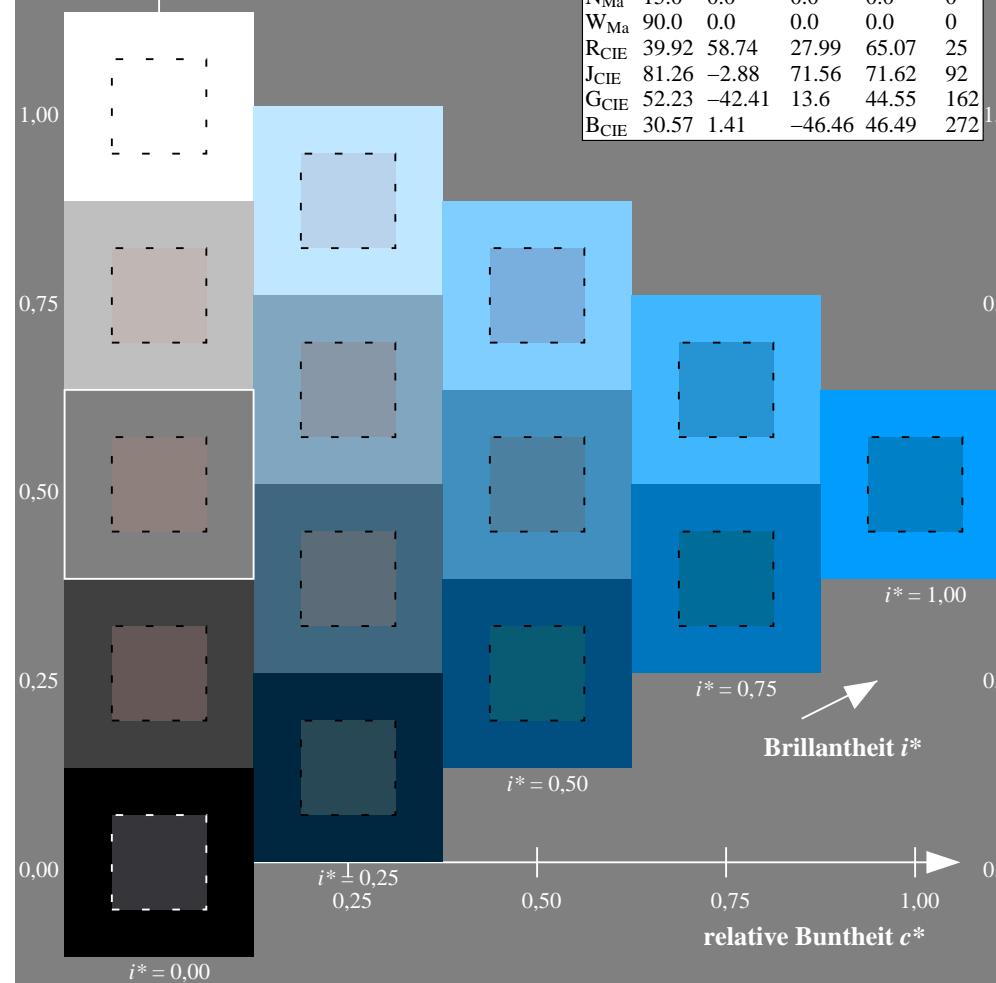
*lab*rgb*_Ma: 0.0 0.0 1.0*

*lab*olv**Ma: 0.0 0.62 1.0

Dreiecks-Helligkeit t^*

Directs Alignment:

FRS15_90a; adaptierte CIELAB-Daten					
	L^*_a	a^*_a	b^*_a	$C^*_{ab,a}$	$h^*_{ab,a}$
r00j	35.47	56.92	27.12	63.05	25
r25j	39.12	49.04	44.45	66.19	42
r50j	50.64	35.19	58.33	68.13	59
r75j	64.01	19.11	74.45	76.87	76
j00g	83.18	-3.93	97.56	97.64	92
j25g	66.73	-26.86	74.66	79.35	110
j50g	54.03	-43.42	57.07	71.71	127
j75g	44.73	-54.21	38.33	66.4	145
g00b	47.59	-44.11	14.14	46.33	162
g25b	49.97	-35.68	-6.03	36.19	190
g50b	51.85	-29.05	-21.88	36.38	217
g75b	46.92	-15.53	-32.37	35.92	244
b00r	37.91	1.15	-38.05	38.08	272
b25r	23.81	27.31	-46.96	54.33	300
b50r	29.52	62.07	-37.87	72.72	329
b75r	36.48	64.24	-3.31	64.33	357



Ein und Ausgabe: Farbmétrisches Drucker-Reflektiv-System FRS15_90a für relativen CIELAB-Buntton $h^* = lab^*h^* = h_{ab}/360 = 300/360 = 0.834$

Daten für jede Farbe:

lab^*tch^* und lab^*icu^*

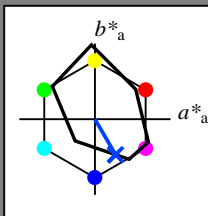
Elementar-Bunttontext:

$u^* = b25r$

Kontrastreduzierungsfaktor:

$c_R = 0.9$

Dreiecks-Helligkeit t^*



FRS15_90a; adaptierte CIELAB-Daten

	$L^*=L_a^*$	a_a^*	b_a^*	$C_{ab,a}^*$	$h_{ab,a}^*$
O _{Ma}	35.06	53.93	39.55	66.88	36
Y _{Ma}	83.77	-4.63	98.26	98.37	93
L _{Ma}	44.13	-56.32	43.36	71.09	142
C _{Ma}	52.66	-26.18	-28.74	38.89	228
V _{Ma}	14.15	45.22	-53.06	69.72	310
M _{Ma}	37.37	70.69	-30.1	76.83	337
N _{Ma}	15.0	0.0	0.0	0.0	0
W _{Ma}	90.0	0.0	0.0	0.0	0
R _{CIE}	39.92	58.74	27.99	65.07	25
J _{CIE}	81.26	-2.88	71.56	71.62	92
G _{CIE}	52.23	-42.41	13.6	44.55	162
B _{CIE}	30.57	1.41	-46.46	46.49	272

Daten für Maximalfarbe (Ma):

$LAB^*LAB^*_{Ma}$: 24 27 -46

$LAB^*LCH^*_{Ma}$: 24 54 300

$lab^*rgb^*_{Ma}$: 0.5 0.0 1.0

$lab^*olv^*_{Ma}$: 0.0 0.25 1.0

Dreiecks-Helligkeit t^*

%Umfang

$u^*_{rel} = 88$

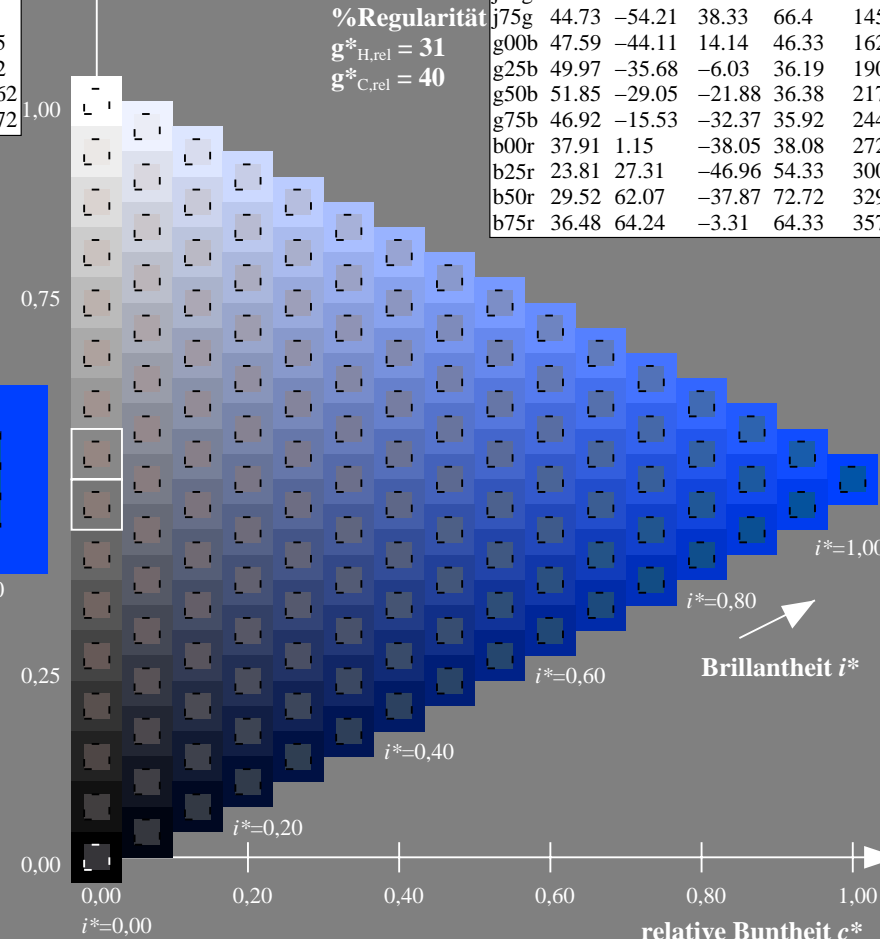
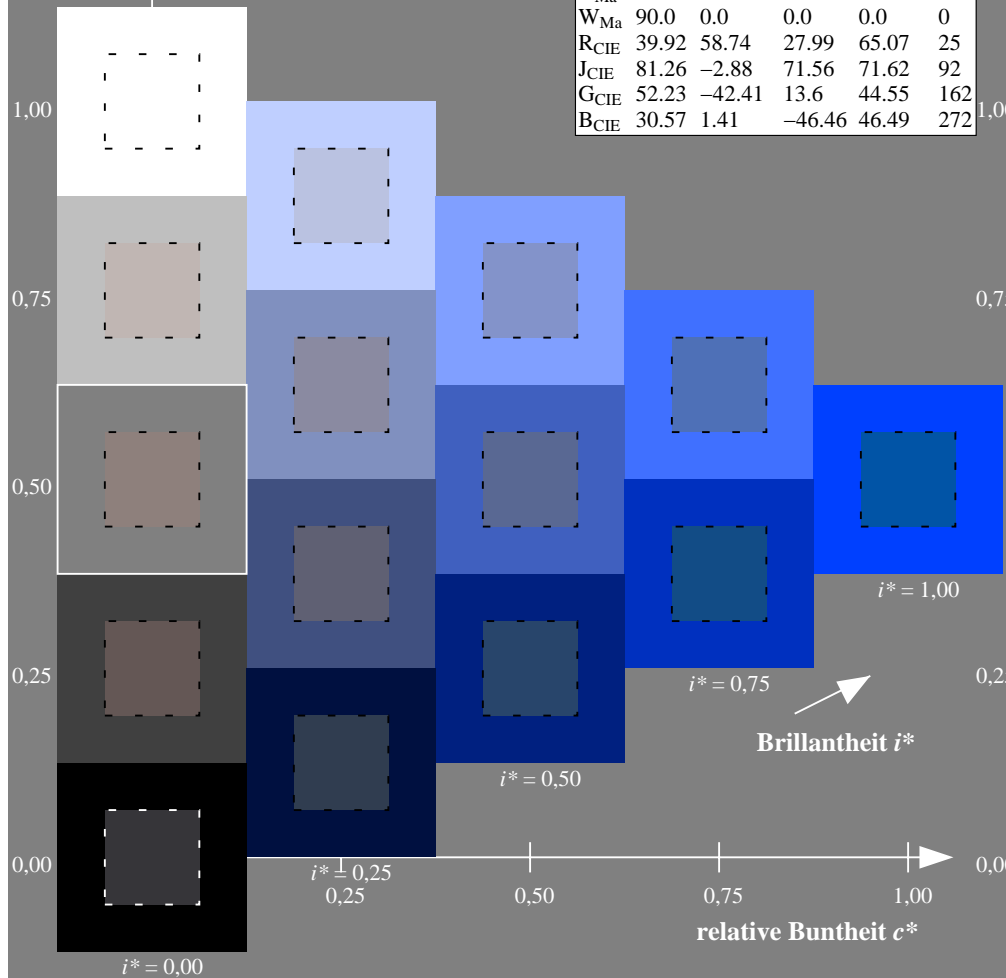
%Regularität

$g^*_{H,rel} = 31$

$g^*_{C,rel} = 40$

FRS15_90a; adaptierte CIELAB-Daten

	$L^*=L_a^*$	a_a^*	b_a^*	$C_{ab,a}^*$	$h_{ab,a}^*$
r00j	35.47	56.92	27.12	63.05	25
r25j	39.12	49.04	44.45	66.19	42
r50j	50.64	35.19	58.33	68.13	59
r75j	64.01	19.11	74.45	76.87	76
j00g	83.18	-3.93	97.56	97.64	92
j25g	66.73	-26.86	74.66	79.35	110
j50g	54.03	-43.42	57.07	71.71	127
j75g	44.73	-54.21	38.33	66.4	145
g00b	47.59	-44.11	14.14	46.33	162
g25b	49.97	-35.68	-6.03	36.19	190
g50b	51.85	-29.05	-21.88	36.38	217
g75b	46.92	-15.53	-32.37	35.92	244
b00r	37.91	1.15	-38.05	38.08	272
b25r	23.81	27.31	-46.96	54.33	300
b50r	29.52	62.07	-37.87	72.72	329
b75r	36.48	64.24	-3.31	64.33	357



Ein und Ausgabe: Farbmetrisches Drucker-Reflektiv-System FRS15_90a für relativen CIELAB-Buntton $h^* = lab^*h^* = h_{ab}/360 = 329/360 = 0.913$

Daten für jede Farbe:

lab^*tch^* und lab^*icu^*

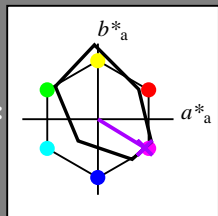
Elementar-Bunttontext:

$u^* = b50r$

Kontrastreduzierungsfaktor:

$c_R = 0.9$

Dreiecks-Helligkeit t^*



FRS15_90a; adaptierte CIELAB-Daten

	$L^*=L^*_a$	a^*_a	b^*_a	$C^*_{ab,a}$	$h^*_{ab,a}$
O _{Ma}	35.06	53.93	39.55	66.88	36
Y _{Ma}	83.77	-4.63	98.26	98.37	93
L _{Ma}	44.13	-56.32	43.36	71.09	142
C _{Ma}	52.66	-26.18	-28.74	38.89	228
V _{Ma}	14.15	45.22	-53.06	69.72	310
M _{Ma}	37.37	70.69	-30.1	76.83	337
N _{Ma}	15.0	0.0	0.0	0.0	0
W _{Ma}	90.0	0.0	0.0	0.0	0
R _{CIE}	39.92	58.74	27.99	65.07	25
J _{CIE}	81.26	-2.88	71.56	71.62	92
G _{CIE}	52.23	-42.41	13.6	44.55	162
B _{CIE}	30.57	1.41	-46.46	46.49	272

Daten für Maximalfarbe (Ma):

$LAB^*LAB^*_{Ma}$: 30 62 -37

$LAB^*LCH^*_{Ma}$: 30 73 329

$lab^*rgb^*_{Ma}$: 1.0 0.0 1.0

$lab^*olv^*_{Ma}$: 0.66 0.0 1.0

Dreiecks-Helligkeit t^*

%Umfang

$u^*_{rel} = 88$

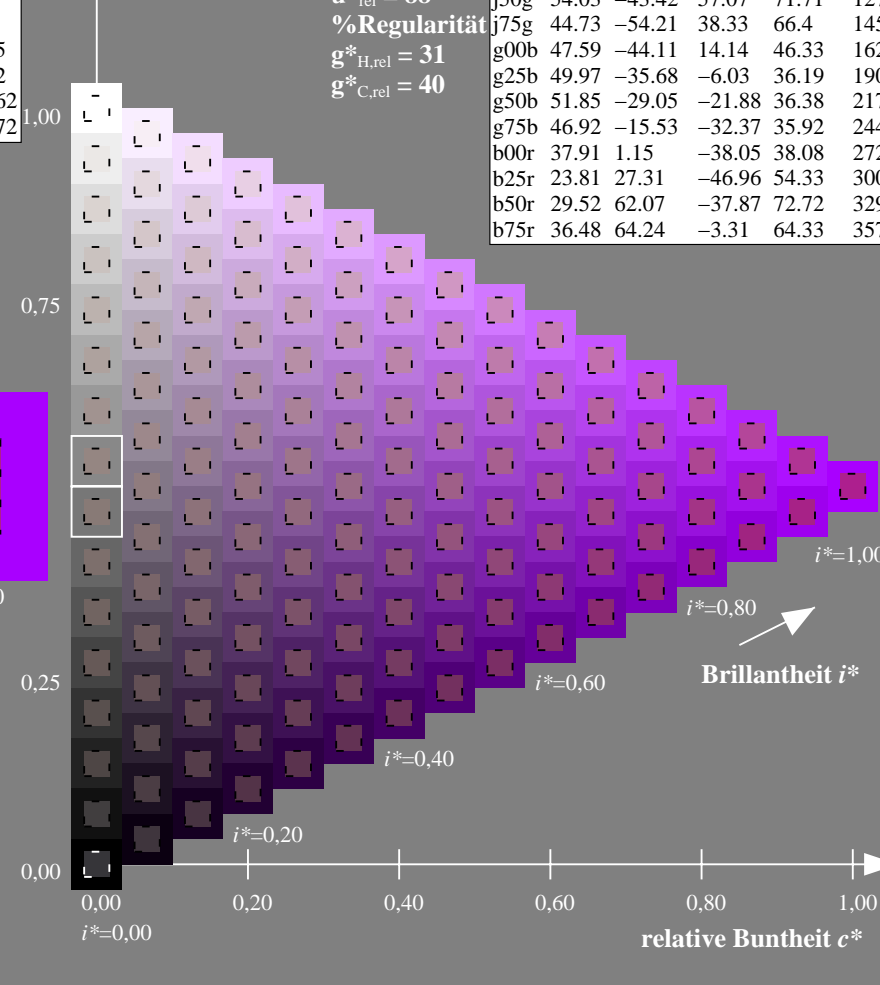
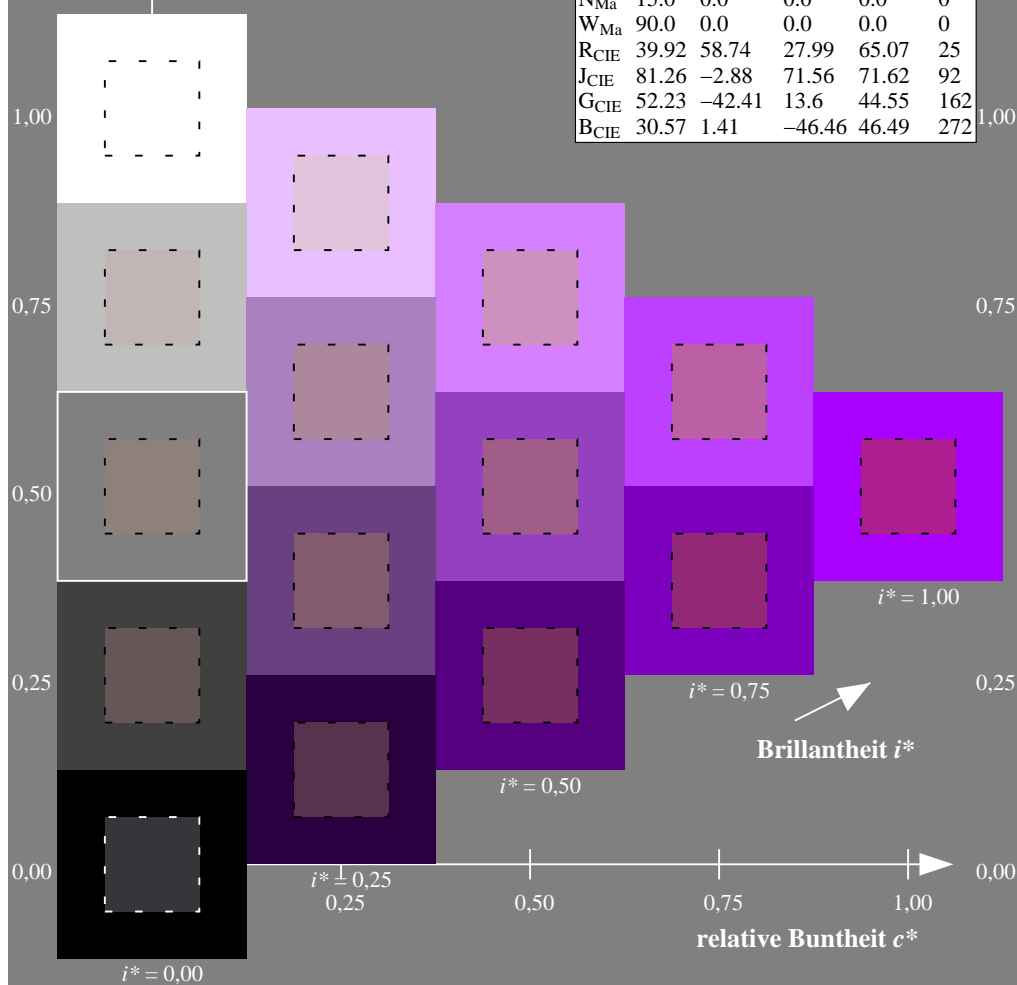
%Regularität

$g^*_{H,rel} = 31$

$g^*_{C,rel} = 40$

FRS15_90a; adaptierte CIELAB-Daten

	$L^*=L^*_a$	a^*_a	b^*_a	$C^*_{ab,a}$	$h^*_{ab,a}$
r00j	35.47	56.92	27.12	63.05	25
r25j	39.12	49.04	44.45	66.19	42
r50j	50.64	35.19	58.33	68.13	59
r75j	64.01	19.11	74.45	76.87	76
j00g	83.18	-3.93	97.56	97.64	92
j25g	66.73	-26.86	74.66	79.35	110
j50g	54.03	-43.42	57.07	71.71	127
j75g	44.73	-54.21	38.33	66.4	145
g00b	47.59	-44.11	14.14	46.33	162
g25b	49.97	-35.68	-6.03	36.19	190
g50b	51.85	-29.05	-21.88	36.38	217
g75b	46.92	-15.53	-32.37	35.92	244
b00r	37.91	1.15	-38.05	38.08	272
b25r	23.81	27.31	-46.96	54.33	300
b50r	29.52	62.07	-37.87	72.72	329
b75r	36.48	64.24	-3.31	64.33	357



Ein und Ausgabe: Farbmimetrisches Drucker-Reflektiv-System FRS15_90a für relativen CIELAB-Buntton $h^* = lab^*h^* = h_{ab}/360 = 357/360 = 0.992$

Daten für jede Farbe:

lab^*ch^* und lab^*icu^*

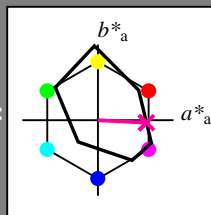
Elementar-Bunttontext:

$u^* = b75r$

Kontrastreduzierungsfaktor:

$c_R = 0.9$

Dreiecks-Helligkeit i^*



FRS15_90a; adaptierte CIELAB-Daten

	$L^*=L^*_a$	a^*_a	b^*_a	$C^*_{ab,a}$	$h^*_{ab,a}$
O _{Ma}	35.06	53.93	39.55	66.88	36
Y _{Ma}	83.77	-4.63	98.26	98.37	93
L _{Ma}	44.13	-56.32	43.36	71.09	142
C _{Ma}	52.66	-26.18	-28.74	38.89	228
V _{Ma}	14.15	45.22	-53.06	69.72	310
M _{Ma}	37.37	70.69	-30.1	76.83	337
N _{Ma}	15.0	0.0	0.0	0.0	0
W _{Ma}	90.0	0.0	0.0	0.0	0
R _{CIE}	39.92	58.74	27.99	65.07	25
J _{CIE}	81.26	-2.88	71.56	71.62	92
G _{CIE}	52.23	-42.41	13.6	44.55	162
B _{CIE}	30.57	1.41	-46.46	46.49	272

Daten für Maximalfarbe (Ma):

$LAB^*LAB^*_{Ma}$: 36 64 -2

$LAB^*LCH^*_{Ma}$: 36 64 357

$lab^*rgb^*_{Ma}$: 1.0 0.0 0.5

$lab^*olv^*_{Ma}$: 1.0 0.0 0.62

Dreiecks-Helligkeit i^*

%Umfang

$u^*_{rel} = 88$

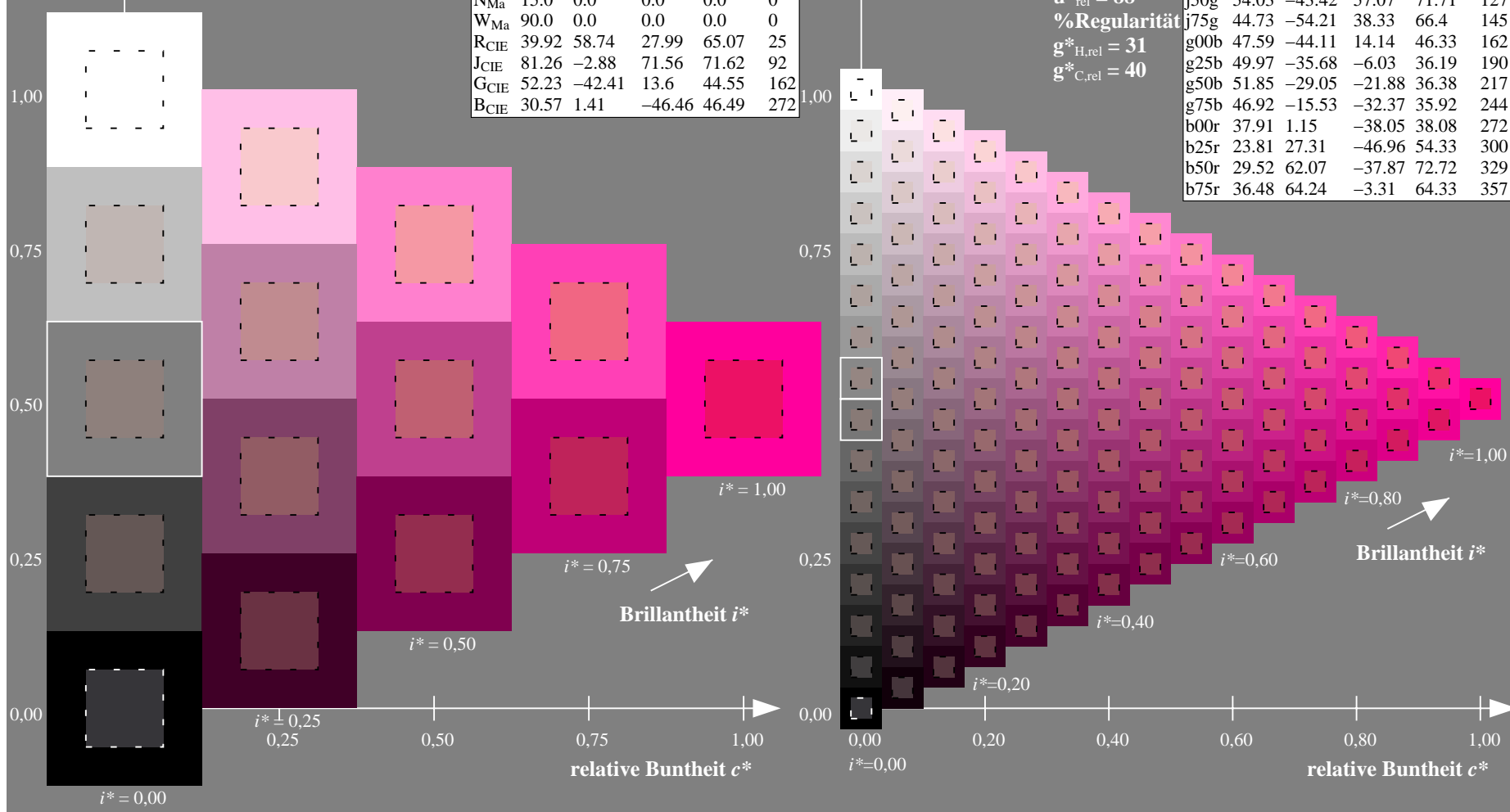
%Regularität

$g^*_{H,rel} = 31$

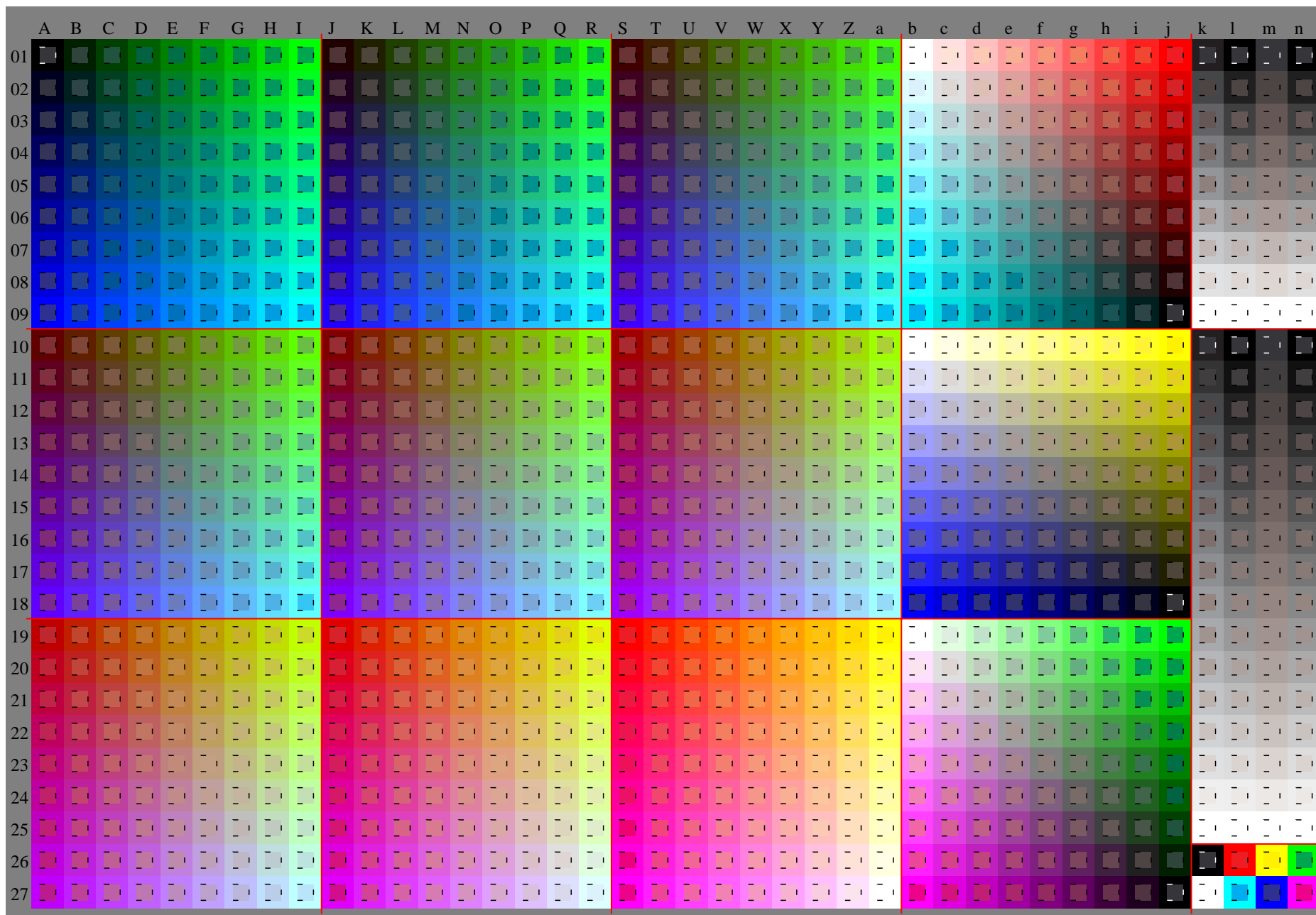
$g^*_{C,rel} = 40$

FRS15_90a; adaptierte CIELAB-Daten

	$L^*=L^*_a$	a^*_a	b^*_a	$C^*_{ab,a}$	$h^*_{ab,a}$
r00j	35.47	56.92	27.12	63.05	25
r25j	39.12	49.04	44.45	66.19	42
r50j	50.64	35.19	58.33	68.13	59
r75j	64.01	19.11	74.45	76.87	76
j00g	83.18	-3.93	97.56	97.64	92
j25g	66.73	-26.86	74.66	79.35	110
j50g	54.03	-43.42	57.07	71.71	127
j75g	44.73	-54.21	38.33	66.4	145
g00b	47.59	-44.11	14.14	46.33	162
g25b	49.97	-35.68	-6.03	36.19	190
g50b	51.85	-29.05	-21.88	36.38	217
g75b	46.92	-15.53	-32.37	35.92	244
b00r	37.91	1.15	-38.05	38.08	272
b25r	23.81	27.31	-46.96	54.33	300
b50r	29.52	62.07	-37.87	72.72	329
b75r	36.48	64.24	-3.31	64.33	357

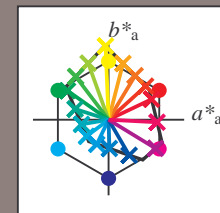


Siehe ähnliche Dateien: <http://www.ps.bam.de/Dg71/>; www.ps.bam.de/Dg71/HTM
Technische Information: <http://www.ps.bam.de> Version 2.1, io=1,1, ColSpx=0



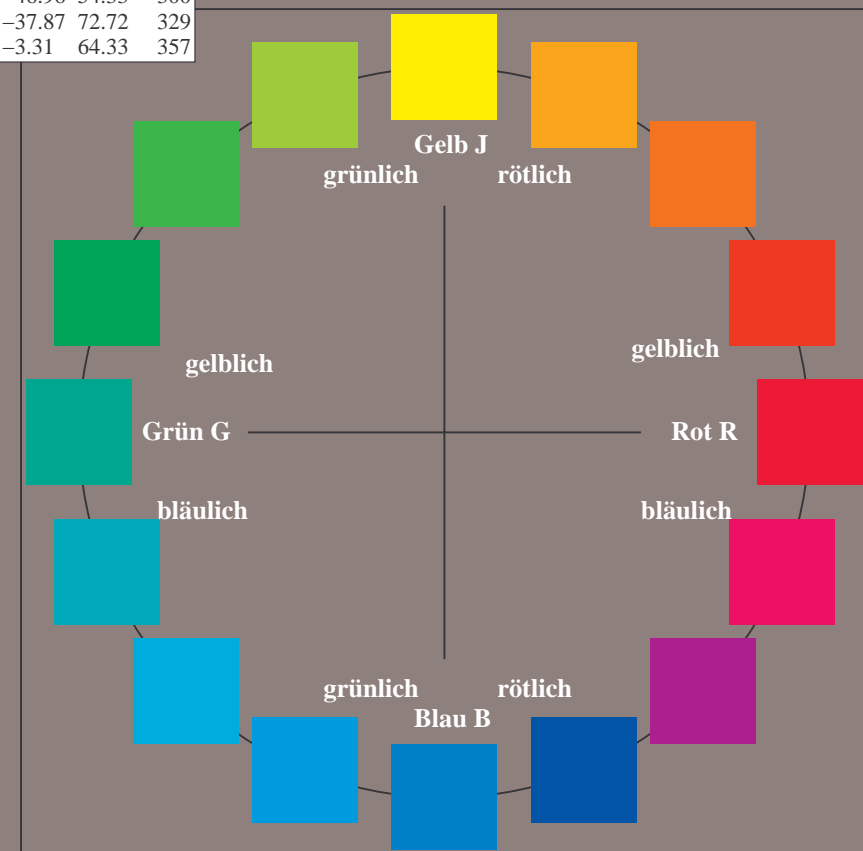
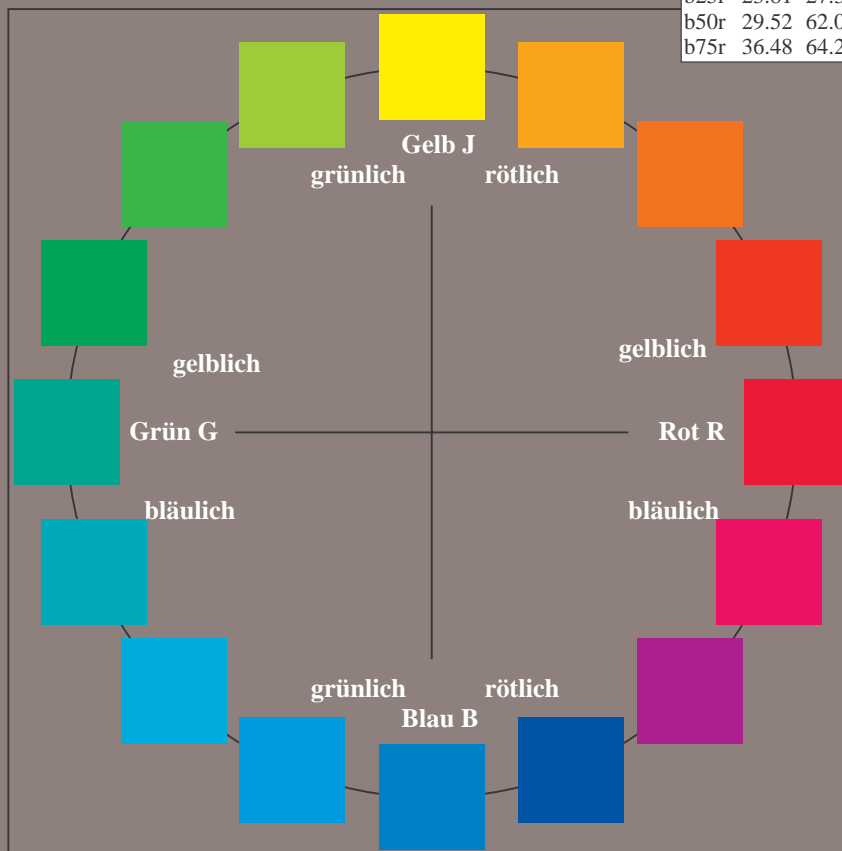
Ein und Ausgabe:
Farbmetrisches Drucker-Reflektiv-System FRS15_90a
Daten für jede Farbe:
*lab*_{ich}** und *lab*_{icu}**
Elementar-Bunttontext:
*u** = 16 Bunttöne *r00j*, *r25j*, ..., *b75r*
Kontrastreduzierungsfaktor:
c_R = 0.9

FRS15_90a; adaptierte CIELAB-Daten					
	<i>L*</i> = <i>L*</i> _a	<i>a*</i> _a	<i>b*</i> _a	<i>C*</i> _{ab,a}	<i>h*</i> _{ab,a}
r00j	35.47	56.92	27.12	63.05	25
r25j	39.12	49.04	44.45	66.19	42
r50j	50.64	35.19	58.33	68.13	59
r75j	64.01	19.11	74.45	76.87	76
j00g	83.18	-3.93	97.56	97.64	92
j25g	66.73	-26.86	74.66	79.35	110
j50g	54.03	-43.42	57.07	71.71	127
j75g	44.73	-54.21	38.33	66.4	145
g00b	47.59	-44.11	14.14	46.33	162
g25b	49.97	-35.68	-6.03	36.19	190
g50b	51.85	-29.05	-21.88	36.38	217
g75b	46.92	-15.53	-32.37	35.92	244
b00r	37.91	1.15	-38.05	38.08	272
b25r	23.81	27.31	-46.96	54.33	300
b50r	29.52	62.07	-37.87	72.72	329
b75r	36.48	64.24	-3.31	64.33	357



%Umfang
*u**_{rel} = 88
%Regularität
*g**_{H,rel} = 31
*g**_{C,rel} = 40

FRS15_90a; adaptierte CIELAB-Daten					
	<i>L*</i> = <i>L*</i> _a	<i>a*</i> _a	<i>b*</i> _a	<i>C*</i> _{ab,a}	<i>h*</i> _{ab,a}
O _{Ma}	35.06	53.93	39.55	66.88	36
Y _{Ma}	83.77	-4.63	98.26	98.37	93
L _{Ma}	44.13	-56.32	43.36	71.09	142
C _{Ma}	52.66	-26.18	-28.74	38.89	228
V _{Ma}	14.15	45.22	-53.06	69.72	310
M _{Ma}	37.37	70.69	-30.1	76.83	337
N _{Ma}	15.0	0.0	0.0	0.0	0
W _{Ma}	90.0	0.0	0.0	0.0	0
R _{CIE}	39.92	58.74	27.99	65.07	25
J _{CIE}	81.26	-2.88	71.56	71.62	92
G _{CIE}	52.23	-42.41	13.6	44.55	162
B _{CIE}	30.57	1.41	-46.46	46.49	272



Ein und Ausgabe: Farbmetrisches Drucker-Reflektiv-System FRS15_90a für relativen CIELAB-Buntton $h^* = lab^*h^* = h_{ab}/360 = 25/360 = 0.071$

Daten für jede Farbe:

lab^*tch^* und lab^*icu^*

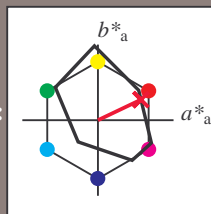
Elementar-Bunttontext:

$u^* = r00j$

Kontrastreduzierungsfaktor:

$c_R = 0.9$

Dreiecks-Helligkeit t^*



FRS15_90a; adaptierte CIELAB-Daten

	$L^*=L_a^*$	a_a^*	b_a^*	$C_{ab,a}^*$	$h_{ab,a}^*$
O _{Ma}	35.06	53.93	39.55	66.88	36
Y _{Ma}	83.77	-4.63	98.26	98.37	93
L _{Ma}	44.13	-56.32	43.36	71.09	142
C _{Ma}	52.66	-26.18	-28.74	38.89	228
V _{Ma}	14.15	45.22	-53.06	69.72	310
M _{Ma}	37.37	70.69	-30.1	76.83	337
N _{Ma}	15.0	0.0	0.0	0.0	0
W _{Ma}	90.0	0.0	0.0	0.0	0
R _{CIE}	39.92	58.74	27.99	65.07	25
J _{CIE}	81.26	-2.88	71.56	71.62	92
G _{CIE}	52.23	-42.41	13.6	44.55	162
B _{CIE}	30.57	1.41	-46.46	46.49	272

Daten für Maximalfarbe (Ma):

LAB^*LAB^*Ma : 35 57 27

LAB^*LCH^*Ma : 35 63 25

lab^*rgb^*Ma : 1.0 0.0 0.0

lab^*olv^*Ma : 1.0 0.0 0.18

Dreiecks-Helligkeit t^*

FRS15_90a; adaptierte CIELAB-Daten

	$L^*=L_a^*$	a_a^*	b_a^*	$C_{ab,a}^*$	$h_{ab,a}^*$
r00j	35.47	56.92	27.12	63.05	25
r25j	39.12	49.04	44.45	66.19	42
r50j	50.64	35.19	58.33	68.13	59
r75j	64.01	19.11	74.45	76.87	76
j00g	83.18	-3.93	97.56	97.64	92
j25g	66.73	-26.86	74.66	79.35	110
j50g	54.03	-43.42	57.07	71.71	127
j75g	44.73	-54.21	38.33	66.4	145
g00b	47.59	-44.11	14.14	46.33	162
g25b	49.97	-35.68	-6.03	36.19	190
g50b	51.85	-29.05	-21.88	36.38	217
g75b	46.92	-15.53	-32.37	35.92	244
b00r	37.91	1.15	-38.05	38.08	272
b25r	23.81	27.31	-46.96	54.33	300
b50r	29.52	62.07	-37.87	72.72	329
b75r	36.48	64.24	-3.31	64.33	357

%Umfang

$u^*_{rel} = 88$

%Regularität

$g^*_{H,rel} = 31$

$g^*_{C,rel} = 40$

Ein und Ausgabe: Farbmetrisches Drucker-Reflektiv-System FRS15_90a für relativen CIELAB-Buntton $h^* = lab^*h^* = h_{ab}/360 = 42/360 = 0.117$

Daten für jede Farbe:

lab^*tch^* und lab^*icu^*

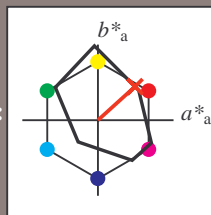
Elementar-Bunttontext:

$u^* = r25j$

Kontrastreduzierungsfaktor:

$c_R = 0.9$

Dreiecks-Helligkeit i^*



FRS15_90a; adaptierte CIELAB-Daten

	$L^*=L_a^*$	a_a^*	b_a^*	$C_{ab,a}^*$	$h_{ab,a}^*$
O _{Ma}	35.06	53.93	39.55	66.88	36
Y _{Ma}	83.77	-4.63	98.26	98.37	93
L _{Ma}	44.13	-56.32	43.36	71.09	142
C _{Ma}	52.66	-26.18	-28.74	38.89	228
V _{Ma}	14.15	45.22	-53.06	69.72	310
M _{Ma}	37.37	70.69	-30.1	76.83	337
N _{Ma}	15.0	0.0	0.0	0.0	0
W _{Ma}	90.0	0.0	0.0	0.0	0
R _{CIE}	39.92	58.74	27.99	65.07	25
J _{CIE}	81.26	-2.88	71.56	71.62	92
G _{CIE}	52.23	-42.41	13.6	44.55	162
B _{CIE}	30.57	1.41	-46.46	46.49	272

Daten für Maximalfarbe (Ma):

LAB^*LAB^*Ma : 39 49 44

LAB^*LCH^*Ma : 39 66 42

lab^*rgb^*Ma : 1.0 0.25 0.0

lab^*olv^*Ma : 1.0 0.08 0.0

Dreiecks-Helligkeit i^*

%Umfang

$u^*_{rel} = 88$

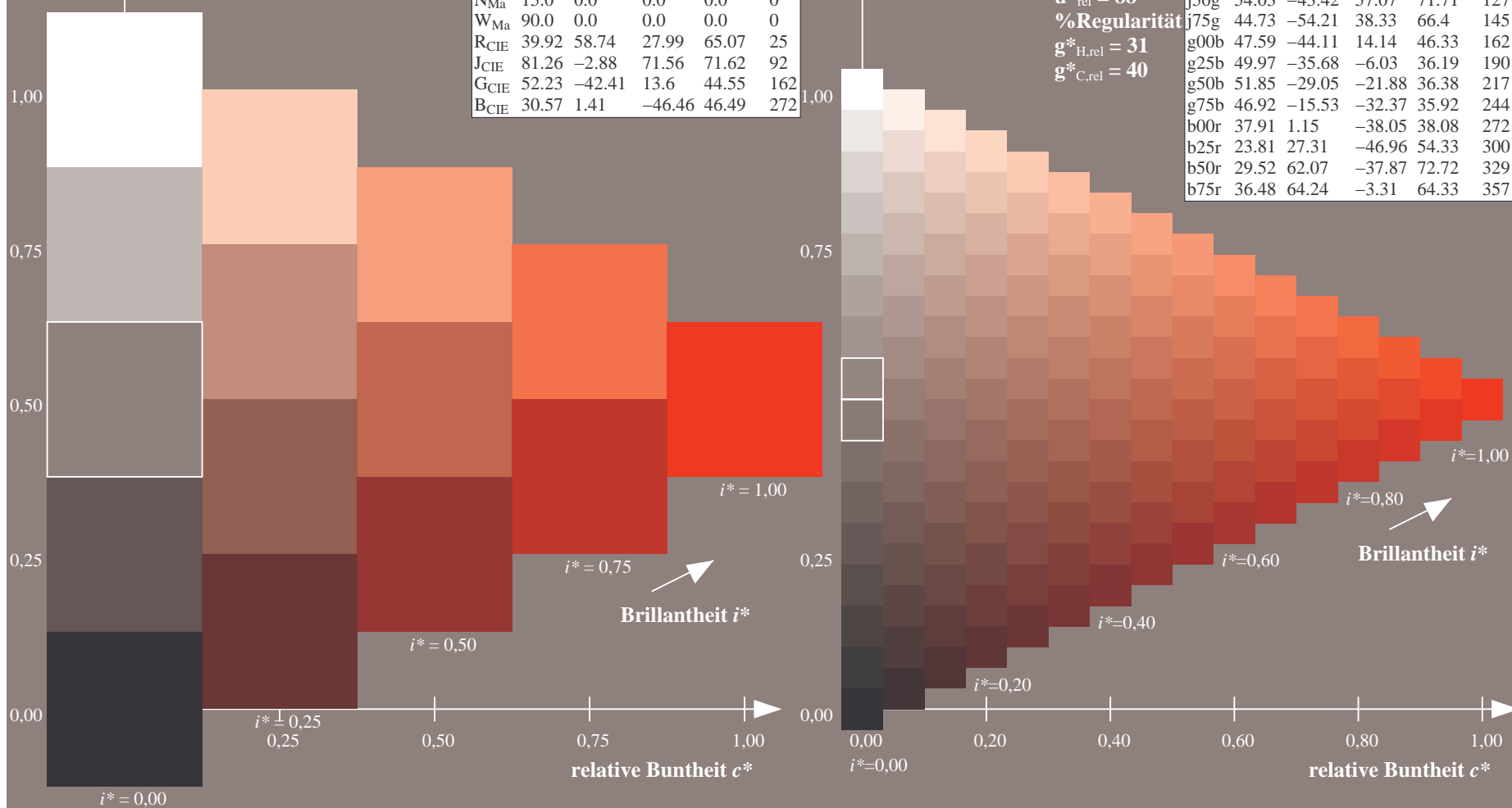
%Regularität

$g^*_{H,rel} = 31$

$g^*_{C,rel} = 40$

FRS15_90a; adaptierte CIELAB-Daten

	$L^*=L_a^*$	a_a^*	b_a^*	$C_{ab,a}^*$	$h_{ab,a}^*$
r00j	35.47	56.92	27.12	63.05	25
r25j	39.12	49.04	44.45	66.19	42
r50j	50.64	35.19	58.33	68.13	59
r75j	64.01	19.11	74.45	76.87	76
j00g	83.18	-3.93	97.56	97.64	92
j25g	66.73	-26.86	74.66	79.35	110
j50g	54.03	-43.42	57.07	71.71	127
j75g	44.73	-54.21	38.33	66.4	145
g00b	47.59	-44.11	14.14	46.33	162
g25b	49.97	-35.68	-6.03	36.19	190
g50b	51.85	-29.05	-21.88	36.38	217
g75b	46.92	-15.53	-32.37	35.92	244
b00r	37.91	1.15	-38.05	38.08	272
b25r	23.81	27.31	-46.96	54.33	300
b50r	29.52	62.07	-37.87	72.72	329
b75r	36.48	64.24	-3.31	64.33	357



Ein und Ausgabe: Farbmetrisches Drucker-Reflektiv-System FRS15_90a für relativen CIELAB-Buntton $h^* = lab^*h^* = h_{ab}/360 = 59/360 = 0.164$

Daten für jede Farbe:

lab^*tch^* und lab^*icu^*

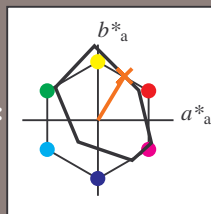
Elementar-Bunttontext:

$u^* = r50j$

Kontrastreduzierungsfaktor:

$c_R = 0.9$

Dreiecks-Helligkeit t^*



FRS15_90a; adaptierte CIELAB-Daten

	$L^*=L^*_a$	a^*_a	b^*_a	$C^*_{ab,a}$	$h^*_{ab,a}$
O _{Ma}	35.06	53.93	39.55	66.88	36
Y _{Ma}	83.77	-4.63	98.26	98.37	93
L _{Ma}	44.13	-56.32	43.36	71.09	142
C _{Ma}	52.66	-26.18	-28.74	38.89	228
V _{Ma}	14.15	45.22	-53.06	69.72	310
M _{Ma}	37.37	70.69	-30.1	76.83	337
N _{Ma}	15.0	0.0	0.0	0.0	0
W _{Ma}	90.0	0.0	0.0	0.0	0
R _{CIE}	39.92	58.74	27.99	65.07	25
J _{CIE}	81.26	-2.88	71.56	71.62	92
G _{CIE}	52.23	-42.41	13.6	44.55	162
B _{CIE}	30.57	1.41	-46.46	46.49	272

Daten für Maximalfarbe (Ma):

$LAB^*LAB^*_{Ma}$: 51 35 58

$LAB^*LCH^*_{Ma}$: 51 68 59

$lab^*rgb^*_{Ma}$: 1.0 0.5 0.0

$lab^*olv^*_{Ma}$: 1.0 0.32 0.0

Dreiecks-Helligkeit t^*

%Umfang

$u^*_{rel} = 88$

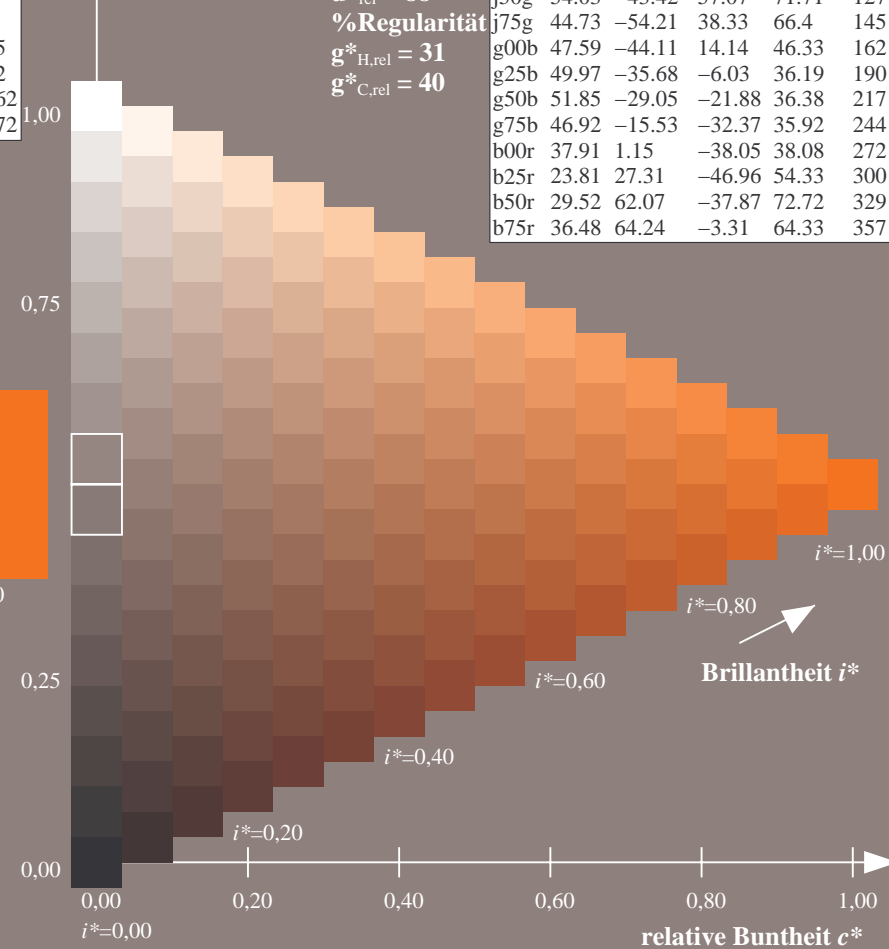
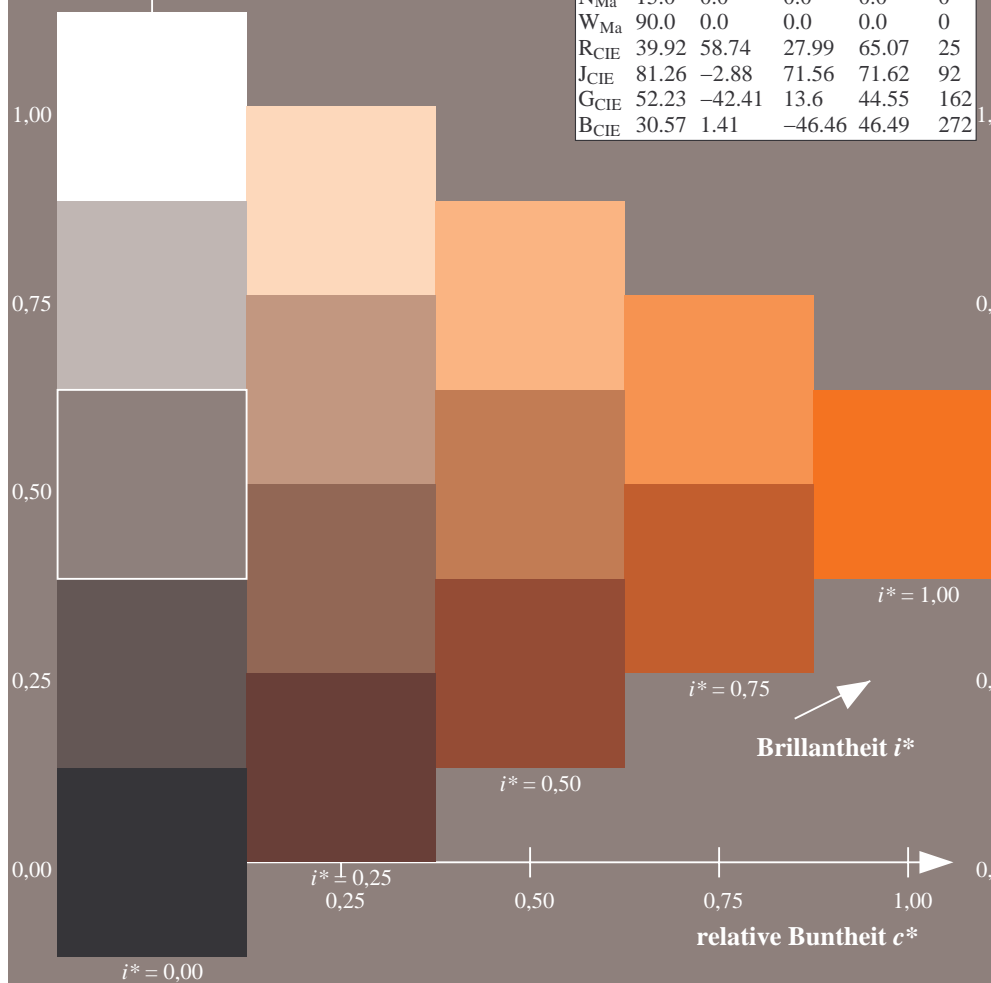
%Regularität

$g^*_{H,rel} = 31$

$g^*_{C,rel} = 40$

FRS15_90a; adaptierte CIELAB-Daten

	$L^*=L^*_a$	a^*_a	b^*_a	$C^*_{ab,a}$	$h^*_{ab,a}$
r00j	35.47	56.92	27.12	63.05	25
r25j	39.12	49.04	44.45	66.19	42
r50j	50.64	35.19	58.33	68.13	59
r75j	64.01	19.11	74.45	76.87	76
j00g	83.18	-3.93	97.56	97.64	92
j25g	66.73	-26.86	74.66	79.35	110
j50g	54.03	-43.42	57.07	71.71	127
j75g	44.73	-54.21	38.33	66.4	145
g00b	47.59	-44.11	14.14	46.33	162
g25b	49.97	-35.68	-6.03	36.19	190
g50b	51.85	-29.05	-21.88	36.38	217
g75b	46.92	-15.53	-32.37	35.92	244
b00r	37.91	1.15	-38.05	38.08	272
b25r	23.81	27.31	-46.96	54.33	300
b50r	29.52	62.07	-37.87	72.72	329
b75r	36.48	64.24	-3.31	64.33	357



Ein und Ausgabe: Farbmetrisches Drucker-Reflektiv-System FRS15_90a für relativen CIELAB-Buntton $h^* = lab^*h^* = h_{ab}/360 = 76/360 = 0.21$

Daten für jede Farbe:

lab^*tch^* und lab^*icu^*

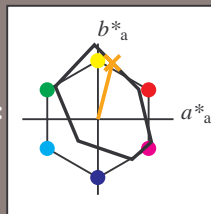
Elementar-Bunttontext:

$u^* = r75j$

Kontrastreduzierungsfaktor:

$c_R = 0.9$

Dreiecks-Helligkeit t^*



FRS15_90a; adaptierte CIELAB-Daten

	$L^*=L^*_a$	a^*_a	b^*_a	$C^*_{ab,a}$	$h^*_{ab,a}$
O _{Ma}	35.06	53.93	39.55	66.88	36
Y _{Ma}	83.77	-4.63	98.26	98.37	93
L _{Ma}	44.13	-56.32	43.36	71.09	142
C _{Ma}	52.66	-26.18	-28.74	38.89	228
V _{Ma}	14.15	45.22	-53.06	69.72	310
M _{Ma}	37.37	70.69	-30.1	76.83	337
N _{Ma}	15.0	0.0	0.0	0.0	0
W _{Ma}	90.0	0.0	0.0	0.0	0
R _{CIE}	39.92	58.74	27.99	65.07	25
J _{CIE}	81.26	-2.88	71.56	71.62	92
G _{CIE}	52.23	-42.41	13.6	44.55	162
B _{CIE}	30.57	1.41	-46.46	46.49	272

Daten für Maximalfarbe (Ma):

$LAB^*LAB^*_{Ma}$: 64 19 74

$LAB^*LCH^*_{Ma}$: 64 77 76

$lab^*rgb^*_{Ma}$: 1.0 0.75 0.0

$lab^*olv^*_{Ma}$: 1.0 0.59 0.0

Dreiecks-Helligkeit t^*

%Umfang

$u^*_{rel} = 88$

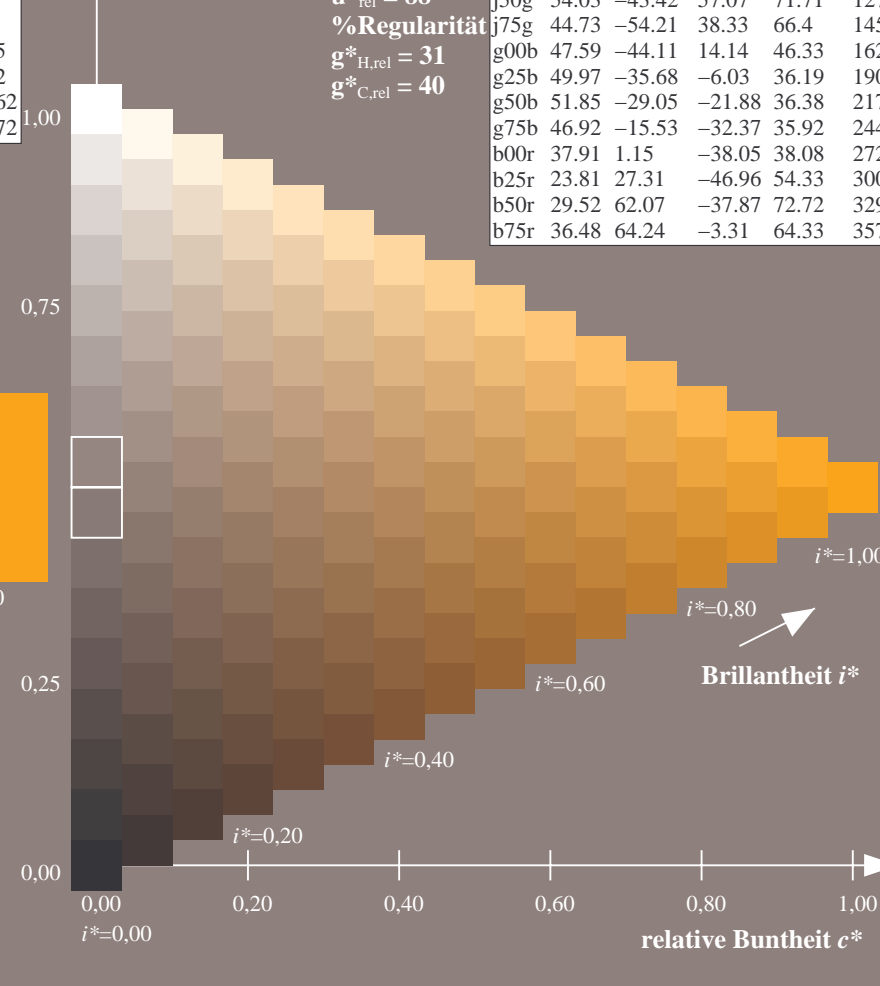
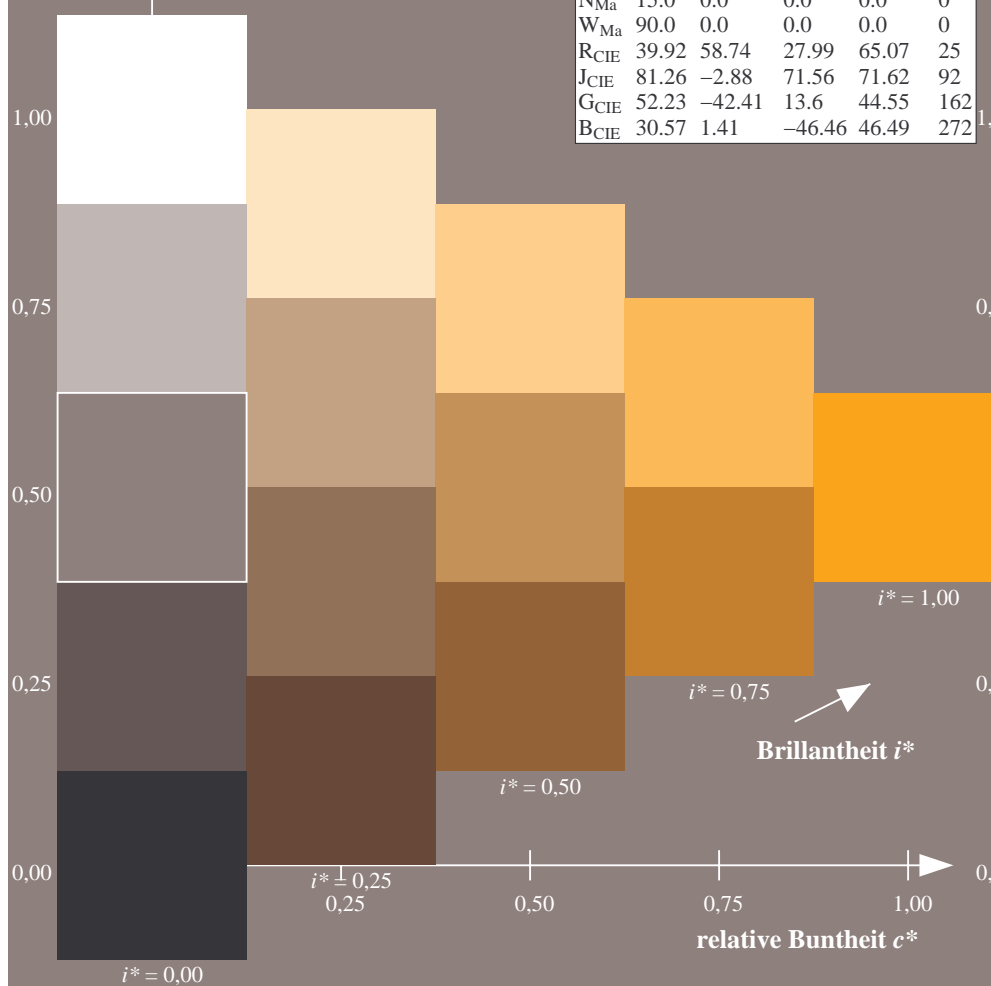
%Regularität

$g^*_{H,rel} = 31$

$g^*_{C,rel} = 40$

FRS15_90a; adaptierte CIELAB-Daten

	$L^*=L^*_a$	a^*_a	b^*_a	$C^*_{ab,a}$	$h^*_{ab,a}$
r00j	35.47	56.92	27.12	63.05	25
r25j	39.12	49.04	44.45	66.19	42
r50j	50.64	35.19	58.33	68.13	59
r75j	64.01	19.11	74.45	76.87	76
j00g	83.18	-3.93	97.56	97.64	92
j25g	66.73	-26.86	74.66	79.35	110
j50g	54.03	-43.42	57.07	71.71	127
j75g	44.73	-54.21	38.33	66.4	145
g00b	47.59	-44.11	14.14	46.33	162
g25b	49.97	-35.68	-6.03	36.19	190
g50b	51.85	-29.05	-21.88	36.38	217
g75b	46.92	-15.53	-32.37	35.92	244
b00r	37.91	1.15	-38.05	38.08	272
b25r	23.81	27.31	-46.96	54.33	300
b50r	29.52	62.07	-37.87	72.72	329
b75r	36.48	64.24	-3.31	64.33	357



Ein und Ausgabe: Farbmetrisches Drucker-Reflektiv-System FRS15_90a für relativen CIELAB-Buntton $h^* = lab^*h^* = h_{ab}/360 = 92/360 = 0.256$

Daten für jede Farbe:

lab^*ch^* und lab^*icu^*

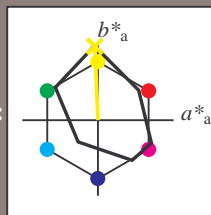
Elementar-Bunttontext:

$u^* = j00g$

Kontrastreduzierungsfaktor:

$c_R = 0.9$

Dreiecks-Helligkeit t^*



FRS15_90a; adaptierte CIELAB-Daten

	$L^*=L^*_a$	a^*_a	b^*_a	$C^*_{ab,a}$	$h^*_{ab,a}$
O _{Ma}	35.06	53.93	39.55	66.88	36
Y _{Ma}	83.77	-4.63	98.26	98.37	93
L _{Ma}	44.13	-56.32	43.36	71.09	142
C _{Ma}	52.66	-26.18	-28.74	38.89	228
V _{Ma}	14.15	45.22	-53.06	69.72	310
M _{Ma}	37.37	70.69	-30.1	76.83	337
N _{Ma}	15.0	0.0	0.0	0.0	0
W _{Ma}	90.0	0.0	0.0	0.0	0
R _{CIE}	39.92	58.74	27.99	65.07	25
J _{CIE}	81.26	-2.88	71.56	71.62	92
G _{CIE}	52.23	-42.41	13.6	44.55	162
B _{CIE}	30.57	1.41	-46.46	46.49	272

Daten für Maximalfarbe (Ma):

$LAB^*LAB^*_{Ma}$: 83 -3 98

$LAB^*LCH^*_{Ma}$: 83 98 92

$lab^*rgb^*_{Ma}$: 1.0 1.0 0.0

$lab^*olv^*_{Ma}$: 1.0 0.99 0.0

Dreiecks-Helligkeit t^*

%Umfang

$u^*_{rel} = 88$

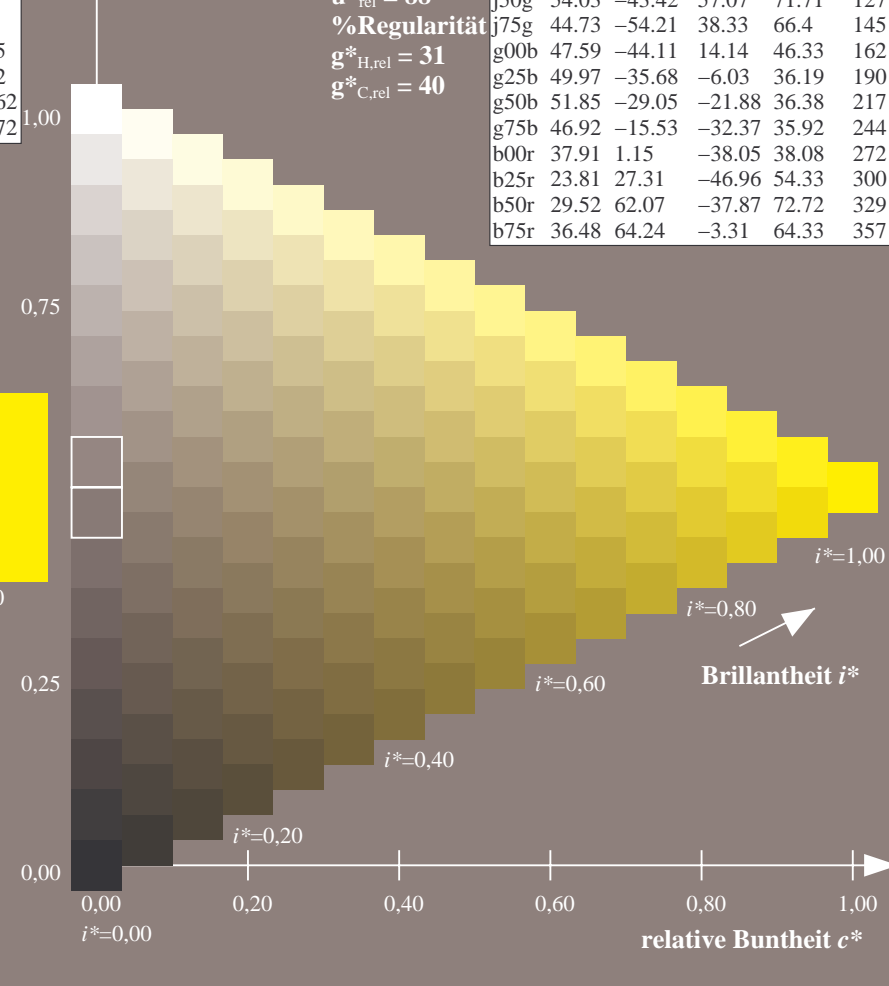
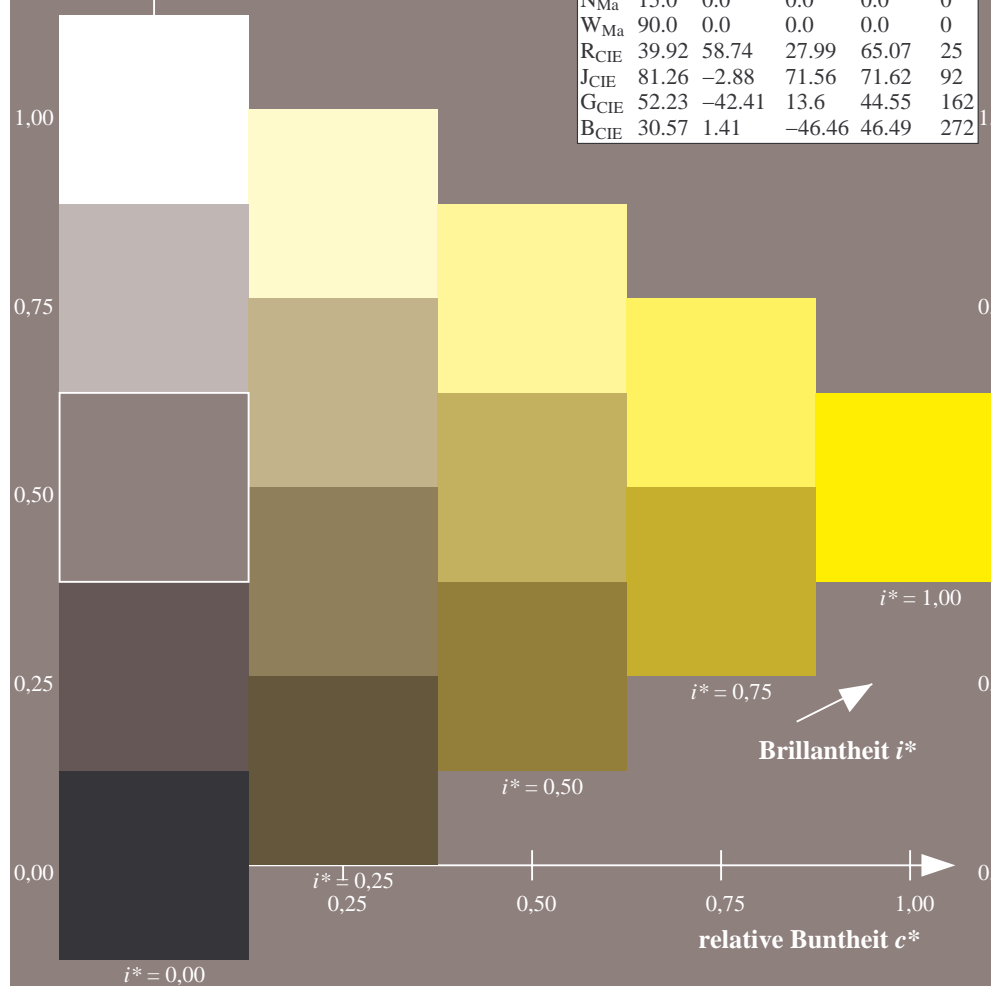
%Regularität

$g^*_{H,rel} = 31$

$g^*_{C,rel} = 40$

FRS15_90a; adaptierte CIELAB-Daten

	$L^*=L^*_a$	a^*_a	b^*_a	$C^*_{ab,a}$	$h^*_{ab,a}$
r00j	35.47	56.92	27.12	63.05	25
r25j	39.12	49.04	44.45	66.19	42
r50j	50.64	35.19	58.33	68.13	59
r75j	64.01	19.11	74.45	76.87	76
j00g	83.18	-3.93	97.56	97.64	92
j25g	66.73	-26.86	74.66	79.35	110
j50g	54.03	-43.42	57.07	71.71	127
j75g	44.73	-54.21	38.33	66.4	145
g00b	47.59	-44.11	14.14	46.33	162
g25b	49.97	-35.68	-6.03	36.19	190
g50b	51.85	-29.05	-21.88	36.38	217
g75b	46.92	-15.53	-32.37	35.92	244
b00r	37.91	1.15	-38.05	38.08	272
b25r	23.81	27.31	-46.96	54.33	300
b50r	29.52	62.07	-37.87	72.72	329
b75r	36.48	64.24	-3.31	64.33	357



Ein und Ausgabe: Farbmetrisches Drucker-Reflektiv-System FRS15_90a für relativen CIELAB-Buntton $h^* = lab^*h^* = h_{ab}/360 = 110/360 = 0.305$

Daten für jede Farbe:

lab^*tch^* und lab^*icu^*

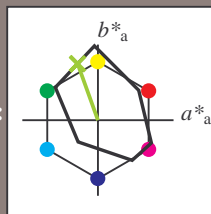
Elementar-Bunttontext:

$u^* = j25g$

Kontrastreduzierungsfaktor:

$c_R = 0.9$

Dreiecks-Helligkeit i^*



FRS15_90a; adaptierte CIELAB-Daten

	$L^*=L^*_a$	a^*_a	b^*_a	$C^*_{ab,a}$	$h^*_{ab,a}$
O _{Ma}	35.06	53.93	39.55	66.88	36
Y _{Ma}	83.77	-4.63	98.26	98.37	93
L _{Ma}	44.13	-56.32	43.36	71.09	142
C _{Ma}	52.66	-26.18	-28.74	38.89	228
V _{Ma}	14.15	45.22	-53.06	69.72	310
M _{Ma}	37.37	70.69	-30.1	76.83	337
N _{Ma}	15.0	0.0	0.0	0.0	0
W _{Ma}	90.0	0.0	0.0	0.0	0
R _{CIE}	39.92	58.74	27.99	65.07	25
J _{CIE}	81.26	-2.88	71.56	71.62	92
G _{CIE}	52.23	-42.41	13.6	44.55	162
B _{CIE}	30.57	1.41	-46.46	46.49	272

Daten für Maximalfarbe (Ma):

$LAB^*LAB^*_{Ma}$: 67 -26 75

$LAB^*LCH^*_{Ma}$: 67 79 110

$lab^*rgb^*_{Ma}$: 0.75 1.0 0.0

$lab^*olv^*_{Ma}$: 0.57 1.0 0.0

Dreiecks-Helligkeit i^*

%Umfang

$u^*_{rel} = 88$

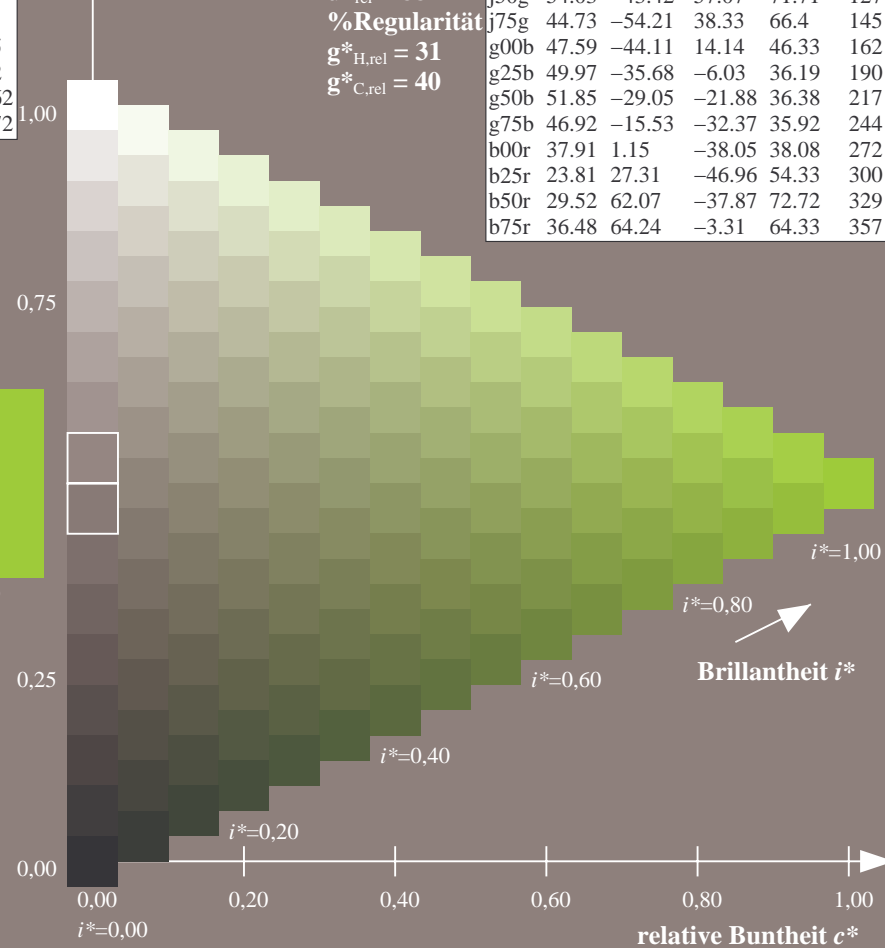
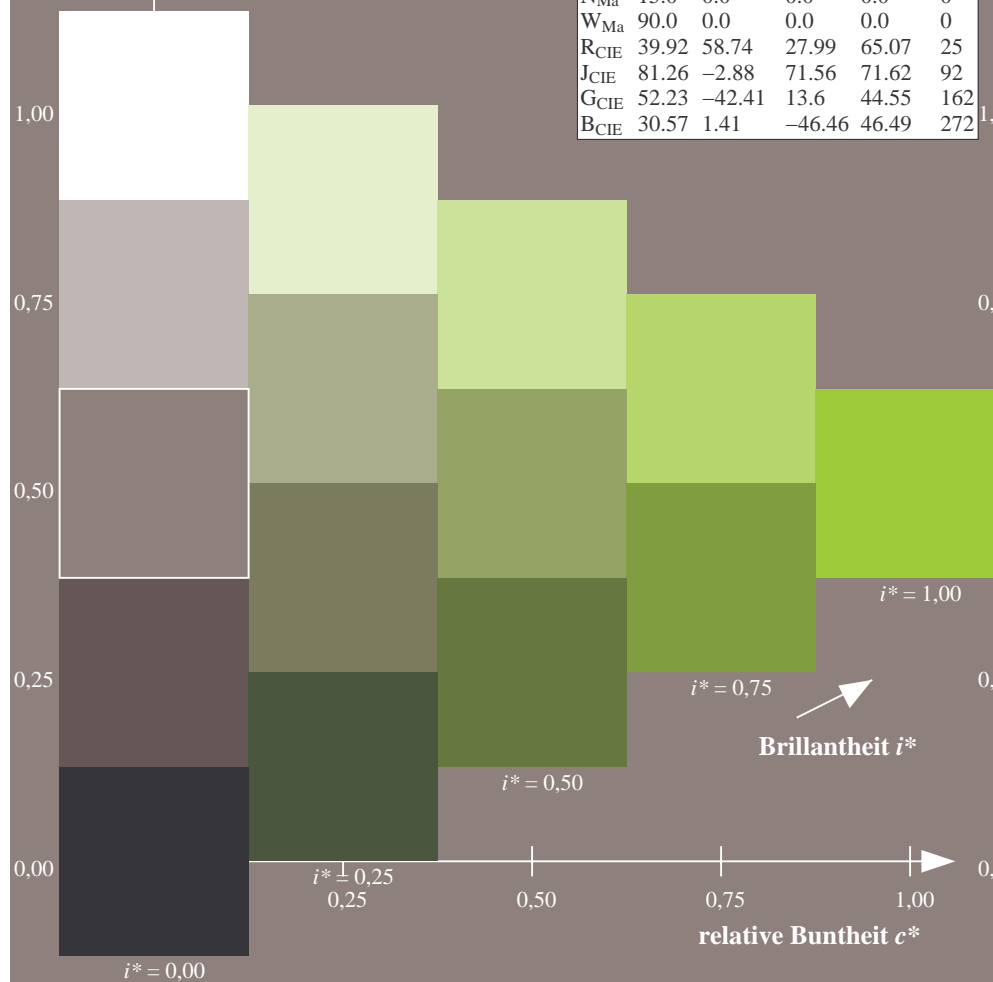
%Regularität

$g^*_{H,rel} = 31$

$g^*_{C,rel} = 40$

FRS15_90a; adaptierte CIELAB-Daten

	$L^*=L^*_a$	a^*_a	b^*_a	$C^*_{ab,a}$	$h^*_{ab,a}$
r00j	35.47	56.92	27.12	63.05	25
r25j	39.12	49.04	44.45	66.19	42
r50j	50.64	35.19	58.33	68.13	59
r75j	64.01	19.11	74.45	76.87	76
j00g	83.18	-3.93	97.56	97.64	92
j25g	66.73	-26.86	74.66	79.35	110
j50g	54.03	-43.42	57.07	71.71	127
j75g	44.73	-54.21	38.33	66.4	145
g00b	47.59	-44.11	14.14	46.33	162
g25b	49.97	-35.68	-6.03	36.19	190
g50b	51.85	-29.05	-21.88	36.38	217
g75b	46.92	-15.53	-32.37	35.92	244
b00r	37.91	1.15	-38.05	38.08	272
b25r	23.81	27.31	-46.96	54.33	300
b50r	29.52	62.07	-37.87	72.72	329
b75r	36.48	64.24	-3.31	64.33	357



Ein und Ausgabe: Farbmetrisches Drucker-Reflektiv-System FRS15_90a für relativen CIELAB-Buntton $h^* = lab^*h^* = h_{ab}/360 = 127/360 = 0.354$

Daten für jede Farbe:

lab^*tch^* und lab^*icu^*

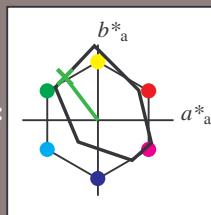
Elementar-Bunttontext:

$u^* = j50g$

Kontrastreduzierungsfaktor:

$c_R = 0.9$

Dreiecks-Helligkeit i^*



FRS15_90a; adaptierte CIELAB-Daten

	$L^*=L_a^*$	a_a^*	b_a^*	$C^*_{ab,a}$	$h^*_{ab,a}$
O _{Ma}	35.06	53.93	39.55	66.88	36
Y _{Ma}	83.77	-4.63	98.26	98.37	93
L _{Ma}	44.13	-56.32	43.36	71.09	142
C _{Ma}	52.66	-26.18	-28.74	38.89	228
V _{Ma}	14.15	45.22	-53.06	69.72	310
M _{Ma}	37.37	70.69	-30.1	76.83	337
N _{Ma}	15.0	0.0	0.0	0.0	0
W _{Ma}	90.0	0.0	0.0	0.0	0
R _{CIE}	39.92	58.74	27.99	65.07	25
J _{CIE}	81.26	-2.88	71.56	71.62	92
G _{CIE}	52.23	-42.41	13.6	44.55	162
B _{CIE}	30.57	1.41	-46.46	46.49	272

Daten für Maximalfarbe (Ma):

$LAB^*LAB^*_{Ma}$: 54 -42 57

$LAB^*LCH^*_{Ma}$: 54 72 127

$lab^*rgb^*_{Ma}$: 0.5 1.0 0.0

$lab^*olv^*_{Ma}$: 0.25 1.0 0.0

Dreiecks-Helligkeit i^*

%Umfang

$u^*_{rel} = 88$

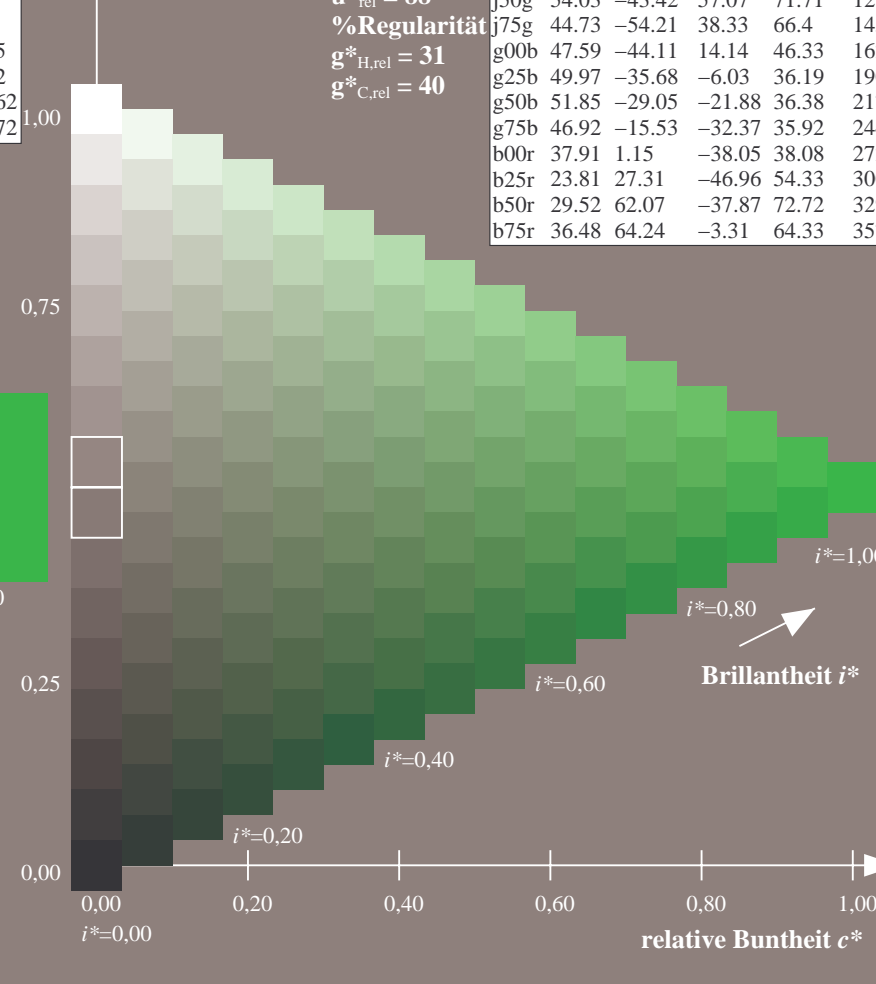
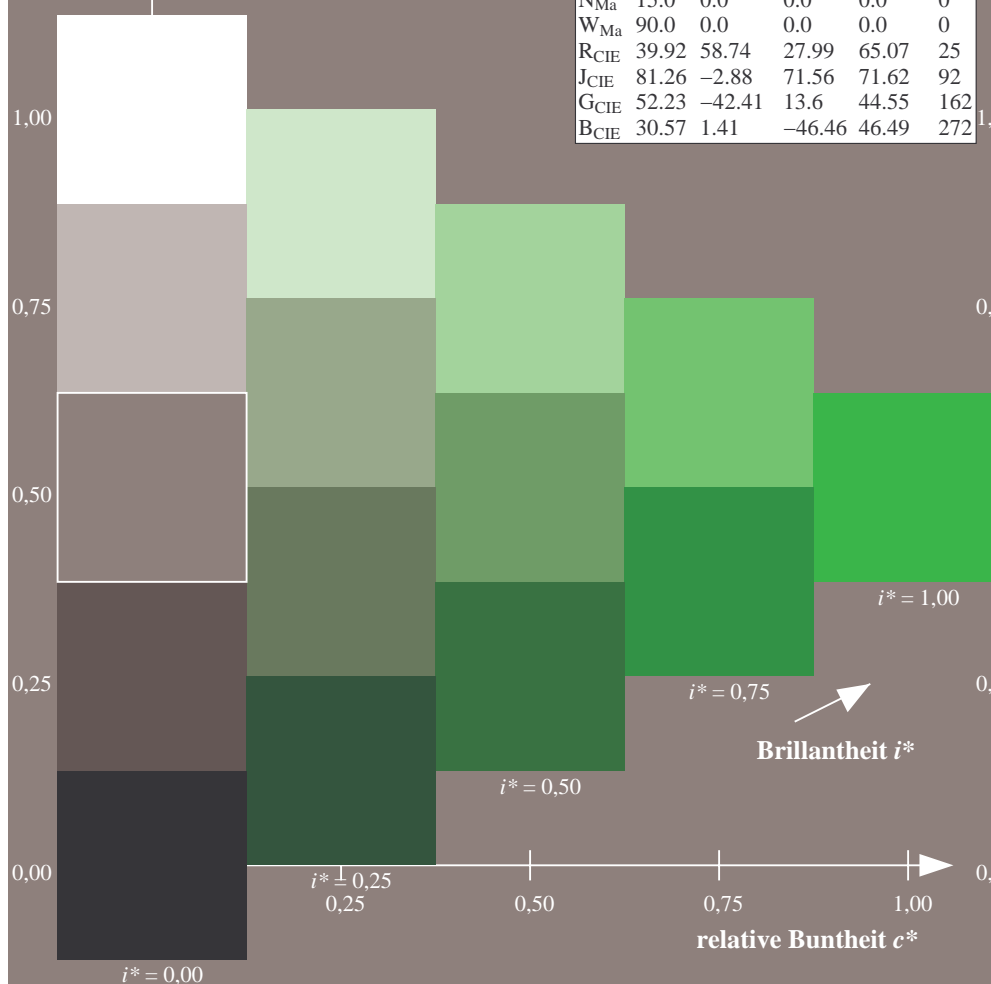
%Regularität

$g^*_{H,rel} = 31$

$g^*_{C,rel} = 40$

FRS15_90a; adaptierte CIELAB-Daten

	$L^*=L_a^*$	a_a^*	b_a^*	$C^*_{ab,a}$	$h^*_{ab,a}$
r00j	35.47	56.92	27.12	63.05	25
r25j	39.12	49.04	44.45	66.19	42
r50j	50.64	35.19	58.33	68.13	59
r75j	64.01	19.11	74.45	76.87	76
j00g	83.18	-3.93	97.56	97.64	92
j25g	66.73	-26.86	74.66	79.35	110
j50g	54.03	-43.42	57.07	71.71	127
j75g	44.73	-54.21	38.33	66.4	145
g00b	47.59	-44.11	14.14	46.33	162
g25b	49.97	-35.68	-6.03	36.19	190
g50b	51.85	-29.05	-21.88	36.38	217
g75b	46.92	-15.53	-32.37	35.92	244
b00r	37.91	1.15	-38.05	38.08	272
b25r	23.81	27.31	-46.96	54.33	300
b50r	29.52	62.07	-37.87	72.72	329
b75r	36.48	64.24	-3.31	64.33	357



Ein und Ausgabe: Farbmetrisches Drucker-Reflektiv-System FRS15_90a für relativen CIELAB-Buntton $h^* = lab^*h^* = h_{ab}/360 = 145/360 = 0.402$

Daten für jede Farbe:

lab^*ch^* und lab^*icu^*

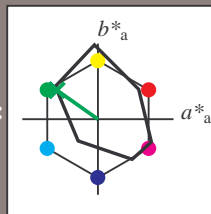
Elementar-Bunttontext:

$u^* = j75g$

Kontrastreduzierungsfaktor:

$c_R = 0.9$

Dreiecks-Helligkeit i^*



FRS15_90a; adaptierte CIELAB-Daten

	$L^*=L^*_a$	a^*_a	b^*_a	$C^*_{ab,a}$	$h^*_{ab,a}$
O _{Ma}	35.06	53.93	39.55	66.88	36
Y _{Ma}	83.77	-4.63	98.26	98.37	93
L _{Ma}	44.13	-56.32	43.36	71.09	142
C _{Ma}	52.66	-26.18	-28.74	38.89	228
V _{Ma}	14.15	45.22	-53.06	69.72	310
M _{Ma}	37.37	70.69	-30.1	76.83	337
N _{Ma}	15.0	0.0	0.0	0.0	0
W _{Ma}	90.0	0.0	0.0	0.0	0
R _{CIE}	39.92	58.74	27.99	65.07	25
J _{CIE}	81.26	-2.88	71.56	71.62	92
G _{CIE}	52.23	-42.41	13.6	44.55	162
B _{CIE}	30.57	1.41	-46.46	46.49	272

Daten für Maximalfarbe (Ma):

$LAB^*LAB^*_{Ma}$: 45 -53 38

$LAB^*LCH^*_{Ma}$: 45 66 145

$lab^*rgb^*_{Ma}$: 0.25 1.0 0.0

$lab^*olv^*_{Ma}$: 0.0 1.0 0.07

Dreiecks-Helligkeit i^*

%Umfang

$u^*_{rel} = 88$

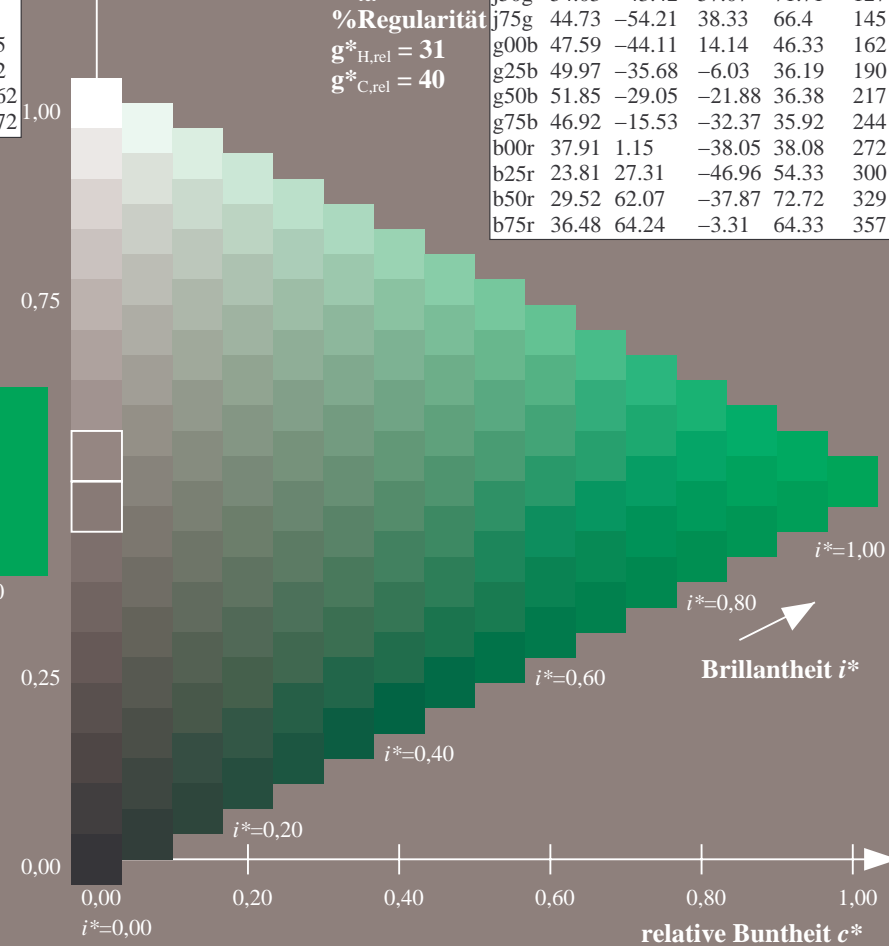
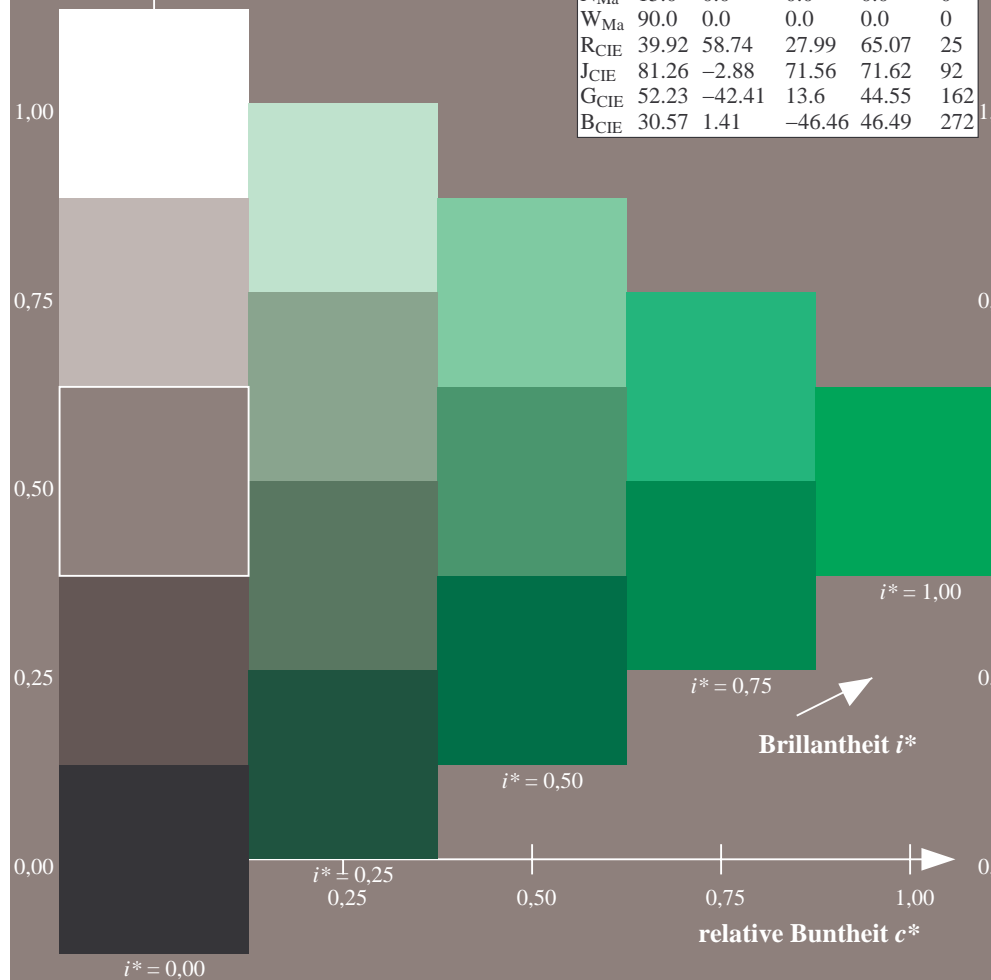
%Regularität

$g^*_{H,rel} = 31$

$g^*_{C,rel} = 40$

FRS15_90a; adaptierte CIELAB-Daten

	$L^*=L^*_a$	a^*_a	b^*_a	$C^*_{ab,a}$	$h^*_{ab,a}$
r00j	35.47	56.92	27.12	63.05	25
r25j	39.12	49.04	44.45	66.19	42
r50j	50.64	35.19	58.33	68.13	59
r75j	64.01	19.11	74.45	76.87	76
j00g	83.18	-3.93	97.56	97.64	92
j25g	66.73	-26.86	74.66	79.35	110
j50g	54.03	-43.42	57.07	71.71	127
j75g	44.73	-54.21	38.33	66.4	145
g00b	47.59	-44.11	14.14	46.33	162
g25b	49.97	-35.68	-6.03	36.19	190
g50b	51.85	-29.05	-21.88	36.38	217
g75b	46.92	-15.53	-32.37	35.92	244
b00r	37.91	1.15	-38.05	38.08	272
b25r	23.81	27.31	-46.96	54.33	300
b50r	29.52	62.07	-37.87	72.72	329
b75r	36.48	64.24	-3.31	64.33	357



Ein und Ausgabe: Farbmetrisches Drucker-Reflektiv-System FRS15_90a für relativen CIELAB-Buntton $h^* = lab^*h^* = h_{ab}/360 = 162/360 = 0.451$

Daten für jede Farbe:

lab^*ch^* und lab^*icu^*

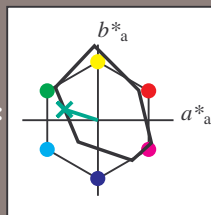
Elementar-Bunttontext:

$u^* = g00b$

Kontrastreduzierungsfaktor:

$c_R = 0.9$

Dreiecks-Helligkeit t^*



FRS15_90a; adaptierte CIELAB-Daten

	$L^*=L_a^*$	a_a^*	b_a^*	$C_{ab,a}^*$	$h_{ab,a}^*$
O _{Ma}	35.06	53.93	39.55	66.88	36
Y _{Ma}	83.77	-4.63	98.26	98.37	93
L _{Ma}	44.13	-56.32	43.36	71.09	142
C _{Ma}	52.66	-26.18	-28.74	38.89	228
V _{Ma}	14.15	45.22	-53.06	69.72	310
M _{Ma}	37.37	70.69	-30.1	76.83	337
N _{Ma}	15.0	0.0	0.0	0.0	0
W _{Ma}	90.0	0.0	0.0	0.0	0
R _{CIE}	39.92	58.74	27.99	65.07	25
J _{CIE}	81.26	-2.88	71.56	71.62	92
G _{CIE}	52.23	-42.41	13.6	44.55	162
B _{CIE}	30.57	1.41	-46.46	46.49	272

Daten für Maximalfarbe (Ma):

$LAB^*LAB^*_{Ma}$: 48 -43 14

$LAB^*LCH^*_{Ma}$: 48 46 162

$lab^*rgb^*_{Ma}$: 0.0 1.0 0.0

$lab^*olv^*_{Ma}$: 0.0 1.0 0.41

Dreiecks-Helligkeit t^*

%Umfang

$u^*_{rel} = 88$

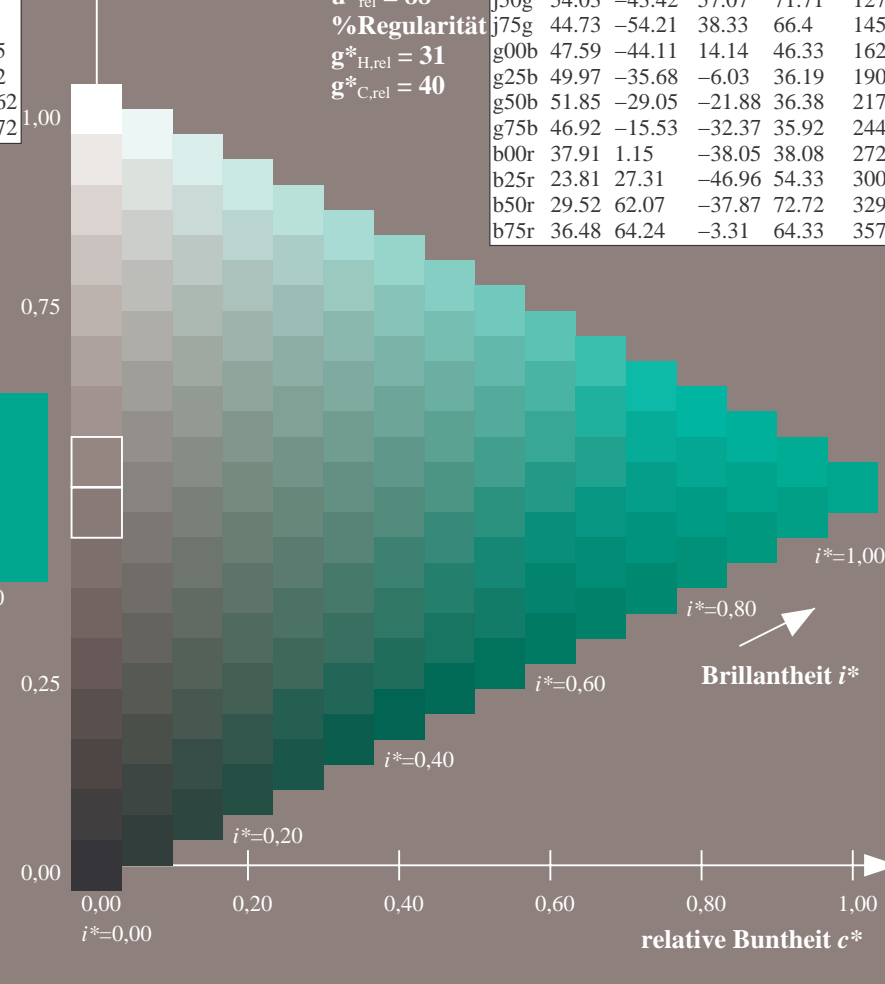
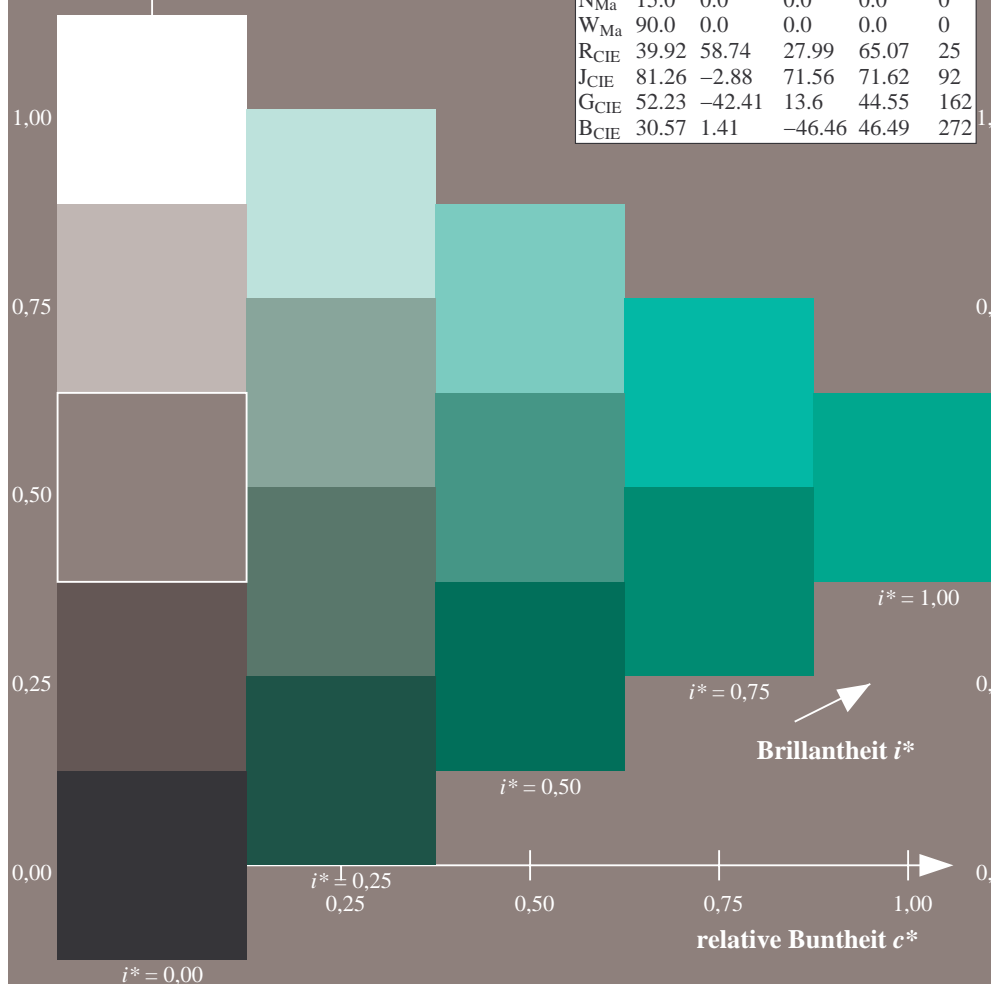
%Regularität

$g^*_{H,rel} = 31$

$g^*_{C,rel} = 40$

FRS15_90a; adaptierte CIELAB-Daten

	$L^*=L_a^*$	a_a^*	b_a^*	$C_{ab,a}^*$	$h_{ab,a}^*$
r00j	35.47	56.92	27.12	63.05	25
r25j	39.12	49.04	44.45	66.19	42
r50j	50.64	35.19	58.33	68.13	59
r75j	64.01	19.11	74.45	76.87	76
j00g	83.18	-3.93	97.56	97.64	92
j25g	66.73	-26.86	74.66	79.35	110
j50g	54.03	-43.42	57.07	71.71	127
j75g	44.73	-54.21	38.33	66.4	145
g00b	47.59	-44.11	14.14	46.33	162
g25b	49.97	-35.68	-6.03	36.19	190
g50b	51.85	-29.05	-21.88	36.38	217
g75b	46.92	-15.53	-32.37	35.92	244
b00r	37.91	1.15	-38.05	38.08	272
b25r	23.81	27.31	-46.96	54.33	300
b50r	29.52	62.07	-37.87	72.72	329
b75r	36.48	64.24	-3.31	64.33	357



Ein und Ausgabe: Farbmetrisches Drucker-Reflektiv-System FRS15_90a für relativen CIELAB-Buntton $h^* = lab^*h^* = h_{ab}/360 = 190/360 = 0.527$

Daten für jede Farbe:

lab^*ch^* und lab^*icu^*

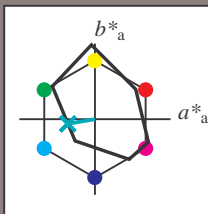
Elementar-Bunttontext:

$u^* = g25b$

Kontrastreduzierungsfaktor:

$c_R = 0.9$

Dreiecks-Helligkeit i^*



FRS15_90a; adaptierte CIELAB-Daten

	$L^*=L_a^*$	a_a^*	b_a^*	$C_{ab,a}^*$	$h_{ab,a}^*$
O _{Ma}	35.06	53.93	39.55	66.88	36
Y _{Ma}	83.77	-4.63	98.26	98.37	93
L _{Ma}	44.13	-56.32	43.36	71.09	142
C _{Ma}	52.66	-26.18	-28.74	38.89	228
V _{Ma}	14.15	45.22	-53.06	69.72	310
M _{Ma}	37.37	70.69	-30.1	76.83	337
N _{Ma}	15.0	0.0	0.0	0.0	0
W _{Ma}	90.0	0.0	0.0	0.0	0
R _{CIE}	39.92	58.74	27.99	65.07	25
J _{CIE}	81.26	-2.88	71.56	71.62	92
G _{CIE}	52.23	-42.41	13.6	44.55	162
B _{CIE}	30.57	1.41	-46.46	46.49	272

Daten für Maximalfarbe (Ma):

$LAB^*LAB^*_{Ma}$: 50 -35 -5

$LAB^*LCH^*_{Ma}$: 50 36 190

$lab^*rgb^*_{Ma}$: 0.0 1.0 0.5

$lab^*olv^*_{Ma}$: 0.0 1.0 0.69

Dreiecks-Helligkeit i^*

%Umfang

$u^*_{rel} = 88$

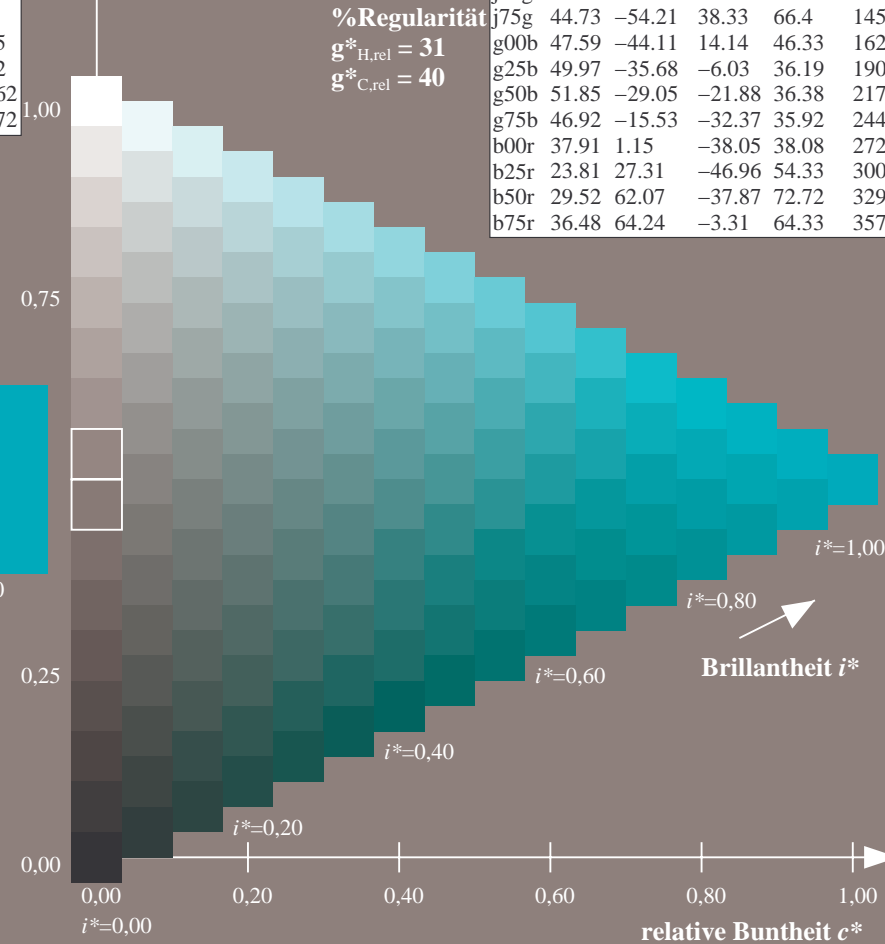
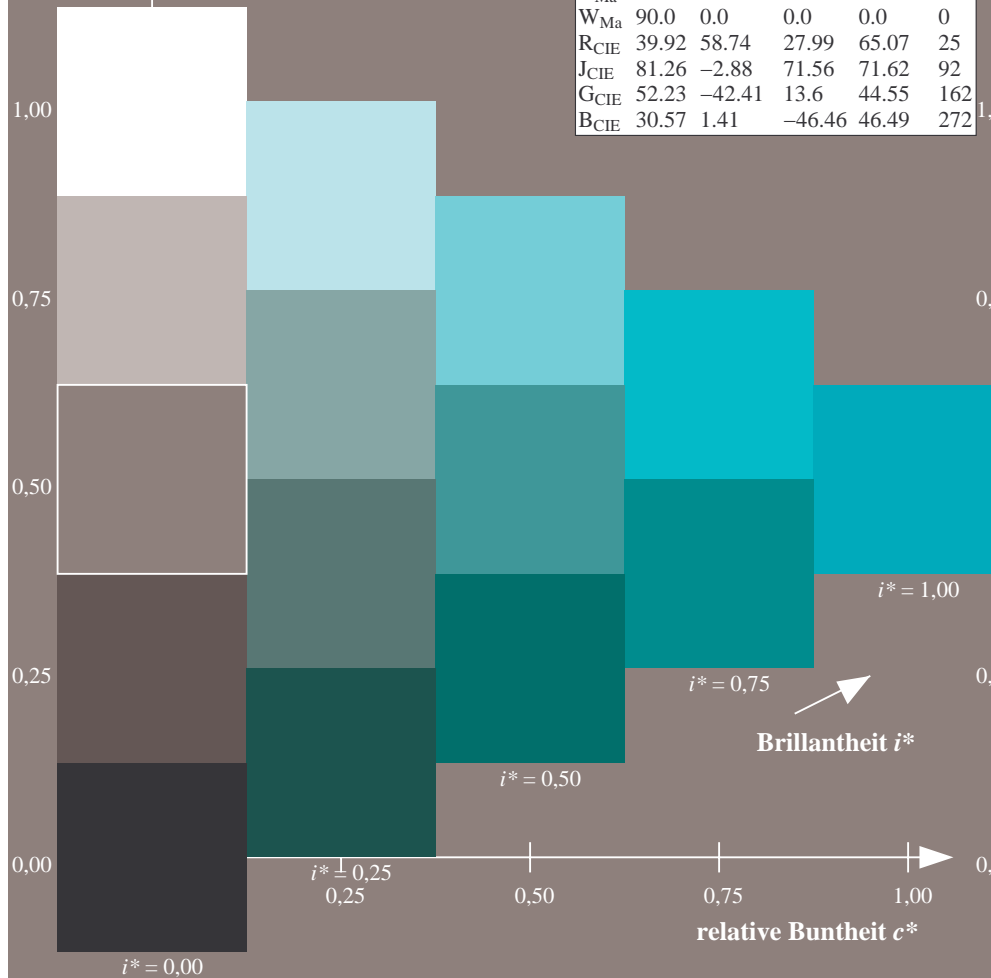
%Regularität

$g^*_{H,rel} = 31$

$g^*_{C,rel} = 40$

FRS15_90a; adaptierte CIELAB-Daten

	$L^*=L_a^*$	a_a^*	b_a^*	$C_{ab,a}^*$	$h_{ab,a}^*$
r00j	35.47	56.92	27.12	63.05	25
r25j	39.12	49.04	44.45	66.19	42
r50j	50.64	35.19	58.33	68.13	59
r75j	64.01	19.11	74.45	76.87	76
j00g	83.18	-3.93	97.56	97.64	92
j25g	66.73	-26.86	74.66	79.35	110
j50g	54.03	-43.42	57.07	71.71	127
j75g	44.73	-54.21	38.33	66.4	145
g00b	47.59	-44.11	14.14	46.33	162
g25b	49.97	-35.68	-6.03	36.19	190
g50b	51.85	-29.05	-21.88	36.38	217
g75b	46.92	-15.53	-32.37	35.92	244
b00r	37.91	1.15	-38.05	38.08	272
b25r	23.81	27.31	-46.96	54.33	300
b50r	29.52	62.07	-37.87	72.72	329
b75r	36.48	64.24	-3.31	64.33	357



Ein und Ausgabe: Farbmetrisches Drucker-Reflektiv-System FRS15_90a für relativen CIELAB-Buntton $h^* = lab^*h^* = h_{ab}/360 = 217/360 = 0.603$

Daten für jede Farbe:

lab^*ch^* und lab^*icu^*

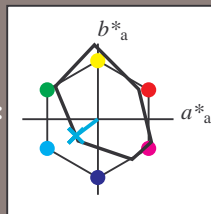
Elementar-Bunttontext:

$u^* = g50b$

Kontrastreduzierungsfaktor:

$c_R = 0.9$

Dreiecks-Helligkeit t^*



FRS15_90a; adaptierte CIELAB-Daten

	$L^*=L_a^*$	a_a^*	b_a^*	$C^*_{ab,a}$	$h^*_{ab,a}$
O _{Ma}	35.06	53.93	39.55	66.88	36
Y _{Ma}	83.77	-4.63	98.26	98.37	93
L _{Ma}	44.13	-56.32	43.36	71.09	142
C _{Ma}	52.66	-26.18	-28.74	38.89	228
V _{Ma}	14.15	45.22	-53.06	69.72	310
M _{Ma}	37.37	70.69	-30.1	76.83	337
N _{Ma}	15.0	0.0	0.0	0.0	0
W _{Ma}	90.0	0.0	0.0	0.0	0
R _{CIE}	39.92	58.74	27.99	65.07	25
J _{CIE}	81.26	-2.88	71.56	71.62	92
G _{CIE}	52.23	-42.41	13.6	44.55	162
B _{CIE}	30.57	1.41	-46.46	46.49	272

Daten für Maximalfarbe (Ma):

$LAB^*LAB^*_{Ma}$: 52 -28 -21

$LAB^*LCH^*_{Ma}$: 52 36 217

$lab^*rgb^*_{Ma}$: 0.0 1.0 1.0

$lab^*olv^*_{Ma}$: 0.0 1.0 0.9

Dreiecks-Helligkeit t^*

%Umfang

$u^*_{rel} = 88$

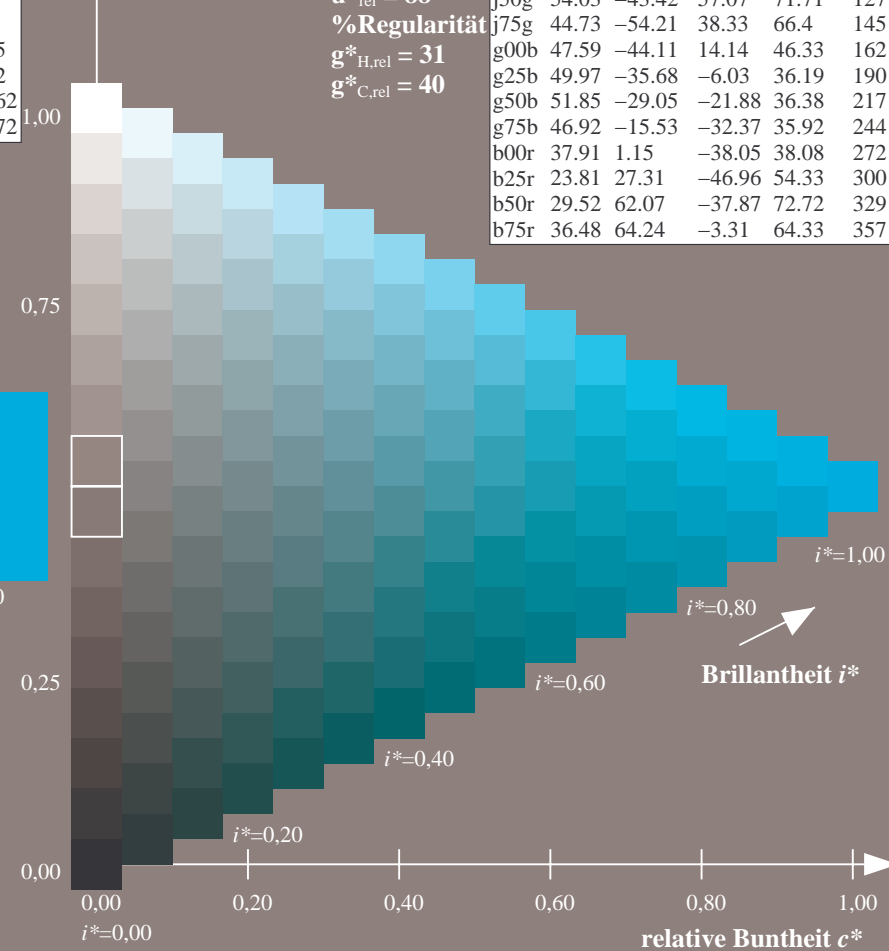
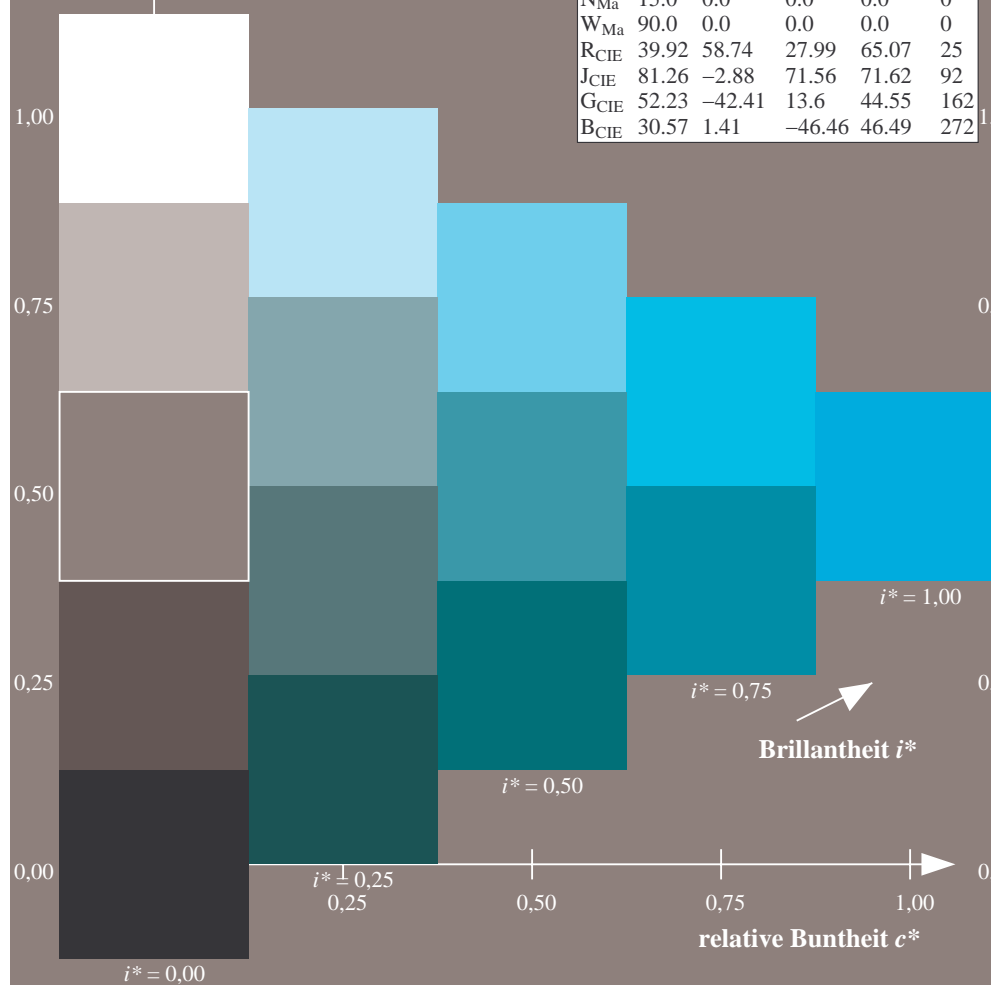
%Regularität

$g^*_{H,rel} = 31$

$g^*_{C,rel} = 40$

FRS15_90a; adaptierte CIELAB-Daten

	$L^*=L_a^*$	a_a^*	b_a^*	$C^*_{ab,a}$	$h^*_{ab,a}$
r00j	35.47	56.92	27.12	63.05	25
r25j	39.12	49.04	44.45	66.19	42
r50j	50.64	35.19	58.33	68.13	59
r75j	64.01	19.11	74.45	76.87	76
j00g	83.18	-3.93	97.56	97.64	92
j25g	66.73	-26.86	74.66	79.35	110
j50g	54.03	-43.42	57.07	71.71	127
j75g	44.73	-54.21	38.33	66.4	145
g00b	47.59	-44.11	14.14	46.33	162
g25b	49.97	-35.68	-6.03	36.19	190
g50b	51.85	-29.05	-21.88	36.38	217
g75b	46.92	-15.53	-32.37	35.92	244
b00r	37.91	1.15	-38.05	38.08	272
b25r	23.81	27.31	-46.96	54.33	300
b50r	29.52	62.07	-37.87	72.72	329
b75r	36.48	64.24	-3.31	64.33	357



Ein und Ausgabe: Farbmetrisches Drucker-Reflektiv-System FRS15_90a für relativen CIELAB-Buntton $h^* = lab^*h^* = h_{ab}/360 = 244/360 = 0.679$

Daten für jede Farbe:

lab^*ch^* und lab^*icu^*

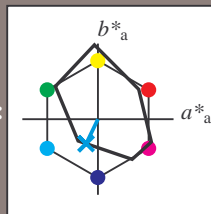
Elementar-Bunttontext:

$u^* = g75b$

Kontrastreduzierungsfaktor:

$c_R = 0.9$

Dreiecks-Helligkeit t^*



FRS15_90a; adaptierte CIELAB-Daten

	$L^*=L_a^*$	a_a^*	b_a^*	$C^*_{ab,a}$	$h^*_{ab,a}$
O _{Ma}	35.06	53.93	39.55	66.88	36
Y _{Ma}	83.77	-4.63	98.26	98.37	93
L _{Ma}	44.13	-56.32	43.36	71.09	142
C _{Ma}	52.66	-26.18	-28.74	38.89	228
V _{Ma}	14.15	45.22	-53.06	69.72	310
M _{Ma}	37.37	70.69	-30.1	76.83	337
N _{Ma}	15.0	0.0	0.0	0.0	0
W _{Ma}	90.0	0.0	0.0	0.0	0
R _{CIE}	39.92	58.74	27.99	65.07	25
J _{CIE}	81.26	-2.88	71.56	71.62	92
G _{CIE}	52.23	-42.41	13.6	44.55	162
B _{CIE}	30.57	1.41	-46.46	46.49	272

Daten für Maximalfarbe (Ma):

$LAB^*LAB^*_{Ma}$: 47 -15 -31

$LAB^*LCH^*_{Ma}$: 47 36 244

$lab^*rgb^*_{Ma}$: 0.0 0.5 1.0

$lab^*olv^*_{Ma}$: 0.0 0.85 1.0

Dreiecks-Helligkeit t^*

%Umfang

$u^*_{rel} = 88$

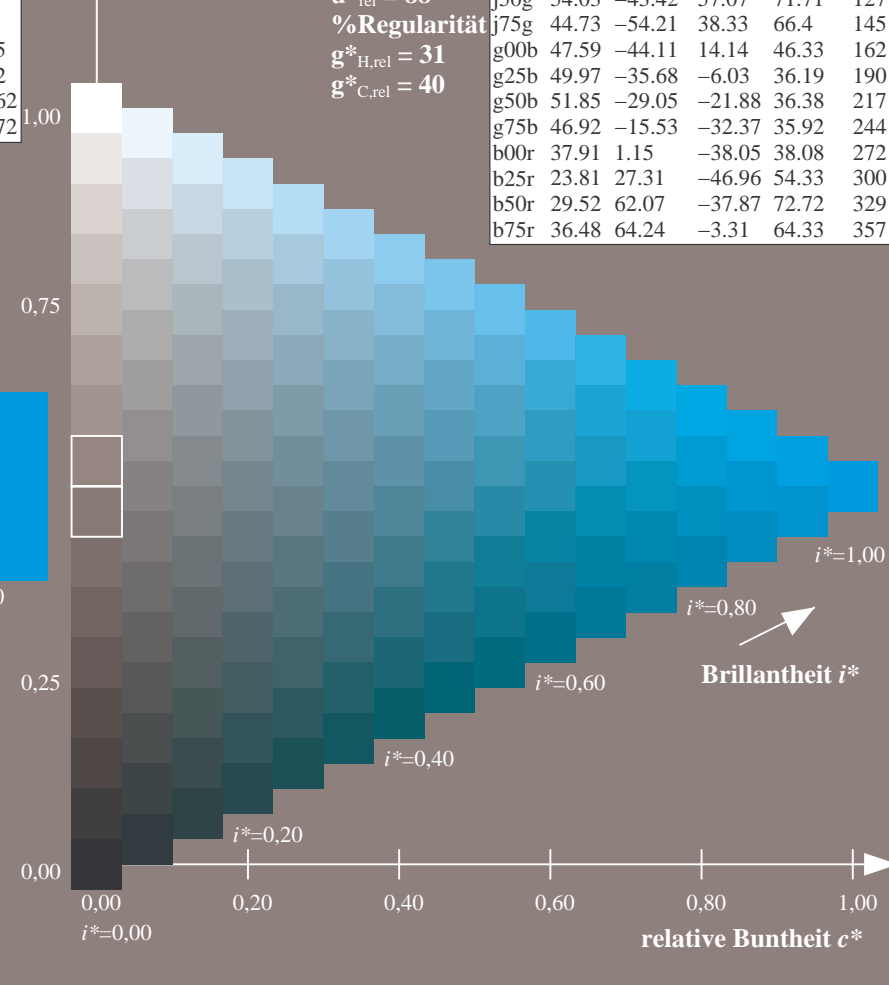
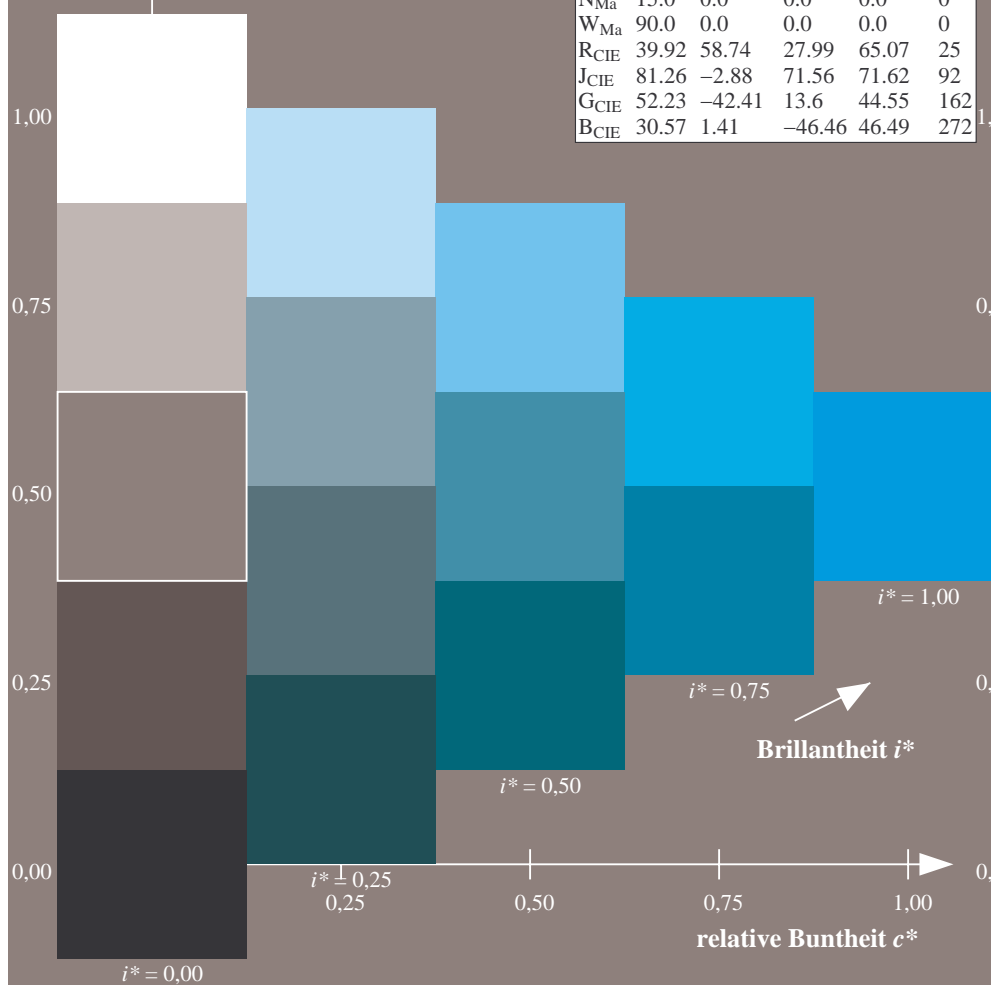
%Regularität

$g^*_{H,rel} = 31$

$g^*_{C,rel} = 40$

FRS15_90a; adaptierte CIELAB-Daten

	$L^*=L_a^*$	a_a^*	b_a^*	$C^*_{ab,a}$	$h^*_{ab,a}$
r00j	35.47	56.92	27.12	63.05	25
r25j	39.12	49.04	44.45	66.19	42
r50j	50.64	35.19	58.33	68.13	59
r75j	64.01	19.11	74.45	76.87	76
j00g	83.18	-3.93	97.56	97.64	92
j25g	66.73	-26.86	74.66	79.35	110
j50g	54.03	-43.42	57.07	71.71	127
j75g	44.73	-54.21	38.33	66.4	145
g00b	47.59	-44.11	14.14	46.33	162
g25b	49.97	-35.68	-6.03	36.19	190
g50b	51.85	-29.05	-21.88	36.38	217
g75b	46.92	-15.53	-32.37	35.92	244
b00r	37.91	1.15	-38.05	38.08	272
b25r	23.81	27.31	-46.96	54.33	300
b50r	29.52	62.07	-37.87	72.72	329
b75r	36.48	64.24	-3.31	64.33	357



Ein und Ausgabe: Farbmetrisches Drucker-Reflektiv-System FRS15_90a für relativen CIELAB-Buntton $h^* = lab^*h^* = h_{ab}/360 = 272/360 = 0.755$

Daten für jede Farbe:

lab^*ch^* und lab^*icu^*

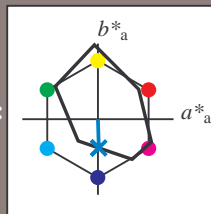
Elementar-Bunttontext:

$u^* = b00r$

Kontrastreduzierungsfaktor:

$c_R = 0.9$

Dreiecks-Helligkeit t^*



FRS15_90a; adaptierte CIELAB-Daten

	$L^*=L^*_a$	a^*_a	b^*_a	$C^*_{ab,a}$	$h^*_{ab,a}$
O _{Ma}	35.06	53.93	39.55	66.88	36
Y _{Ma}	83.77	-4.63	98.26	98.37	93
L _{Ma}	44.13	-56.32	43.36	71.09	142
C _{Ma}	52.66	-26.18	-28.74	38.89	228
V _{Ma}	14.15	45.22	-53.06	69.72	310
M _{Ma}	37.37	70.69	-30.1	76.83	337
N _{Ma}	15.0	0.0	0.0	0.0	0
W _{Ma}	90.0	0.0	0.0	0.0	0
R _{CIE}	39.92	58.74	27.99	65.07	25
J _{CIE}	81.26	-2.88	71.56	71.62	92
G _{CIE}	52.23	-42.41	13.6	44.55	162
B _{CIE}	30.57	1.41	-46.46	46.49	272

Daten für Maximalfarbe (Ma):

$LAB^*LAB^*_{Ma}$: 38 1 -37

$LAB^*LCH^*_{Ma}$: 38 38 272

$lab^*rgb^*_{Ma}$: 0.0 0.0 1.0

$lab^*olv^*_{Ma}$: 0.0 0.62 1.0

Dreiecks-Helligkeit t^*

%Umfang

$u^*_{rel} = 88$

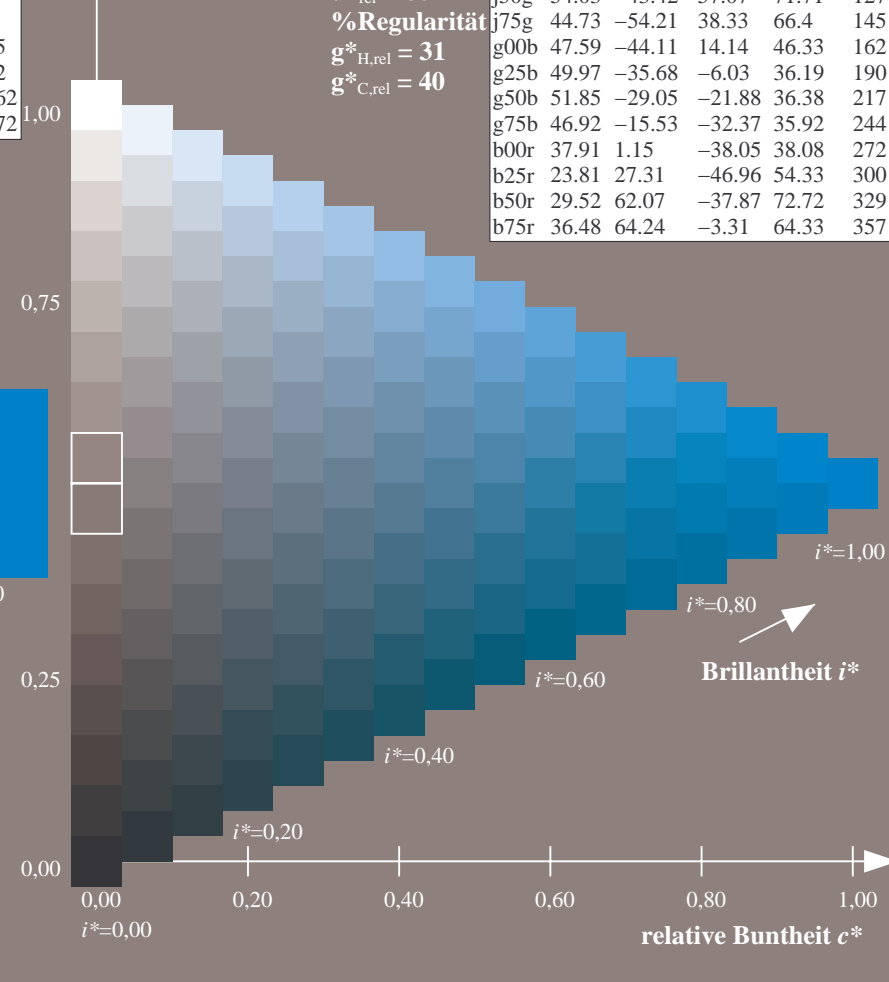
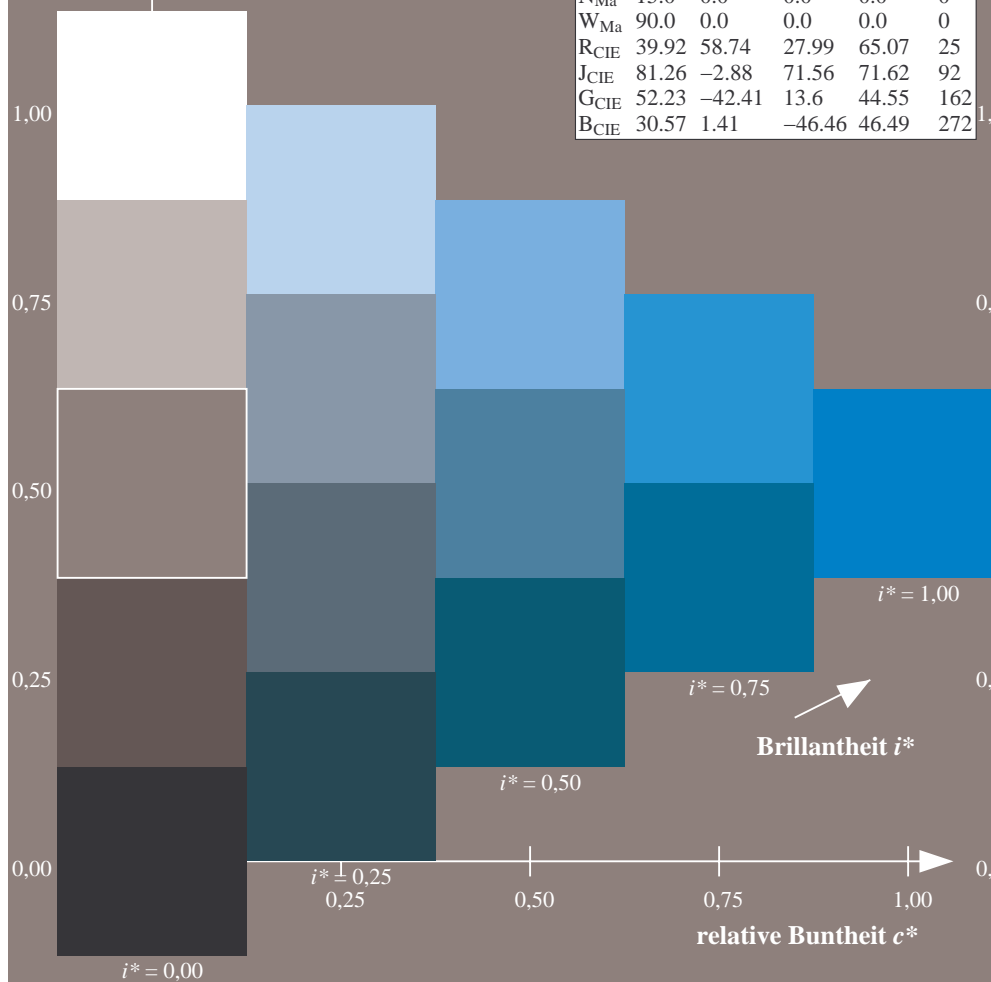
%Regularität

$g^*_{H,rel} = 31$

$g^*_{C,rel} = 40$

FRS15_90a; adaptierte CIELAB-Daten

	$L^*=L^*_a$	a^*_a	b^*_a	$C^*_{ab,a}$	$h^*_{ab,a}$
r00j	35.47	56.92	27.12	63.05	25
r25j	39.12	49.04	44.45	66.19	42
r50j	50.64	35.19	58.33	68.13	59
r75j	64.01	19.11	74.45	76.87	76
j00g	83.18	-3.93	97.56	97.64	92
j25g	66.73	-26.86	74.66	79.35	110
j50g	54.03	-43.42	57.07	71.71	127
j75g	44.73	-54.21	38.33	66.4	145
g00b	47.59	-44.11	14.14	46.33	162
g25b	49.97	-35.68	-6.03	36.19	190
g50b	51.85	-29.05	-21.88	36.38	217
g75b	46.92	-15.53	-32.37	35.92	244
b00r	37.91	1.15	-38.05	38.08	272
b25r	23.81	27.31	-46.96	54.33	300
b50r	29.52	62.07	-37.87	72.72	329
b75r	36.48	64.24	-3.31	64.33	357



Ein und Ausgabe: Farbmetrisches Drucker-Reflektiv-System FRS15_90a für relativen CIELAB-Buntton $h^* = lab^*h^* = h_{ab}/360 = 300/360 = 0.834$

Daten für jede Farbe:

lab^*ch^* und lab^*icu^*

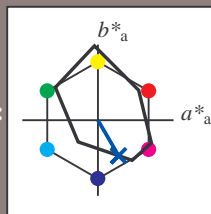
Elementar-Bunttontext:

$u^* = b25r$

Kontrastreduzierungsfaktor:

$c_R = 0.9$

Dreiecks-Helligkeit i^*



FRS15_90a; adaptierte CIELAB-Daten

	$L^*=L^*_a$	a^*_a	b^*_a	$C^*_{ab,a}$	$h^*_{ab,a}$
O _{Ma}	35.06	53.93	39.55	66.88	36
Y _{Ma}	83.77	-4.63	98.26	98.37	93
L _{Ma}	44.13	-56.32	43.36	71.09	142
C _{Ma}	52.66	-26.18	-28.74	38.89	228
V _{Ma}	14.15	45.22	-53.06	69.72	310
M _{Ma}	37.37	70.69	-30.1	76.83	337
N _{Ma}	15.0	0.0	0.0	0.0	0
W _{Ma}	90.0	0.0	0.0	0.0	0
R _{CIE}	39.92	58.74	27.99	65.07	25
J _{CIE}	81.26	-2.88	71.56	71.62	92
G _{CIE}	52.23	-42.41	13.6	44.55	162
B _{CIE}	30.57	1.41	-46.46	46.49	272

Daten für Maximalfarbe (Ma):

$LAB^*LAB^*_{Ma}$: 24 27 -46

$LAB^*LCH^*_{Ma}$: 24 54 300

$lab^*rgb^*_{Ma}$: 0.5 0.0 1.0

$lab^*olv^*_{Ma}$: 0.0 0.25 1.0

Dreiecks-Helligkeit i^*

%Umfang

$u^*_{rel} = 88$

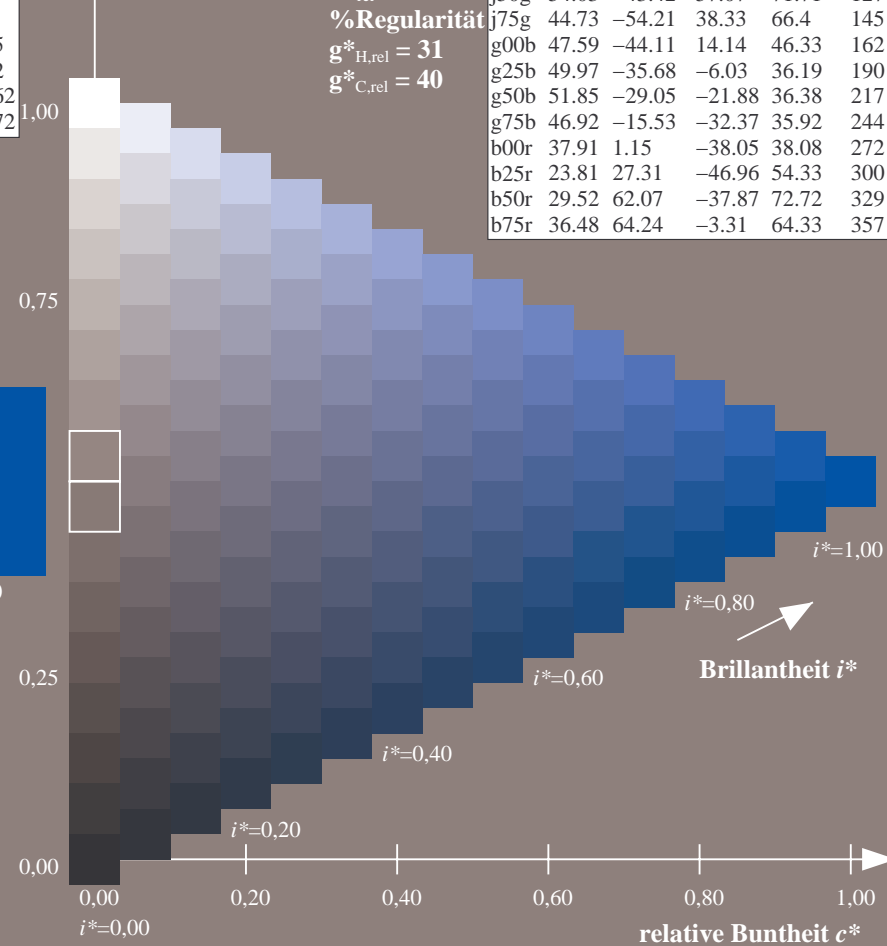
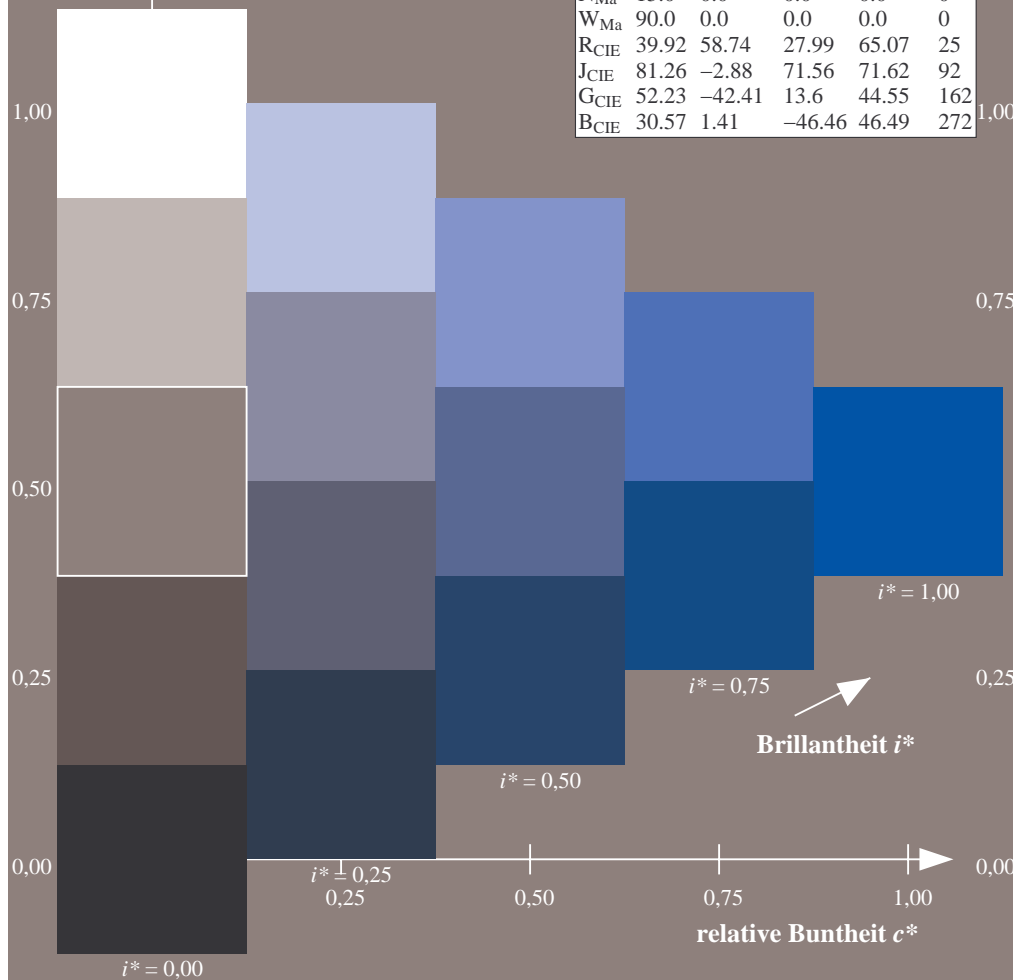
%Regularität

$g^*_{H,rel} = 31$

$g^*_{C,rel} = 40$

FRS15_90a; adaptierte CIELAB-Daten

	$L^*=L^*_a$	a^*_a	b^*_a	$C^*_{ab,a}$	$h^*_{ab,a}$
r00j	35.47	56.92	27.12	63.05	25
r25j	39.12	49.04	44.45	66.19	42
r50j	50.64	35.19	58.33	68.13	59
r75j	64.01	19.11	74.45	76.87	76
j00g	83.18	-3.93	97.56	97.64	92
j25g	66.73	-26.86	74.66	79.35	110
j50g	54.03	-43.42	57.07	71.71	127
j75g	44.73	-54.21	38.33	66.4	145
g00b	47.59	-44.11	14.14	46.33	162
g25b	49.97	-35.68	-6.03	36.19	190
g50b	51.85	-29.05	-21.88	36.38	217
g75b	46.92	-15.53	-32.37	35.92	244
b00r	37.91	1.15	-38.05	38.08	272
b25r	23.81	27.31	-46.96	54.33	300
b50r	29.52	62.07	-37.87	72.72	329
b75r	36.48	64.24	-3.31	64.33	357



Ein und Ausgabe: Farbmétrisches Drucker-Reflektiv-System FRS15_90a für relativen CIELAB-Buntton $h^* = lab^*h^* = h_{ab}/360 = 329/360 = 0.913$

Daten für jede Farbe:

*lab*tch** und *lab*icu**

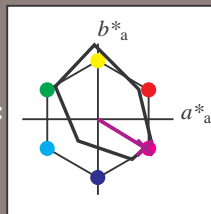
Elementar-Bunttontext:

$$u^* = b50r$$

Kontrastreduzierungsfaktor:

 $c_R = 0.9$

K Dreiecks-Helligkeit t^*



FRS15_90a; adaptierte CIELAB-Daten					
	L^*_a	a^*_a	b^*_a	$C^*_{ab,a}$	$h^*_{ab,a}$
O _{Ma}	35.06	53.93	39.55	66.88	36
Y _{Ma}	83.77	-4.63	98.26	98.37	93
L _{Ma}	44.13	-56.32	43.36	71.09	142
C _{Ma}	52.66	-26.18	-28.74	38.89	228
V _{Ma}	14.15	45.22	-53.06	69.72	310
M _{Ma}	37.37	70.69	-30.1	76.83	337
N _{Ma}	15.0	0.0	0.0	0.0	0
W _{Ma}	90.0	0.0	0.0	0.0	0
R _{CIE}	39.92	58.74	27.99	65.07	25
J _{CIE}	81.26	-2.88	71.56	71.62	92
G _{CIE}	52.23	-42.41	13.6	44.55	162
B _{CIE}	30.57	1.41	-46.46	46.49	272

Daten für Maximalfarbe (Ma):

***LAB*LAB**_{Ma}: 30 62 -37**

LAB*LCH*Ma: 30 73 329

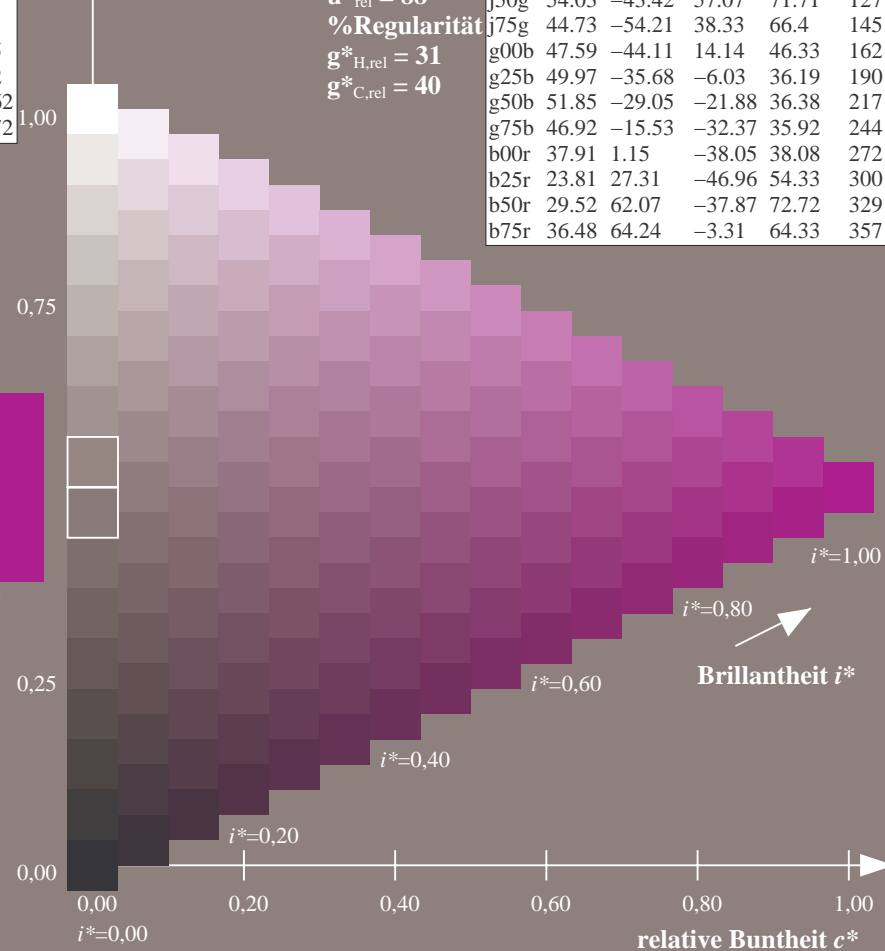
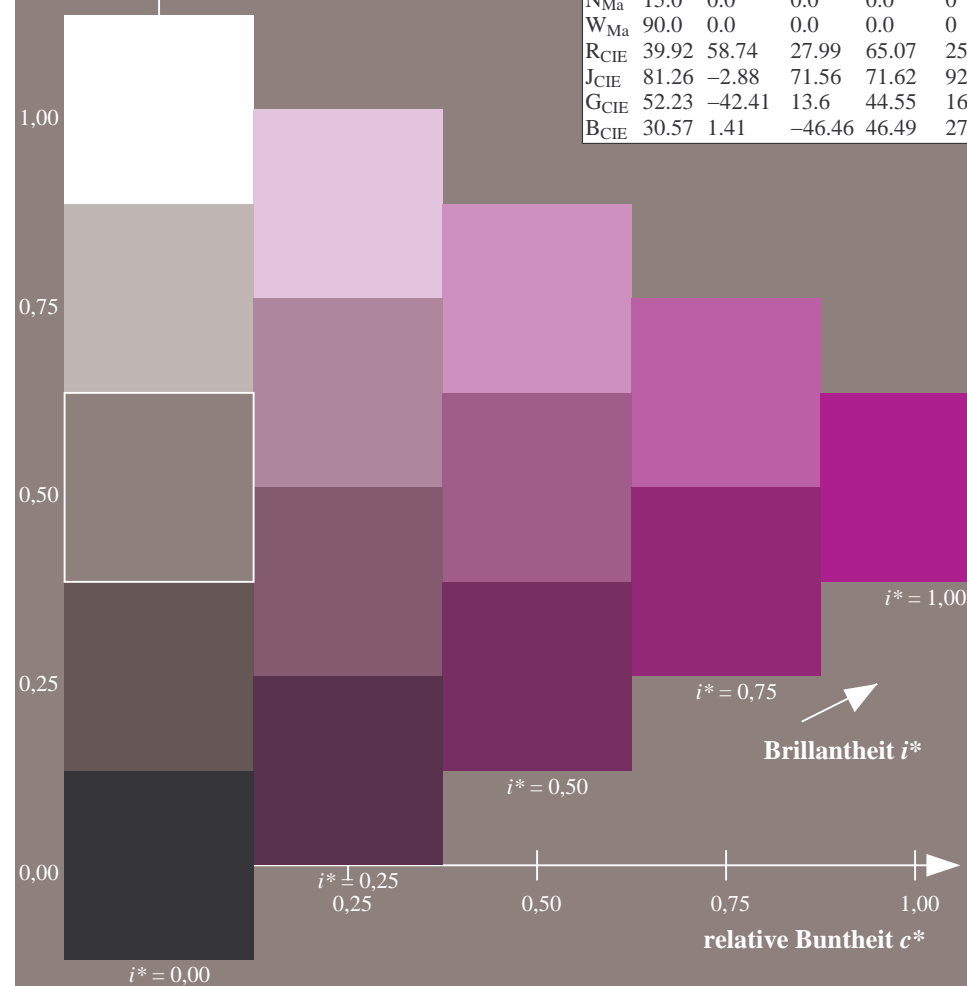
*lab*rgb**Ma: 1.0 0.0 1.0

*lab*olv**Ma: 0.66 0.0 1.0

Dreiecks-Helligkeit t^*

100

FRS15_90a; adaptierte CIELAB-Daten						
	L^*_a	a^*_a	b^*_a	$C^*_{ab,a}$	$h^*_{ab,a}$	
r00j	35.47	56.92	27.12	63.05	25.1	25
r25j	39.12	49.04	44.45	66.19	42	49
r50j	50.64	35.19	58.33	68.13	59	52
r75j	64.01	19.11	74.45	76.87	76	76
j00g	83.18	-3.93	97.56	97.64	92	92
j25g	66.73	-26.86	74.66	79.35	110	110
j50g	54.03	-43.42	57.07	71.71	127	127
j75g	44.73	-54.21	38.33	66.4	145	145
g00b	47.59	-44.11	14.14	46.33	162	162
g25b	49.97	-35.68	-6.03	36.19	190	190
g50b	51.85	-29.05	-21.88	36.38	217	217
g75b	46.92	-15.53	-32.37	35.92	244	244
b00r	37.91	1.15	-38.05	38.08	272	272
b25r	23.81	27.31	-46.96	54.33	300	300
b50r	29.52	62.07	-37.87	72.72	329	329
b75r	36.48	64.24	-3.31	64.33	357	357



Ein und Ausgabe: Farbmetrisches Drucker-Reflektiv-System FRS15_90a für relativen CIELAB-Buntton $h^* = lab^*h^* = h_{ab}/360 = 357/360 = 0.992$

Daten für jede Farbe:

lab^*tch^* und lab^*icu^*

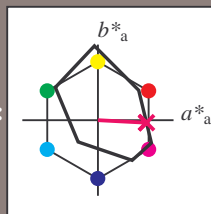
Elementar-Bunttontext:

$u^* = b75r$

Kontrastreduzierungsfaktor:

$c_R = 0.9$

Dreiecks-Helligkeit t^*



FRS15_90a; adaptierte CIELAB-Daten

	$L^*=L_a^*$	a_a^*	b_a^*	$C_{ab,a}^*$	$h_{ab,a}^*$
O _{Ma}	35.06	53.93	39.55	66.88	36
Y _{Ma}	83.77	-4.63	98.26	98.37	93
L _{Ma}	44.13	-56.32	43.36	71.09	142
C _{Ma}	52.66	-26.18	-28.74	38.89	228
V _{Ma}	14.15	45.22	-53.06	69.72	310
M _{Ma}	37.37	70.69	-30.1	76.83	337
N _{Ma}	15.0	0.0	0.0	0.0	0
W _{Ma}	90.0	0.0	0.0	0.0	0
R _{CIE}	39.92	58.74	27.99	65.07	25
J _{CIE}	81.26	-2.88	71.56	71.62	92
G _{CIE}	52.23	-42.41	13.6	44.55	162
B _{CIE}	30.57	1.41	-46.46	46.49	272

Daten für Maximalfarbe (Ma):

LAB^*LAB^*Ma : 36 64 -2

LAB^*LCH^*Ma : 36 64 357

lab^*rgb^*Ma : 1.0 0.0 0.5

lab^*olv^*Ma : 1.0 0.0 0.62

Dreiecks-Helligkeit t^*

%Umfang

$u^*_{rel} = 88$

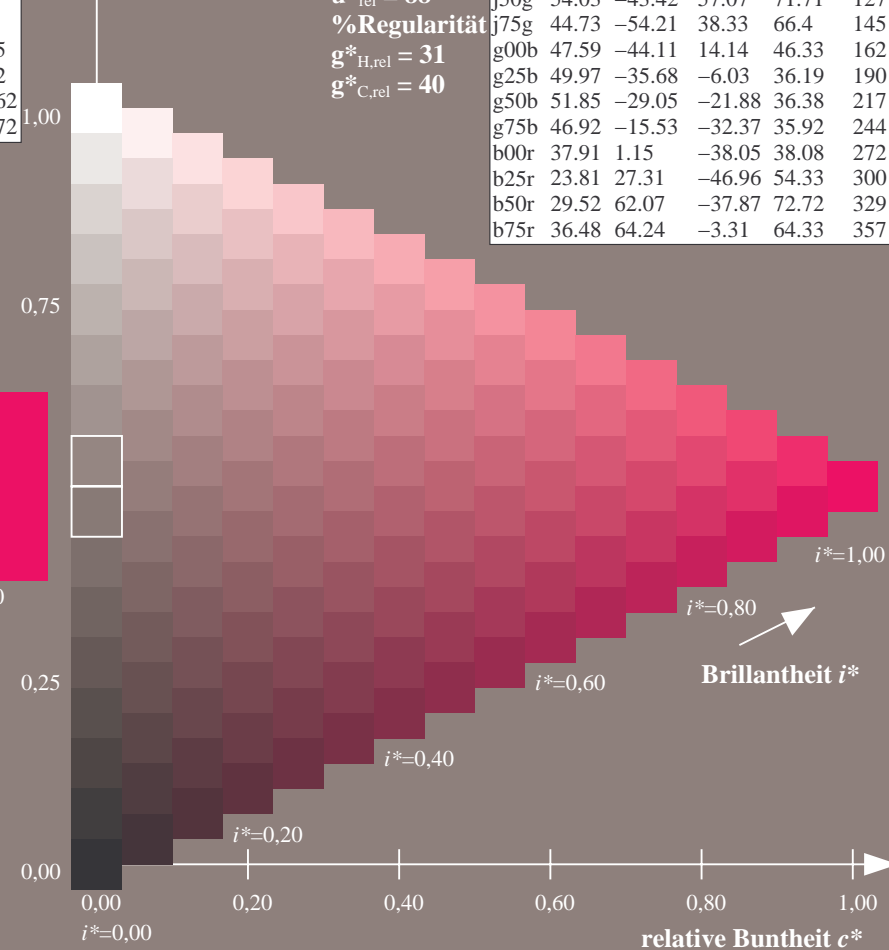
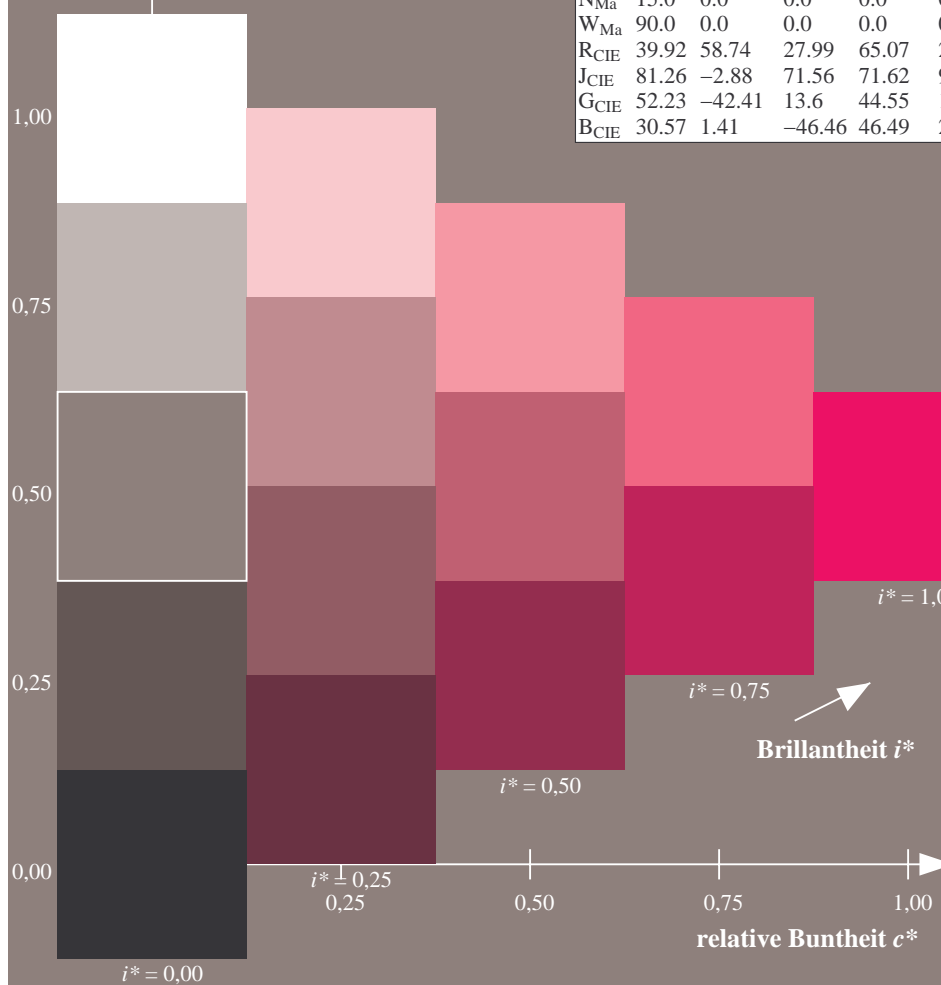
%Regularität

$g^*_{H,rel} = 31$

$g^*_{C,rel} = 40$

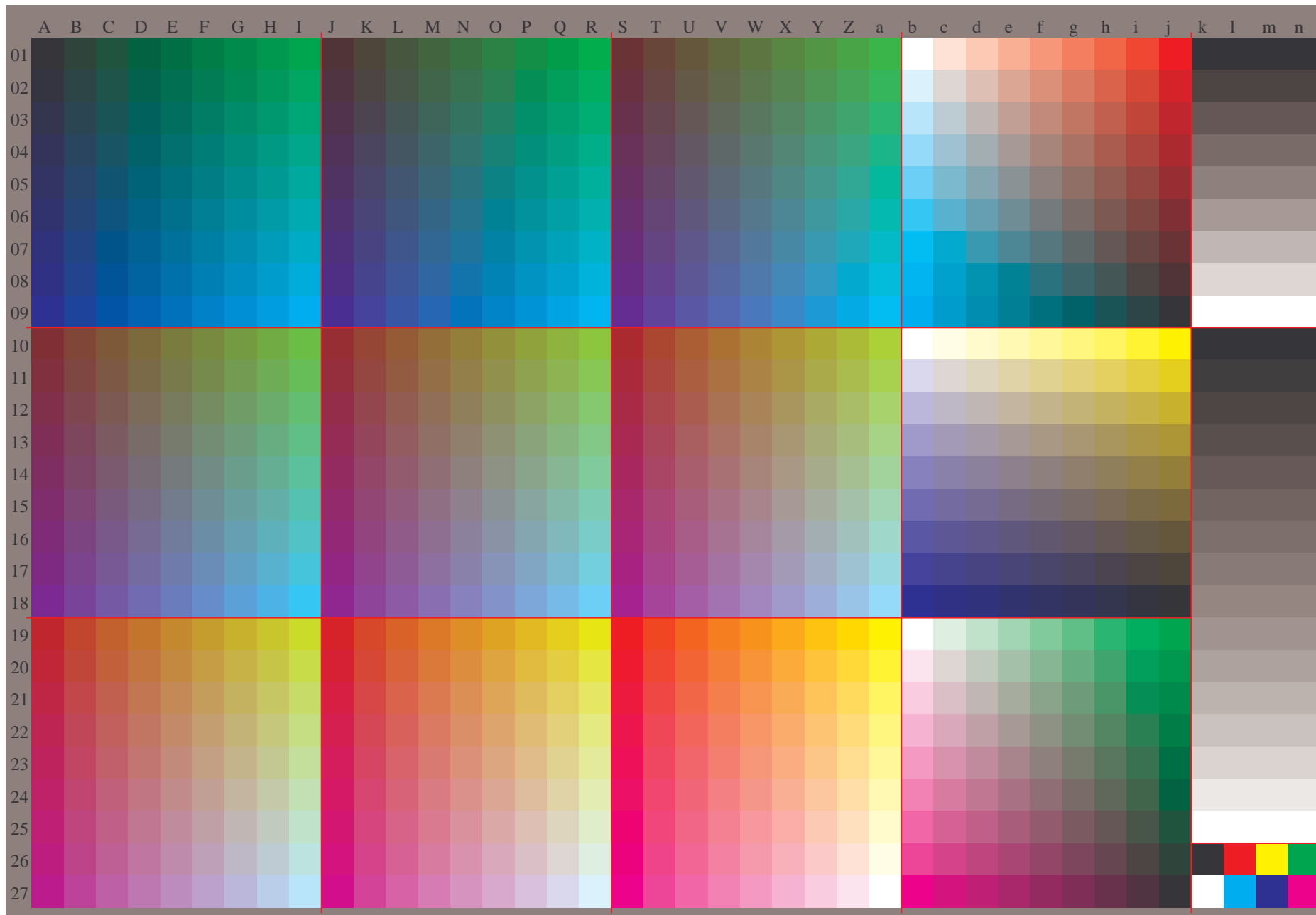
FRS15_90a; adaptierte CIELAB-Daten

	$L^*=L_a^*$	a_a^*	b_a^*	$C_{ab,a}^*$	$h_{ab,a}^*$
r00j	35.47	56.92	27.12	63.05	25
r25j	39.12	49.04	44.45	66.19	42
r50j	50.64	35.19	58.33	68.13	59
r75j	64.01	19.11	74.45	76.87	76
j00g	83.18	-3.93	97.56	97.64	92
j25g	66.73	-26.86	74.66	79.35	110
j50g	54.03	-43.42	57.07	71.71	127
j75g	44.73	-54.21	38.33	66.4	145
g00b	47.59	-44.11	14.14	46.33	162
g25b	49.97	-35.68	-6.03	36.19	190
g50b	51.85	-29.05	-21.88	36.38	217
g75b	46.92	-15.53	-32.37	35.92	244
b00r	37.91	1.15	-38.05	38.08	272
b25r	23.81	27.31	-46.96	54.33	300
b50r	29.52	62.07	-37.87	72.72	329
b75r	36.48	64.24	-3.31	64.33	357



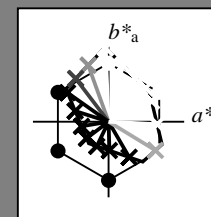
Siehe ähnliche Dateien: <http://www.ps.bam.de/Dg71/>; www.ps.bam.de/Dg71/10L/L71G00NA.PS/.TXT
Technische Information: [http://www.ps.bam.de/Version 2.1](http://www.ps.bam.de/Version2.1), io=1,1, ColSpx=0

BAM-Registrierung: 20080701-Dg71/10L/L71G00NA.PS/.TXTBAM-Material: Code=rh4ta
Anwendung für Beurteilung und Messung von Drucker- oder Monitorsystemen



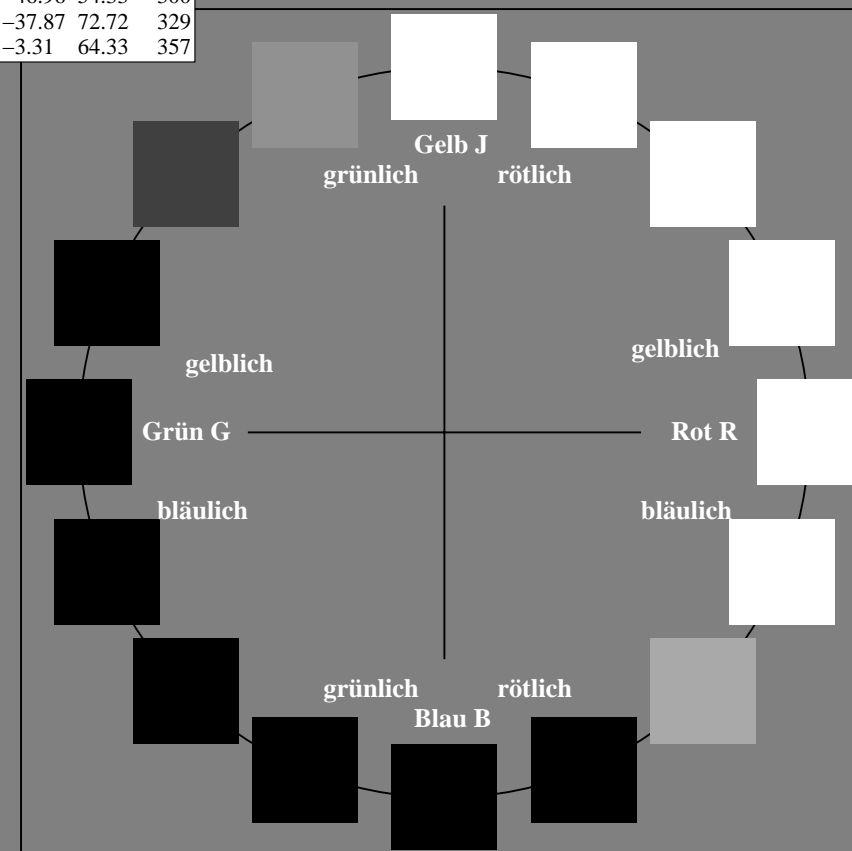
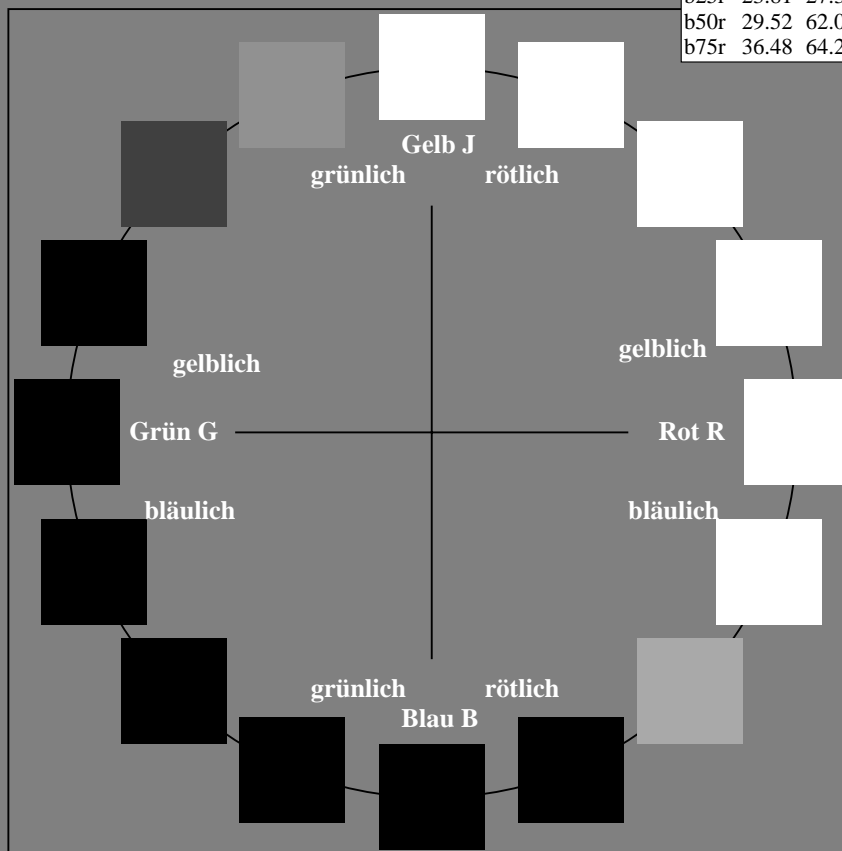
Ein und Ausgabe:
Farbmetrisches Drucker-Reflektiv-System FRS15_90a
Daten für jede Farbe:
*lab*_{ich}** und *lab*_{icu}**
Elementar-Bunttontext:
*u** = 16 Bunttöne *r00j*, *r25j*, ..., *b75r*
Kontrastreduzierungsfaktor:
c_R = 0.9

FRS15_90a; adaptierte CIELAB-Daten					
	<i>L*</i> = <i>L*</i> _a	<i>a*</i> _a	<i>b*</i> _a	<i>C*</i> _{ab,a}	<i>h*</i> _{ab,a}
r00j	35.47	56.92	27.12	63.05	25
r25j	39.12	49.04	44.45	66.19	42
r50j	50.64	35.19	58.33	68.13	59
r75j	64.01	19.11	74.45	76.87	76
j00g	83.18	-3.93	97.56	97.64	92
j25g	66.73	-26.86	74.66	79.35	110
j50g	54.03	-43.42	57.07	71.71	127
j75g	44.73	-54.21	38.33	66.4	145
g00b	47.59	-44.11	14.14	46.33	162
g25b	49.97	-35.68	-6.03	36.19	190
g50b	51.85	-29.05	-21.88	36.38	217
g75b	46.92	-15.53	-32.37	35.92	244
b00r	37.91	1.15	-38.05	38.08	272
b25r	23.81	27.31	-46.96	54.33	300
b50r	29.52	62.07	-37.87	72.72	329
b75r	36.48	64.24	-3.31	64.33	357



%Umfang
*u**_{rel} = 88
%Regularität
*g**_{H,rel} = 31
*g**_{C,rel} = 40

FRS15_90a; adaptierte CIELAB-Daten					
	<i>L*</i> = <i>L*</i> _a	<i>a*</i> _a	<i>b*</i> _a	<i>C*</i> _{ab,a}	<i>h*</i> _{ab,a}
O _{Ma}	35.06	53.93	39.55	66.88	36
Y _{Ma}	83.77	-4.63	98.26	98.37	93
L _{Ma}	44.13	-56.32	43.36	71.09	142
C _{Ma}	52.66	-26.18	-28.74	38.89	228
V _{Ma}	14.15	45.22	-53.06	69.72	310
M _{Ma}	37.37	70.69	-30.1	76.83	337
N _{Ma}	15.0	0.0	0.0	0.0	0
W _{Ma}	90.0	0.0	0.0	0.0	0
R _{CIE}	39.92	58.74	27.99	65.07	25
J _{CIE}	81.26	-2.88	71.56	71.62	92
G _{CIE}	52.23	-42.41	13.6	44.55	162
B _{CIE}	30.57	1.41	-46.46	46.49	272



Ein und Ausgabe: Farbmetrisches Drucker-Reflektiv-System FRS15_90a für relativen CIELAB-Buntton $h^* = lab^*h^* = h_{ab}/360 = 25/360 = 0.071$

Daten für jede Farbe:

lab^*ch^* und lab^*icu^*

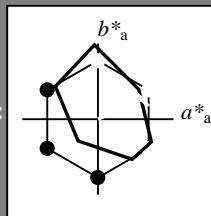
Elementar-Bunttonext:

$u^* = r00j$

Kontrastreduzierungsfaktor:

$c_R = 0.9$

Dreiecks-Helligkeit t^*



FRS15_90a; adaptierte CIELAB-Daten

	$L^*=L^*_a$	a^*_a	b^*_a	$C^*_{ab,a}$	$h^*_{ab,a}$
O _{Ma}	35.06	53.93	39.55	66.88	36
Y _{Ma}	83.77	-4.63	98.26	98.37	93
L _{Ma}	44.13	-56.32	43.36	71.09	142
C _{Ma}	52.66	-26.18	-28.74	38.89	228
V _{Ma}	14.15	45.22	-53.06	69.72	310
M _{Ma}	37.37	70.69	-30.1	76.83	337
N _{Ma}	15.0	0.0	0.0	0.0	0
W _{Ma}	90.0	0.0	0.0	0.0	0
R _{CIE}	39.92	58.74	27.99	65.07	25
J _{CIE}	81.26	-2.88	71.56	71.62	92
G _{CIE}	52.23	-42.41	13.6	44.55	162
B _{CIE}	30.57	1.41	-46.46	46.49	272

Daten für Maximalfarbe (Ma):

$LAB^*LAB^*_{Ma}$: 35 57 27

$LAB^*LCH^*_{Ma}$: 35 63 25

$lab^*rgb^*_{Ma}$: 1.0 0.0 0.0

$lab^*olv^*_{Ma}$: 1.0 0.0 0.18

Dreiecks-Helligkeit t^*

%Umfang

$u^*_{rel} = 88$

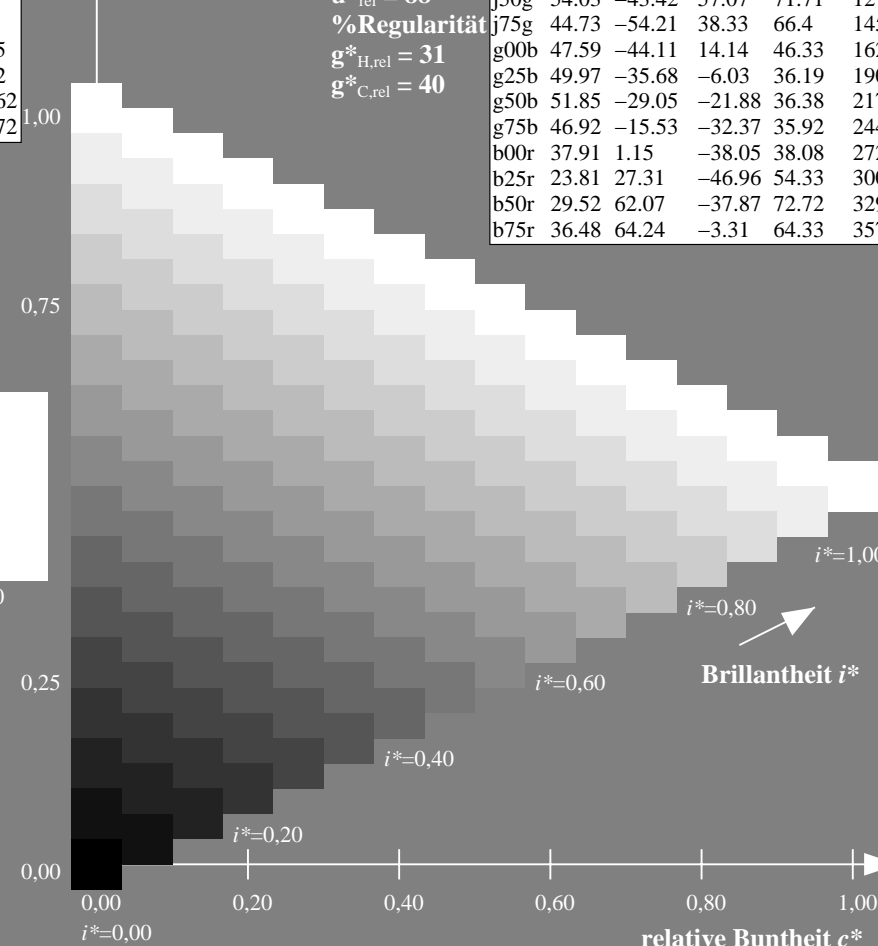
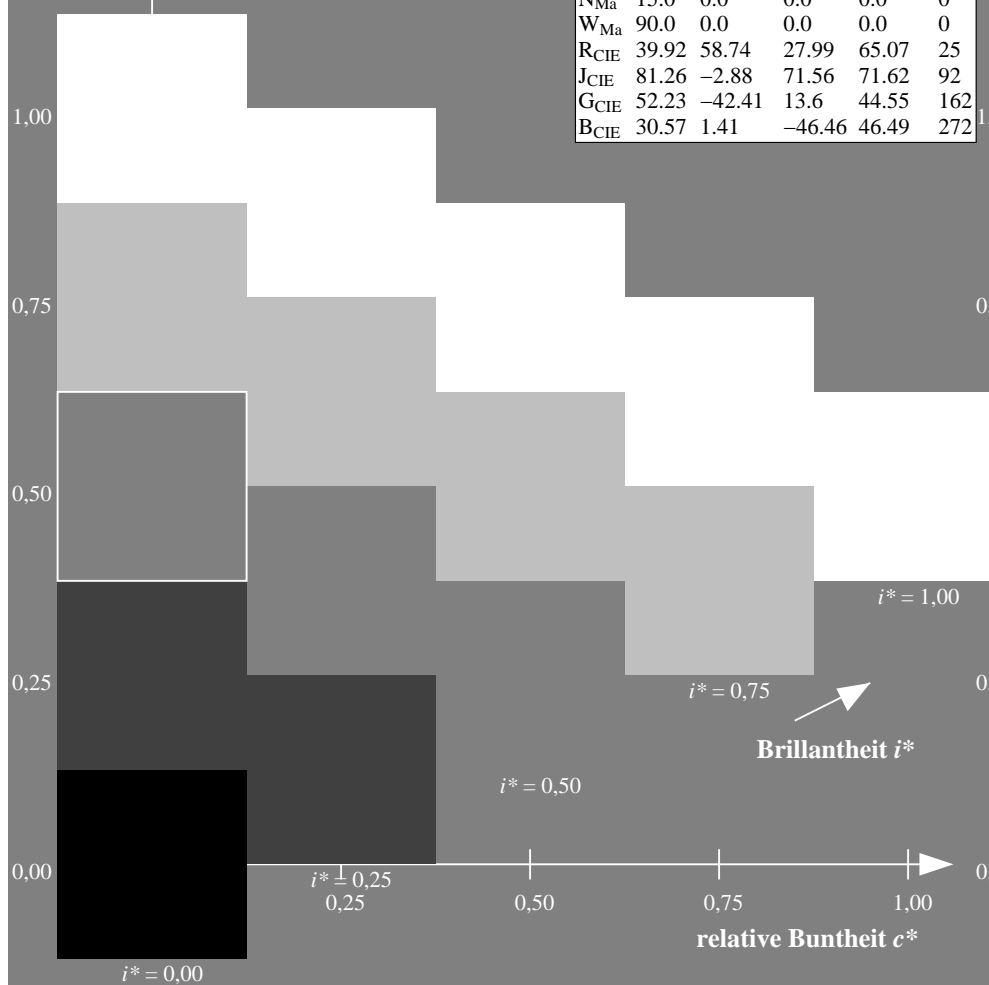
%Regularität

$g^*_{H,rel} = 31$

$g^*_{C,rel} = 40$

FRS15_90a; adaptierte CIELAB-Daten

	$L^*=L^*_a$	a^*_a	b^*_a	$C^*_{ab,a}$	$h^*_{ab,a}$
r00j	35.47	56.92	27.12	63.05	25
r25j	39.12	49.04	44.45	66.19	42
r50j	50.64	35.19	58.33	68.13	59
r75j	64.01	19.11	74.45	76.87	76
j00g	83.18	-3.93	97.56	97.64	92
j25g	66.73	-26.86	74.66	79.35	110
j50g	54.03	-43.42	57.07	71.71	127
j75g	44.73	-54.21	38.33	66.4	145
g00b	47.59	-44.11	14.14	46.33	162
g25b	49.97	-35.68	-6.03	36.19	190
g50b	51.85	-29.05	-21.88	36.38	217
g75b	46.92	-15.53	-32.37	35.92	244
b00r	37.91	1.15	-38.05	38.08	272
b25r	23.81	27.31	-46.96	54.33	300
b50r	29.52	62.07	-37.87	72.72	329
b75r	36.48	64.24	-3.31	64.33	357



Ein und Ausgabe: Farbmetrisches Drucker-Reflektiv-System FRS15_90a für relativen CIELAB-Buntton $h^* = lab^*h^* = h_{ab}/360 = 42/360 = 0.117$

Daten für jede Farbe:

lab^*ch^* und lab^*icu^*

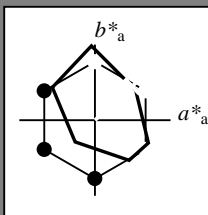
Elementar-Bunttontext:

$u^* = r25j$

Kontrastreduzierungsfaktor:

$c_R = 0.9$

Dreiecks-Helligkeit i^*



FRS15_90a; adaptierte CIELAB-Daten

	$L^*=L_a^*$	a_a^*	b_a^*	$C_{ab,a}^*$	$h_{ab,a}^*$
O _{Ma}	35.06	53.93	39.55	66.88	36
Y _{Ma}	83.77	-4.63	98.26	98.37	93
L _{Ma}	44.13	-56.32	43.36	71.09	142
C _{Ma}	52.66	-26.18	-28.74	38.89	228
V _{Ma}	14.15	45.22	-53.06	69.72	310
M _{Ma}	37.37	70.69	-30.1	76.83	337
N _{Ma}	15.0	0.0	0.0	0.0	0
W _{Ma}	90.0	0.0	0.0	0.0	0
R _{CIE}	39.92	58.74	27.99	65.07	25
J _{CIE}	81.26	-2.88	71.56	71.62	92
G _{CIE}	52.23	-42.41	13.6	44.55	162
B _{CIE}	30.57	1.41	-46.46	46.49	272

Daten für Maximalfarbe (Ma):

$LAB^*LAB^*_{Ma}$: 39 49 44

$LAB^*LCH^*_{Ma}$: 39 66 42

$lab^*rgb^*_{Ma}$: 1.0 0.25 0.0

$lab^*olv^*_{Ma}$: 1.0 0.08 0.0

Dreiecks-Helligkeit i^*

%Umfang

$u^*_{rel} = 88$

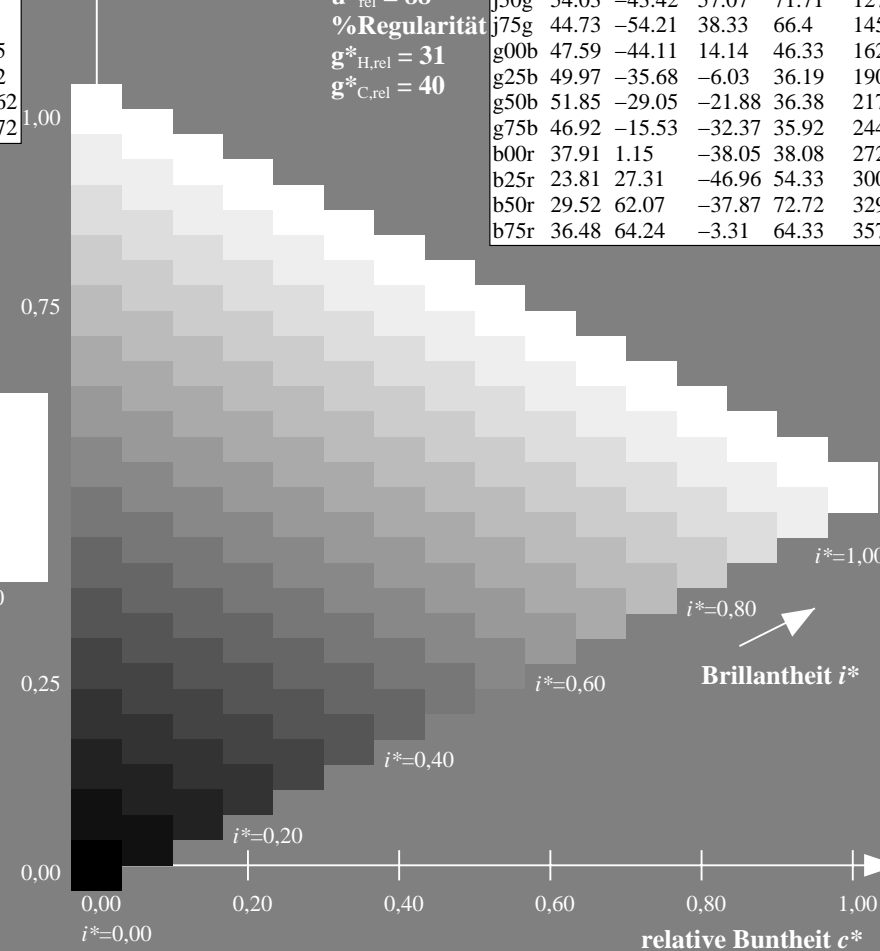
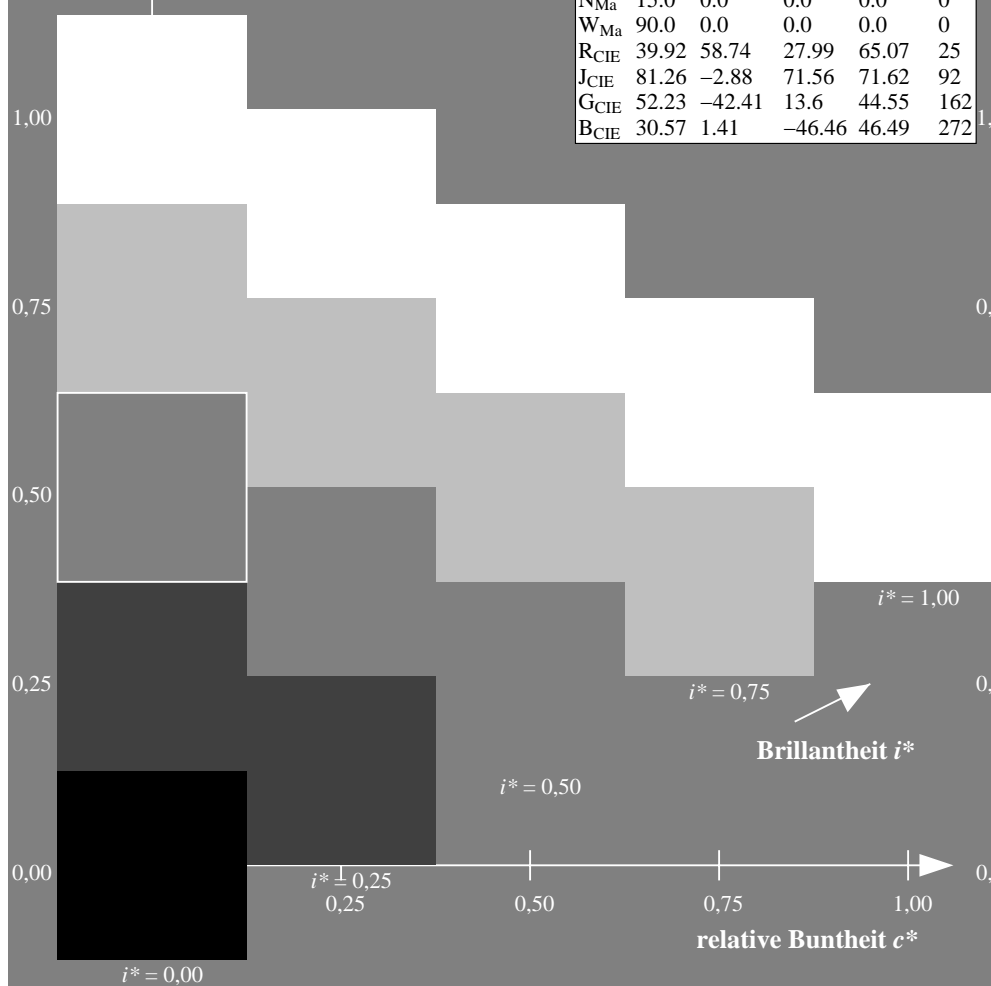
%Regularität

$g^*_{H,rel} = 31$

$g^*_{C,rel} = 40$

FRS15_90a; adaptierte CIELAB-Daten

	$L^*=L_a^*$	a_a^*	b_a^*	$C_{ab,a}^*$	$h_{ab,a}^*$
r00j	35.47	56.92	27.12	63.05	25
r25j	39.12	49.04	44.45	66.19	42
r50j	50.64	35.19	58.33	68.13	59
r75j	64.01	19.11	74.45	76.87	76
j00g	83.18	-3.93	97.56	97.64	92
j25g	66.73	-26.86	74.66	79.35	110
j50g	54.03	-43.42	57.07	71.71	127
j75g	44.73	-54.21	38.33	66.4	145
g00b	47.59	-44.11	14.14	46.33	162
g25b	49.97	-35.68	-6.03	36.19	190
g50b	51.85	-29.05	-21.88	36.38	217
g75b	46.92	-15.53	-32.37	35.92	244
b00r	37.91	1.15	-38.05	38.08	272
b25r	23.81	27.31	-46.96	54.33	300
b50r	29.52	62.07	-37.87	72.72	329
b75r	36.48	64.24	-3.31	64.33	357



Ein und Ausgabe: Farbmetrisches Drucker-Reflektiv-System FRS15_90a für relativen CIELAB-Buntton $h^* = lab^*h^* = h_{ab}/360 = 59/360 = 0.164$

Daten für jede Farbe:

lab^*ch^* und lab^*icu^*

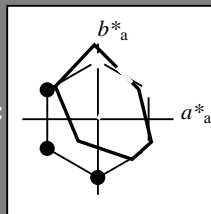
Elementar-Bunttonext:

$u^* = r50j$

Kontrastreduzierungsfaktor:

$c_R = 0.9$

Dreiecks-Helligkeit i^*



FRS15_90a; adaptierte CIELAB-Daten

	$L^*=L_a^*$	a_a^*	b_a^*	$C_{ab,a}^*$	$h_{ab,a}^*$
O _{Ma}	35.06	53.93	39.55	66.88	36
Y _{Ma}	83.77	-4.63	98.26	98.37	93
L _{Ma}	44.13	-56.32	43.36	71.09	142
C _{Ma}	52.66	-26.18	-28.74	38.89	228
V _{Ma}	14.15	45.22	-53.06	69.72	310
M _{Ma}	37.37	70.69	-30.1	76.83	337
N _{Ma}	15.0	0.0	0.0	0.0	0
W _{Ma}	90.0	0.0	0.0	0.0	0
R _{CIE}	39.92	58.74	27.99	65.07	25
J _{CIE}	81.26	-2.88	71.56	71.62	92
G _{CIE}	52.23	-42.41	13.6	44.55	162
B _{CIE}	30.57	1.41	-46.46	46.49	272

Daten für Maximalfarbe (Ma):

$LAB^*LAB^*_{Ma}$: 51 35 58

$LAB^*LCH^*_{Ma}$: 51 68 59

$lab^*rgb^*_{Ma}$: 1.0 0.5 0.0

$lab^*olv^*_{Ma}$: 1.0 0.32 0.0

Dreiecks-Helligkeit i^*

%Umfang

$u^*_{rel} = 88$

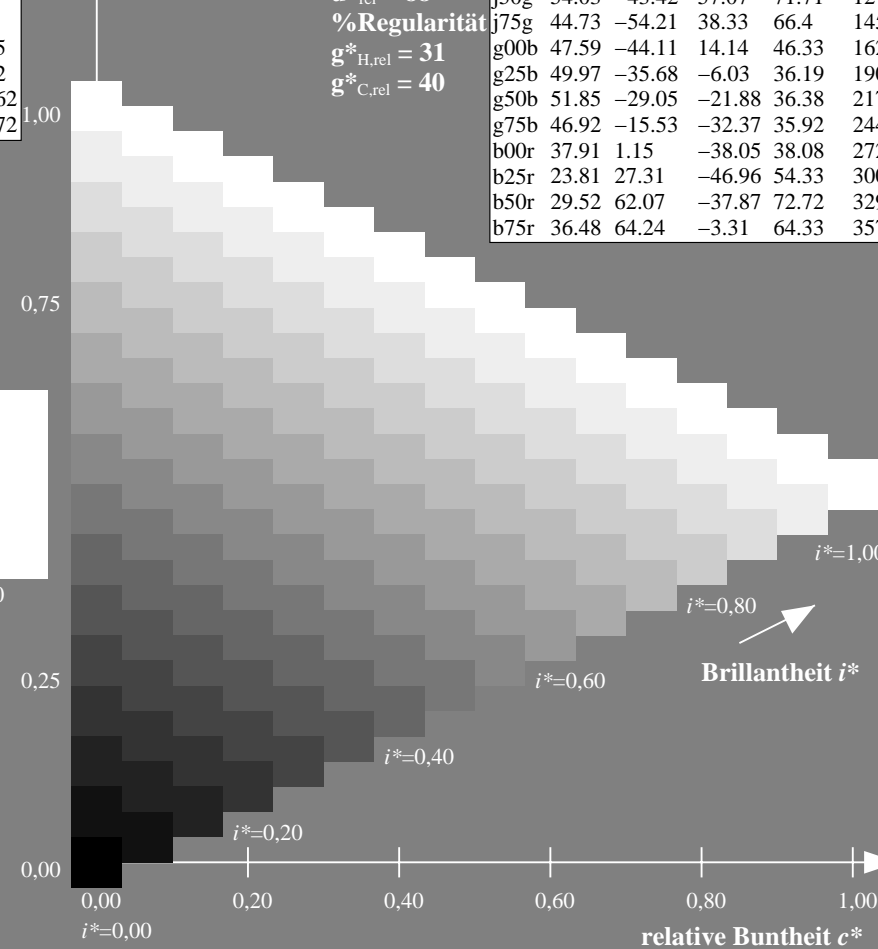
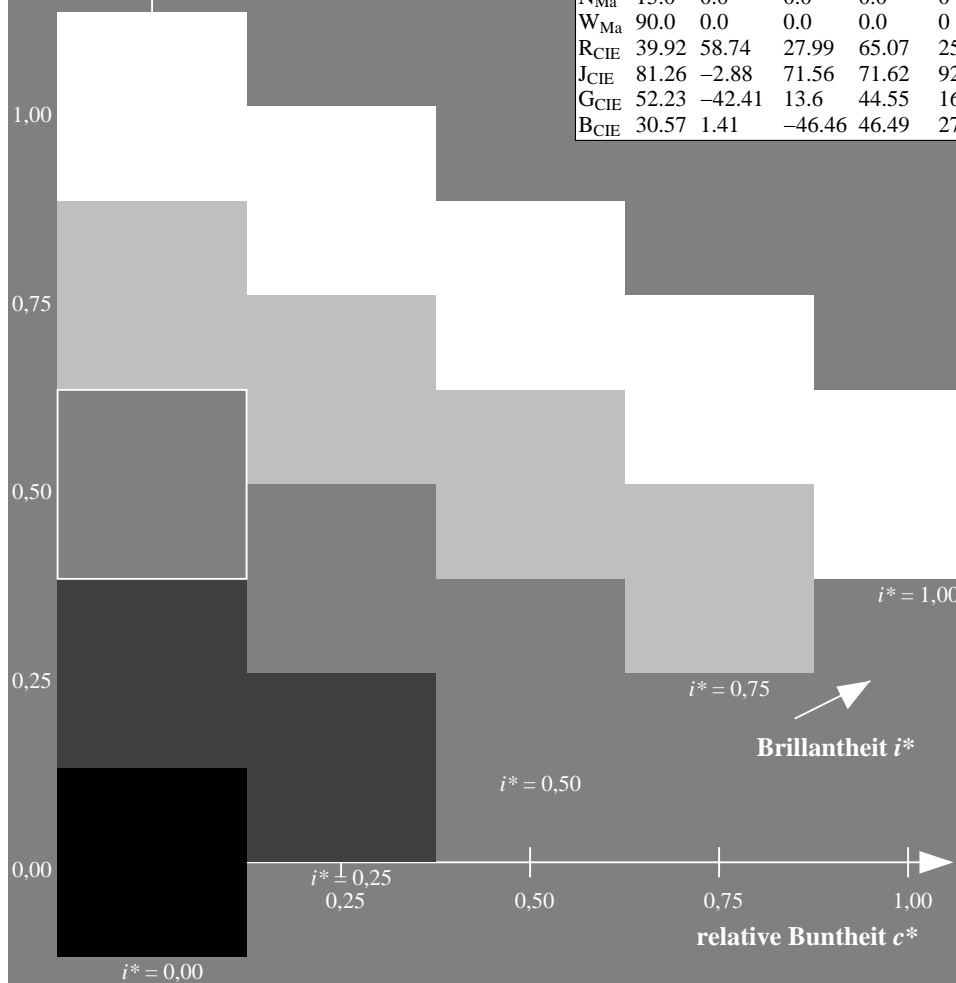
%Regularität

$g^*_{H,rel} = 31$

$g^*_{C,rel} = 40$

FRS15_90a; adaptierte CIELAB-Daten

	$L^*=L_a^*$	a_a^*	b_a^*	$C_{ab,a}^*$	$h_{ab,a}^*$
r00j	35.47	56.92	27.12	63.05	25
r25j	39.12	49.04	44.45	66.19	42
r50j	50.64	35.19	58.33	68.13	59
r75j	64.01	19.11	74.45	76.87	76
j00g	83.18	-3.93	97.56	97.64	92
j25g	66.73	-26.86	74.66	79.35	110
j50g	54.03	-43.42	57.07	71.71	127
j75g	44.73	-54.21	38.33	66.4	145
g00b	47.59	-44.11	14.14	46.33	162
g25b	49.97	-35.68	-6.03	36.19	190
g50b	51.85	-29.05	-21.88	36.38	217
g75b	46.92	-15.53	-32.37	35.92	244
b00r	37.91	1.15	-38.05	38.08	272
b25r	23.81	27.31	-46.96	54.33	300
b50r	29.52	62.07	-37.87	72.72	329
b75r	36.48	64.24	-3.31	64.33	357



Siehe ähnliche Dateien: <http://www.ps.bam.de/Dg71/>; www.ps.bam.de/Dg71/10L/L71G00NA.PS/.TXTBAM-Material: Code=rh4ta
Technische Information: <http://www.ps.bam.de> Version 2.1, io=1,1, ColSpx=0

Ein und Ausgabe: Farbmetrisches Drucker-Reflektiv-System FRS15_90a für relativen CIELAB-Buntton $h^* = lab^*h^* = h_{ab}/360 = 76/360 = 0.21$

Daten für jede Farbe:

lab^*ch^* und lab^*icu^*

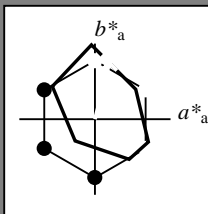
Elementar-Bunttontext:

$u^* = r75j$

Kontrastreduzierungsfaktor:

$c_R = 0.9$

Dreiecks-Helligkeit i^*



FRS15_90a; adaptierte CIELAB-Daten

	$L^*=L_a^*$	a_a^*	b_a^*	$C_{ab,a}^*$	$h_{ab,a}^*$
O _{Ma}	35.06	53.93	39.55	66.88	36
Y _{Ma}	83.77	-4.63	98.26	98.37	93
L _{Ma}	44.13	-56.32	43.36	71.09	142
C _{Ma}	52.66	-26.18	-28.74	38.89	228
V _{Ma}	14.15	45.22	-53.06	69.72	310
M _{Ma}	37.37	70.69	-30.1	76.83	337
N _{Ma}	15.0	0.0	0.0	0.0	0
W _{Ma}	90.0	0.0	0.0	0.0	0
R _{CIE}	39.92	58.74	27.99	65.07	25
J _{CIE}	81.26	-2.88	71.56	71.62	92
G _{CIE}	52.23	-42.41	13.6	44.55	162
B _{CIE}	30.57	1.41	-46.46	46.49	272

Daten für Maximalfarbe (Ma):

$LAB^*LAB^*_{Ma}$: 64 19 74

$LAB^*LCH^*_{Ma}$: 64 77 76

$lab^*rgb^*_{Ma}$: 1.0 0.75 0.0

$lab^*olv^*_{Ma}$: 1.0 0.59 0.0

Dreiecks-Helligkeit i^*

%Umfang

$u^*_{rel} = 88$

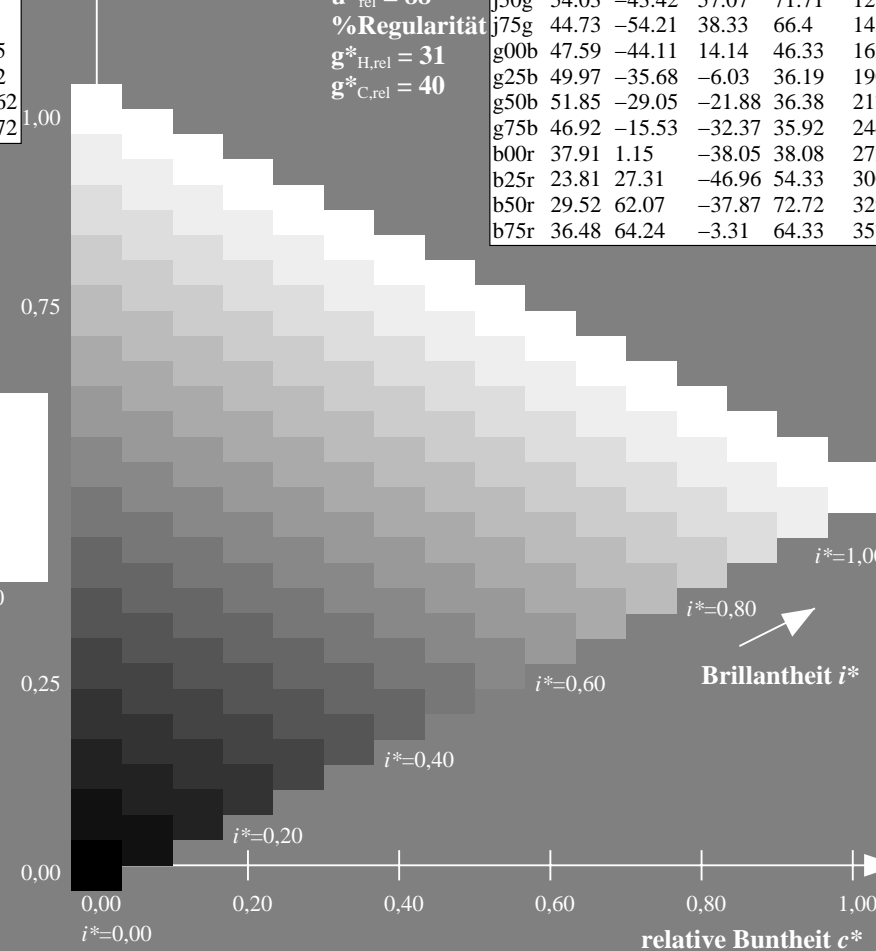
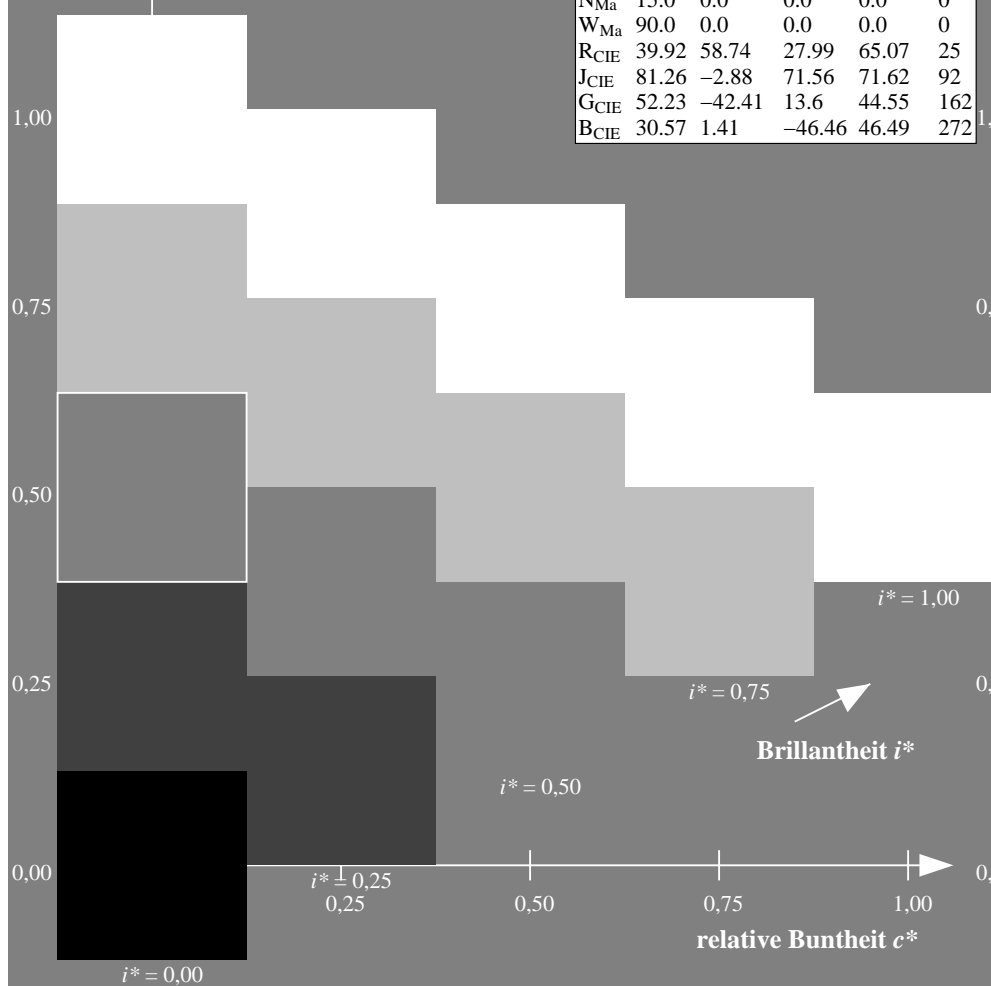
%Regularität

$g^*_{H,rel} = 31$

$g^*_{C,rel} = 40$

FRS15_90a; adaptierte CIELAB-Daten

	$L^*=L_a^*$	a_a^*	b_a^*	$C_{ab,a}^*$	$h_{ab,a}^*$
r00j	35.47	56.92	27.12	63.05	25
r25j	39.12	49.04	44.45	66.19	42
r50j	50.64	35.19	58.33	68.13	59
r75j	64.01	19.11	74.45	76.87	76
j00g	83.18	-3.93	97.56	97.64	92
j25g	66.73	-26.86	74.66	79.35	110
j50g	54.03	-43.42	57.07	71.71	127
j75g	44.73	-54.21	38.33	66.4	145
g00b	47.59	-44.11	14.14	46.33	162
g25b	49.97	-35.68	-6.03	36.19	190
g50b	51.85	-29.05	-21.88	36.38	217
g75b	46.92	-15.53	-32.37	35.92	244
b00r	37.91	1.15	-38.05	38.08	272
b25r	23.81	27.31	-46.96	54.33	300
b50r	29.52	62.07	-37.87	72.72	329
b75r	36.48	64.24	-3.31	64.33	357



Ein und Ausgabe: Farbmetrisches Drucker-Reflektiv-System FRS15_90a für relativen CIELAB-Buntton $h^* = lab^*h^* = h_{ab}/360 = 92/360 = 0.256$

Daten für jede Farbe:

lab^*ch^* und lab^*icu^*

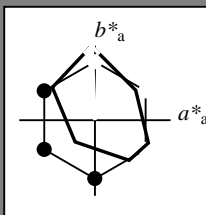
Elementar-Bunttonext:

$u^* = j00g$

Kontrastreduzierungsfaktor:

$c_R = 0.9$

Dreiecks-Helligkeit i^*



FRS15_90a; adaptierte CIELAB-Daten					
	$L^*=L^*_a$	a^*_a	b^*_a	$C^*_{ab,a}$	$h^*_{ab,a}$
O _{Ma}	35.06	53.93	39.55	66.88	36
Y _{Ma}	83.77	-4.63	98.26	98.37	93
L _{Ma}	44.13	-56.32	43.36	71.09	142
C _{Ma}	52.66	-26.18	-28.74	38.89	228
V _{Ma}	14.15	45.22	-53.06	69.72	310
M _{Ma}	37.37	70.69	-30.1	76.83	337
N _{Ma}	15.0	0.0	0.0	0.0	0
W _{Ma}	90.0	0.0	0.0	0.0	0
R _{CIE}	39.92	58.74	27.99	65.07	25
J _{CIE}	81.26	-2.88	71.56	71.62	92
G _{CIE}	52.23	-42.41	13.6	44.55	162
B _{CIE}	30.57	1.41	-46.46	46.49	272

Daten für Maximalfarbe (Ma):

$LAB^*LAB^*_{Ma}$: 83 -3 98

$LAB^*LCH^*_{Ma}$: 83 98 92

$lab^*rgb^*_{Ma}$: 1.0 1.0 0.0

$lab^*olv^*_{Ma}$: 1.0 0.99 0.0

Dreiecks-Helligkeit i^*

%Umfang

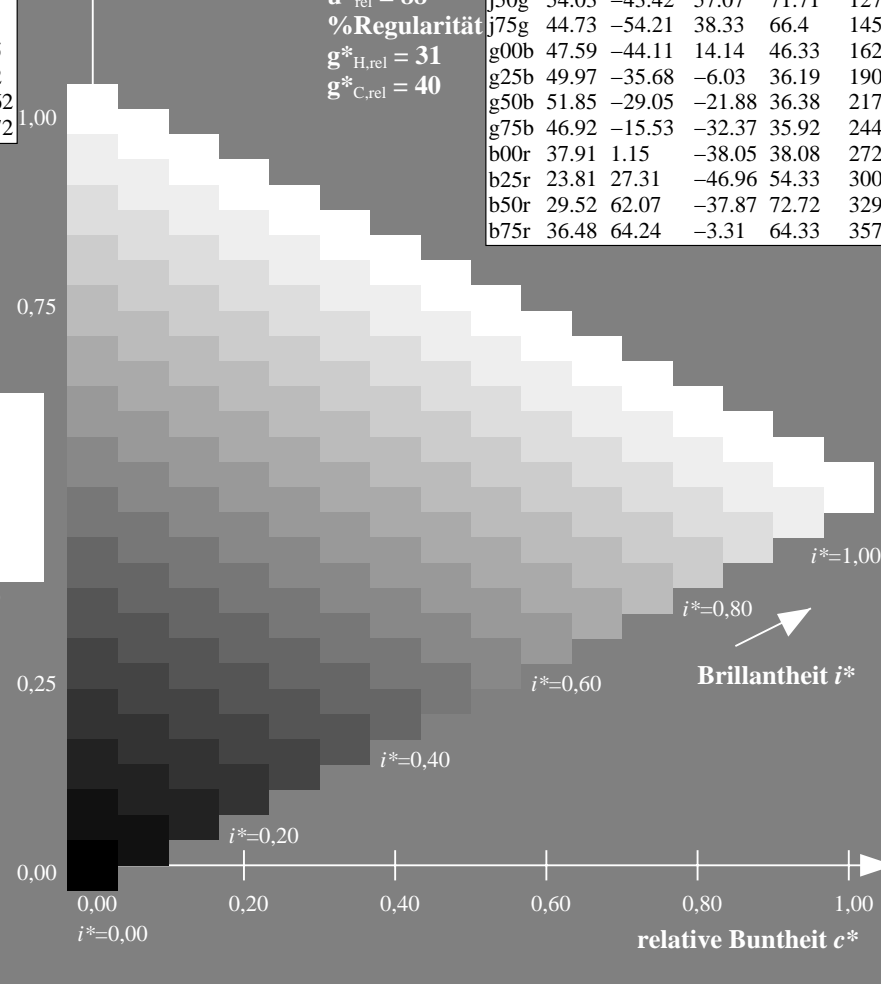
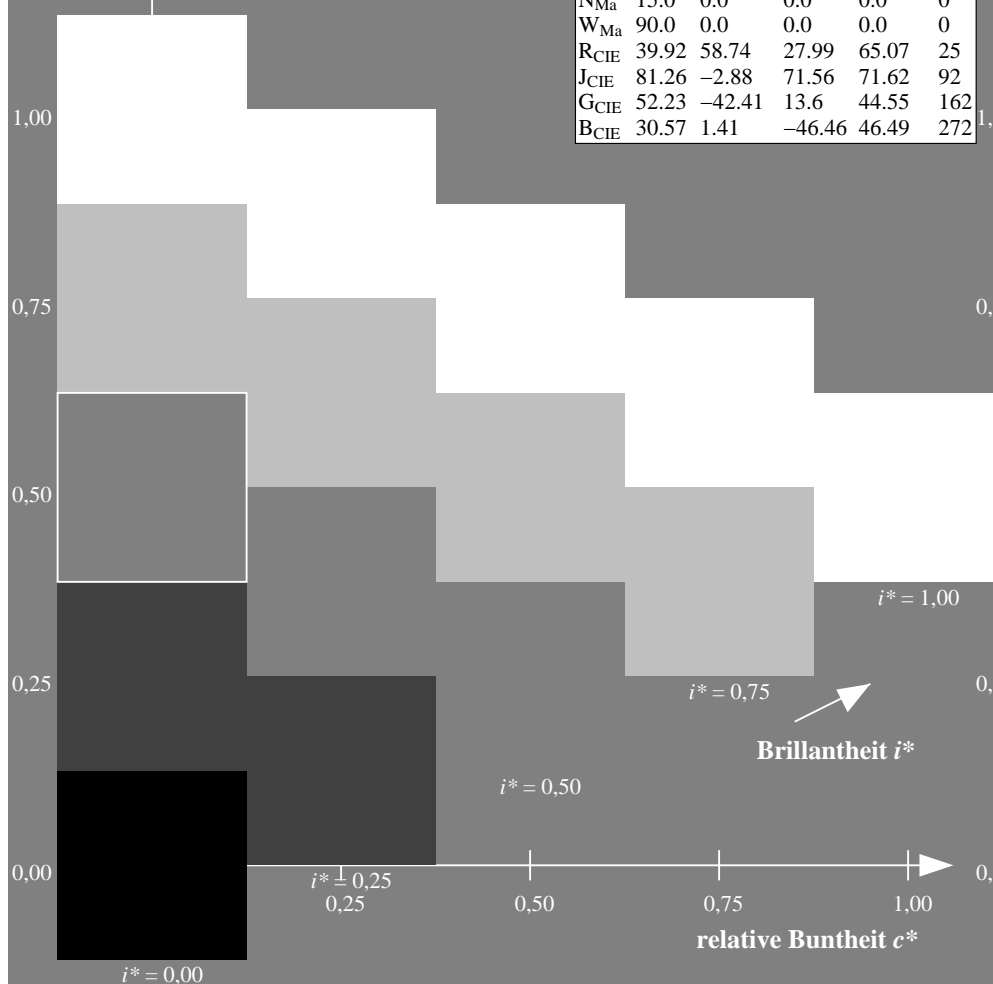
$u^*_{rel} = 88$

%Regularität

$g^*_{H,rel} = 31$

$g^*_{C,rel} = 40$

FRS15_90a; adaptierte CIELAB-Daten					
	$L^*=L^*_a$	a^*_a	b^*_a	$C^*_{ab,a}$	$h^*_{ab,a}$
r00j	35.47	56.92	27.12	63.05	25
r25j	39.12	49.04	44.45	66.19	42
r50j	50.64	35.19	58.33	68.13	59
r75j	64.01	19.11	74.45	76.87	76
j00g	83.18	-3.93	97.56	97.64	92
j25g	66.73	-26.86	74.66	79.35	110
j50g	54.03	-43.42	57.07	71.71	127
j75g	44.73	-54.21	38.33	66.4	145
g00b	47.59	-44.11	14.14	46.33	162
g25b	49.97	-35.68	-6.03	36.19	190
g50b	51.85	-29.05	-21.88	36.38	217
g75b	46.92	-15.53	-32.37	35.92	244
b00r	37.91	1.15	-38.05	38.08	272
b25r	23.81	27.31	-46.96	54.33	300
b50r	29.52	62.07	-37.87	72.72	329
b75r	36.48	64.24	-3.31	64.33	357



Ein und Ausgabe: Farbmetrisches Drucker-Reflektiv-System FRS15_90a für relativen CIELAB-Buntton $h^* = lab^*h^* = h_{ab}/360 = 110/360 = 0.305$

Daten für jede Farbe:

lab^*ch^* und lab^*icu^*

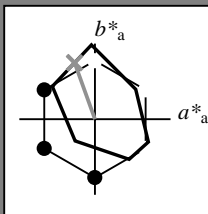
Elementar-Bunttontext:

$u^* = j25g$

Kontrastreduzierungsfaktor:

$c_R = 0.9$

Dreiecks-Helligkeit i^*



FRS15_90a; adaptierte CIELAB-Daten

	$L^*=L_a^*$	a_a^*	b_a^*	$C_{ab,a}^*$	$h_{ab,a}^*$
O _{Ma}	35.06	53.93	39.55	66.88	36
Y _{Ma}	83.77	-4.63	98.26	98.37	93
L _{Ma}	44.13	-56.32	43.36	71.09	142
C _{Ma}	52.66	-26.18	-28.74	38.89	228
V _{Ma}	14.15	45.22	-53.06	69.72	310
M _{Ma}	37.37	70.69	-30.1	76.83	337
N _{Ma}	15.0	0.0	0.0	0.0	0
W _{Ma}	90.0	0.0	0.0	0.0	0
R _{CIE}	39.92	58.74	27.99	65.07	25
J _{CIE}	81.26	-2.88	71.56	71.62	92
G _{CIE}	52.23	-42.41	13.6	44.55	162
B _{CIE}	30.57	1.41	-46.46	46.49	272

Daten für Maximalfarbe (Ma):

$LAB^*LAB^*_{Ma}$: 67 -26 75

$LAB^*LCH^*_{Ma}$: 67 79 110

$lab^*rgb^*_{Ma}$: 0.75 1.0 0.0

$lab^*olv^*_{Ma}$: 0.57 1.0 0.0

Dreiecks-Helligkeit i^*

%Umfang

$u^*_{rel} = 88$

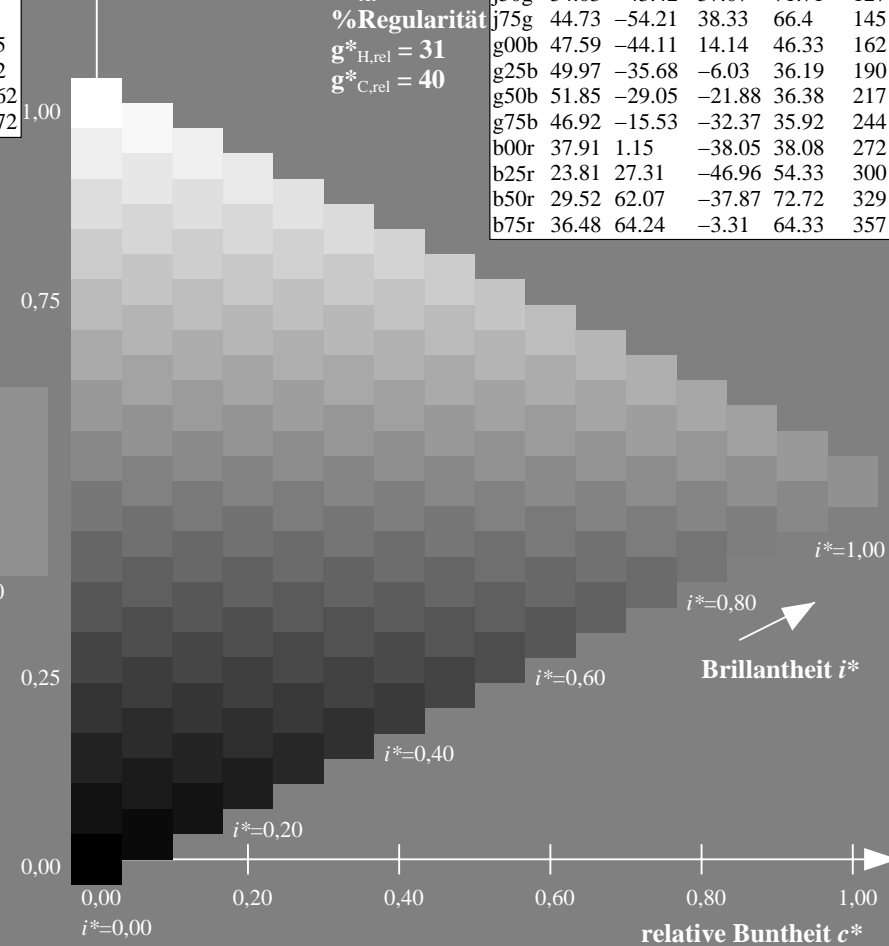
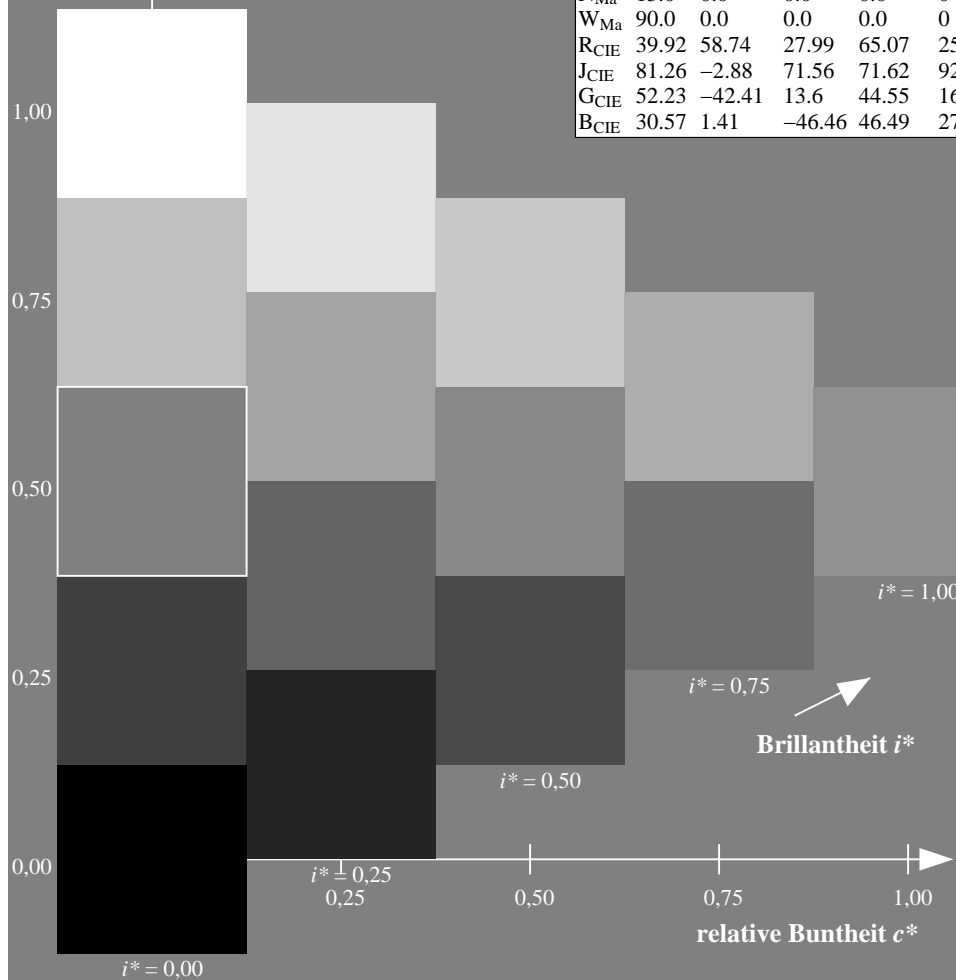
%Regularität

$g^*_{H,rel} = 31$

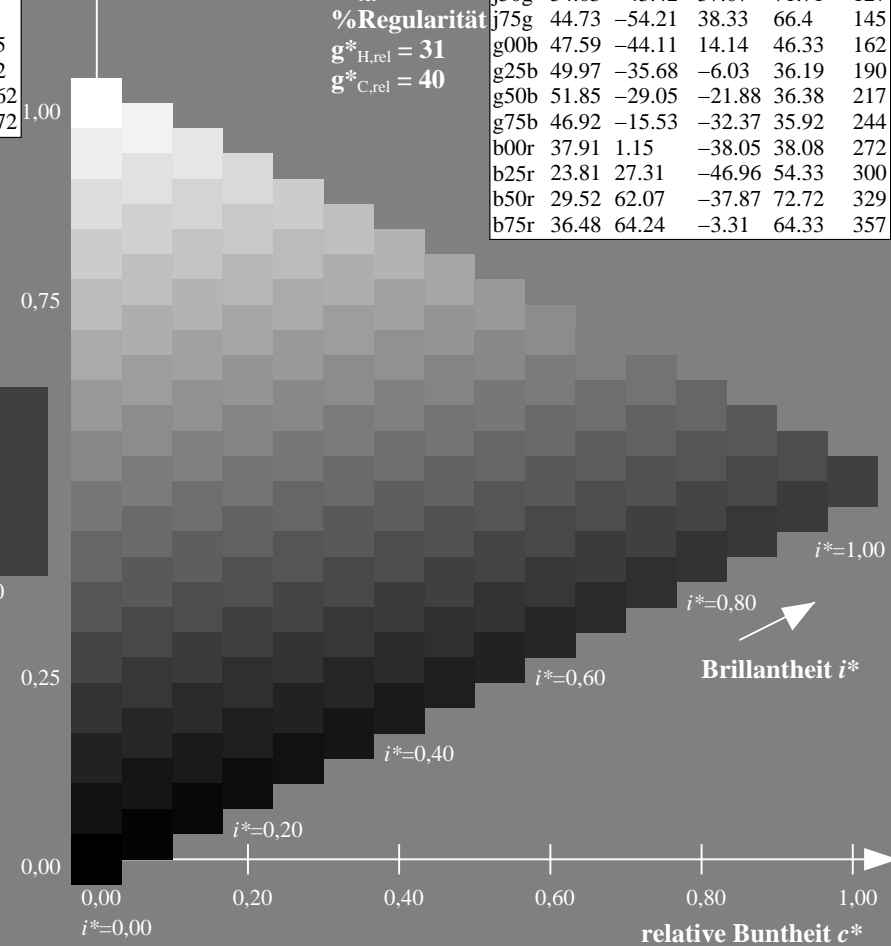
$g^*_{C,rel} = 40$

FRS15_90a; adaptierte CIELAB-Daten

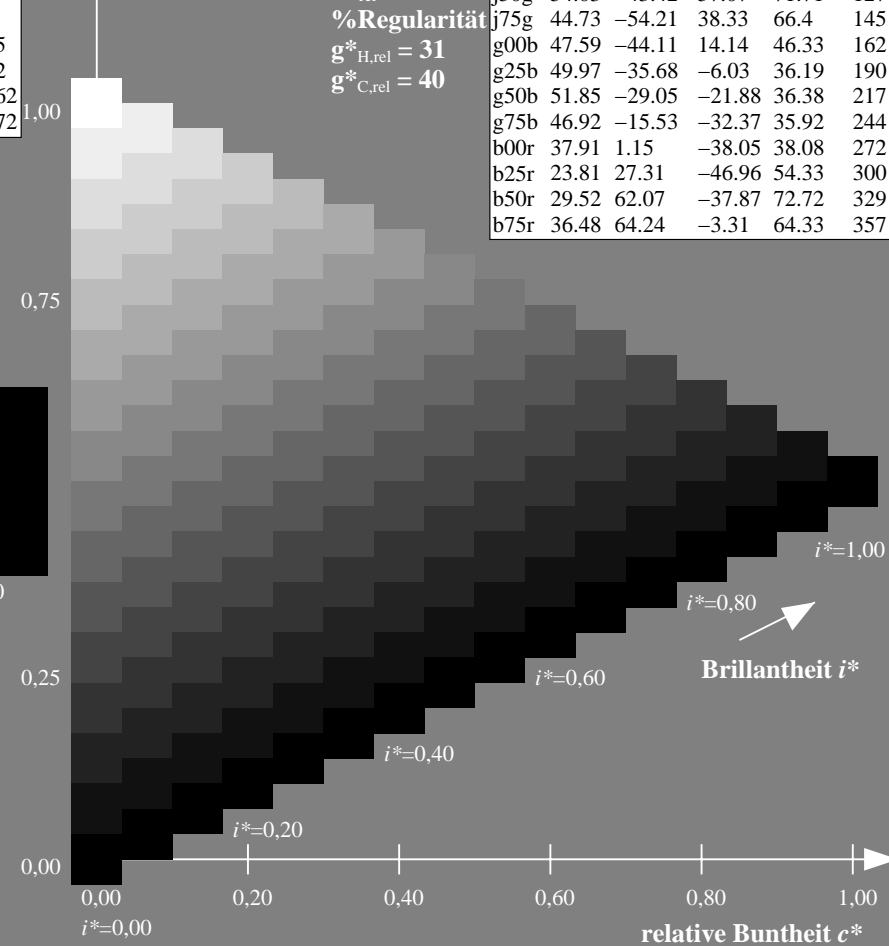
	$L^*=L_a^*$	a_a^*	b_a^*	$C_{ab,a}^*$	$h_{ab,a}^*$
r00j	35.47	56.92	27.12	63.05	25
r25j	39.12	49.04	44.45	66.19	42
r50j	50.64	35.19	58.33	68.13	59
r75j	64.01	19.11	74.45	76.87	76
j00g	83.18	-3.93	97.56	97.64	92
j25g	66.73	-26.86	74.66	79.35	110
j50g	54.03	-43.42	57.07	71.71	127
j75g	44.73	-54.21	38.33	66.4	145
g00b	47.59	-44.11	14.14	46.33	162
g25b	49.97	-35.68	-6.03	36.19	190
g50b	51.85	-29.05	-21.88	36.38	217
g75b	46.92	-15.53	-32.37	35.92	244
b00r	37.91	1.15	-38.05	38.08	272
b25r	23.81	27.31	-46.96	54.33	300
b50r	29.52	62.07	-37.87	72.72	329
b75r	36.48	64.24	-3.31	64.33	357



Dreiecks-Helligkeit t^*



Dreiecks-Helligkeit t^*


$$g^*_{C,rel} = 40$$


Eingabe: 000n / w / nnn0 / www set...
Ausgabe: ->cmyn5* setcmykcolor

BAM-Registrierung: 20080701-Dg71/10L/L71G00NA.PS/.TXTBAM-Material: Code=rh4tt
+ Anwendung für Beurteilung und Messung von Drucker- oder Monitorsystemen

Ein und Ausgabe: Farbmetrisches Drucker-Reflektiv-System FRS15_90a für relativen CIELAB-Buntton $h^* = lab^*h^* = h_{ab}/360 = 162/360 = 0.451$

Daten für jede Farbe:

lab^*tch^* und lab^*icu^*

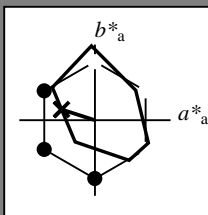
Elementar-Bunttontext:

$u^* = g00b$

Kontrastreduzierungsfaktor:

$c_R = 0.9$

Dreiecks-Helligkeit i^*



FRS15_90a; adaptierte CIELAB-Daten

	$L^*=L_a^*$	a_a^*	b_a^*	$C_{ab,a}^*$	$h_{ab,a}^*$
O _{Ma}	35.06	53.93	39.55	66.88	36
Y _{Ma}	83.77	-4.63	98.26	98.37	93
L _{Ma}	44.13	-56.32	43.36	71.09	142
C _{Ma}	52.66	-26.18	-28.74	38.89	228
V _{Ma}	14.15	45.22	-53.06	69.72	310
M _{Ma}	37.37	70.69	-30.1	76.83	337
N _{Ma}	15.0	0.0	0.0	0.0	0
W _{Ma}	90.0	0.0	0.0	0.0	0
R _{CIE}	39.92	58.74	27.99	65.07	25
J _{CIE}	81.26	-2.88	71.56	71.62	92
G _{CIE}	52.23	-42.41	13.6	44.55	162
B _{CIE}	30.57	1.41	-46.46	46.49	272

Daten für Maximalfarbe (Ma):

$LAB^*LAB^*_{Ma}$: 48 -43 14

$LAB^*LCH^*_{Ma}$: 48 46 162

$lab^*rgb^*_{Ma}$: 0.0 1.0 0.0

$lab^*olv^*_{Ma}$: 0.0 1.0 0.41

Dreiecks-Helligkeit i^*

%Umfang

$u^*_{rel} = 88$

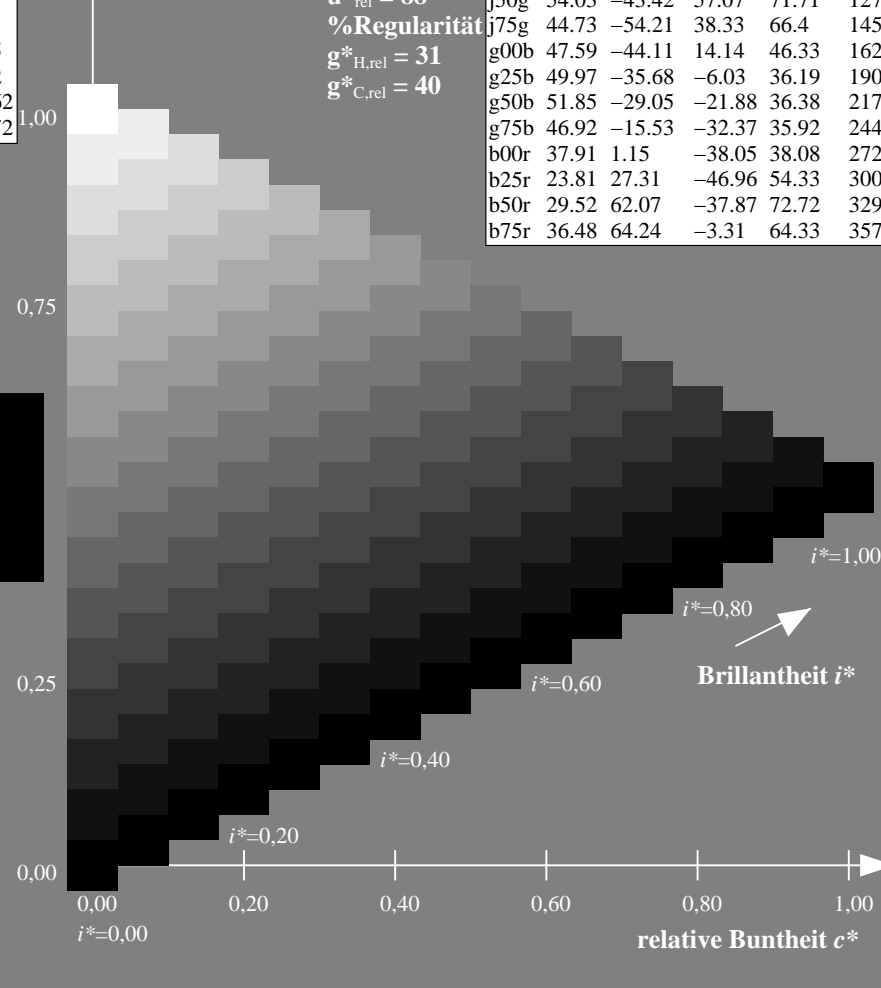
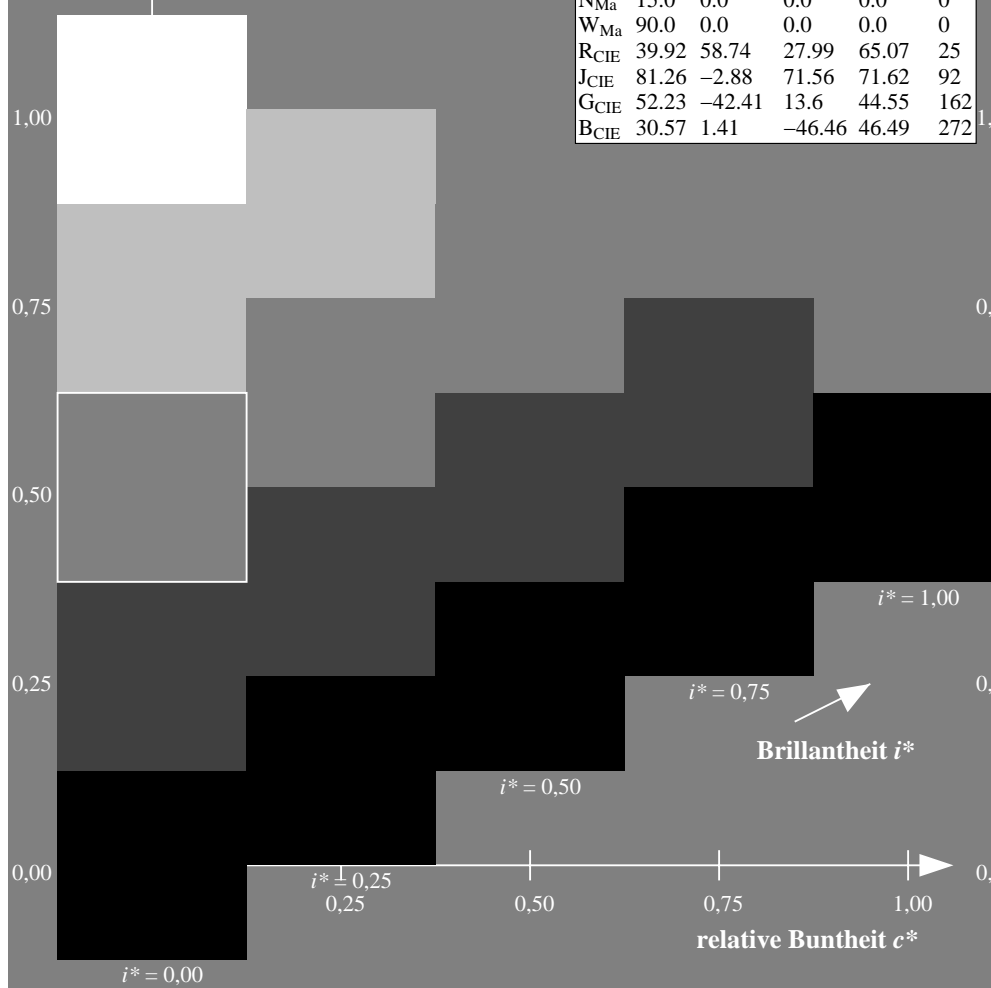
%Regularität

$g^*_{H,rel} = 31$

$g^*_{C,rel} = 40$

FRS15_90a; adaptierte CIELAB-Daten

	$L^*=L_a^*$	a_a^*	b_a^*	$C_{ab,a}^*$	$h_{ab,a}^*$
r00j	35.47	56.92	27.12	63.05	25
r25j	39.12	49.04	44.45	66.19	42
r50j	50.64	35.19	58.33	68.13	59
r75j	64.01	19.11	74.45	76.87	76
j00g	83.18	-3.93	97.56	97.64	92
j25g	66.73	-26.86	74.66	79.35	110
j50g	54.03	-43.42	57.07	71.71	127
j75g	44.73	-54.21	38.33	66.4	145
g00b	47.59	-44.11	14.14	46.33	162
g25b	49.97	-35.68	-6.03	36.19	190
g50b	51.85	-29.05	-21.88	36.38	217
g75b	46.92	-15.53	-32.37	35.92	244
b00r	37.91	1.15	-38.05	38.08	272
b25r	23.81	27.31	-46.96	54.33	300
b50r	29.52	62.07	-37.87	72.72	329
b75r	36.48	64.24	-3.31	64.33	357



Ein und Ausgabe: Farbmetrisches Drucker-Reflektiv-System FRS15_90a für relativen CIELAB-Buntton $h^* = lab^*h^* = h_{ab}/360 = 190/360 = 0.527$

Daten für jede Farbe:

lab^*ch^* und lab^*icu^*

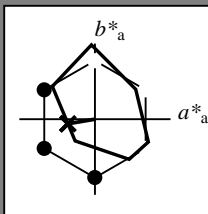
Elementar-Bunttontext:

$u^* = g25b$

Kontrastreduzierungsfaktor:

$c_R = 0.9$

Dreiecks-Helligkeit i^*



FRS15_90a; adaptierte CIELAB-Daten

	$L^*=L_a^*$	a_a^*	b_a^*	$C_{ab,a}^*$	$h_{ab,a}^*$
O _{Ma}	35.06	53.93	39.55	66.88	36
Y _{Ma}	83.77	-4.63	98.26	98.37	93
L _{Ma}	44.13	-56.32	43.36	71.09	142
C _{Ma}	52.66	-26.18	-28.74	38.89	228
V _{Ma}	14.15	45.22	-53.06	69.72	310
M _{Ma}	37.37	70.69	-30.1	76.83	337
N _{Ma}	15.0	0.0	0.0	0.0	0
W _{Ma}	90.0	0.0	0.0	0.0	0
R _{CIE}	39.92	58.74	27.99	65.07	25
J _{CIE}	81.26	-2.88	71.56	71.62	92
G _{CIE}	52.23	-42.41	13.6	44.55	162
B _{CIE}	30.57	1.41	-46.46	46.49	272

Daten für Maximalfarbe (Ma):

LAB^*LAB^*Ma : 50 -35 -5

LAB^*LCH^*Ma : 50 36 190

lab^*rgb^*Ma : 0.0 1.0 0.5

lab^*olv^*Ma : 0.0 1.0 0.69

Dreiecks-Helligkeit i^*

%Umfang

$u^*_{rel} = 88$

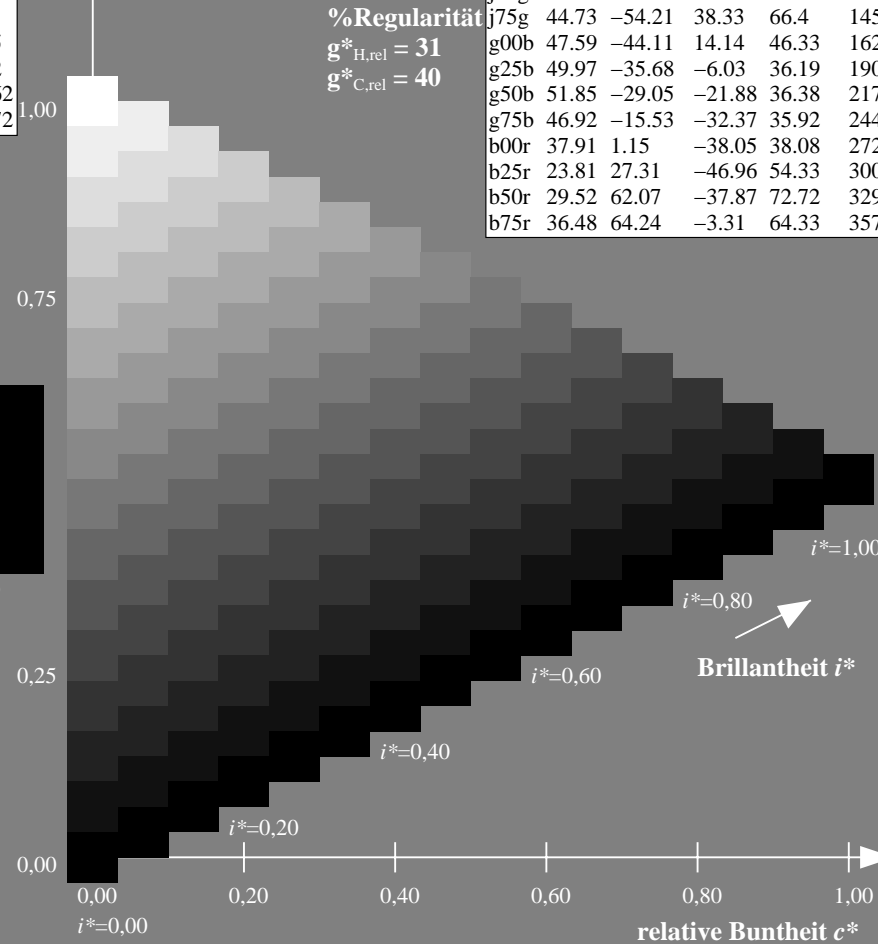
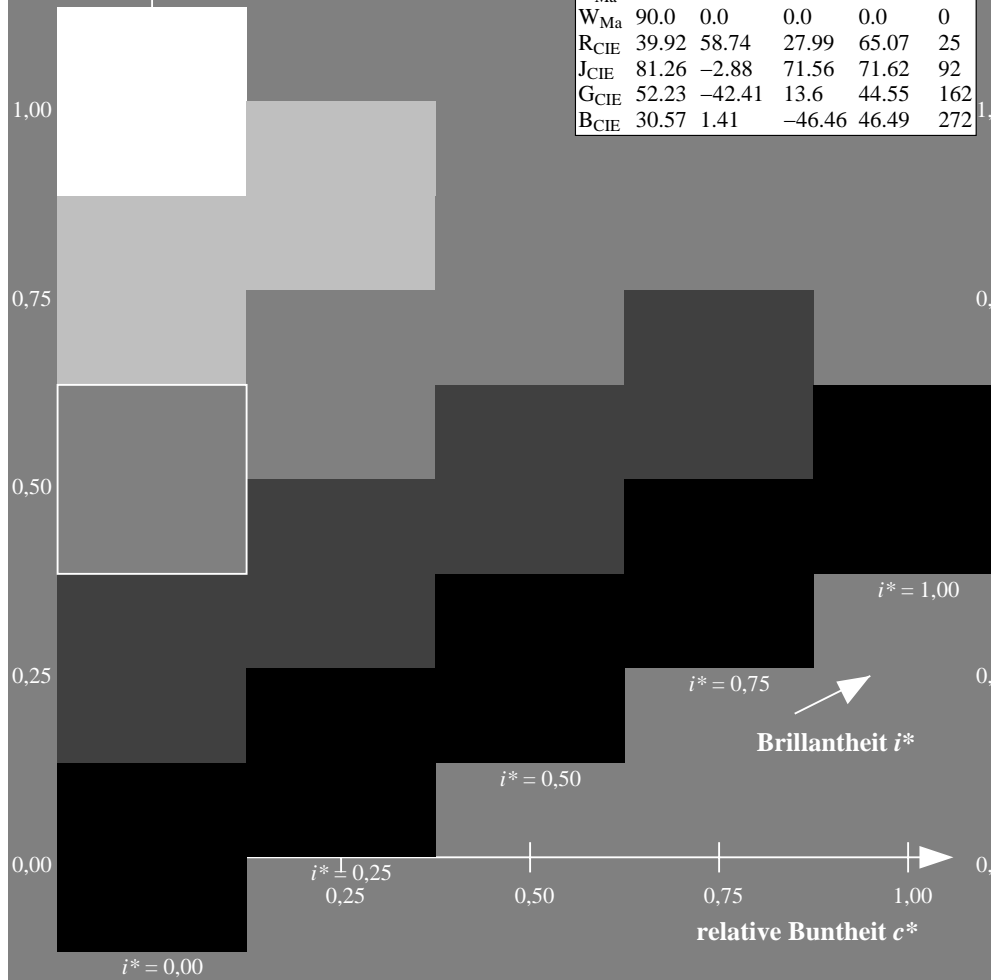
%Regularität

$g^*_{H,rel} = 31$

$g^*_{C,rel} = 40$

FRS15_90a; adaptierte CIELAB-Daten

	$L^*=L_a^*$	a_a^*	b_a^*	$C_{ab,a}^*$	$h_{ab,a}^*$
r00j	35.47	56.92	27.12	63.05	25
r25j	39.12	49.04	44.45	66.19	42
r50j	50.64	35.19	58.33	68.13	59
r75j	64.01	19.11	74.45	76.87	76
j00g	83.18	-3.93	97.56	97.64	92
j25g	66.73	-26.86	74.66	79.35	110
j50g	54.03	-43.42	57.07	71.71	127
j75g	44.73	-54.21	38.33	66.4	145
g00b	47.59	-44.11	14.14	46.33	162
g25b	49.97	-35.68	-6.03	36.19	190
g50b	51.85	-29.05	-21.88	36.38	217
g75b	46.92	-15.53	-32.37	35.92	244
b00r	37.91	1.15	-38.05	38.08	272
b25r	23.81	27.31	-46.96	54.33	300
b50r	29.52	62.07	-37.87	72.72	329
b75r	36.48	64.24	-3.31	64.33	357



Ein und Ausgabe: Farbmetrisches Drucker-Reflektiv-System FRS15_90a für relativen CIELAB-Buntton $h^* = lab^*h^* = h_{ab}/360 = 217/360 = 0.603$

Daten für jede Farbe:

lab^*tch^* und lab^*icu^*

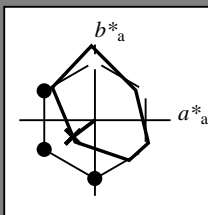
Elementar-Bunttontext:

$u^* = g50b$

Kontrastreduzierungsfaktor:

$c_R = 0.9$

Dreiecks-Helligkeit t^*



FRS15_90a; adaptierte CIELAB-Daten

	$L^*=L_a^*$	a_a^*	b_a^*	$C_{ab,a}^*$	$h_{ab,a}^*$
O _{Ma}	35.06	53.93	39.55	66.88	36
Y _{Ma}	83.77	-4.63	98.26	98.37	93
L _{Ma}	44.13	-56.32	43.36	71.09	142
C _{Ma}	52.66	-26.18	-28.74	38.89	228
V _{Ma}	14.15	45.22	-53.06	69.72	310
M _{Ma}	37.37	70.69	-30.1	76.83	337
N _{Ma}	15.0	0.0	0.0	0.0	0
W _{Ma}	90.0	0.0	0.0	0.0	0
R _{CIE}	39.92	58.74	27.99	65.07	25
J _{CIE}	81.26	-2.88	71.56	71.62	92
G _{CIE}	52.23	-42.41	13.6	44.55	162
B _{CIE}	30.57	1.41	-46.46	46.49	272

Daten für Maximalfarbe (Ma):

$LAB^*LAB^*_{Ma}$: 52 -28 -21

$LAB^*LCH^*_{Ma}$: 52 36 217

$lab^*rgb^*_{Ma}$: 0.0 1.0 1.0

$lab^*olv^*_{Ma}$: 0.0 1.0 0.9

Dreiecks-Helligkeit t^*

%Umfang

$u^*_{rel} = 88$

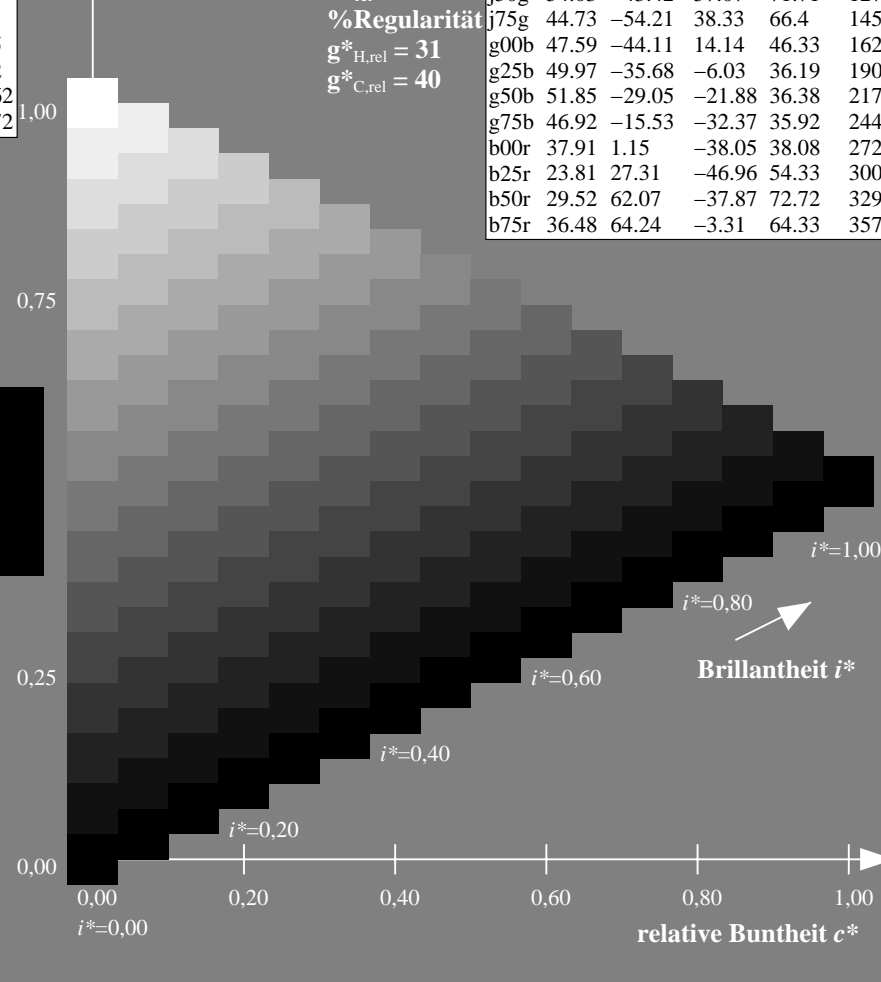
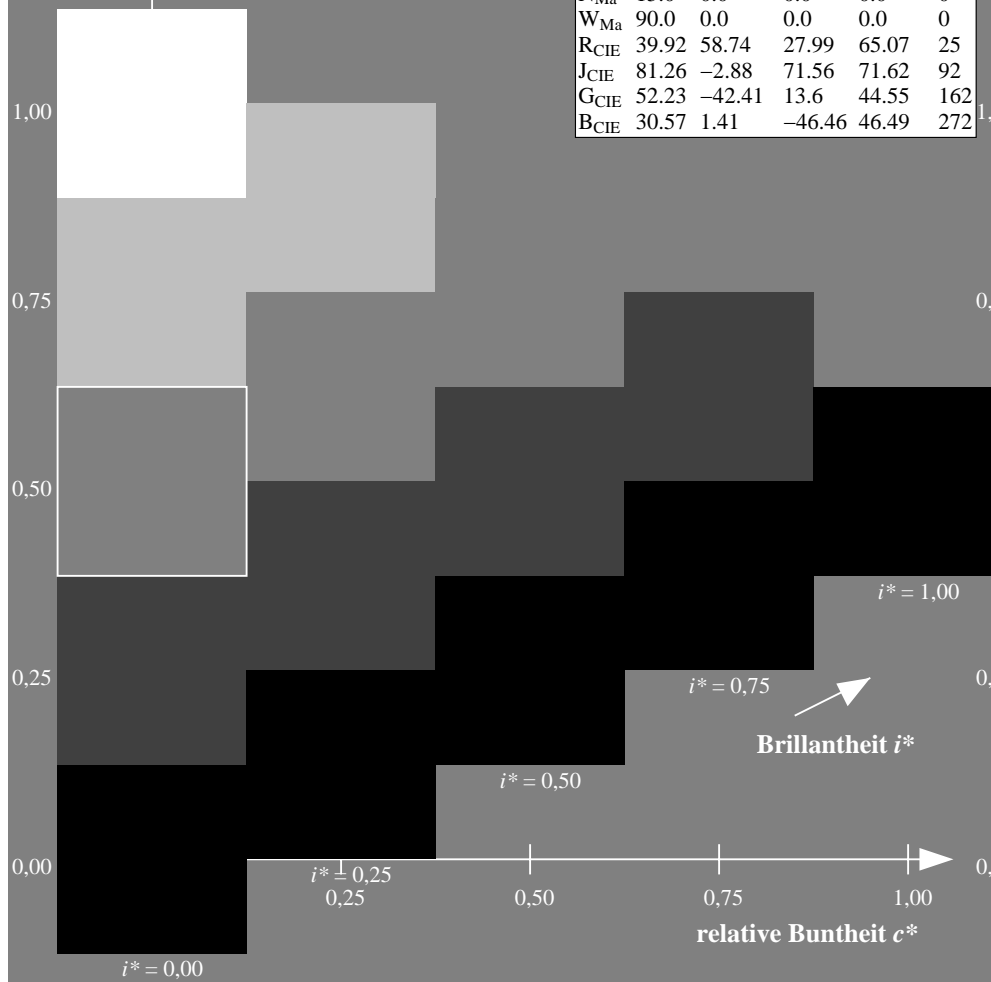
%Regularität

$g^*_{H,rel} = 31$

$g^*_{C,rel} = 40$

FRS15_90a; adaptierte CIELAB-Daten

	$L^*=L_a^*$	a_a^*	b_a^*	$C_{ab,a}^*$	$h_{ab,a}^*$
r00j	35.47	56.92	27.12	63.05	25
r25j	39.12	49.04	44.45	66.19	42
r50j	50.64	35.19	58.33	68.13	59
r75j	64.01	19.11	74.45	76.87	76
j00g	83.18	-3.93	97.56	97.64	92
j25g	66.73	-26.86	74.66	79.35	110
j50g	54.03	-43.42	57.07	71.71	127
j75g	44.73	-54.21	38.33	66.4	145
g00b	47.59	-44.11	14.14	46.33	162
g25b	49.97	-35.68	-6.03	36.19	190
g50b	51.85	-29.05	-21.88	36.38	217
g75b	46.92	-15.53	-32.37	35.92	244
b00r	37.91	1.15	-38.05	38.08	272
b25r	23.81	27.31	-46.96	54.33	300
b50r	29.52	62.07	-37.87	72.72	329
b75r	36.48	64.24	-3.31	64.33	357



Dreiecks-Helligkeit t^*

[illegible]

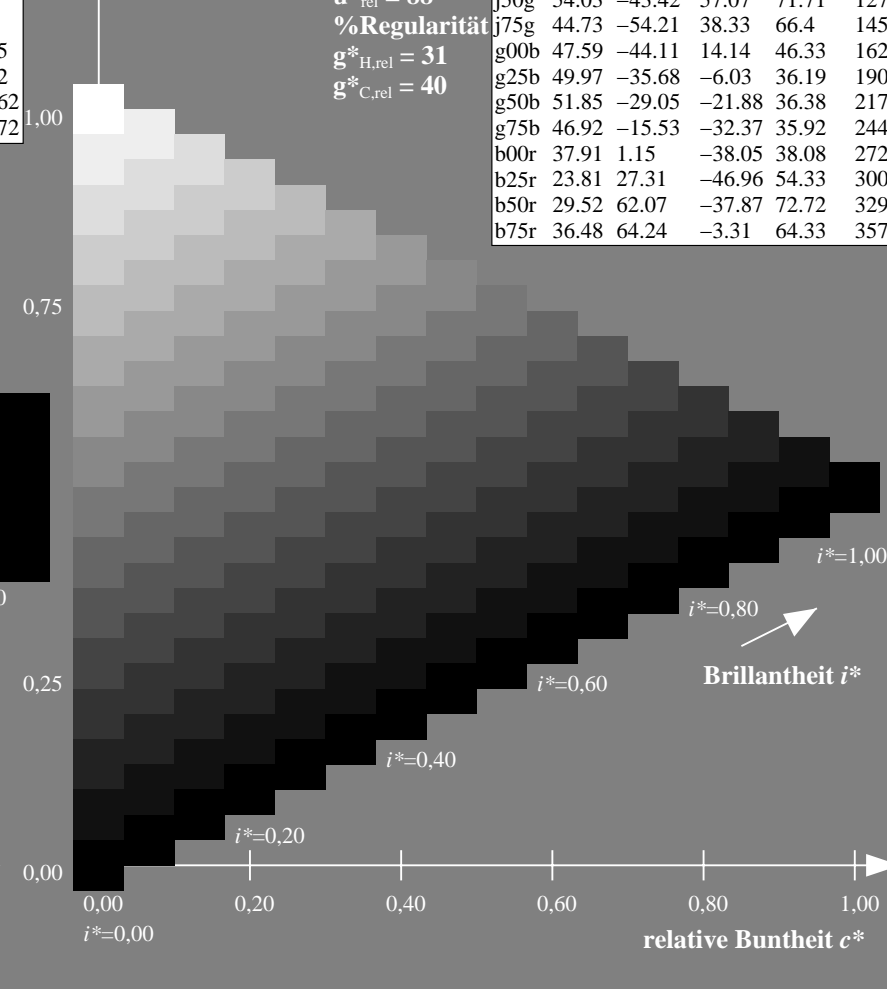
Dreiecks-Helligkeit t^*



Dreiecks-Helligkeit t^*

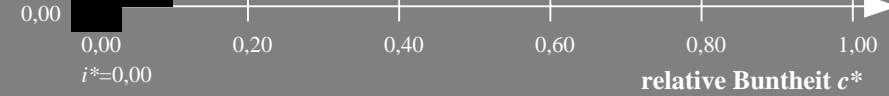
$$g^*_{C,rel} = 40$$

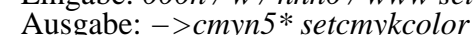
07.51	30.46	04.24	-3.51	04.55	357
-------	-------	-------	-------	-------	-----



Ausgabe: `->cmyn5* setcmykcolor`

Dreiecks-Helligkeit t^*

Dreiecks-Helligkeit t^* 

Dreiecks-Helligkeit t^* 

BAM-Registrierung: 20080701-Dg71/10L/L71G00NA.PS/.TXTBAM-Material: Code=rha4ta
+ Anwendung für Beurteilung und Messung von Drucker- oder Monitorsystemen

Ein und Ausgabe: Farbmetrisches Drucker-Reflektiv-System FRS15_90a für relativen CIELAB-Buntton $h^* = lab^*h^* = h_{ab}/360 = 357/360 = 0.992$

Daten für jede Farbe:

lab^*ch^* und lab^*icu^*

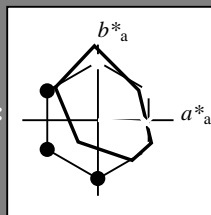
Elementar-Bunttonext:

$u^* = b75r$

Kontrastreduzierungsfaktor:

$c_R = 0.9$

Dreiecks-Helligkeit i^*



FRS15_90a; adaptierte CIELAB-Daten

	$L^*=L^*_a$	a^*_a	b^*_a	$C^*_{ab,a}$	$h^*_{ab,a}$
O _{Ma}	35.06	53.93	39.55	66.88	36
Y _{Ma}	83.77	-4.63	98.26	98.37	93
L _{Ma}	44.13	-56.32	43.36	71.09	142
C _{Ma}	52.66	-26.18	-28.74	38.89	228
V _{Ma}	14.15	45.22	-53.06	69.72	310
M _{Ma}	37.37	70.69	-30.1	76.83	337
N _{Ma}	15.0	0.0	0.0	0.0	0
W _{Ma}	90.0	0.0	0.0	0.0	0
R _{CIE}	39.92	58.74	27.99	65.07	25
J _{CIE}	81.26	-2.88	71.56	71.62	92
G _{CIE}	52.23	-42.41	13.6	44.55	162
B _{CIE}	30.57	1.41	-46.46	46.49	272

Daten für Maximalfarbe (Ma):

$LAB^*LAB^*_{Ma}$: 36 64 -2

$LAB^*LCH^*_{Ma}$: 36 64 357

$lab^*rgb^*_{Ma}$: 1.0 0.0 0.5

$lab^*olv^*_{Ma}$: 1.0 0.0 0.62

Dreiecks-Helligkeit i^*

%Umfang

$u^*_{rel} = 88$

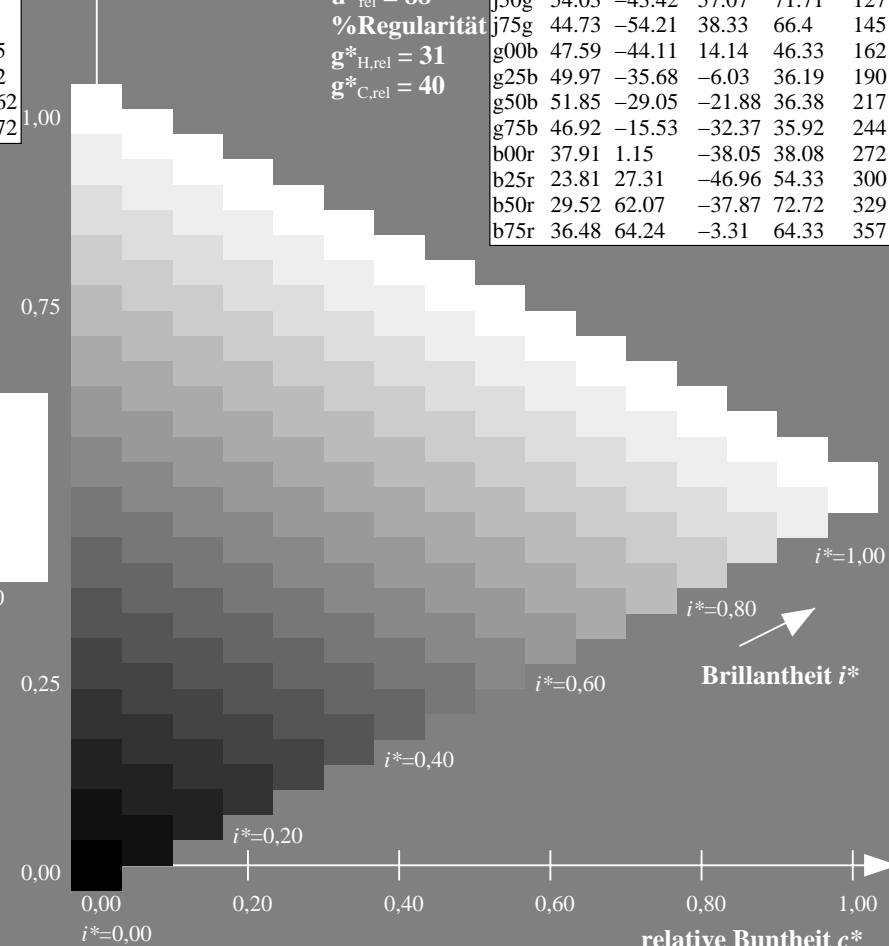
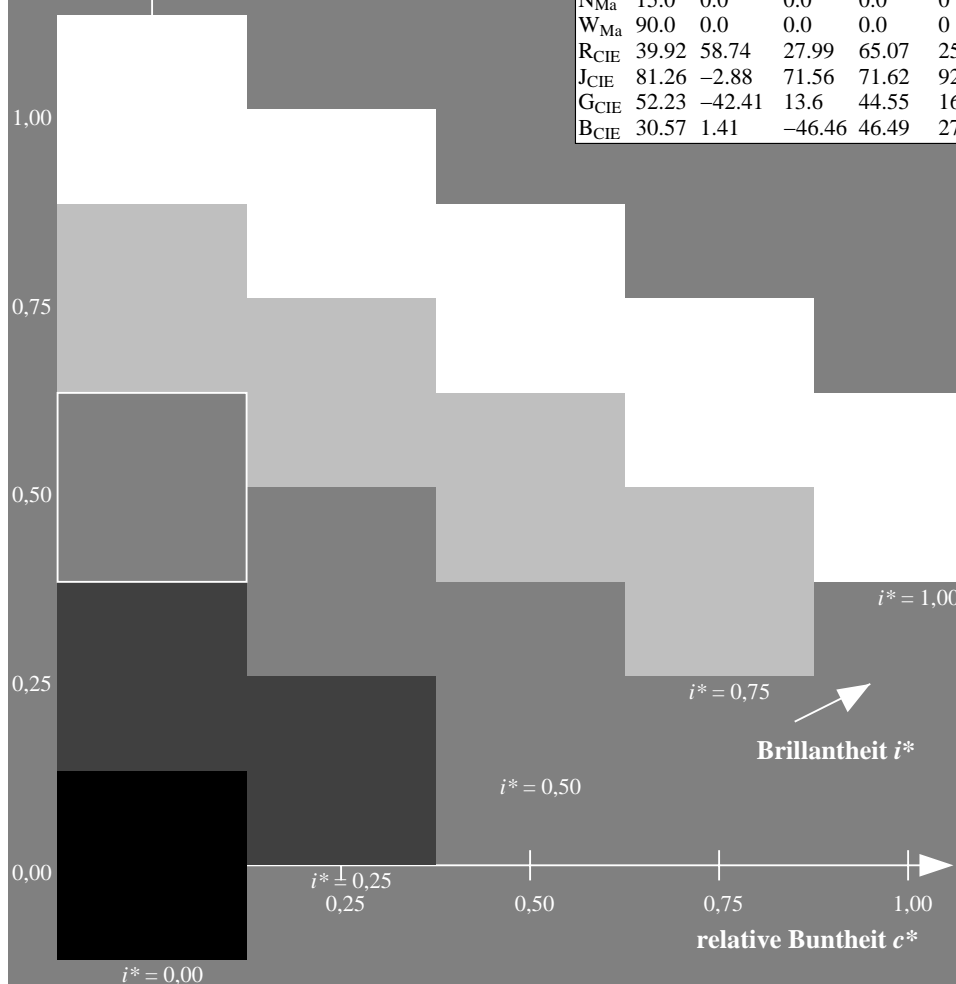
%Regularität

$g^*_{H,rel} = 31$

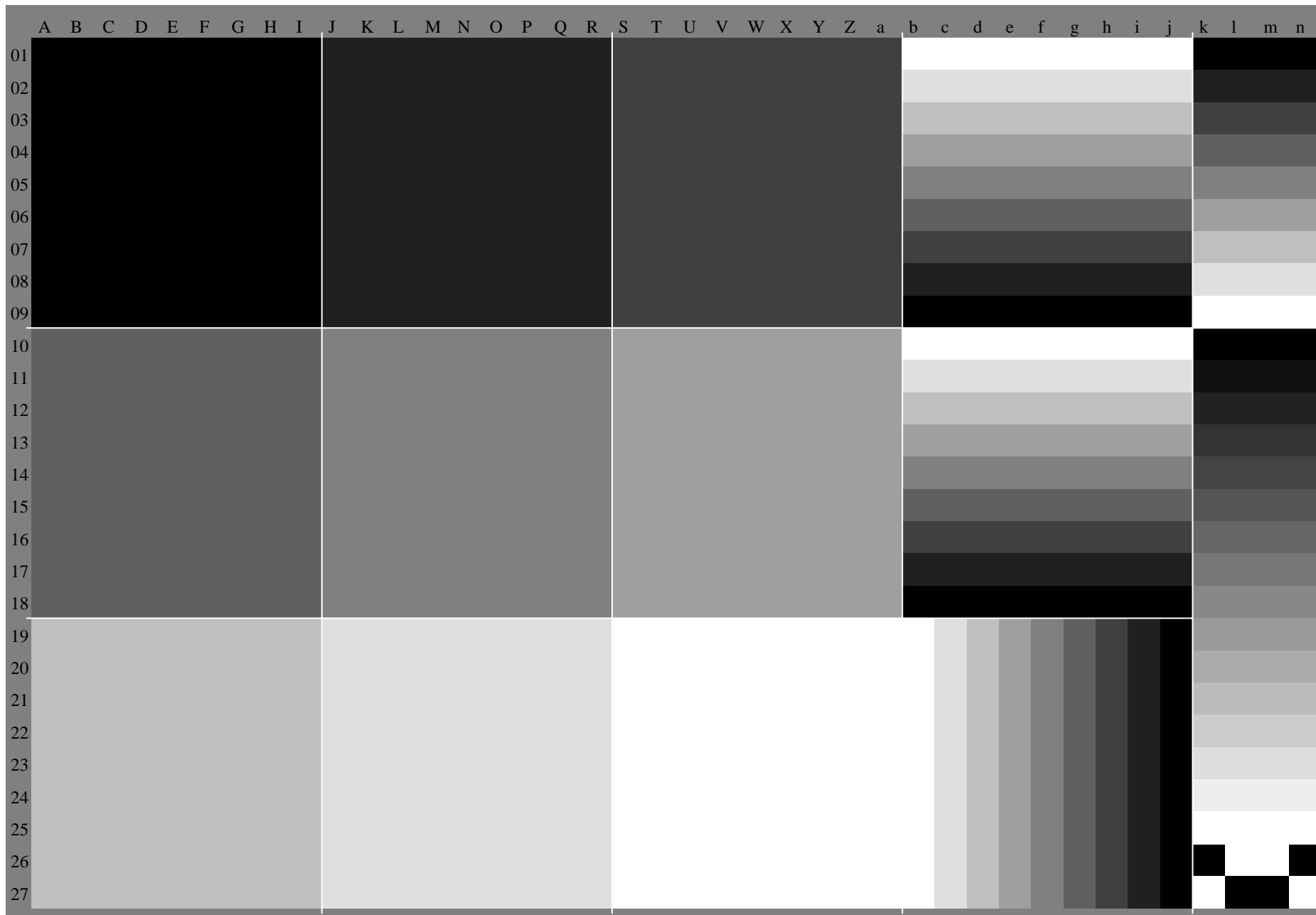
$g^*_{C,rel} = 40$

FRS15_90a; adaptierte CIELAB-Daten

	$L^*=L^*_a$	a^*_a	b^*_a	$C^*_{ab,a}$	$h^*_{ab,a}$
r00j	35.47	56.92	27.12	63.05	25
r25j	39.12	49.04	44.45	66.19	42
r50j	50.64	35.19	58.33	68.13	59
r75j	64.01	19.11	74.45	76.87	76
j00g	83.18	-3.93	97.56	97.64	92
j25g	66.73	-26.86	74.66	79.35	110
j50g	54.03	-43.42	57.07	71.71	127
j75g	44.73	-54.21	38.33	66.4	145
g00b	47.59	-44.11	14.14	46.33	162
g25b	49.97	-35.68	-6.03	36.19	190
g50b	51.85	-29.05	-21.88	36.38	217
g75b	46.92	-15.53	-32.37	35.92	244
b00r	37.91	1.15	-38.05	38.08	272
b25r	23.81	27.31	-46.96	54.33	300
b50r	29.52	62.07	-37.87	72.72	329
b75r	36.48	64.24	-3.31	64.33	357



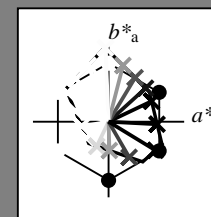
Siehe ähnliche Dateien: <http://www.ps.bam.de/Dg71/>; www.ps.bam.de/Dg.HTM
Technische Information: <http://www.ps.bam.de> Version 2.1, io=1,1, ColSpx=0



BAM-Registrierung: 20080701-Dg71/10L/L71G00NA.PS/.TXTBAM-Material: Code=rh4ta
Anwendung für Beurteilung und Messung von Drucker- oder Monitorsystemen

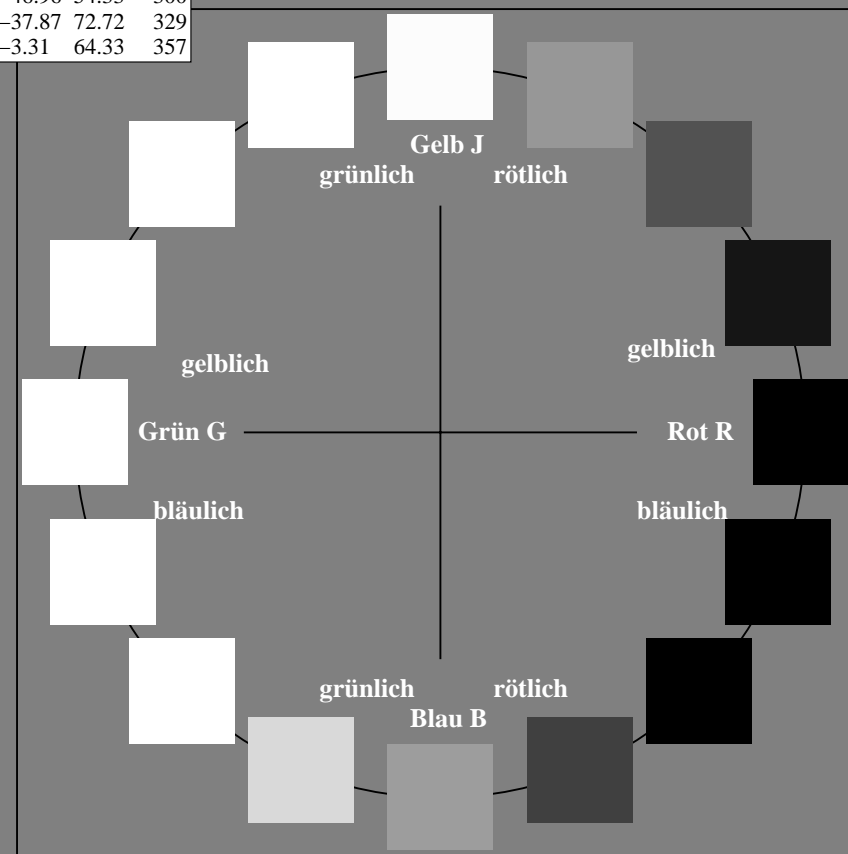
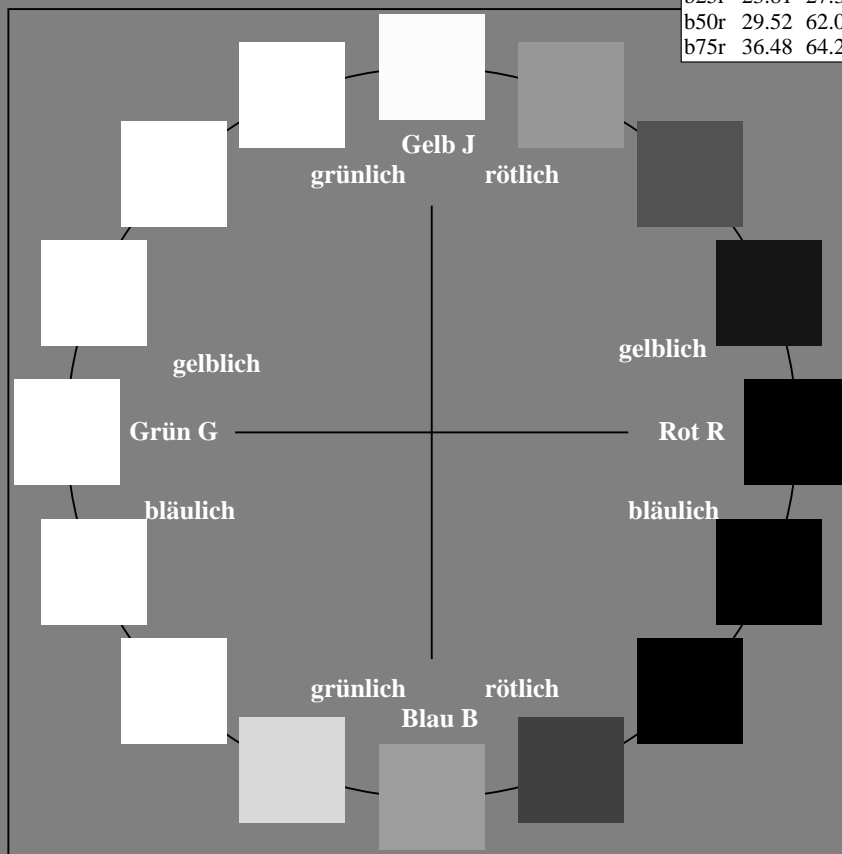
Ein und Ausgabe:
Farbmetrisches Drucker-Reflektiv-System FRS15_90a
Daten für jede Farbe:
*lab*_{ich}** und *lab*_{icu}**
Elementar-Bunttontext:
*u** = 16 Buntttöne *r00j*, *r25j*, ..., *b75r*
Kontrastreduzierungsfaktor:
c_R = 0.9

FRS15_90a; adaptierte CIELAB-Daten					
	<i>L*</i> = <i>L*</i> _a	<i>a*</i> _a	<i>b*</i> _a	<i>C*</i> _{ab,a}	<i>h*</i> _{ab,a}
r00j	35.47	56.92	27.12	63.05	25
r25j	39.12	49.04	44.45	66.19	42
r50j	50.64	35.19	58.33	68.13	59
r75j	64.01	19.11	74.45	76.87	76
j00g	83.18	-3.93	97.56	97.64	92
j25g	66.73	-26.86	74.66	79.35	110
j50g	54.03	-43.42	57.07	71.71	127
j75g	44.73	-54.21	38.33	66.4	145
g00b	47.59	-44.11	14.14	46.33	162
g25b	49.97	-35.68	-6.03	36.19	190
g50b	51.85	-29.05	-21.88	36.38	217
g75b	46.92	-15.53	-32.37	35.92	244
b00r	37.91	1.15	-38.05	38.08	272
b25r	23.81	27.31	-46.96	54.33	300
b50r	29.52	62.07	-37.87	72.72	329
b75r	36.48	64.24	-3.31	64.33	357



%Umfang
*u**_{rel} = 88
%Regularität
*g**_{H,rel} = 31
*g**_{C,rel} = 40

FRS15_90a; adaptierte CIELAB-Daten					
	<i>L*</i> = <i>L*</i> _a	<i>a*</i> _a	<i>b*</i> _a	<i>C*</i> _{ab,a}	<i>h*</i> _{ab,a}
OMa	35.06	53.93	39.55	66.88	36
YMa	83.77	-4.63	98.26	98.37	93
LMa	44.13	-56.32	43.36	71.09	142
CMa	52.66	-26.18	-28.74	38.89	228
VMa	14.15	45.22	-53.06	69.72	310
MMa	37.37	70.69	-30.1	76.83	337
NMa	15.0	0.0	0.0	0.0	0
WMa	90.0	0.0	0.0	0.0	0
RCIE	39.92	58.74	27.99	65.07	25
JCIE	81.26	-2.88	71.56	71.62	92
GCIE	52.23	-42.41	13.6	44.55	162
BCIE	30.57	1.41	-46.46	46.49	272



Ein und Ausgabe: Farbmetrisches Drucker-Reflektiv-System FRS15_90a für relativen CIELAB-Buntton $h^* = lab^*h^* = h_{ab}/360 = 25/360 = 0.071$

Daten für jede Farbe:

lab^*ch^* und lab^*icu^*

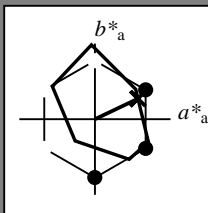
Elementar-Bunttoncontext:

$u^* = r00j$

Kontrastreduzierungsfaktor:

$c_R = 0.9$

Dreiecks-Helligkeit i^*



FRS15_90a; adaptierte CIELAB-Daten

	$L^*=L^*_a$	a^*_a	b^*_a	$C^*_{ab,a}$	$h^*_{ab,a}$
O _{Ma}	35.06	53.93	39.55	66.88	36
Y _{Ma}	83.77	-4.63	98.26	98.37	93
L _{Ma}	44.13	-56.32	43.36	71.09	142
C _{Ma}	52.66	-26.18	-28.74	38.89	228
V _{Ma}	14.15	45.22	-53.06	69.72	310
M _{Ma}	37.37	70.69	-30.1	76.83	337
N _{Ma}	15.0	0.0	0.0	0.0	0
W _{Ma}	90.0	0.0	0.0	0.0	0
R _{CIE}	39.92	58.74	27.99	65.07	25
J _{CIE}	81.26	-2.88	71.56	71.62	92
G _{CIE}	52.23	-42.41	13.6	44.55	162
B _{CIE}	30.57	1.41	-46.46	46.49	272

Daten für Maximalfarbe (Ma):

LAB^*LAB^*Ma : 35 57 27

LAB^*LCH^*Ma : 35 63 25

lab^*rgb^*Ma : 1.0 0.0 0.0

lab^*olv^*Ma : 1.0 0.0 0.18

Dreiecks-Helligkeit i^*

%Umfang

$u^*_{rel} = 88$

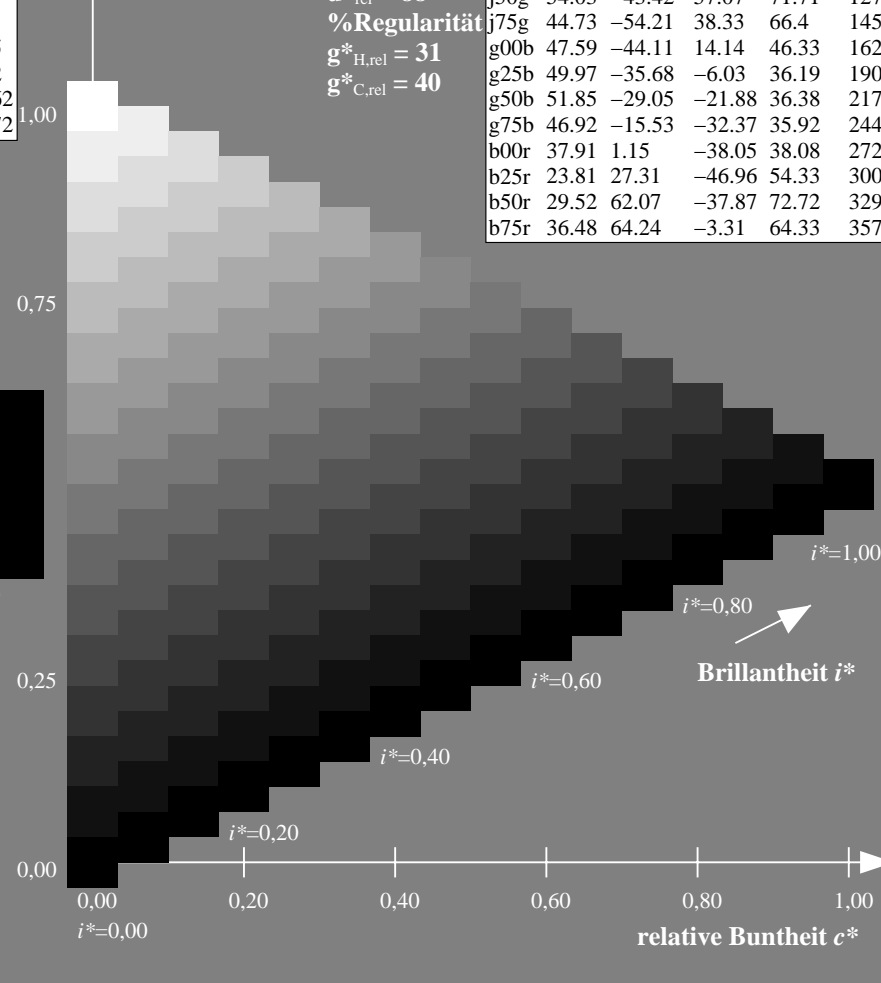
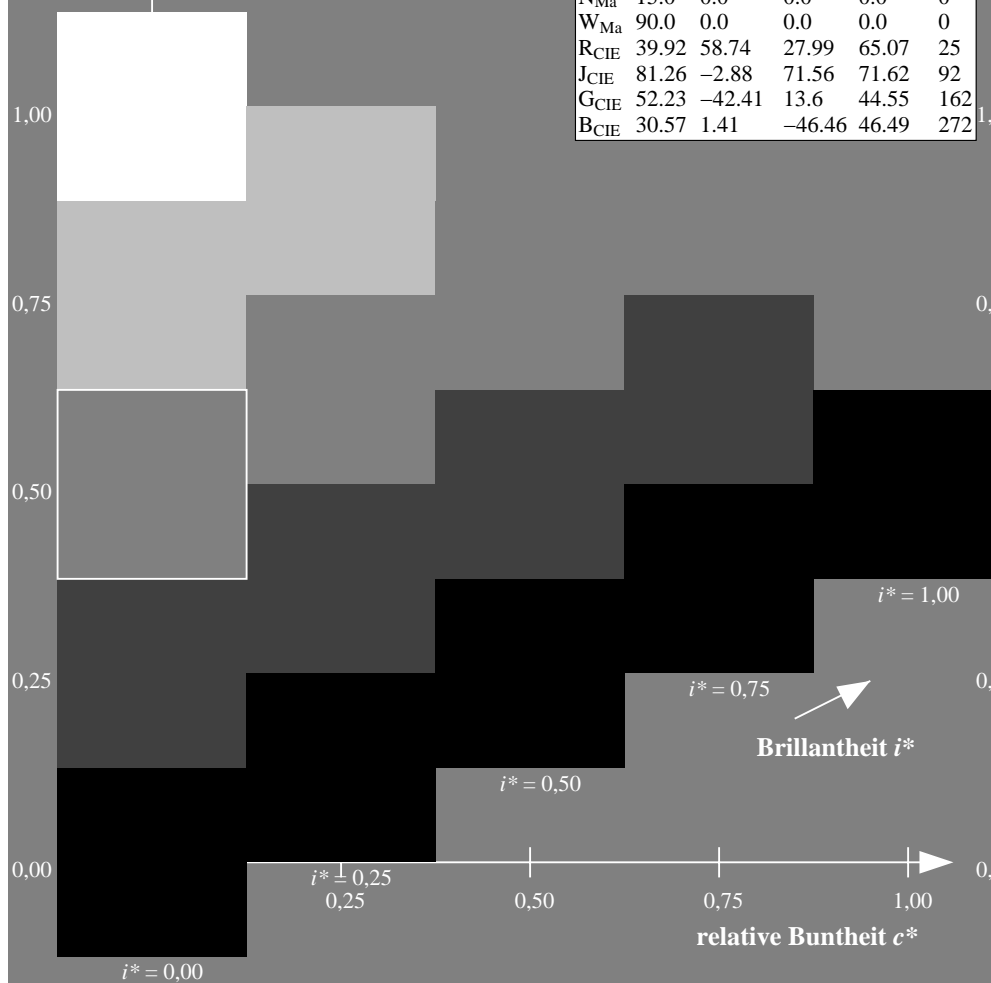
%Regularität

$g^*_{H,rel} = 31$

$g^*_{C,rel} = 40$

FRS15_90a; adaptierte CIELAB-Daten

	$L^*=L^*_a$	a^*_a	b^*_a	$C^*_{ab,a}$	$h^*_{ab,a}$
r00j	35.47	56.92	27.12	63.05	25
r25j	39.12	49.04	44.45	66.19	42
r50j	50.64	35.19	58.33	68.13	59
r75j	64.01	19.11	74.45	76.87	76
j00g	83.18	-3.93	97.56	97.64	92
j25g	66.73	-26.86	74.66	79.35	110
j50g	54.03	-43.42	57.07	71.71	127
j75g	44.73	-54.21	38.33	66.4	145
g00b	47.59	-44.11	14.14	46.33	162
g25b	49.97	-35.68	-6.03	36.19	190
g50b	51.85	-29.05	-21.88	36.38	217
g75b	46.92	-15.53	-32.37	35.92	244
b00r	37.91	1.15	-38.05	38.08	272
b25r	23.81	27.31	-46.96	54.33	300
b50r	29.52	62.07	-37.87	72.72	329
b75r	36.48	64.24	-3.31	64.33	357



Ein und Ausgabe: Farbmetrisches Drucker-Reflektiv-System FRS15_90a für relativen CIELAB-Buntton $h^* = lab^*h^* = h_{ab}/360 = 42/360 = 0.117$

Daten für jede Farbe:

lab^*ch^* und lab^*icu^*

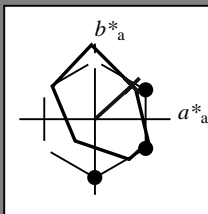
Elementar-Bunttoncontext:

$u^* = r25j$

Kontrastreduzierungsfaktor:

$c_R = 0.9$

Dreiecks-Helligkeit i^*



FRS15_90a; adaptierte CIELAB-Daten

	$L^*=L^*_a$	a^*_a	b^*_a	$C^*_{ab,a}$	$h^*_{ab,a}$
O _{Ma}	35.06	53.93	39.55	66.88	36
Y _{Ma}	83.77	-4.63	98.26	98.37	93
L _{Ma}	44.13	-56.32	43.36	71.09	142
C _{Ma}	52.66	-26.18	-28.74	38.89	228
V _{Ma}	14.15	45.22	-53.06	69.72	310
M _{Ma}	37.37	70.69	-30.1	76.83	337
N _{Ma}	15.0	0.0	0.0	0.0	0
W _{Ma}	90.0	0.0	0.0	0.0	0
R _{CIE}	39.92	58.74	27.99	65.07	25
J _{CIE}	81.26	-2.88	71.56	71.62	92
G _{CIE}	52.23	-42.41	13.6	44.55	162
B _{CIE}	30.57	1.41	-46.46	46.49	272

Daten für Maximalfarbe (Ma):

$LAB^*LAB^*_{Ma}$: 39 49 44

$LAB^*LCH^*_{Ma}$: 39 66 42

$lab^*rgb^*_{Ma}$: 1.0 0.25 0.0

$lab^*olv^*_{Ma}$: 1.0 0.08 0.0

Dreiecks-Helligkeit i^*

%Umfang

$u^*_{rel} = 88$

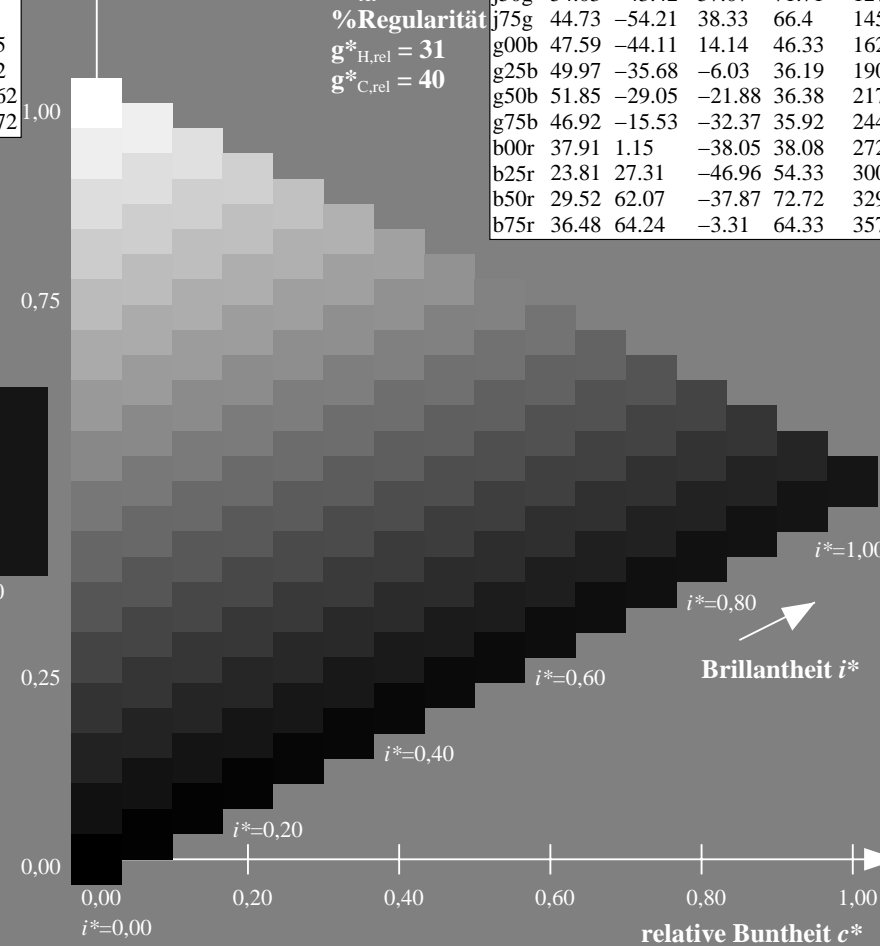
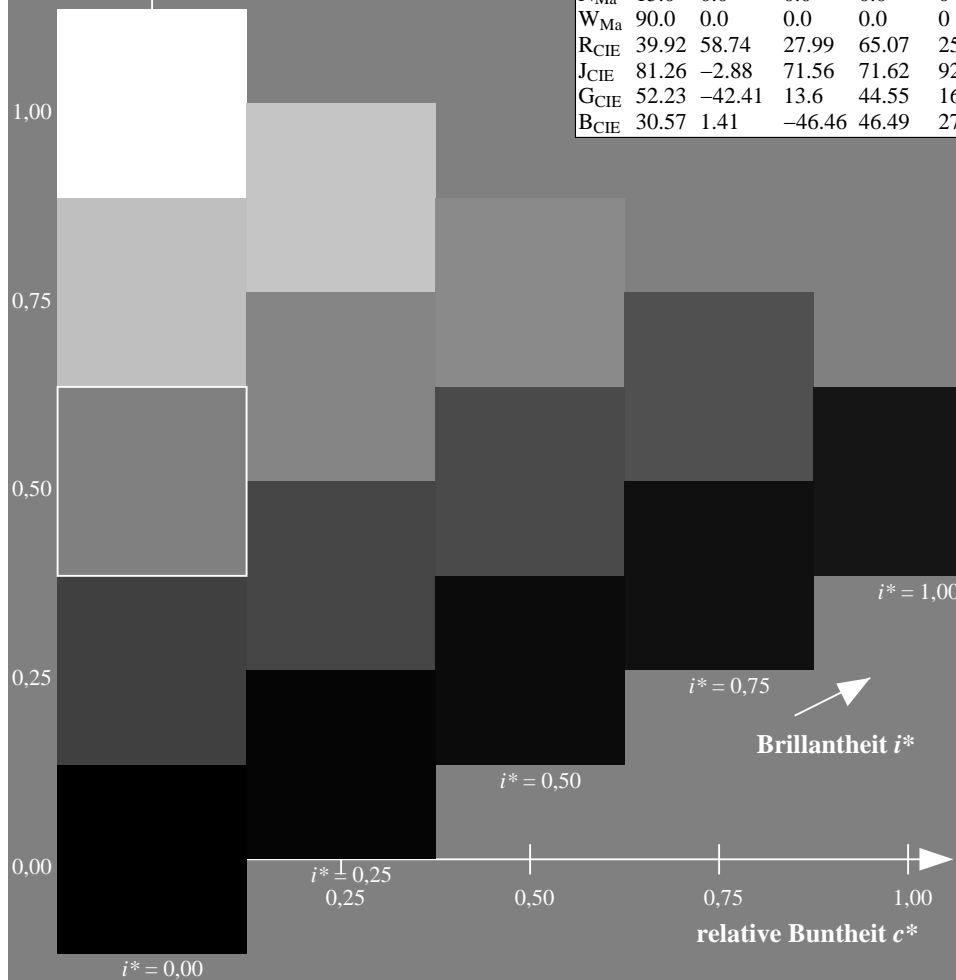
%Regularität

$g^*_{H,rel} = 31$

$g^*_{C,rel} = 40$

FRS15_90a; adaptierte CIELAB-Daten

	$L^*=L^*_a$	a^*_a	b^*_a	$C^*_{ab,a}$	$h^*_{ab,a}$
r00j	35.47	56.92	27.12	63.05	25
r25j	39.12	49.04	44.45	66.19	42
r50j	50.64	35.19	58.33	68.13	59
r75j	64.01	19.11	74.45	76.87	76
j00g	83.18	-3.93	97.56	97.64	92
j25g	66.73	-26.86	74.66	79.35	110
j50g	54.03	-43.42	57.07	71.71	127
j75g	44.73	-54.21	38.33	66.4	145
g00b	47.59	-44.11	14.14	46.33	162
g25b	49.97	-35.68	-6.03	36.19	190
g50b	51.85	-29.05	-21.88	36.38	217
g75b	46.92	-15.53	-32.37	35.92	244
b00r	37.91	1.15	-38.05	38.08	272
b25r	23.81	27.31	-46.96	54.33	300
b50r	29.52	62.07	-37.87	72.72	329
b75r	36.48	64.24	-3.31	64.33	357



Ein und Ausgabe: Farbmetrisches Drucker-Reflektiv-System FRS15_90a für relativen CIELAB-Buntton $h^* = lab^*h^* = h_{ab}/360 = 59/360 = 0.164$

Daten für jede Farbe:

lab^*ch^* und lab^*icu^*

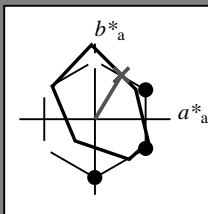
Elementar-Bunttontext:

$u^* = r50j$

Kontrastreduzierungsfaktor:

$c_R = 0.9$

Dreiecks-Helligkeit i^*



FRS15_90a; adaptierte CIELAB-Daten

	$L^*=L_a^*$	a_a^*	b_a^*	$C_{ab,a}^*$	$h_{ab,a}^*$
O _{Ma}	35.06	53.93	39.55	66.88	36
Y _{Ma}	83.77	-4.63	98.26	98.37	93
L _{Ma}	44.13	-56.32	43.36	71.09	142
C _{Ma}	52.66	-26.18	-28.74	38.89	228
V _{Ma}	14.15	45.22	-53.06	69.72	310
M _{Ma}	37.37	70.69	-30.1	76.83	337
N _{Ma}	15.0	0.0	0.0	0.0	0
W _{Ma}	90.0	0.0	0.0	0.0	0
R _{CIE}	39.92	58.74	27.99	65.07	25
J _{CIE}	81.26	-2.88	71.56	71.62	92
G _{CIE}	52.23	-42.41	13.6	44.55	162
B _{CIE}	30.57	1.41	-46.46	46.49	272

Daten für Maximalfarbe (Ma):

LAB^*LAB^*Ma : 51 35 58

LAB^*LCH^*Ma : 51 68 59

lab^*rgb^*Ma : 1.0 0.5 0.0

lab^*olv^*Ma : 1.0 0.32 0.0

Dreiecks-Helligkeit i^*

%Umfang

$u^*_{rel} = 88$

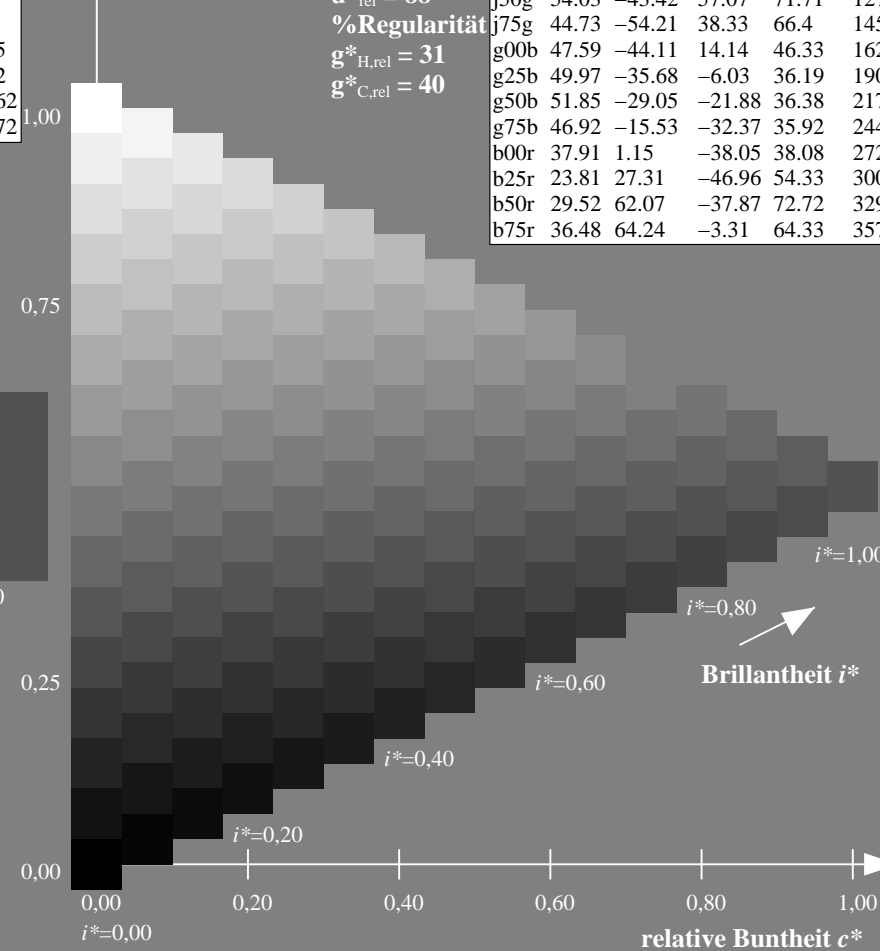
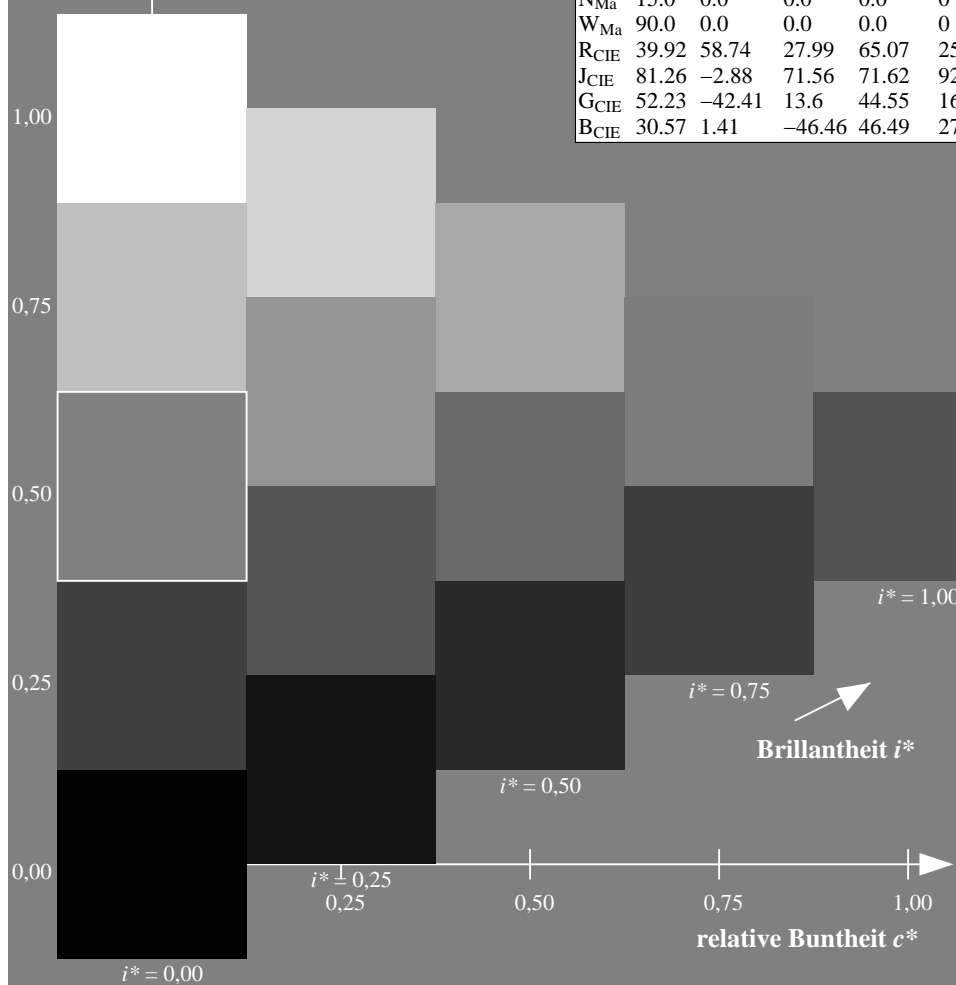
%Regularität

$g^*_{H,rel} = 31$

$g^*_{C,rel} = 40$

FRS15_90a; adaptierte CIELAB-Daten

	$L^*=L_a^*$	a_a^*	b_a^*	$C_{ab,a}^*$	$h_{ab,a}^*$
r00j	35.47	56.92	27.12	63.05	25
r25j	39.12	49.04	44.45	66.19	42
r50j	50.64	35.19	58.33	68.13	59
r75j	64.01	19.11	74.45	76.87	76
j00g	83.18	-3.93	97.56	97.64	92
j25g	66.73	-26.86	74.66	79.35	110
j50g	54.03	-43.42	57.07	71.71	127
j75g	44.73	-54.21	38.33	66.4	145
g00b	47.59	-44.11	14.14	46.33	162
g25b	49.97	-35.68	-6.03	36.19	190
g50b	51.85	-29.05	-21.88	36.38	217
g75b	46.92	-15.53	-32.37	35.92	244
b00r	37.91	1.15	-38.05	38.08	272
b25r	23.81	27.31	-46.96	54.33	300
b50r	29.52	62.07	-37.87	72.72	329
b75r	36.48	64.24	-3.31	64.33	357



Ein und Ausgabe: Farbmetrisches Drucker-Reflektiv-System FRS15_90a für relativen CIELAB-Buntton $h^* = lab^*h^* = h_{ab}/360 = 76/360 = 0.21$

Daten für jede Farbe:

lab^*tch^* und lab^*icu^*

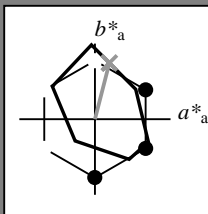
Elementar-Bunttontext:

$u^* = r75j$

Kontrastreduzierungsfaktor:

$c_R = 0.9$

Dreiecks-Helligkeit i^*



FRS15_90a; adaptierte CIELAB-Daten

	$L^*=L_a^*$	a_a^*	b_a^*	$C_{ab,a}^*$	$h_{ab,a}^*$
O _{Ma}	35.06	53.93	39.55	66.88	36
Y _{Ma}	83.77	-4.63	98.26	98.37	93
L _{Ma}	44.13	-56.32	43.36	71.09	142
C _{Ma}	52.66	-26.18	-28.74	38.89	228
V _{Ma}	14.15	45.22	-53.06	69.72	310
M _{Ma}	37.37	70.69	-30.1	76.83	337
N _{Ma}	15.0	0.0	0.0	0.0	0
W _{Ma}	90.0	0.0	0.0	0.0	0
R _{CIE}	39.92	58.74	27.99	65.07	25
J _{CIE}	81.26	-2.88	71.56	71.62	92
G _{CIE}	52.23	-42.41	13.6	44.55	162
B _{CIE}	30.57	1.41	-46.46	46.49	272

Daten für Maximalfarbe (Ma):

$LAB^*LAB^*_{Ma}$: 64 19 74

$LAB^*LCH^*_{Ma}$: 64 77 76

$lab^*rgb^*_{Ma}$: 1.0 0.75 0.0

$lab^*olv^*_{Ma}$: 1.0 0.59 0.0

Dreiecks-Helligkeit i^*

%Umfang

$u^*_{rel} = 88$

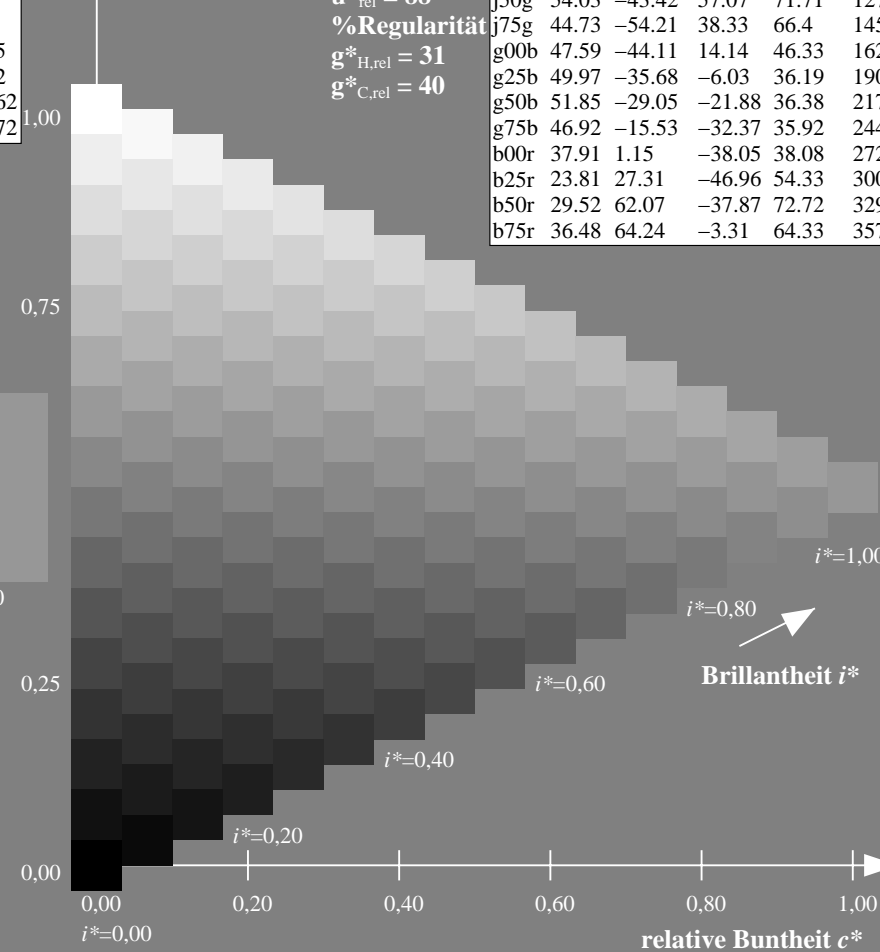
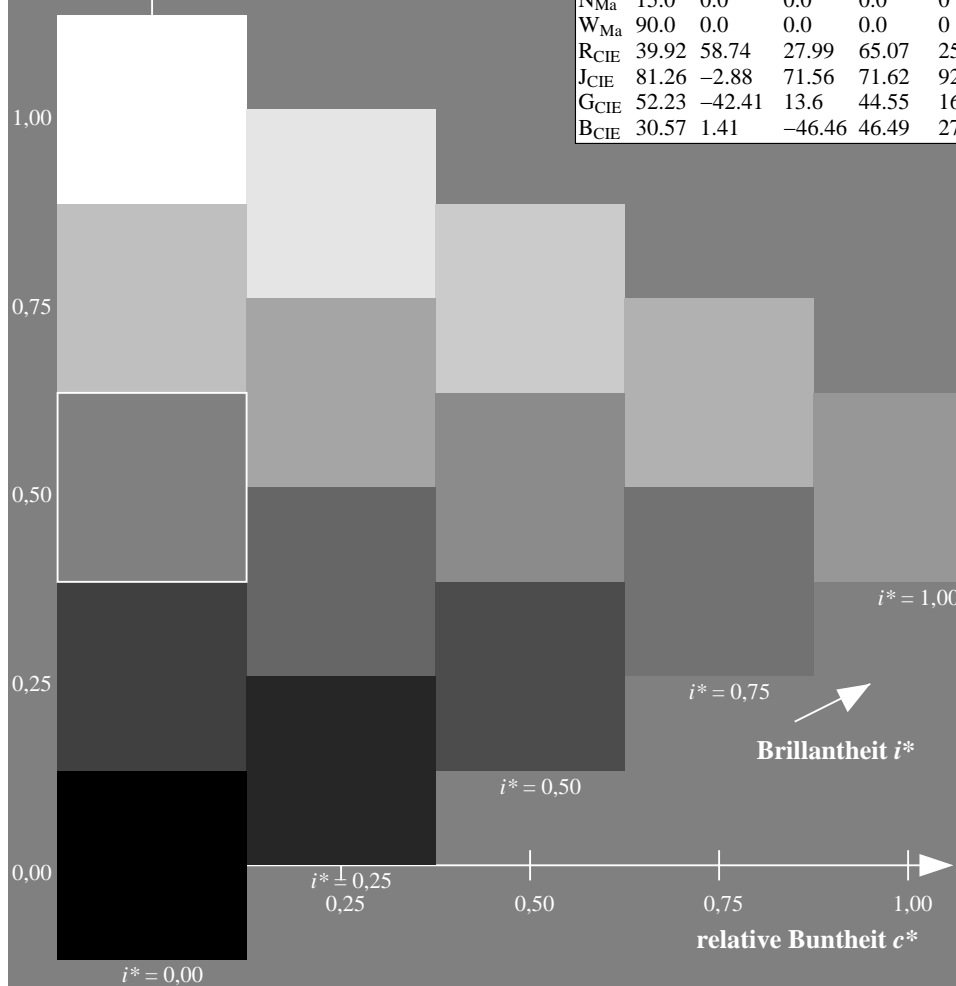
%Regularität

$g^*_{H,rel} = 31$

$g^*_{C,rel} = 40$

FRS15_90a; adaptierte CIELAB-Daten

	$L^*=L_a^*$	a_a^*	b_a^*	$C_{ab,a}^*$	$h_{ab,a}^*$
r00j	35.47	56.92	27.12	63.05	25
r25j	39.12	49.04	44.45	66.19	42
r50j	50.64	35.19	58.33	68.13	59
r75j	64.01	19.11	74.45	76.87	76
j00g	83.18	-3.93	97.56	97.64	92
j25g	66.73	-26.86	74.66	79.35	110
j50g	54.03	-43.42	57.07	71.71	127
j75g	44.73	-54.21	38.33	66.4	145
g00b	47.59	-44.11	14.14	46.33	162
g25b	49.97	-35.68	-6.03	36.19	190
g50b	51.85	-29.05	-21.88	36.38	217
g75b	46.92	-15.53	-32.37	35.92	244
b00r	37.91	1.15	-38.05	38.08	272
b25r	23.81	27.31	-46.96	54.33	300
b50r	29.52	62.07	-37.87	72.72	329
b75r	36.48	64.24	-3.31	64.33	357



Ein und Ausgabe: Farbmetrisches Drucker-Reflektiv-System FRS15_90a für relativen CIELAB-Buntton $h^* = lab^*h^* = h_{ab}/360 = 92/360 = 0.256$

Daten für jede Farbe:

lab^*ch^* und lab^*icu^*

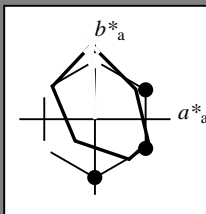
Elementar-Bunttonext:

$u^* = j00g$

Kontrastreduzierungsfaktor:

$c_R = 0.9$

Dreiecks-Helligkeit i^*



FRS15_90a; adaptierte CIELAB-Daten					
	$L^*=L^*_a$	a^*_a	b^*_a	$C^*_{ab,a}$	$h^*_{ab,a}$
O _{Ma}	35.06	53.93	39.55	66.88	36
Y _{Ma}	83.77	-4.63	98.26	98.37	93
L _{Ma}	44.13	-56.32	43.36	71.09	142
C _{Ma}	52.66	-26.18	-28.74	38.89	228
V _{Ma}	14.15	45.22	-53.06	69.72	310
M _{Ma}	37.37	70.69	-30.1	76.83	337
N _{Ma}	15.0	0.0	0.0	0.0	0
W _{Ma}	90.0	0.0	0.0	0.0	0
R _{CIE}	39.92	58.74	27.99	65.07	25
J _{CIE}	81.26	-2.88	71.56	71.62	92
G _{CIE}	52.23	-42.41	13.6	44.55	162
B _{CIE}	30.57	1.41	-46.46	46.49	272

Daten für Maximalfarbe (Ma):

$LAB^*LAB^*_{Ma}$: 83 -3 98

$LAB^*LCH^*_{Ma}$: 83 98 92

$lab^*rgb^*_{Ma}$: 1.0 1.0 0.0

$lab^*olv^*_{Ma}$: 1.0 0.99 0.0

Dreiecks-Helligkeit i^*

%Umfang

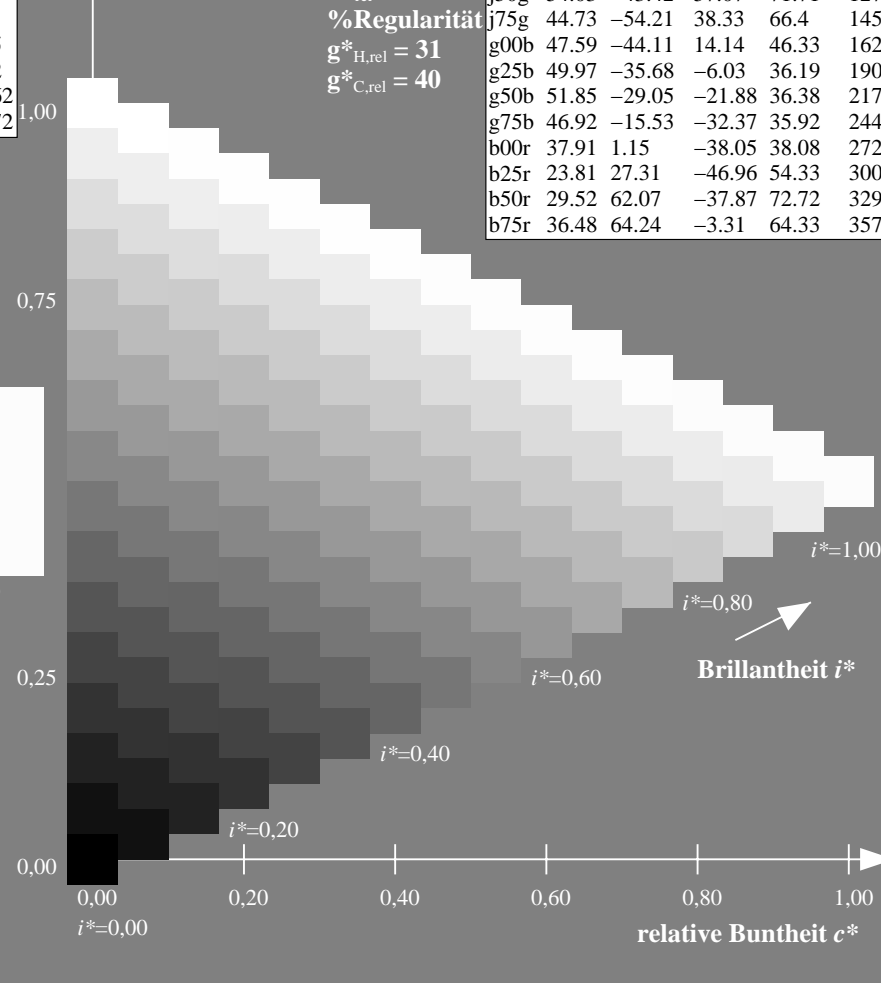
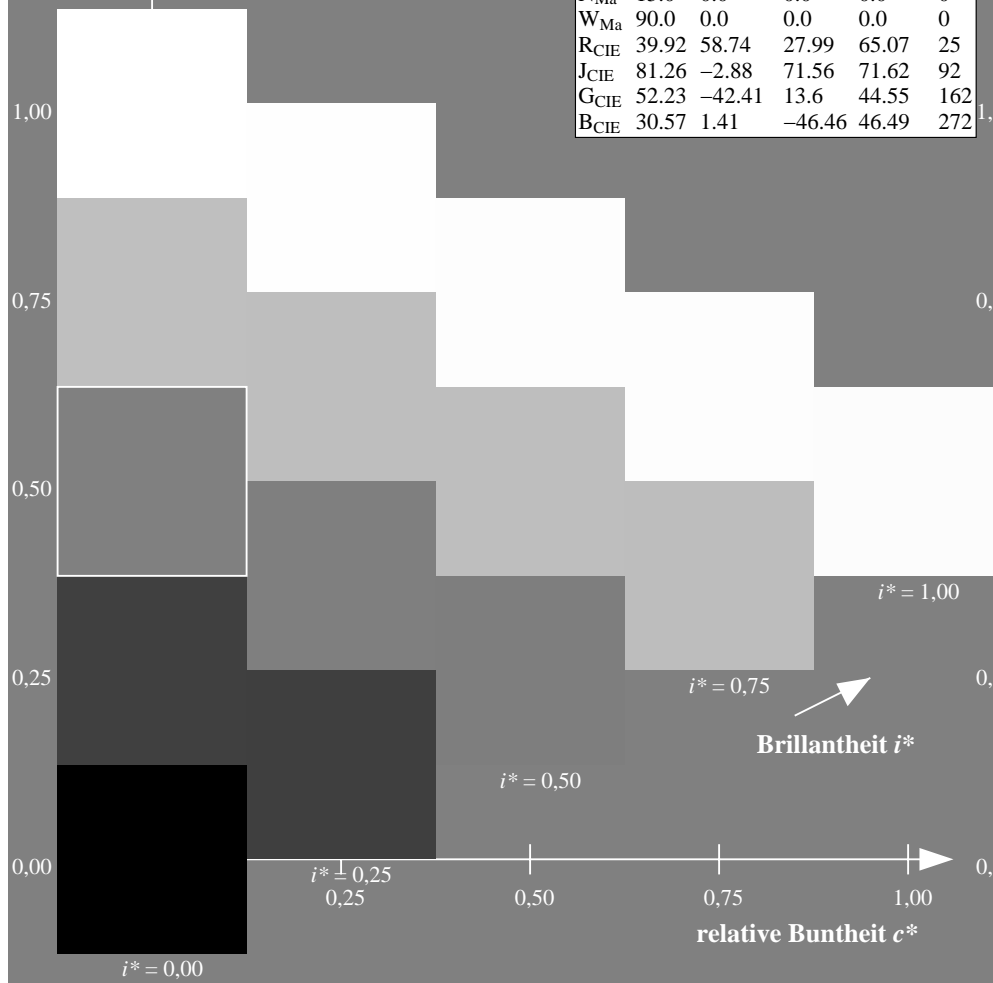
$u^*_{rel} = 88$

%Regularität

$g^*_{H,rel} = 31$

$g^*_{C,rel} = 40$

FRS15_90a; adaptierte CIELAB-Daten					
	$L^*=L^*_a$	a^*_a	b^*_a	$C^*_{ab,a}$	$h^*_{ab,a}$
r00j	35.47	56.92	27.12	63.05	25
r25j	39.12	49.04	44.45	66.19	42
r50j	50.64	35.19	58.33	68.13	59
r75j	64.01	19.11	74.45	76.87	76
j00g	83.18	-3.93	97.56	97.64	92
j25g	66.73	-26.86	74.66	79.35	110
j50g	54.03	-43.42	57.07	71.71	127
j75g	44.73	-54.21	38.33	66.4	145
g00b	47.59	-44.11	14.14	46.33	162
g25b	49.97	-35.68	-6.03	36.19	190
g50b	51.85	-29.05	-21.88	36.38	217
g75b	46.92	-15.53	-32.37	35.92	244
b00r	37.91	1.15	-38.05	38.08	272
b25r	23.81	27.31	-46.96	54.33	300
b50r	29.52	62.07	-37.87	72.72	329
b75r	36.48	64.24	-3.31	64.33	357



Ein und Ausgabe: Farbmetrisches Drucker-Reflektiv-System FRS15_90a für relativen CIELAB-Buntton $h^* = lab^*h^* = h_{ab}/360 = 110/360 = 0.305$

Daten für jede Farbe:

lab^*ch^* und lab^*icu^*

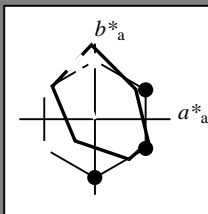
Elementar-Bunttontext:

$u^* = j25g$

Kontrastreduzierungsfaktor:

$c_R = 0.9$

Dreiecks-Helligkeit i^*



FRS15_90a; adaptierte CIELAB-Daten

	$L^*=L^*_a$	a^*_a	b^*_a	$C^*_{ab,a}$	$h^*_{ab,a}$
O _{Ma}	35.06	53.93	39.55	66.88	36
Y _{Ma}	83.77	-4.63	98.26	98.37	93
L _{Ma}	44.13	-56.32	43.36	71.09	142
C _{Ma}	52.66	-26.18	-28.74	38.89	228
V _{Ma}	14.15	45.22	-53.06	69.72	310
M _{Ma}	37.37	70.69	-30.1	76.83	337
N _{Ma}	15.0	0.0	0.0	0.0	0
W _{Ma}	90.0	0.0	0.0	0.0	0
R _{CIE}	39.92	58.74	27.99	65.07	25
J _{CIE}	81.26	-2.88	71.56	71.62	92
G _{CIE}	52.23	-42.41	13.6	44.55	162
B _{CIE}	30.57	1.41	-46.46	46.49	272

Daten für Maximalfarbe (Ma):

$LAB^*LAB^*_{Ma}$: 67 -26 75

$LAB^*LCH^*_{Ma}$: 67 79 110

$lab^*rgb^*_{Ma}$: 0.75 1.0 0.0

$lab^*olv^*_{Ma}$: 0.57 1.0 0.0

Dreiecks-Helligkeit i^*

%Umfang

$u^*_{rel} = 88$

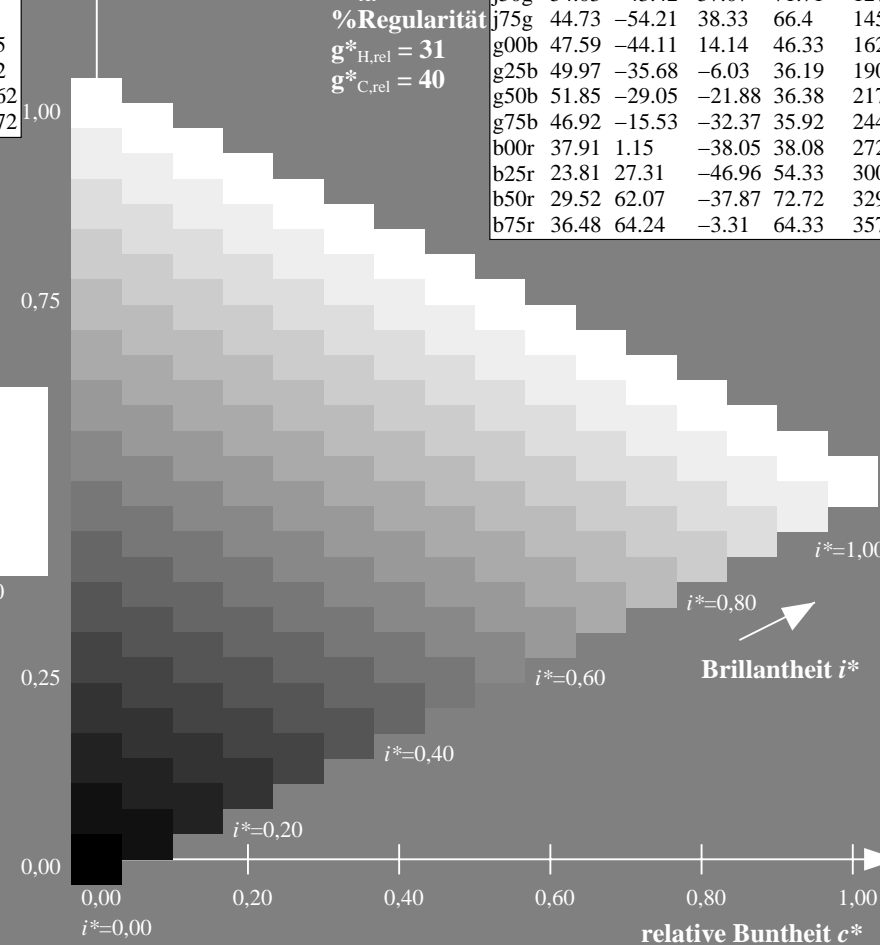
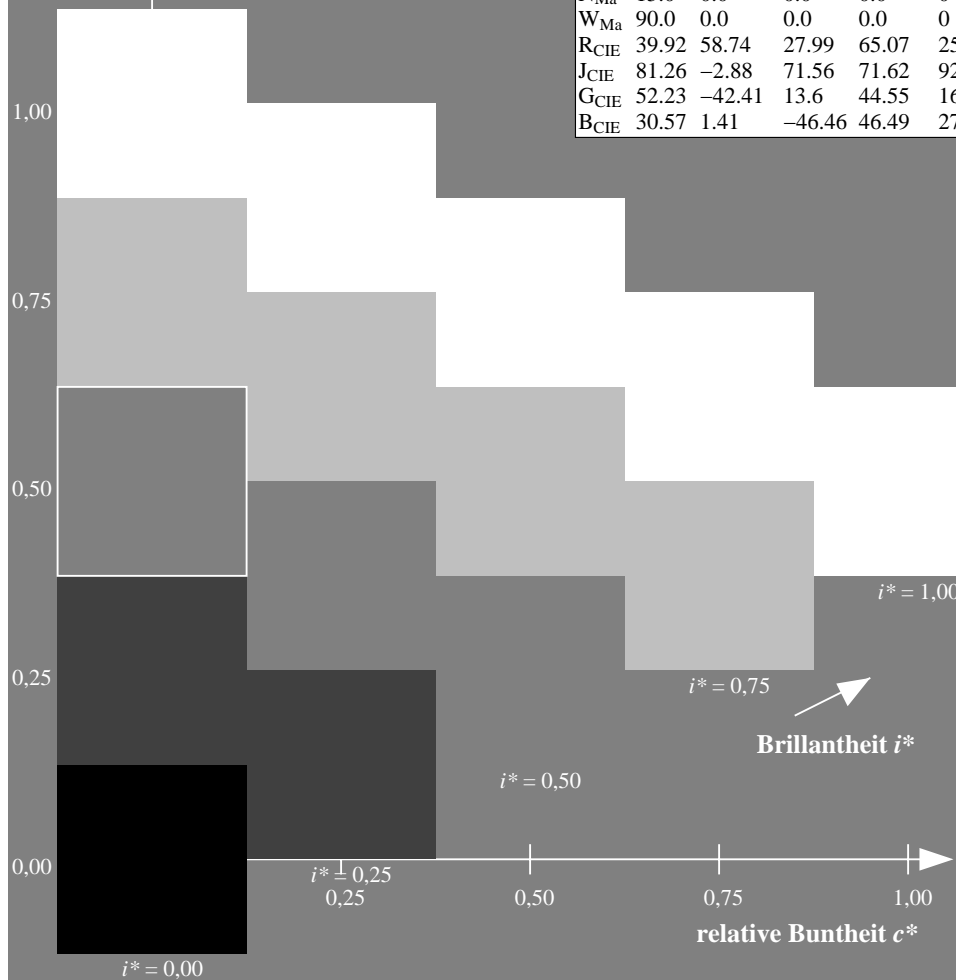
%Regularität

$g^*_{H,rel} = 31$

$g^*_{C,rel} = 40$

FRS15_90a; adaptierte CIELAB-Daten

	$L^*=L^*_a$	a^*_a	b^*_a	$C^*_{ab,a}$	$h^*_{ab,a}$
r00j	35.47	56.92	27.12	63.05	25
r25j	39.12	49.04	44.45	66.19	42
r50j	50.64	35.19	58.33	68.13	59
r75j	64.01	19.11	74.45	76.87	76
j00g	83.18	-3.93	97.56	97.64	92
j25g	66.73	-26.86	74.66	79.35	110
j50g	54.03	-43.42	57.07	71.71	127
j75g	44.73	-54.21	38.33	66.4	145
g00b	47.59	-44.11	14.14	46.33	162
g25b	49.97	-35.68	-6.03	36.19	190
g50b	51.85	-29.05	-21.88	36.38	217
g75b	46.92	-15.53	-32.37	35.92	244
b00r	37.91	1.15	-38.05	38.08	272
b25r	23.81	27.31	-46.96	54.33	300
b50r	29.52	62.07	-37.87	72.72	329
b75r	36.48	64.24	-3.31	64.33	357



Ein und Ausgabe: Farbmetrisches Drucker-Reflektiv-System FRS15_90a für relativen CIELAB-Buntton $h^* = lab^*h^* = h_{ab}/360 = 127/360 = 0.354$

Daten für jede Farbe:

lab^*ch^* und lab^*icu^*

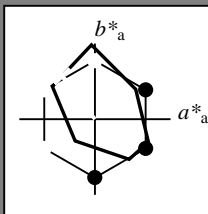
Elementar-Bunttonext:

$u^* = j50g$

Kontrastreduzierungsfaktor:

$c_R = 0.9$

Dreiecks-Helligkeit i^*



FRS15_90a; adaptierte CIELAB-Daten

	$L^*=L^*_a$	a^*_a	b^*_a	$C^*_{ab,a}$	$h^*_{ab,a}$
O _{Ma}	35.06	53.93	39.55	66.88	36
Y _{Ma}	83.77	-4.63	98.26	98.37	93
L _{Ma}	44.13	-56.32	43.36	71.09	142
C _{Ma}	52.66	-26.18	-28.74	38.89	228
V _{Ma}	14.15	45.22	-53.06	69.72	310
M _{Ma}	37.37	70.69	-30.1	76.83	337
N _{Ma}	15.0	0.0	0.0	0.0	0
W _{Ma}	90.0	0.0	0.0	0.0	0
R _{CIE}	39.92	58.74	27.99	65.07	25
J _{CIE}	81.26	-2.88	71.56	71.62	92
G _{CIE}	52.23	-42.41	13.6	44.55	162
B _{CIE}	30.57	1.41	-46.46	46.49	272

Daten für Maximalfarbe (Ma):

$LAB^*LAB^*_{Ma}$: 54 -42 57

$LAB^*LCH^*_{Ma}$: 54 72 127

$lab^*rgb^*_{Ma}$: 0.5 1.0 0.0

$lab^*olv^*_{Ma}$: 0.25 1.0 0.0

Dreiecks-Helligkeit i^*

%Umfang

$u^*_{rel} = 88$

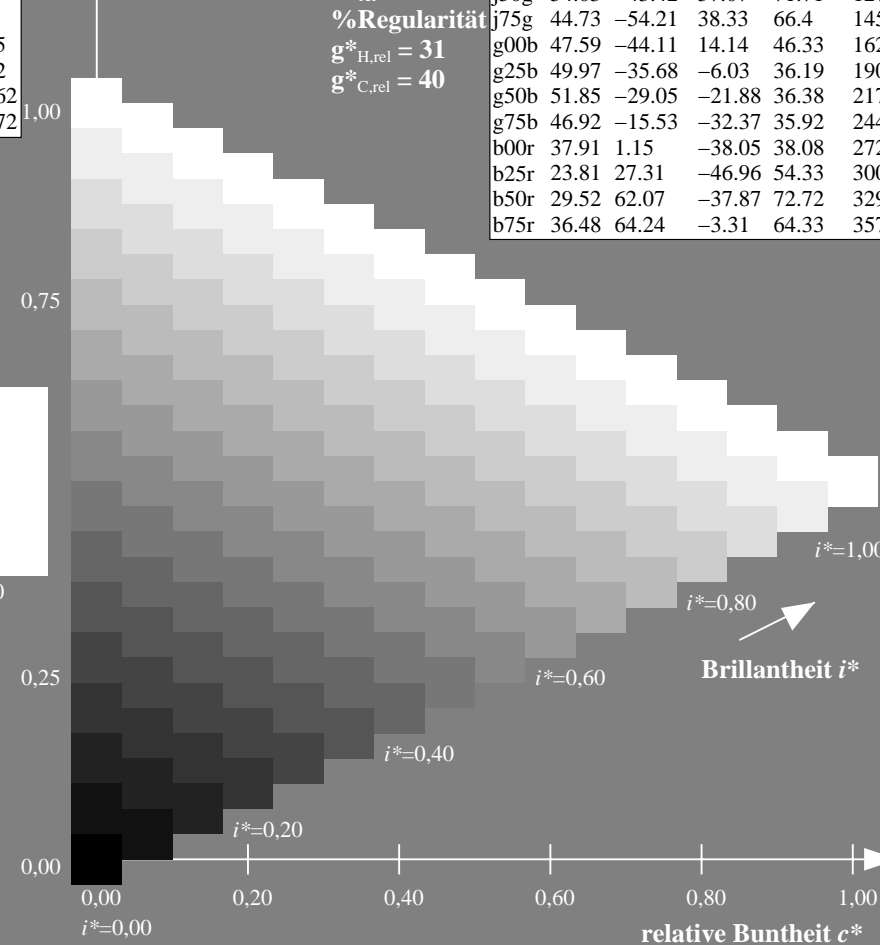
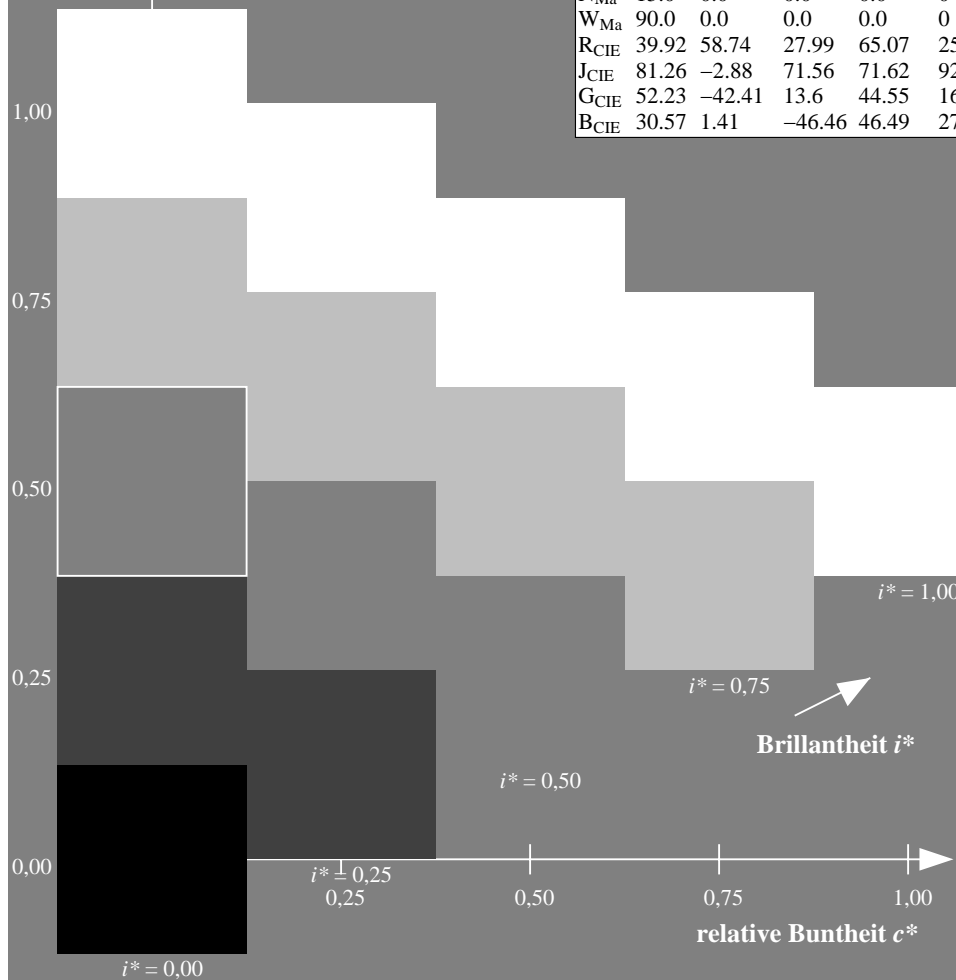
%Regularität

$g^*_{H,rel} = 31$

$g^*_{C,rel} = 40$

FRS15_90a; adaptierte CIELAB-Daten

	$L^*=L^*_a$	a^*_a	b^*_a	$C^*_{ab,a}$	$h^*_{ab,a}$
r00j	35.47	56.92	27.12	63.05	25
r25j	39.12	49.04	44.45	66.19	42
r50j	50.64	35.19	58.33	68.13	59
r75j	64.01	19.11	74.45	76.87	76
j00g	83.18	-3.93	97.56	97.64	92
j25g	66.73	-26.86	74.66	79.35	110
j50g	54.03	-43.42	57.07	71.71	127
j75g	44.73	-54.21	38.33	66.4	145
g00b	47.59	-44.11	14.14	46.33	162
g25b	49.97	-35.68	-6.03	36.19	190
g50b	51.85	-29.05	-21.88	36.38	217
g75b	46.92	-15.53	-32.37	35.92	244
b00r	37.91	1.15	-38.05	38.08	272
b25r	23.81	27.31	-46.96	54.33	300
b50r	29.52	62.07	-37.87	72.72	329
b75r	36.48	64.24	-3.31	64.33	357



Ein und Ausgabe: Farbmetrisches Drucker-Reflektiv-System FRS15_90a für relativen CIELAB-Buntton $h^* = lab^*h^* = h_{ab}/360 = 145/360 = 0.402$

Daten für jede Farbe:

lab^*ch^* und lab^*icu^*

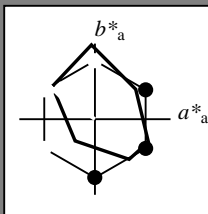
Elementar-Bunttonext:

$u^* = j75g$

Kontrastreduzierungsfaktor:

$c_R = 0.9$

Dreiecks-Helligkeit i^*



FRS15_90a; adaptierte CIELAB-Daten

	$L^*=L_a^*$	a_a^*	b_a^*	$C^*_{ab,a}$	$h^*_{ab,a}$
O _{Ma}	35.06	53.93	39.55	66.88	36
Y _{Ma}	83.77	-4.63	98.26	98.37	93
L _{Ma}	44.13	-56.32	43.36	71.09	142
C _{Ma}	52.66	-26.18	-28.74	38.89	228
V _{Ma}	14.15	45.22	-53.06	69.72	310
M _{Ma}	37.37	70.69	-30.1	76.83	337
N _{Ma}	15.0	0.0	0.0	0.0	0
W _{Ma}	90.0	0.0	0.0	0.0	0
R _{CIE}	39.92	58.74	27.99	65.07	25
J _{CIE}	81.26	-2.88	71.56	71.62	92
G _{CIE}	52.23	-42.41	13.6	44.55	162
B _{CIE}	30.57	1.41	-46.46	46.49	272

Daten für Maximalfarbe (Ma):

$LAB^*LAB^*_{Ma}$: 45 -53 38

$LAB^*LCH^*_{Ma}$: 45 66 145

$lab^*rgb^*_{Ma}$: 0.25 1.0 0.0

$lab^*olv^*_{Ma}$: 0.0 1.0 0.07

Dreiecks-Helligkeit i^*

%Umfang

$u^*_{rel} = 88$

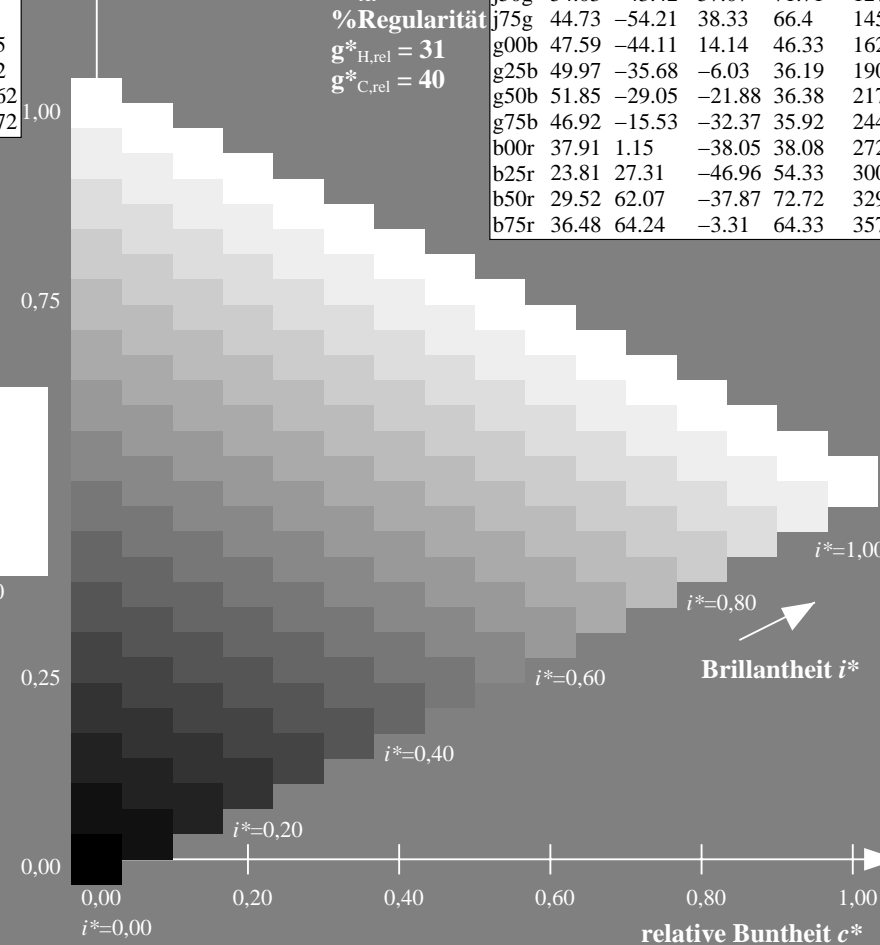
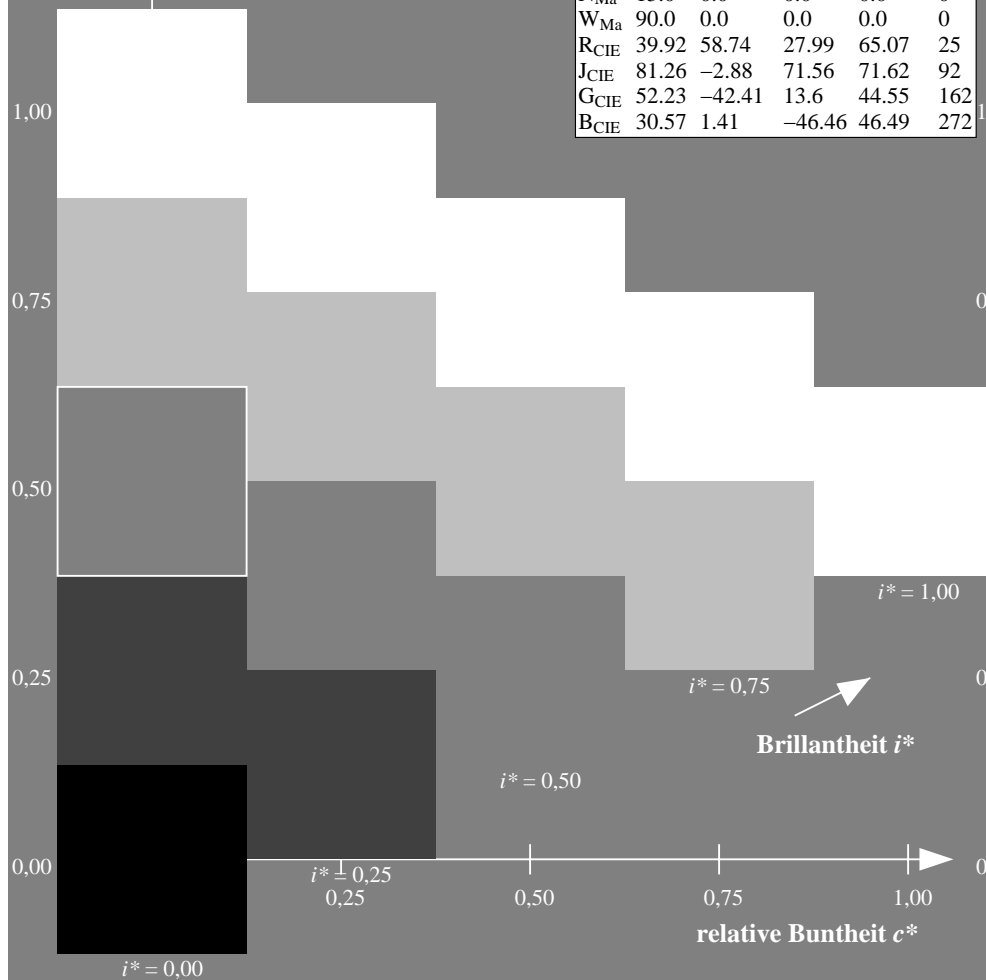
%Regularität

$g^*_{H,rel} = 31$

$g^*_{C,rel} = 40$

FRS15_90a; adaptierte CIELAB-Daten

	$L^*=L_a^*$	a_a^*	b_a^*	$C^*_{ab,a}$	$h^*_{ab,a}$
r00j	35.47	56.92	27.12	63.05	25
r25j	39.12	49.04	44.45	66.19	42
r50j	50.64	35.19	58.33	68.13	59
r75j	64.01	19.11	74.45	76.87	76
j00g	83.18	-3.93	97.56	97.64	92
j25g	66.73	-26.86	74.66	79.35	110
j50g	54.03	-43.42	57.07	71.71	127
j75g	44.73	-54.21	38.33	66.4	145
g00b	47.59	-44.11	14.14	46.33	162
g25b	49.97	-35.68	-6.03	36.19	190
g50b	51.85	-29.05	-21.88	36.38	217
g75b	46.92	-15.53	-32.37	35.92	244
b00r	37.91	1.15	-38.05	38.08	272
b25r	23.81	27.31	-46.96	54.33	300
b50r	29.52	62.07	-37.87	72.72	329
b75r	36.48	64.24	-3.31	64.33	357



Ein und Ausgabe: Farbmetrisches Drucker-Reflektiv-System FRS15_90a für relativen CIELAB-Buntton $h^* = lab^*h^* = h_{ab}/360 = 162/360 = 0.451$

Daten für jede Farbe:

lab^*ch^* und lab^*icu^*

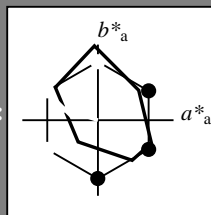
Elementar-Bunttontext:

$u^* = g00b$

Kontrastreduzierungsfaktor:

$c_R = 0.9$

Dreiecks-Helligkeit i^*



FRS15_90a; adaptierte CIELAB-Daten

	$L^*=L_a^*$	a_a^*	b_a^*	$C_{ab,a}^*$	$h_{ab,a}^*$
O _{Ma}	35.06	53.93	39.55	66.88	36
Y _{Ma}	83.77	-4.63	98.26	98.37	93
L _{Ma}	44.13	-56.32	43.36	71.09	142
C _{Ma}	52.66	-26.18	-28.74	38.89	228
V _{Ma}	14.15	45.22	-53.06	69.72	310
M _{Ma}	37.37	70.69	-30.1	76.83	337
N _{Ma}	15.0	0.0	0.0	0.0	0
W _{Ma}	90.0	0.0	0.0	0.0	0
R _{CIE}	39.92	58.74	27.99	65.07	25
J _{CIE}	81.26	-2.88	71.56	71.62	92
G _{CIE}	52.23	-42.41	13.6	44.55	162
B _{CIE}	30.57	1.41	-46.46	46.49	272

Daten für Maximalfarbe (Ma):

$LAB^*LAB^*_{Ma}$: 48 -43 14

$LAB^*LCH^*_{Ma}$: 48 46 162

$lab^*rgb^*_{Ma}$: 0.0 1.0 0.0

$lab^*olv^*_{Ma}$: 0.0 1.0 0.41

Dreiecks-Helligkeit i^*

%Umfang

$u^*_{rel} = 88$

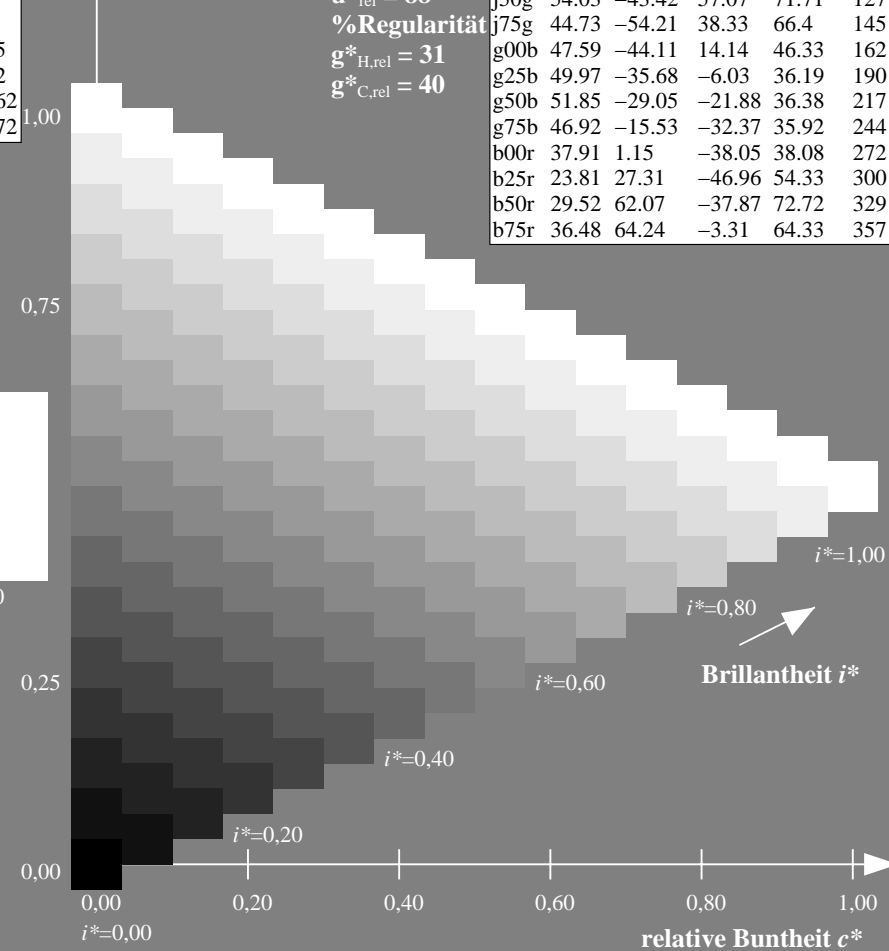
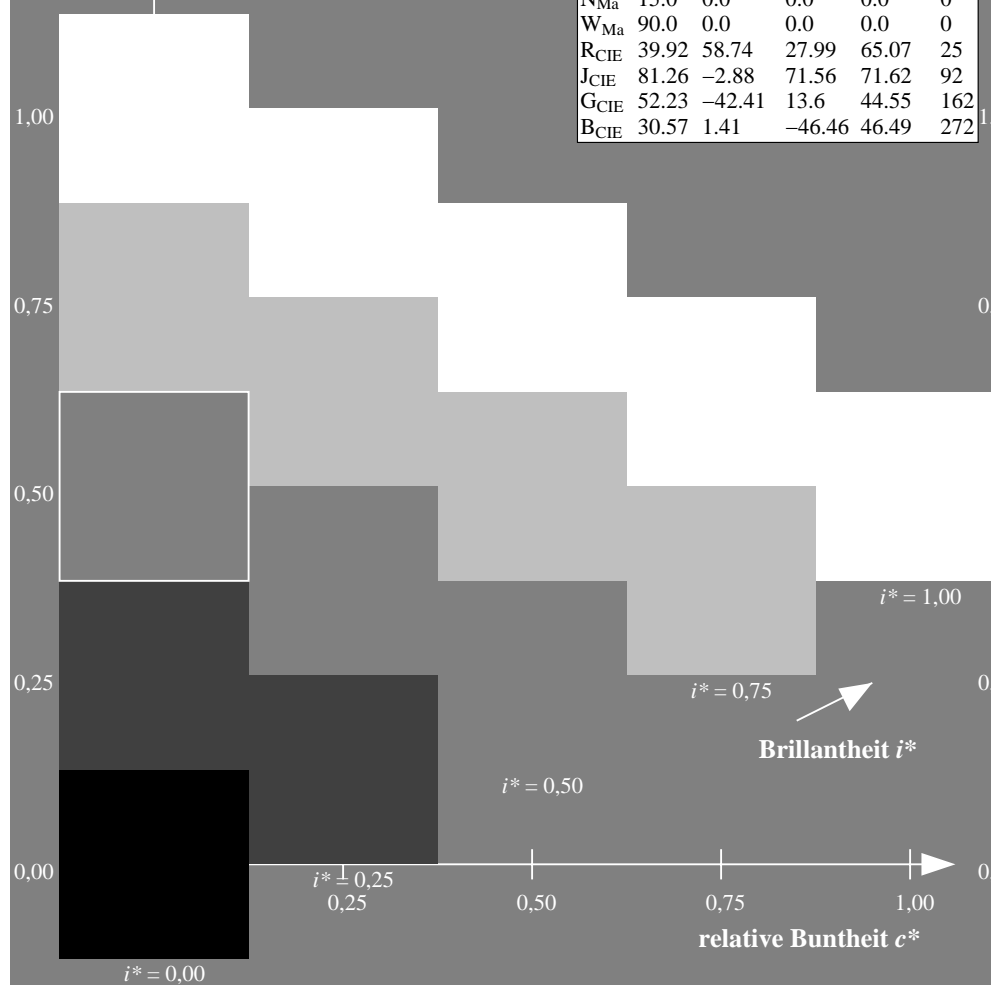
%Regularität

$g^*_{H,rel} = 31$

$g^*_{C,rel} = 40$

FRS15_90a; adaptierte CIELAB-Daten

	$L^*=L_a^*$	a_a^*	b_a^*	$C_{ab,a}^*$	$h_{ab,a}^*$
r00j	35.47	56.92	27.12	63.05	25
r25j	39.12	49.04	44.45	66.19	42
r50j	50.64	35.19	58.33	68.13	59
r75j	64.01	19.11	74.45	76.87	76
j00g	83.18	-3.93	97.56	97.64	92
j25g	66.73	-26.86	74.66	79.35	110
j50g	54.03	-43.42	57.07	71.71	127
j75g	44.73	-54.21	38.33	66.4	145
g00b	47.59	-44.11	14.14	46.33	162
g25b	49.97	-35.68	-6.03	36.19	190
g50b	51.85	-29.05	-21.88	36.38	217
g75b	46.92	-15.53	-32.37	35.92	244
b00r	37.91	1.15	-38.05	38.08	272
b25r	23.81	27.31	-46.96	54.33	300
b50r	29.52	62.07	-37.87	72.72	329
b75r	36.48	64.24	-3.31	64.33	357



Ein und Ausgabe: Farbmetrisches Drucker-Reflektiv-System FRS15_90a für relativen CIELAB-Buntton $h^* = lab^*h^* = h_{ab}/360 = 190/360 = 0.527$

Daten für jede Farbe:

lab^*ch^* und lab^*icu^*

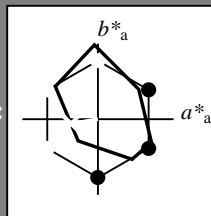
Elementar-Bunttonext:

$u^* = g25b$

Kontrastreduzierungsfaktor:

$c_R = 0.9$

Dreiecks-Helligkeit i^*



FRS15_90a; adaptierte CIELAB-Daten

	$L^*=L_a^*$	a_a^*	b_a^*	$C_{ab,a}^*$	$h_{ab,a}^*$
O _{Ma}	35.06	53.93	39.55	66.88	36
Y _{Ma}	83.77	-4.63	98.26	98.37	93
L _{Ma}	44.13	-56.32	43.36	71.09	142
C _{Ma}	52.66	-26.18	-28.74	38.89	228
V _{Ma}	14.15	45.22	-53.06	69.72	310
M _{Ma}	37.37	70.69	-30.1	76.83	337
N _{Ma}	15.0	0.0	0.0	0.0	0
W _{Ma}	90.0	0.0	0.0	0.0	0
R _{CIE}	39.92	58.74	27.99	65.07	25
J _{CIE}	81.26	-2.88	71.56	71.62	92
G _{CIE}	52.23	-42.41	13.6	44.55	162
B _{CIE}	30.57	1.41	-46.46	46.49	272

Daten für Maximalfarbe (Ma):

LAB^*LAB^*Ma : 50 -35 -5

LAB^*LCH^*Ma : 50 36 190

lab^*rgb^*Ma : 0.0 1.0 0.5

lab^*olv^*Ma : 0.0 1.0 0.69

Dreiecks-Helligkeit i^*

%Umfang

$u^*_{rel} = 88$

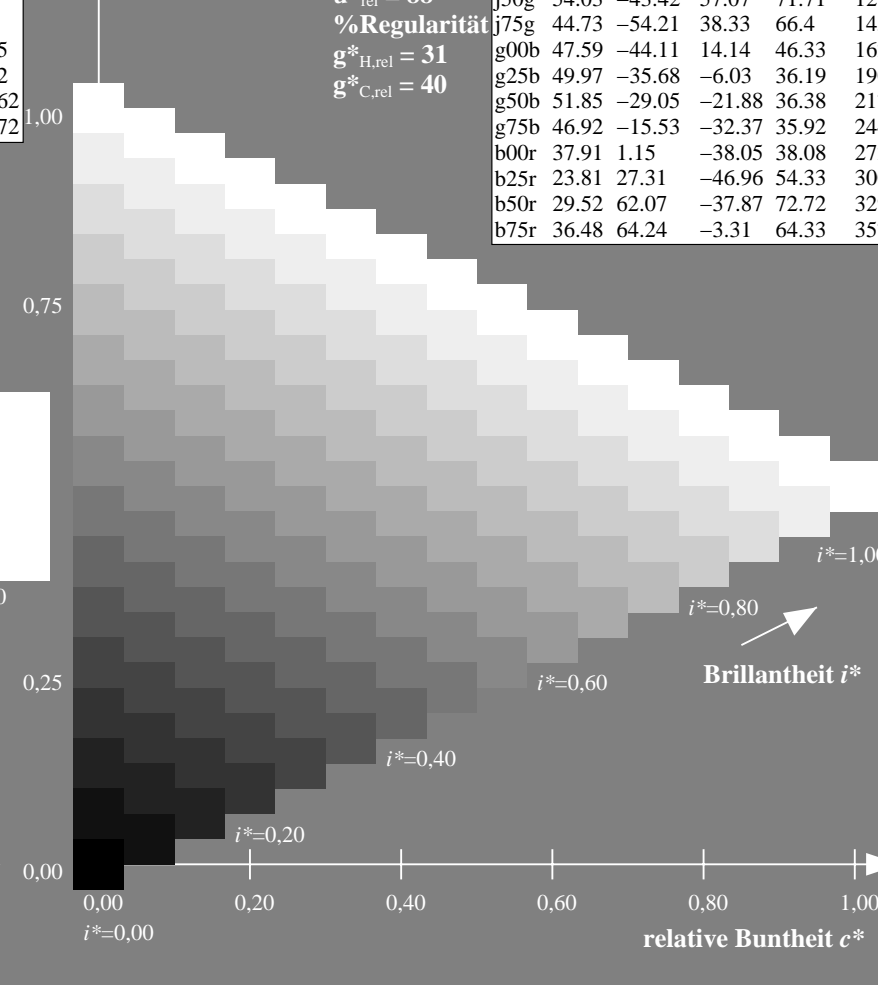
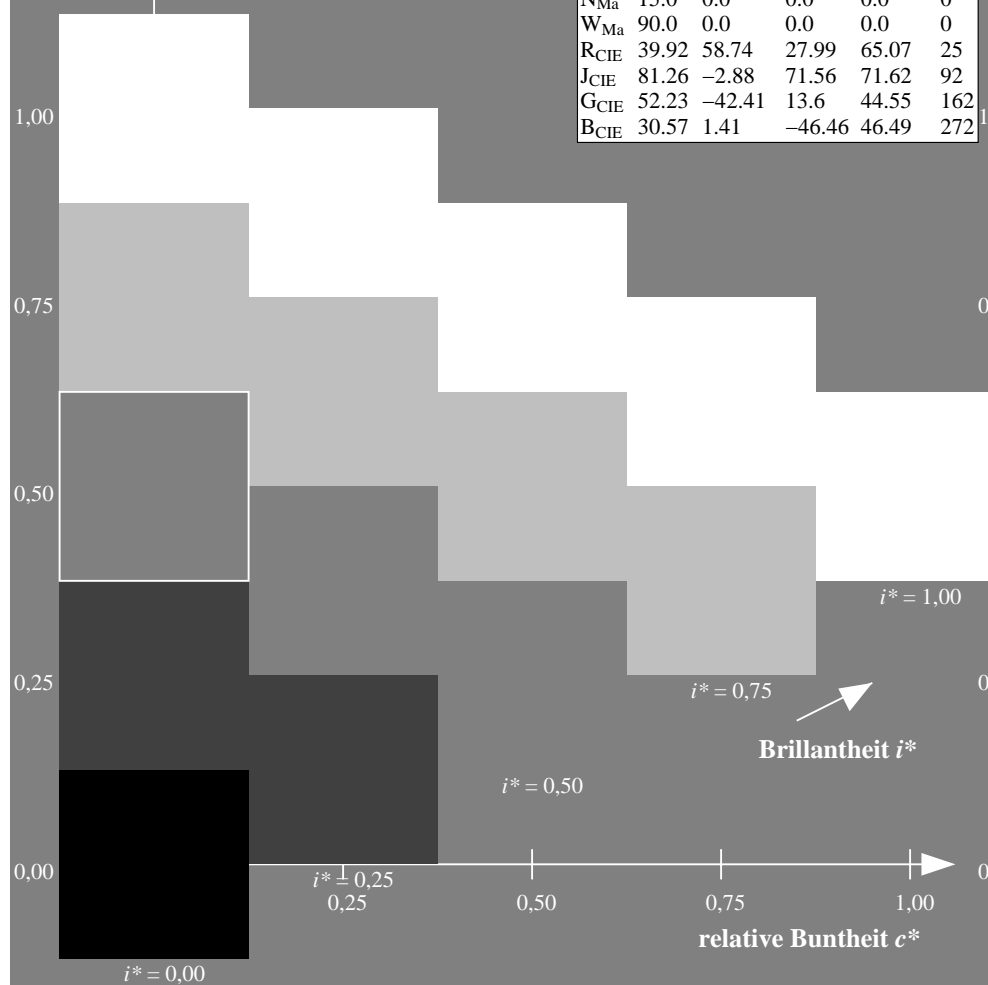
%Regularität

$g^*_{H,rel} = 31$

$g^*_{C,rel} = 40$

FRS15_90a; adaptierte CIELAB-Daten

	$L^*=L_a^*$	a_a^*	b_a^*	$C_{ab,a}^*$	$h_{ab,a}^*$
r00j	35.47	56.92	27.12	63.05	25
r25j	39.12	49.04	44.45	66.19	42
r50j	50.64	35.19	58.33	68.13	59
r75j	64.01	19.11	74.45	76.87	76
j00g	83.18	-3.93	97.56	97.64	92
j25g	66.73	-26.86	74.66	79.35	110
j50g	54.03	-43.42	57.07	71.71	127
j75g	44.73	-54.21	38.33	66.4	145
g00b	47.59	-44.11	14.14	46.33	162
g25b	49.97	-35.68	-6.03	36.19	190
g50b	51.85	-29.05	-21.88	36.38	217
g75b	46.92	-15.53	-32.37	35.92	244
b00r	37.91	1.15	-38.05	38.08	272
b25r	23.81	27.31	-46.96	54.33	300
b50r	29.52	62.07	-37.87	72.72	329
b75r	36.48	64.24	-3.31	64.33	357



Ein und Ausgabe: Farbmetrisches Drucker-Reflektiv-System FRS15_90a für relativen CIELAB-Buntton $h^* = lab^*h^* = h_{ab}/360 = 217/360 = 0.603$

Daten für jede Farbe:

lab^*ch^* und lab^*icu^*

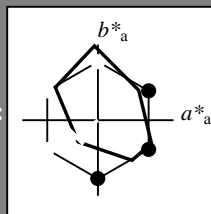
Elementar-Bunttontext:

$u^* = g50b$

Kontrastreduzierungsfaktor:

$c_R = 0.9$

Dreiecks-Helligkeit i^*



FRS15_90a; adaptierte CIELAB-Daten

	$L^*=L_a^*$	a_a^*	b_a^*	$C_{ab,a}^*$	$h_{ab,a}^*$
O _{Ma}	35.06	53.93	39.55	66.88	36
Y _{Ma}	83.77	-4.63	98.26	98.37	93
L _{Ma}	44.13	-56.32	43.36	71.09	142
C _{Ma}	52.66	-26.18	-28.74	38.89	228
V _{Ma}	14.15	45.22	-53.06	69.72	310
M _{Ma}	37.37	70.69	-30.1	76.83	337
N _{Ma}	15.0	0.0	0.0	0.0	0
W _{Ma}	90.0	0.0	0.0	0.0	0
R _{CIE}	39.92	58.74	27.99	65.07	25
J _{CIE}	81.26	-2.88	71.56	71.62	92
G _{CIE}	52.23	-42.41	13.6	44.55	162
B _{CIE}	30.57	1.41	-46.46	46.49	272

Daten für Maximalfarbe (Ma):

$LAB^*LAB^*_{Ma}$: 52 -28 -21

$LAB^*LCH^*_{Ma}$: 52 36 217

$lab^*rgb^*_{Ma}$: 0.0 1.0 1.0

$lab^*olv^*_{Ma}$: 0.0 1.0 0.9

Dreiecks-Helligkeit i^*

%Umfang

$u^*_{rel} = 88$

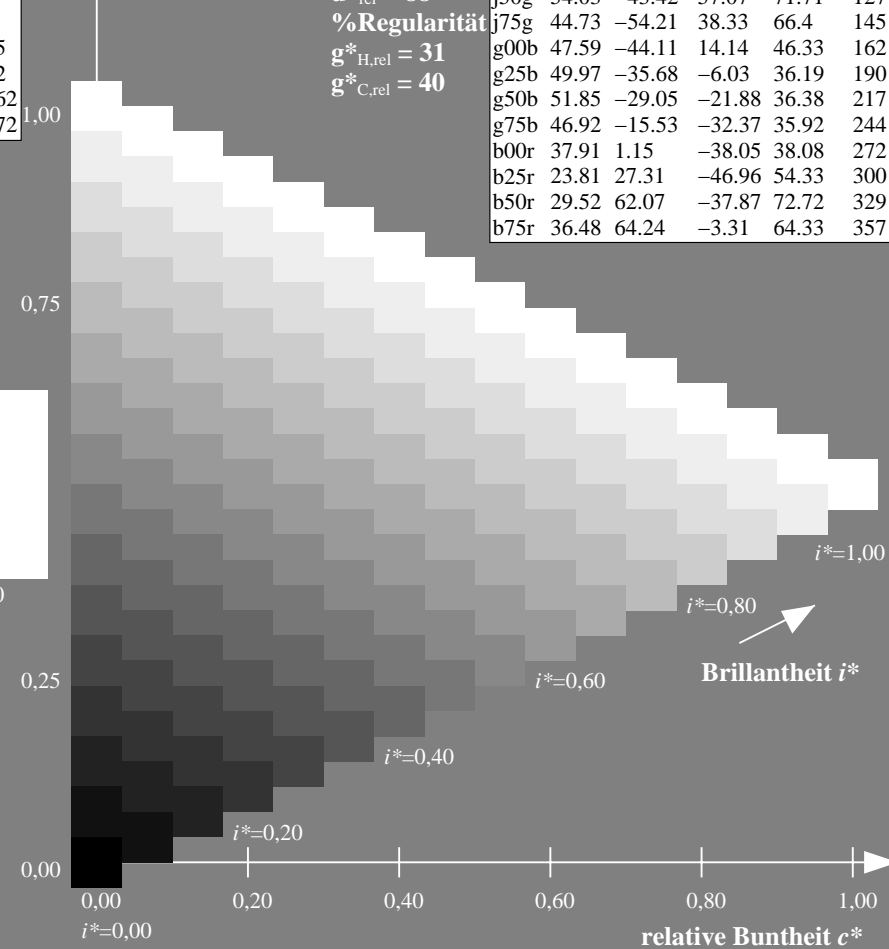
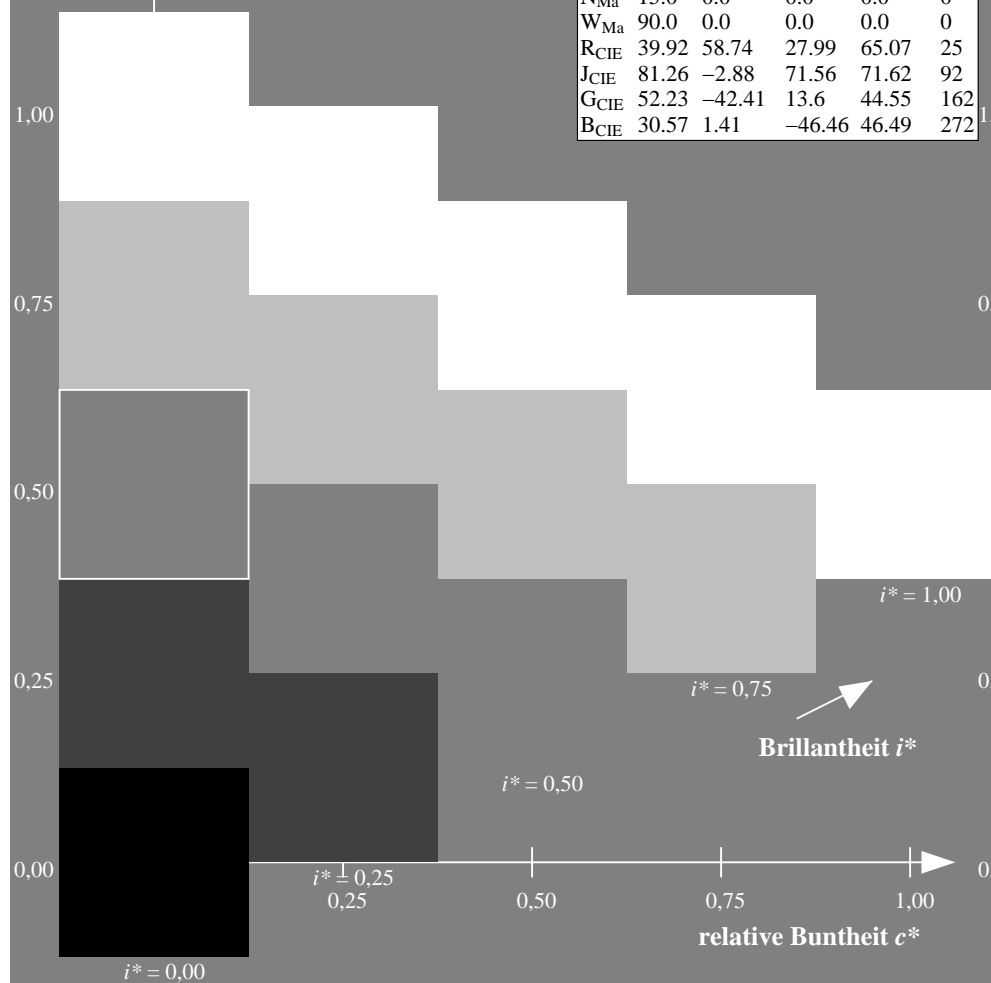
%Regularität

$g^*_{H,rel} = 31$

$g^*_{C,rel} = 40$

FRS15_90a; adaptierte CIELAB-Daten

	$L^*=L_a^*$	a_a^*	b_a^*	$C_{ab,a}^*$	$h_{ab,a}^*$
r00j	35.47	56.92	27.12	63.05	25
r25j	39.12	49.04	44.45	66.19	42
r50j	50.64	35.19	58.33	68.13	59
r75j	64.01	19.11	74.45	76.87	76
j00g	83.18	-3.93	97.56	97.64	92
j25g	66.73	-26.86	74.66	79.35	110
j50g	54.03	-43.42	57.07	71.71	127
j75g	44.73	-54.21	38.33	66.4	145
g00b	47.59	-44.11	14.14	46.33	162
g25b	49.97	-35.68	-6.03	36.19	190
g50b	51.85	-29.05	-21.88	36.38	217
g75b	46.92	-15.53	-32.37	35.92	244
b00r	37.91	1.15	-38.05	38.08	272
b25r	23.81	27.31	-46.96	54.33	300
b50r	29.52	62.07	-37.87	72.72	329
b75r	36.48	64.24	-3.31	64.33	357



Ein und Ausgabe: Farbmetrisches Drucker-Reflektiv-System FRS15_90a für relativen CIELAB-Buntton $h^* = lab^*h^* = h_{ab}/360 = 244/360 = 0.679$

Daten für jede Farbe:

lab^*ch^* und lab^*icu^*

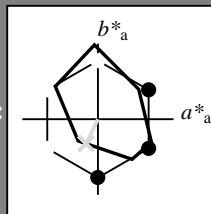
Elementar-Bunttonext:

$u^* = g75b$

Kontrastreduzierungsfaktor:

$c_R = 0.9$

Dreiecks-Helligkeit i^*



FRS15_90a; adaptierte CIELAB-Daten

	$L^*=L_a^*$	a_a^*	b_a^*	$C_{ab,a}^*$	$h_{ab,a}^*$
O _{Ma}	35.06	53.93	39.55	66.88	36
Y _{Ma}	83.77	-4.63	98.26	98.37	93
L _{Ma}	44.13	-56.32	43.36	71.09	142
C _{Ma}	52.66	-26.18	-28.74	38.89	228
V _{Ma}	14.15	45.22	-53.06	69.72	310
M _{Ma}	37.37	70.69	-30.1	76.83	337
N _{Ma}	15.0	0.0	0.0	0.0	0
W _{Ma}	90.0	0.0	0.0	0.0	0
R _{CIE}	39.92	58.74	27.99	65.07	25
J _{CIE}	81.26	-2.88	71.56	71.62	92
G _{CIE}	52.23	-42.41	13.6	44.55	162
B _{CIE}	30.57	1.41	-46.46	46.49	272

Daten für Maximalfarbe (Ma):

$LAB^*LAB^*_{Ma}$: 47 -15 -31

$LAB^*LCH^*_{Ma}$: 47 36 244

$lab^*rgb^*_{Ma}$: 0.0 0.5 1.0

$lab^*olv^*_{Ma}$: 0.0 0.85 1.0

Dreiecks-Helligkeit i^*

%Umfang

$u^*_{rel} = 88$

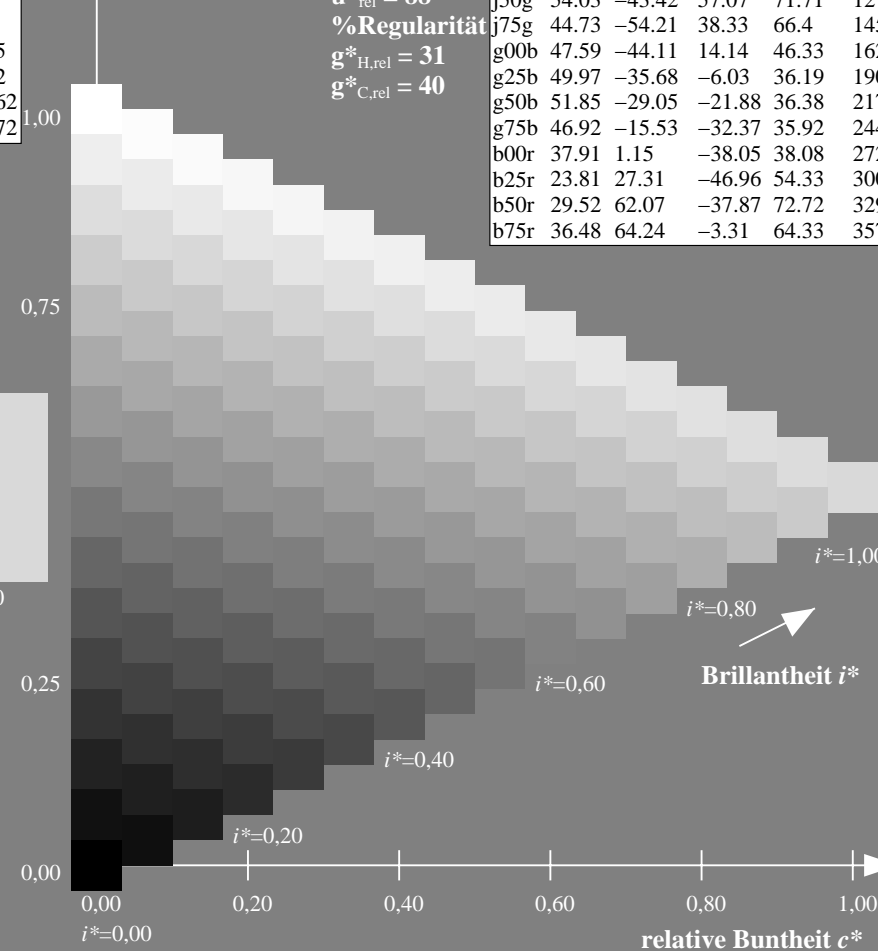
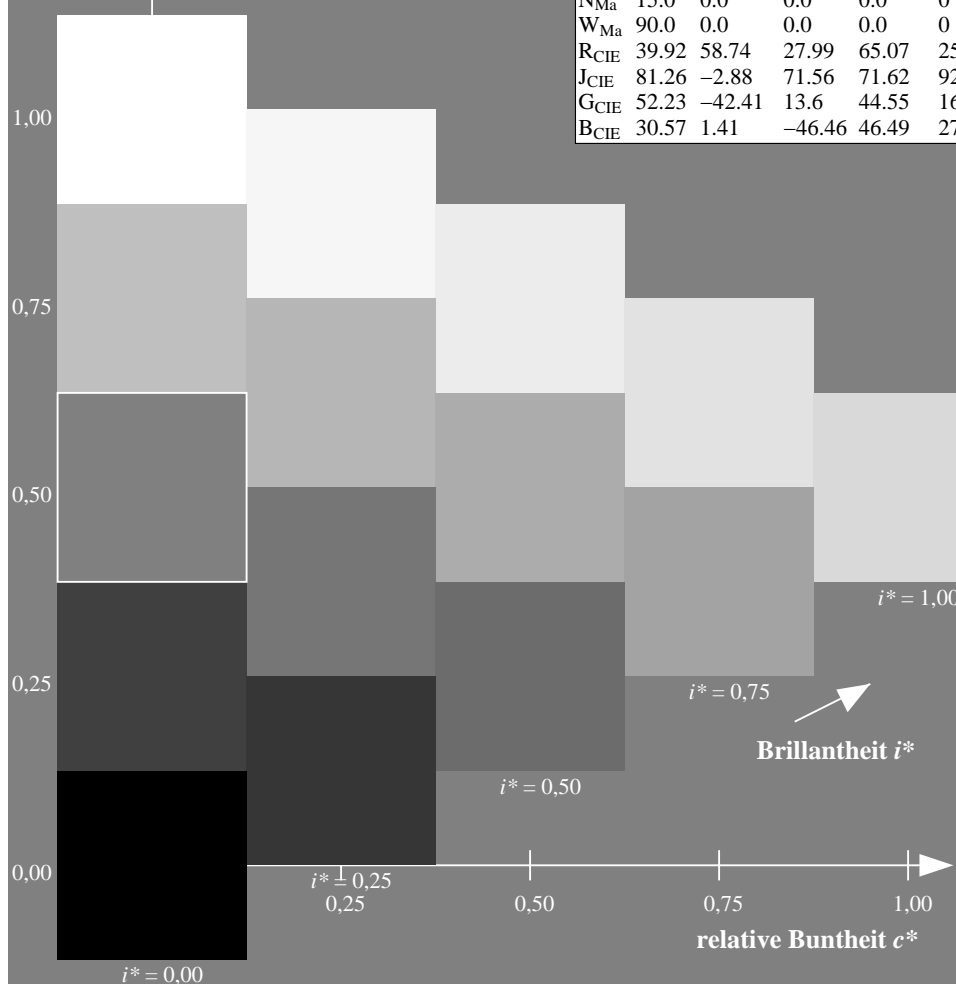
%Regularität

$g^*_{H,rel} = 31$

$g^*_{C,rel} = 40$

FRS15_90a; adaptierte CIELAB-Daten

	$L^*=L_a^*$	a_a^*	b_a^*	$C_{ab,a}^*$	$h_{ab,a}^*$
r00j	35.47	56.92	27.12	63.05	25
r25j	39.12	49.04	44.45	66.19	42
r50j	50.64	35.19	58.33	68.13	59
r75j	64.01	19.11	74.45	76.87	76
j00g	83.18	-3.93	97.56	97.64	92
j25g	66.73	-26.86	74.66	79.35	110
j50g	54.03	-43.42	57.07	71.71	127
j75g	44.73	-54.21	38.33	66.4	145
g00b	47.59	-44.11	14.14	46.33	162
g25b	49.97	-35.68	-6.03	36.19	190
g50b	51.85	-29.05	-21.88	36.38	217
g75b	46.92	-15.53	-32.37	35.92	244
b00r	37.91	1.15	-38.05	38.08	272
b25r	23.81	27.31	-46.96	54.33	300
b50r	29.52	62.07	-37.87	72.72	329
b75r	36.48	64.24	-3.31	64.33	357



Siehe ähnliche Dateien: <http://www.ps.bam.de/Dg71/>; www.ps.bam.de/Dg71/10L/L71G00NA.PS/.TXTBAM-Material: Code=rh4ta
Technische Information: <http://www.ps.bam.de> Version 2.1, io=1,1, ColSpx=0

Ein und Ausgabe: Farbmetrisches Drucker-Reflektiv-System FRS15_90a für relativen CIELAB-Buntton $h^* = lab^*h^* = h_{ab}/360 = 272/360 = 0.755$

Daten für jede Farbe:

lab^*tch^* und lab^*icu^*

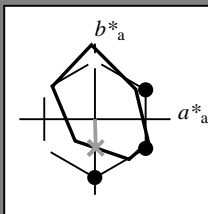
Elementar-Bunttoncontext:

$u^* = b00r$

Kontrastreduzierungsfaktor:

$c_R = 0.9$

Dreiecks-Helligkeit t^*



FRS15_90a; adaptierte CIELAB-Daten

	$L^*=L_a^*$	a_a^*	b_a^*	$C_{ab,a}^*$	$h_{ab,a}^*$
O _{Ma}	35.06	53.93	39.55	66.88	36
Y _{Ma}	83.77	-4.63	98.26	98.37	93
L _{Ma}	44.13	-56.32	43.36	71.09	142
C _{Ma}	52.66	-26.18	-28.74	38.89	228
V _{Ma}	14.15	45.22	-53.06	69.72	310
M _{Ma}	37.37	70.69	-30.1	76.83	337
N _{Ma}	15.0	0.0	0.0	0.0	0
W _{Ma}	90.0	0.0	0.0	0.0	0
R _{CIE}	39.92	58.74	27.99	65.07	25
J _{CIE}	81.26	-2.88	71.56	71.62	92
G _{CIE}	52.23	-42.41	13.6	44.55	162
B _{CIE}	30.57	1.41	-46.46	46.49	272

Daten für Maximalfarbe (Ma):

$LAB^*LAB^*_{Ma}$: 38 1 -37

$LAB^*LCH^*_{Ma}$: 38 38 272

$lab^*rgb^*_{Ma}$: 0.0 0.0 1.0

$lab^*olv^*_{Ma}$: 0.0 0.62 1.0

Dreiecks-Helligkeit t^*

%Umfang

$u^*_{rel} = 88$

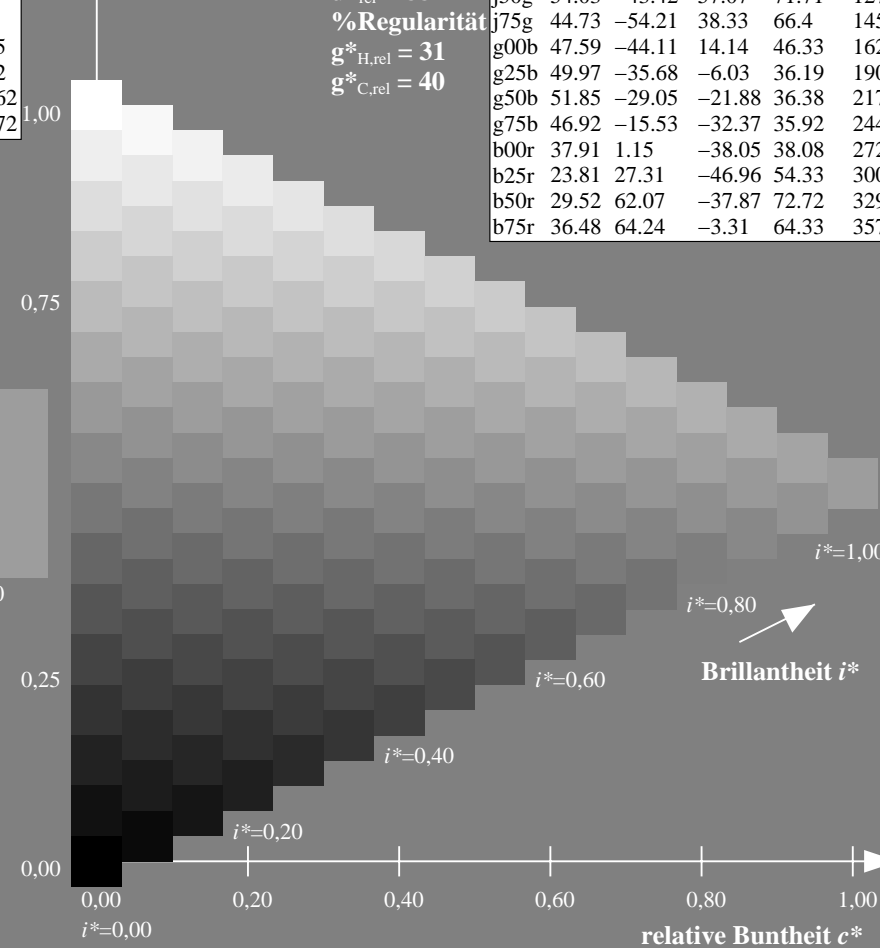
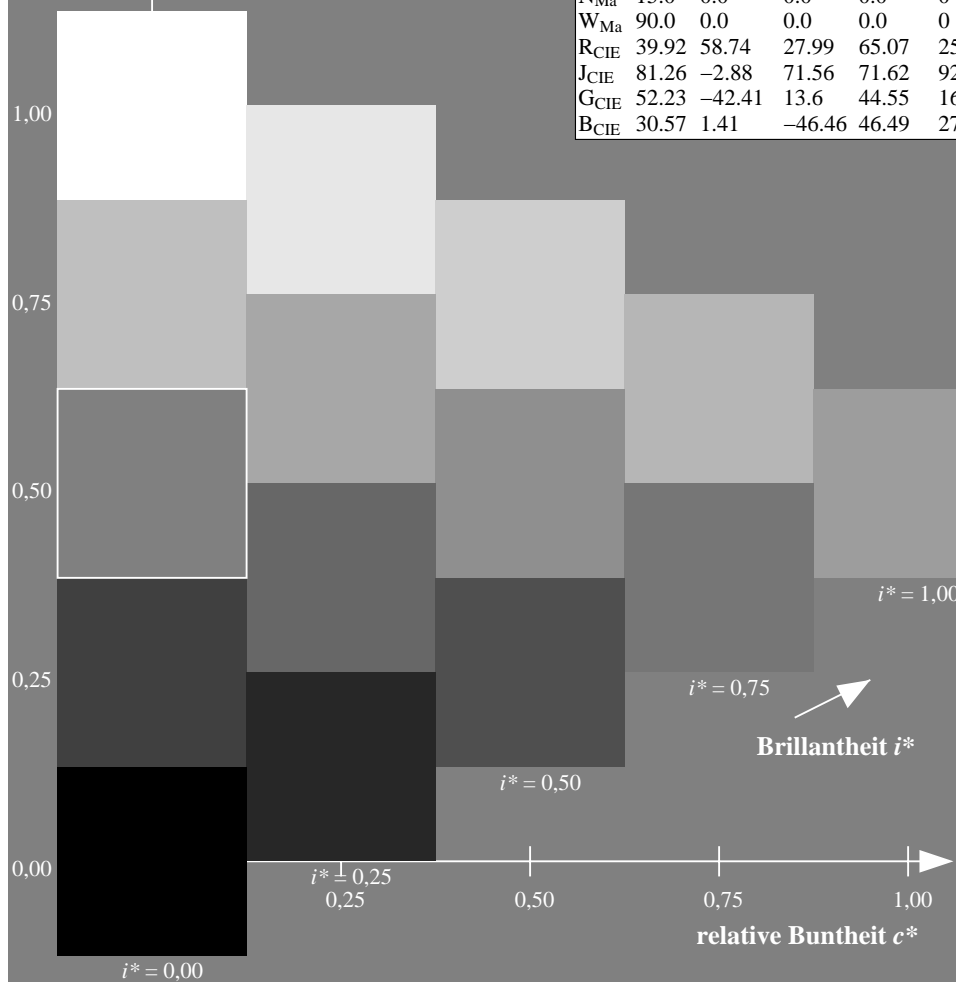
%Regularität

$g^*_{H,rel} = 31$

$g^*_{C,rel} = 40$

FRS15_90a; adaptierte CIELAB-Daten

	$L^*=L_a^*$	a_a^*	b_a^*	$C_{ab,a}^*$	$h_{ab,a}^*$
r00j	35.47	56.92	27.12	63.05	25
r25j	39.12	49.04	44.45	66.19	42
r50j	50.64	35.19	58.33	68.13	59
r75j	64.01	19.11	74.45	76.87	76
j00g	83.18	-3.93	97.56	97.64	92
j25g	66.73	-26.86	74.66	79.35	110
j50g	54.03	-43.42	57.07	71.71	127
j75g	44.73	-54.21	38.33	66.4	145
g00b	47.59	-44.11	14.14	46.33	162
g25b	49.97	-35.68	-6.03	36.19	190
g50b	51.85	-29.05	-21.88	36.38	217
g75b	46.92	-15.53	-32.37	35.92	244
b00r	37.91	1.15	-38.05	38.08	272
b25r	23.81	27.31	-46.96	54.33	300
b50r	29.52	62.07	-37.87	72.72	329
b75r	36.48	64.24	-3.31	64.33	357



Ein und Ausgabe: Farbmetrisches Drucker-Reflektiv-System FRS15_90a für relativen CIELAB-Buntton $h^* = lab^*h^* = h_{ab}/360 = 300/360 = 0.834$

Daten für jede Farbe:

lab^*ch^* und lab^*icu^*

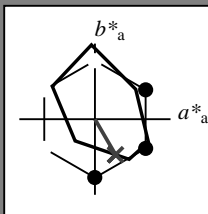
Elementar-Bunttontext:

$u^* = b25r$

Kontrastreduzierungsfaktor:

$c_R = 0.9$

Dreiecks-Helligkeit i^*



FRS15_90a; adaptierte CIELAB-Daten

	$L^*=L_a^*$	a_a^*	b_a^*	$C_{ab,a}^*$	$h_{ab,a}^*$
O _{Ma}	35.06	53.93	39.55	66.88	36
Y _{Ma}	83.77	-4.63	98.26	98.37	93
L _{Ma}	44.13	-56.32	43.36	71.09	142
C _{Ma}	52.66	-26.18	-28.74	38.89	228
V _{Ma}	14.15	45.22	-53.06	69.72	310
M _{Ma}	37.37	70.69	-30.1	76.83	337
N _{Ma}	15.0	0.0	0.0	0.0	0
W _{Ma}	90.0	0.0	0.0	0.0	0
R _{CIE}	39.92	58.74	27.99	65.07	25
J _{CIE}	81.26	-2.88	71.56	71.62	92
G _{CIE}	52.23	-42.41	13.6	44.55	162
B _{CIE}	30.57	1.41	-46.46	46.49	272

Daten für Maximalfarbe (Ma):

LAB^*LAB^*Ma : 24 27 -46

LAB^*LCH^*Ma : 24 54 300

lab^*rgb^*Ma : 0.5 0.0 1.0

lab^*olv^*Ma : 0.0 0.25 1.0

Dreiecks-Helligkeit i^*

%Umfang

$u^*_{rel} = 88$

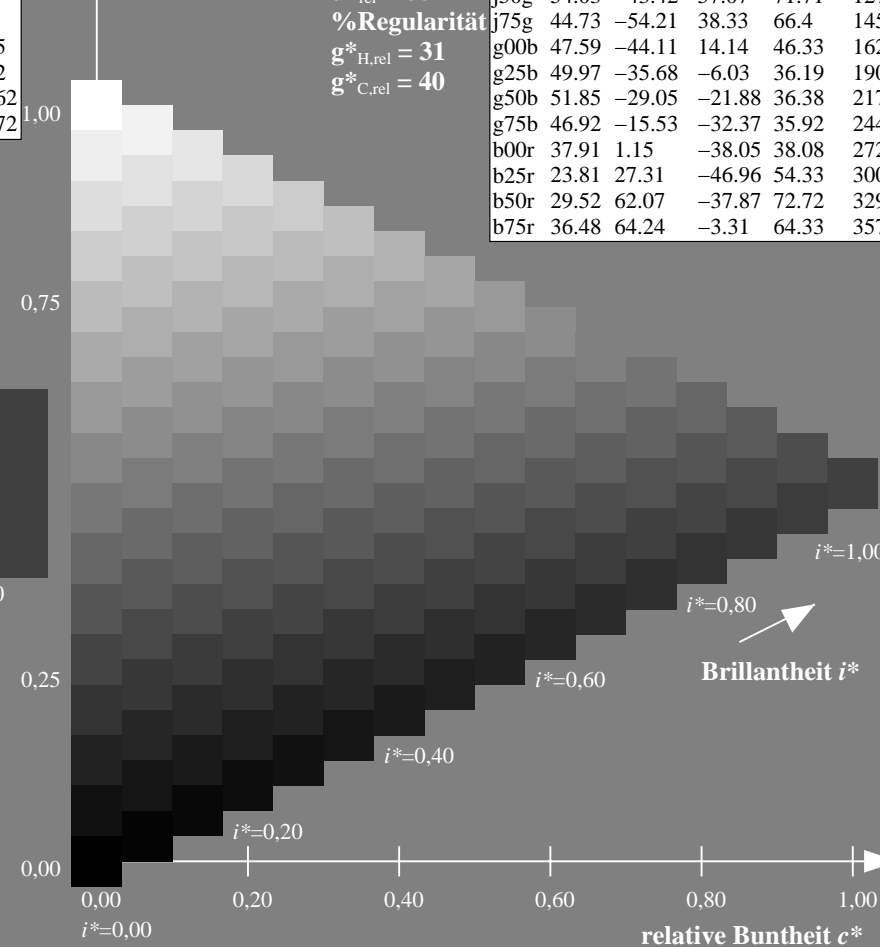
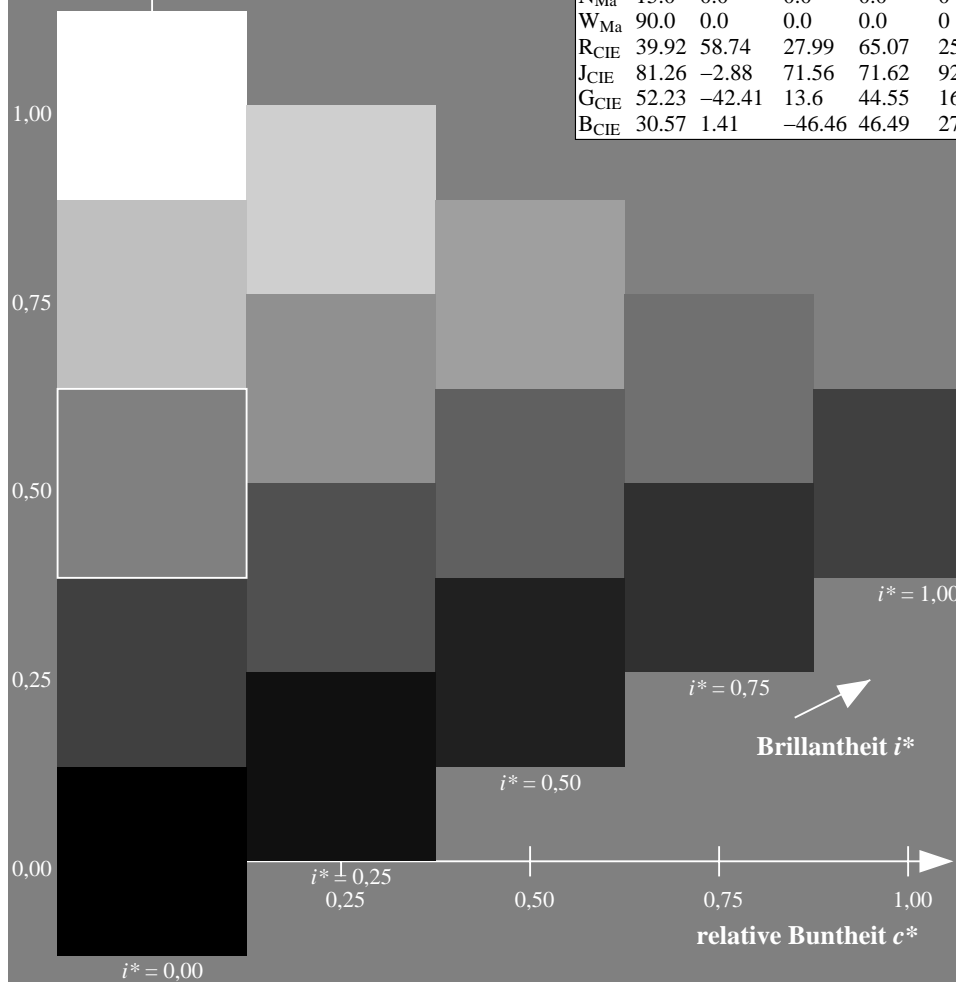
%Regularität

$g^*_{H,rel} = 31$

$g^*_{C,rel} = 40$

FRS15_90a; adaptierte CIELAB-Daten

	$L^*=L_a^*$	a_a^*	b_a^*	$C_{ab,a}^*$	$h_{ab,a}^*$
r00j	35.47	56.92	27.12	63.05	25
r25j	39.12	49.04	44.45	66.19	42
r50j	50.64	35.19	58.33	68.13	59
r75j	64.01	19.11	74.45	76.87	76
j00g	83.18	-3.93	97.56	97.64	92
j25g	66.73	-26.86	74.66	79.35	110
j50g	54.03	-43.42	57.07	71.71	127
j75g	44.73	-54.21	38.33	66.4	145
g00b	47.59	-44.11	14.14	46.33	162
g25b	49.97	-35.68	-6.03	36.19	190
g50b	51.85	-29.05	-21.88	36.38	217
g75b	46.92	-15.53	-32.37	35.92	244
b00r	37.91	1.15	-38.05	38.08	272
b25r	23.81	27.31	-46.96	54.33	300
b50r	29.52	62.07	-37.87	72.72	329
b75r	36.48	64.24	-3.31	64.33	357



Ein und Ausgabe: Farbmetrisches Drucker-Reflektiv-System FRS15_90a für relativen CIELAB-Buntton $h^* = lab^*h^* = h_{ab}/360 = 329/360 = 0.913$

Daten für jede Farbe:

lab^*ch^* und lab^*icu^*

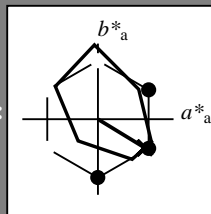
Elementar-Bunttontext:

$u^* = b50r$

Kontrastreduzierungsfaktor:

$c_R = 0.9$

Dreiecks-Helligkeit i^*



FRS15_90a; adaptierte CIELAB-Daten

	$L^*=L_a^*$	a_a^*	b_a^*	$C_{ab,a}^*$	$h_{ab,a}^*$
O _{Ma}	35.06	53.93	39.55	66.88	36
Y _{Ma}	83.77	-4.63	98.26	98.37	93
L _{Ma}	44.13	-56.32	43.36	71.09	142
C _{Ma}	52.66	-26.18	-28.74	38.89	228
V _{Ma}	14.15	45.22	-53.06	69.72	310
M _{Ma}	37.37	70.69	-30.1	76.83	337
N _{Ma}	15.0	0.0	0.0	0.0	0
W _{Ma}	90.0	0.0	0.0	0.0	0
R _{CIE}	39.92	58.74	27.99	65.07	25
J _{CIE}	81.26	-2.88	71.56	71.62	92
G _{CIE}	52.23	-42.41	13.6	44.55	162
B _{CIE}	30.57	1.41	-46.46	46.49	272

Daten für Maximalfarbe (Ma):

LAB^*LAB^*Ma : 30 62 -37

LAB^*LCH^*Ma : 30 73 329

lab^*rgb^*Ma : 1.0 0.0 1.0

lab^*olv^*Ma : 0.66 0.0 1.0

Dreiecks-Helligkeit i^*

%Umfang

$u^*_{rel} = 88$

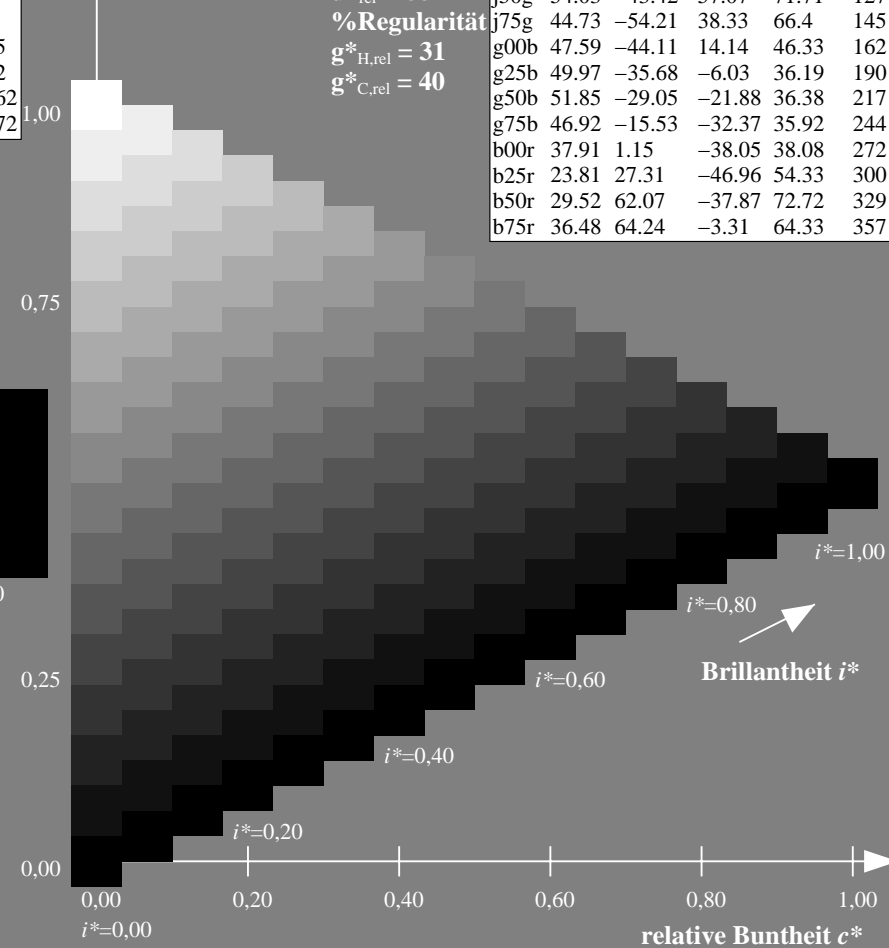
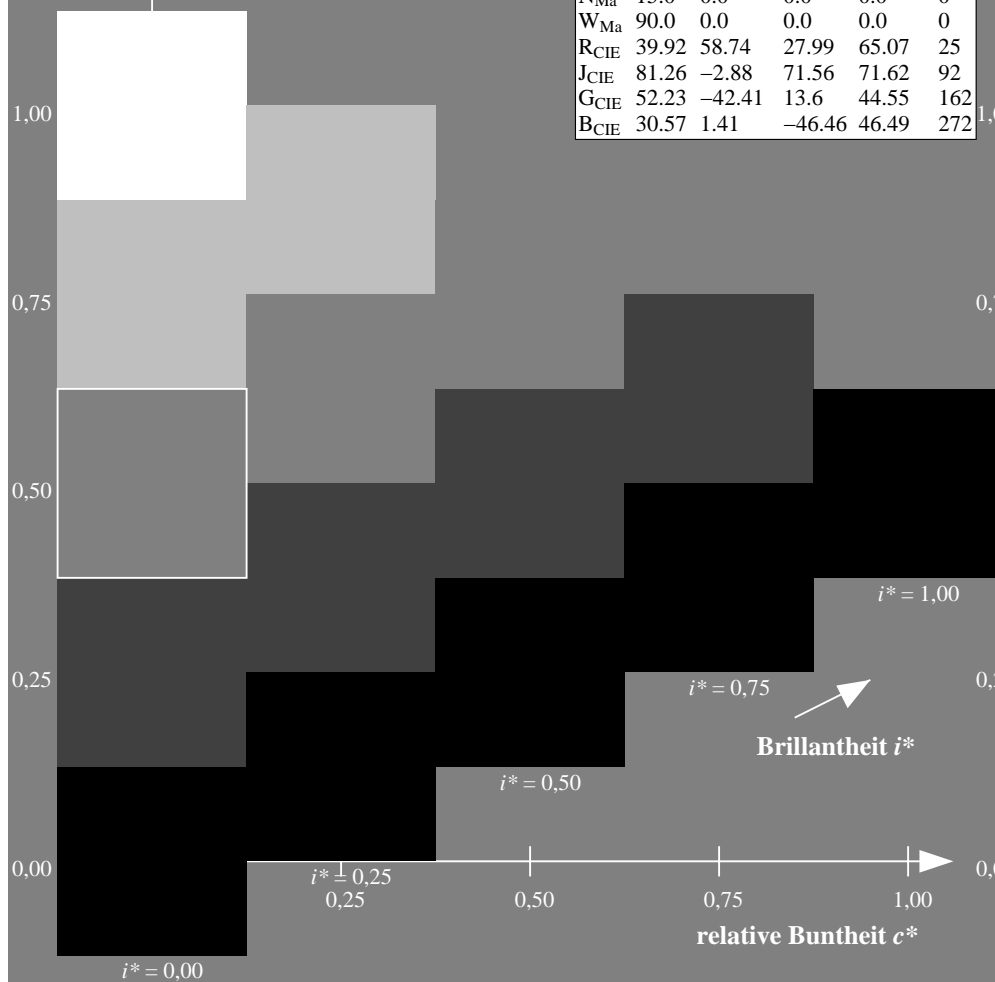
%Regularität

$g^*_{H,rel} = 31$

$g^*_{C,rel} = 40$

FRS15_90a; adaptierte CIELAB-Daten

	$L^*=L_a^*$	a_a^*	b_a^*	$C_{ab,a}^*$	$h_{ab,a}^*$
r00j	35.47	56.92	27.12	63.05	25
r25j	39.12	49.04	44.45	66.19	42
r50j	50.64	35.19	58.33	68.13	59
r75j	64.01	19.11	74.45	76.87	76
j00g	83.18	-3.93	97.56	97.64	92
j25g	66.73	-26.86	74.66	79.35	110
j50g	54.03	-43.42	57.07	71.71	127
j75g	44.73	-54.21	38.33	66.4	145
g00b	47.59	-44.11	14.14	46.33	162
g25b	49.97	-35.68	-6.03	36.19	190
g50b	51.85	-29.05	-21.88	36.38	217
g75b	46.92	-15.53	-32.37	35.92	244
b00r	37.91	1.15	-38.05	38.08	272
b25r	23.81	27.31	-46.96	54.33	300
b50r	29.52	62.07	-37.87	72.72	329
b75r	36.48	64.24	-3.31	64.33	357



Ein und Ausgabe: Farbmetrisches Drucker-Reflektiv-System FRS15_90a für relativen CIELAB-Buntton $h^* = lab^*h^* = h_{ab}/360 = 357/360 = 0.992$

Daten für jede Farbe:

lab^*ch^* und lab^*icu^*

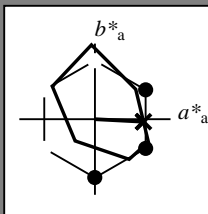
Elementar-Bunttoncontext:

$u^* = b75r$

Kontrastreduzierungsfaktor:

$c_R = 0.9$

Dreiecks-Helligkeit i^*



FRS15_90a; adaptierte CIELAB-Daten

	$L^*=L^*_a$	a^*_a	b^*_a	$C^*_{ab,a}$	$h^*_{ab,a}$
O _{Ma}	35.06	53.93	39.55	66.88	36
Y _{Ma}	83.77	-4.63	98.26	98.37	93
L _{Ma}	44.13	-56.32	43.36	71.09	142
C _{Ma}	52.66	-26.18	-28.74	38.89	228
V _{Ma}	14.15	45.22	-53.06	69.72	310
M _{Ma}	37.37	70.69	-30.1	76.83	337
N _{Ma}	15.0	0.0	0.0	0.0	0
W _{Ma}	90.0	0.0	0.0	0.0	0
R _{CIE}	39.92	58.74	27.99	65.07	25
J _{CIE}	81.26	-2.88	71.56	71.62	92
G _{CIE}	52.23	-42.41	13.6	44.55	162
B _{CIE}	30.57	1.41	-46.46	46.49	272

Daten für Maximalfarbe (Ma):

LAB^*LAB^*Ma : 36 64 -2

LAB^*LCH^*Ma : 36 64 357

lab^*rgb^*Ma : 1.0 0.0 0.5

lab^*olv^*Ma : 1.0 0.0 0.62

Dreiecks-Helligkeit i^*

%Umfang

$u^*_{rel} = 88$

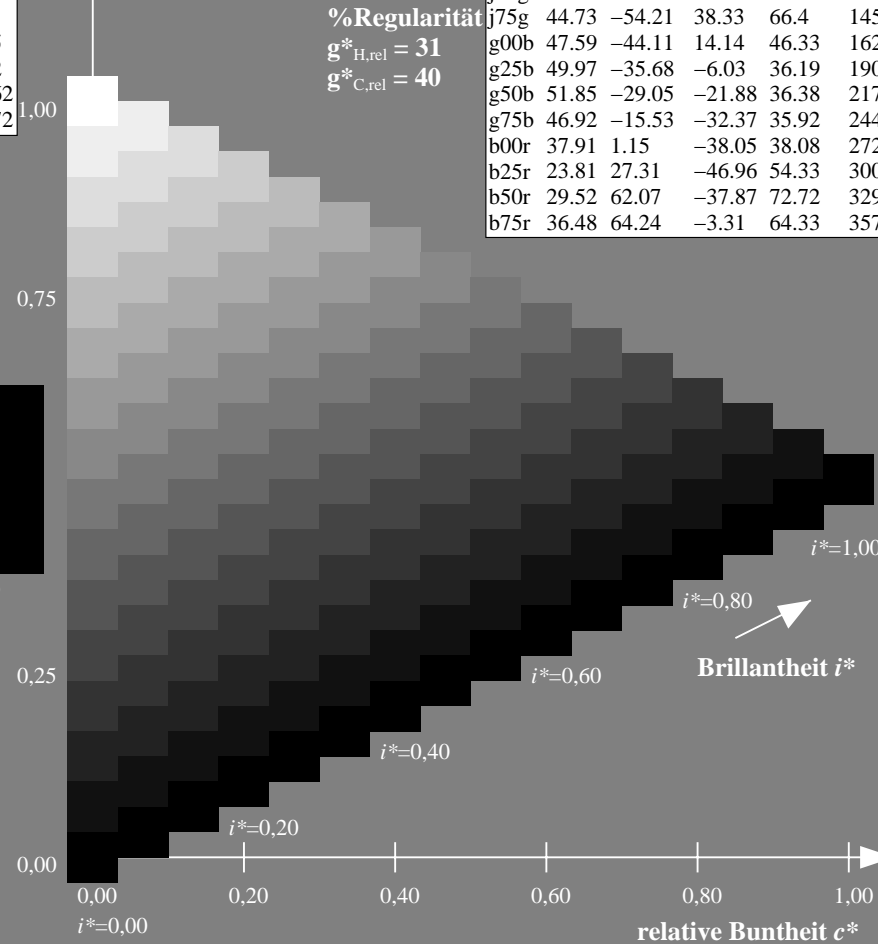
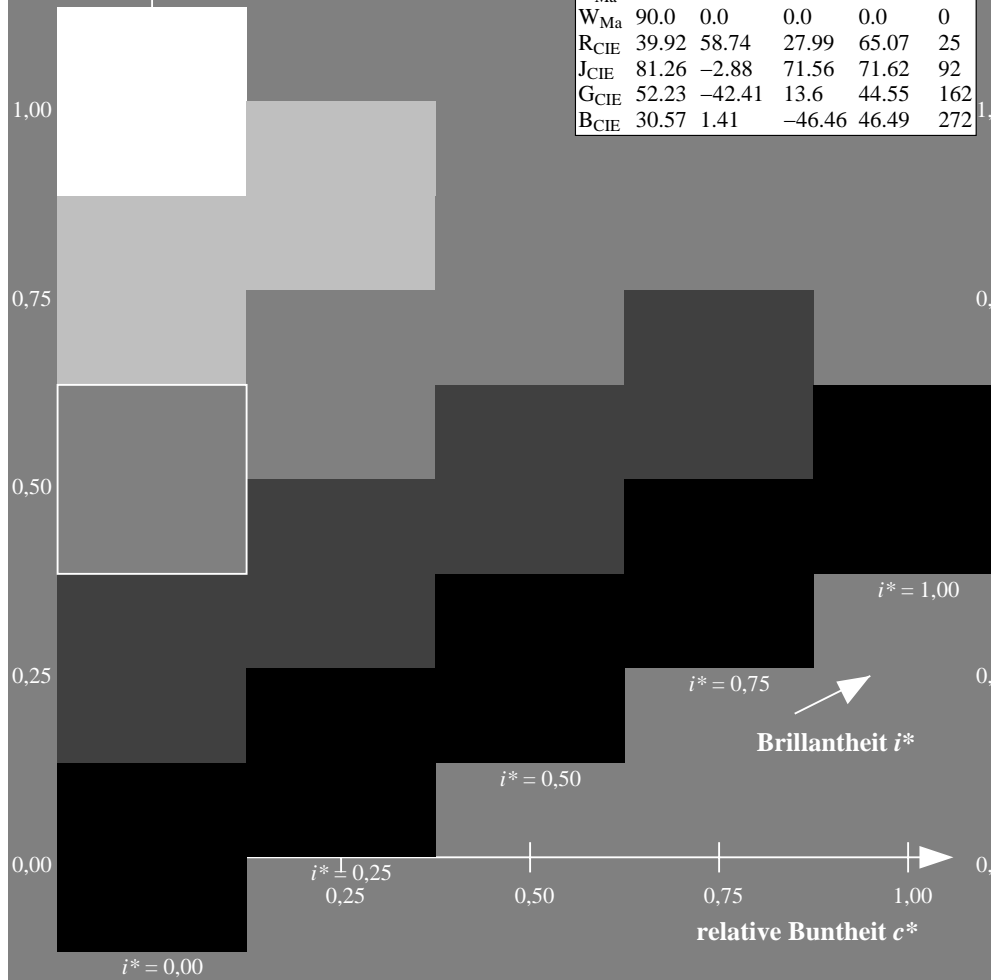
%Regularität

$g^*_{H,rel} = 31$

$g^*_{C,rel} = 40$

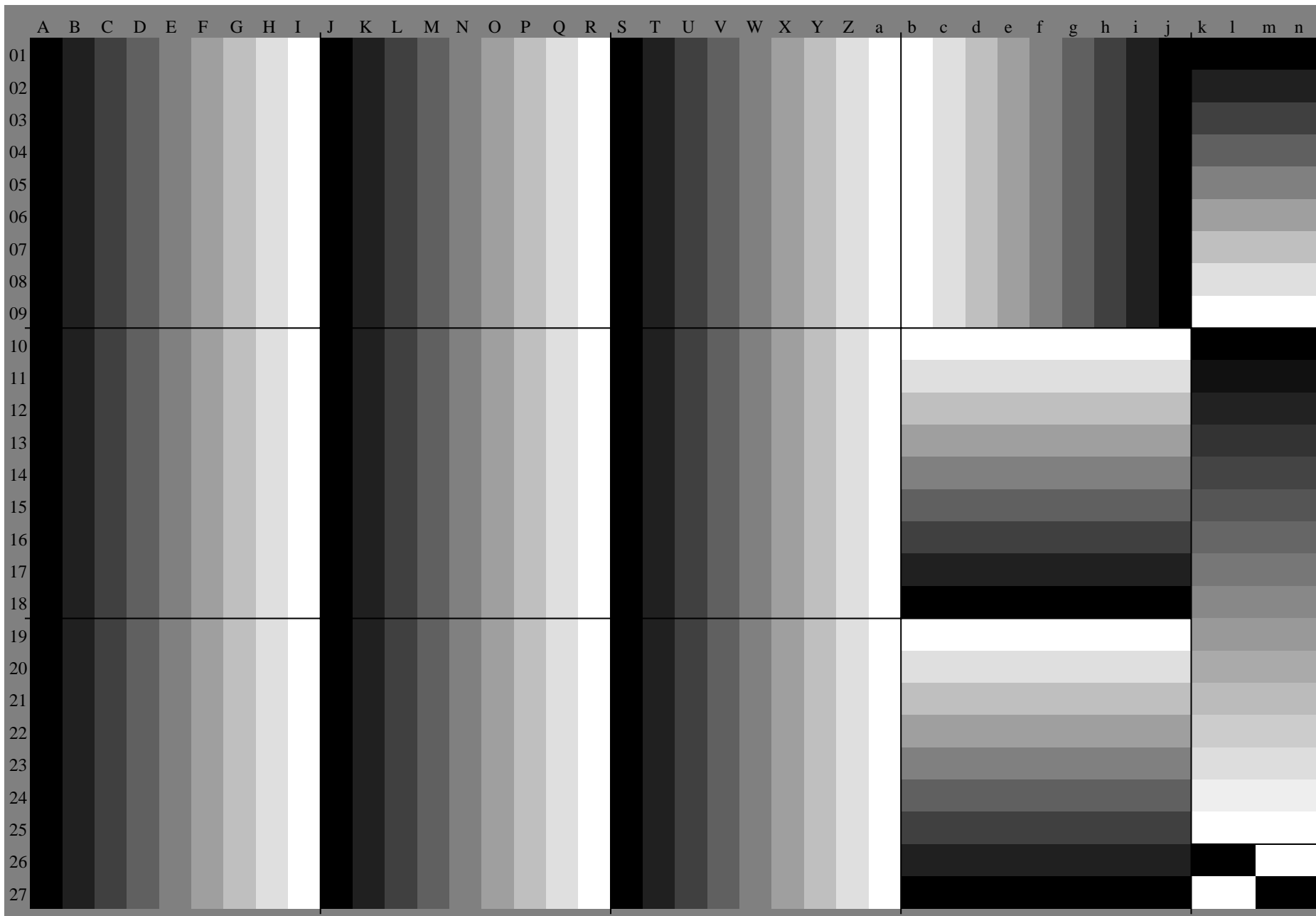
FRS15_90a; adaptierte CIELAB-Daten

	$L^*=L^*_a$	a^*_a	b^*_a	$C^*_{ab,a}$	$h^*_{ab,a}$
r00j	35.47	56.92	27.12	63.05	25
r25j	39.12	49.04	44.45	66.19	42
r50j	50.64	35.19	58.33	68.13	59
r75j	64.01	19.11	74.45	76.87	76
j00g	83.18	-3.93	97.56	97.64	92
j25g	66.73	-26.86	74.66	79.35	110
j50g	54.03	-43.42	57.07	71.71	127
j75g	44.73	-54.21	38.33	66.4	145
g00b	47.59	-44.11	14.14	46.33	162
g25b	49.97	-35.68	-6.03	36.19	190
g50b	51.85	-29.05	-21.88	36.38	217
g75b	46.92	-15.53	-32.37	35.92	244
b00r	37.91	1.15	-38.05	38.08	272
b25r	23.81	27.31	-46.96	54.33	300
b50r	29.52	62.07	-37.87	72.72	329
b75r	36.48	64.24	-3.31	64.33	357



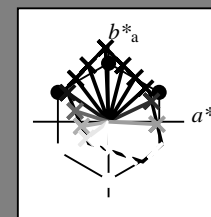
Siehe ähnliche Dateien: <http://www.ps.bam.de/Dg71/>; www.ps.bam.de/Dg71/10L/L71G00NA.PS/.TXT
Technische Information: <http://www.ps.bam.de> Version 2.1, io=1,1, ColSpx=0

BAM-Registrierung: 20080701-Dg71/10L/L71G00NA.PS/.TXTBAM-Material: Code=rh4ta
Anwendung für Beurteilung und Messung von Drucker- oder Monitorsystemen



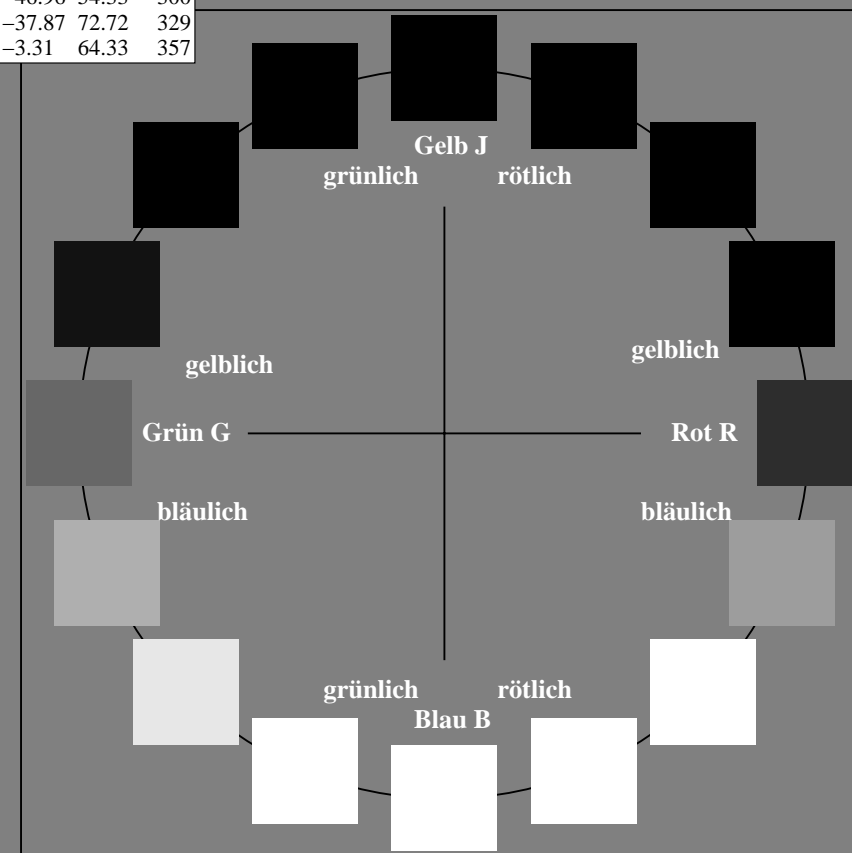
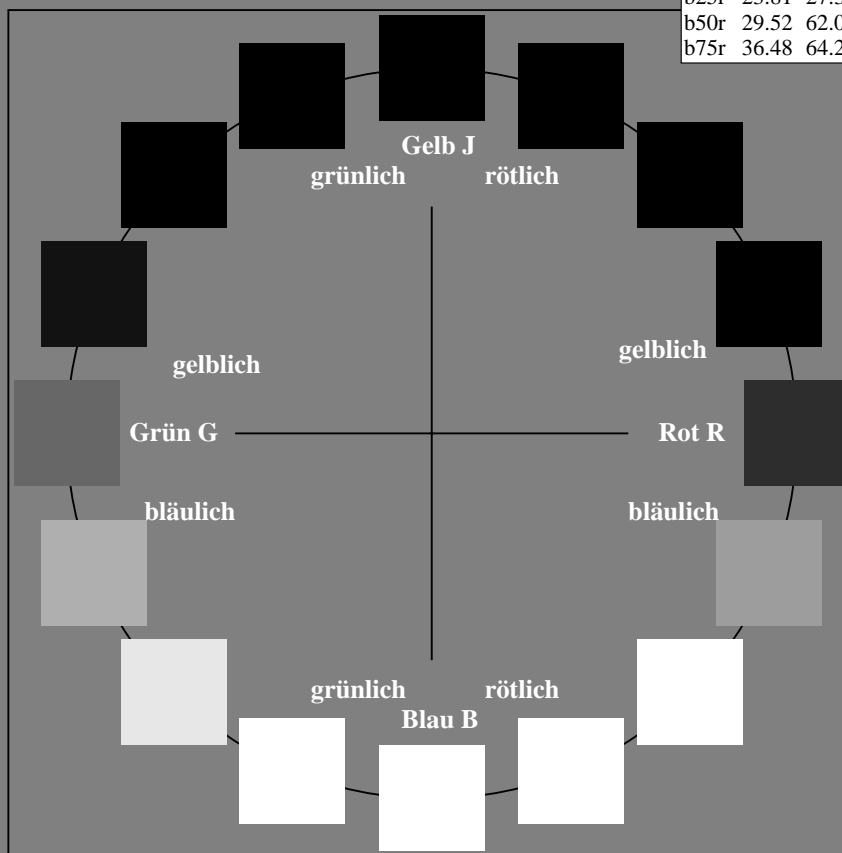
Ein und Ausgabe:
Farbmetrisches Drucker-Reflektiv-System FRS15_90a
Daten für jede Farbe:
*lab*_{ich}** und *lab*_{icu}**
Elementar-Bunttontext:
*u** = 16 Buntttöne *r00j*, *r25j*, ..., *b75r*
Kontrastreduzierungsfaktor:
c_R = 0.9

FRS15_90a; adaptierte CIELAB-Daten					
	<i>L*</i> = <i>L*</i> _a	<i>a*</i> _a	<i>b*</i> _a	<i>C*</i> _{ab,a}	<i>h*</i> _{ab,a}
r00j	35.47	56.92	27.12	63.05	25
r25j	39.12	49.04	44.45	66.19	42
r50j	50.64	35.19	58.33	68.13	59
r75j	64.01	19.11	74.45	76.87	76
j00g	83.18	-3.93	97.56	97.64	92
j25g	66.73	-26.86	74.66	79.35	110
j50g	54.03	-43.42	57.07	71.71	127
j75g	44.73	-54.21	38.33	66.4	145
g00b	47.59	-44.11	14.14	46.33	162
g25b	49.97	-35.68	-6.03	36.19	190
g50b	51.85	-29.05	-21.88	36.38	217
g75b	46.92	-15.53	-32.37	35.92	244
b00r	37.91	1.15	-38.05	38.08	272
b25r	23.81	27.31	-46.96	54.33	300
b50r	29.52	62.07	-37.87	72.72	329
b75r	36.48	64.24	-3.31	64.33	357



%Umfang
*u**_{rel} = 88
%Regularität
*g**_{H,rel} = 31
*g**_{C,rel} = 40

FRS15_90a; adaptierte CIELAB-Daten					
	<i>L*</i> = <i>L*</i> _a	<i>a*</i> _a	<i>b*</i> _a	<i>C*</i> _{ab,a}	<i>h*</i> _{ab,a}
O _{Ma}	35.06	53.93	39.55	66.88	36
Y _{Ma}	83.77	-4.63	98.26	98.37	93
L _{Ma}	44.13	-56.32	43.36	71.09	142
C _{Ma}	52.66	-26.18	-28.74	38.89	228
V _{Ma}	14.15	45.22	-53.06	69.72	310
M _{Ma}	37.37	70.69	-30.1	76.83	337
N _{Ma}	15.0	0.0	0.0	0.0	0
W _{Ma}	90.0	0.0	0.0	0.0	0
R _{CIE}	39.92	58.74	27.99	65.07	25
J _{CIE}	81.26	-2.88	71.56	71.62	92
G _{CIE}	52.23	-42.41	13.6	44.55	162
B _{CIE}	30.57	1.41	-46.46	46.49	272



Ein und Ausgabe: Farbmetrisches Drucker-Reflektiv-System FRS15_90a für relativen CIELAB-Buntton $h^* = lab^*h^* = h_{ab}/360 = 25/360 = 0.071$

Daten für jede Farbe:

lab^*ch^* und lab^*icu^*

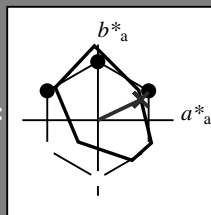
Elementar-Bunttontext:

$u^* = r00j$

Kontrastreduzierungsfaktor:

$c_R = 0.9$

Dreiecks-Helligkeit i^*



FRS15_90a; adaptierte CIELAB-Daten

	$L^*=L^*_a$	a^*_a	b^*_a	$C^*_{ab,a}$	$h^*_{ab,a}$
O _{Ma}	35.06	53.93	39.55	66.88	36
Y _{Ma}	83.77	-4.63	98.26	98.37	93
L _{Ma}	44.13	-56.32	43.36	71.09	142
C _{Ma}	52.66	-26.18	-28.74	38.89	228
V _{Ma}	14.15	45.22	-53.06	69.72	310
M _{Ma}	37.37	70.69	-30.1	76.83	337
N _{Ma}	15.0	0.0	0.0	0.0	0
W _{Ma}	90.0	0.0	0.0	0.0	0
R _{CIE}	39.92	58.74	27.99	65.07	25
J _{CIE}	81.26	-2.88	71.56	71.62	92
G _{CIE}	52.23	-42.41	13.6	44.55	162
B _{CIE}	30.57	1.41	-46.46	46.49	272

Daten für Maximalfarbe (Ma):

$LAB^*LAB^*_{Ma}$: 35 57 27

$LAB^*LCH^*_{Ma}$: 35 63 25

$lab^*rgb^*_{Ma}$: 1.0 0.0 0.0

$lab^*olv^*_{Ma}$: 1.0 0.0 0.18

Dreiecks-Helligkeit i^*

%Umfang

$u^*_{rel} = 88$

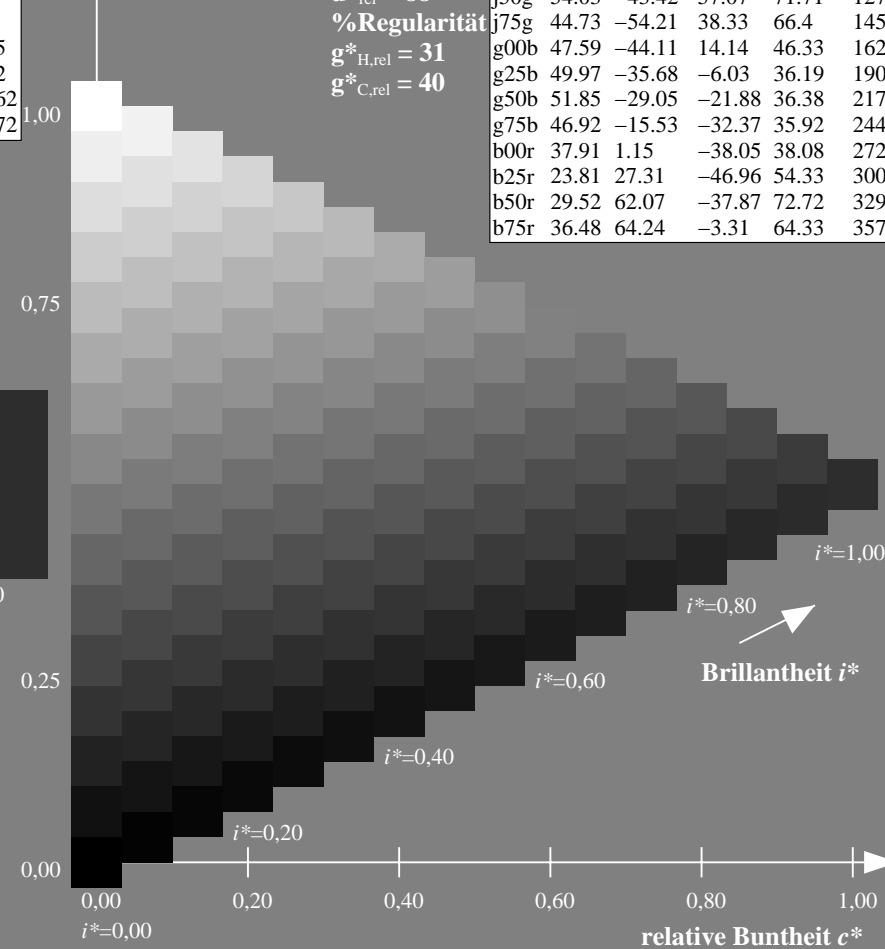
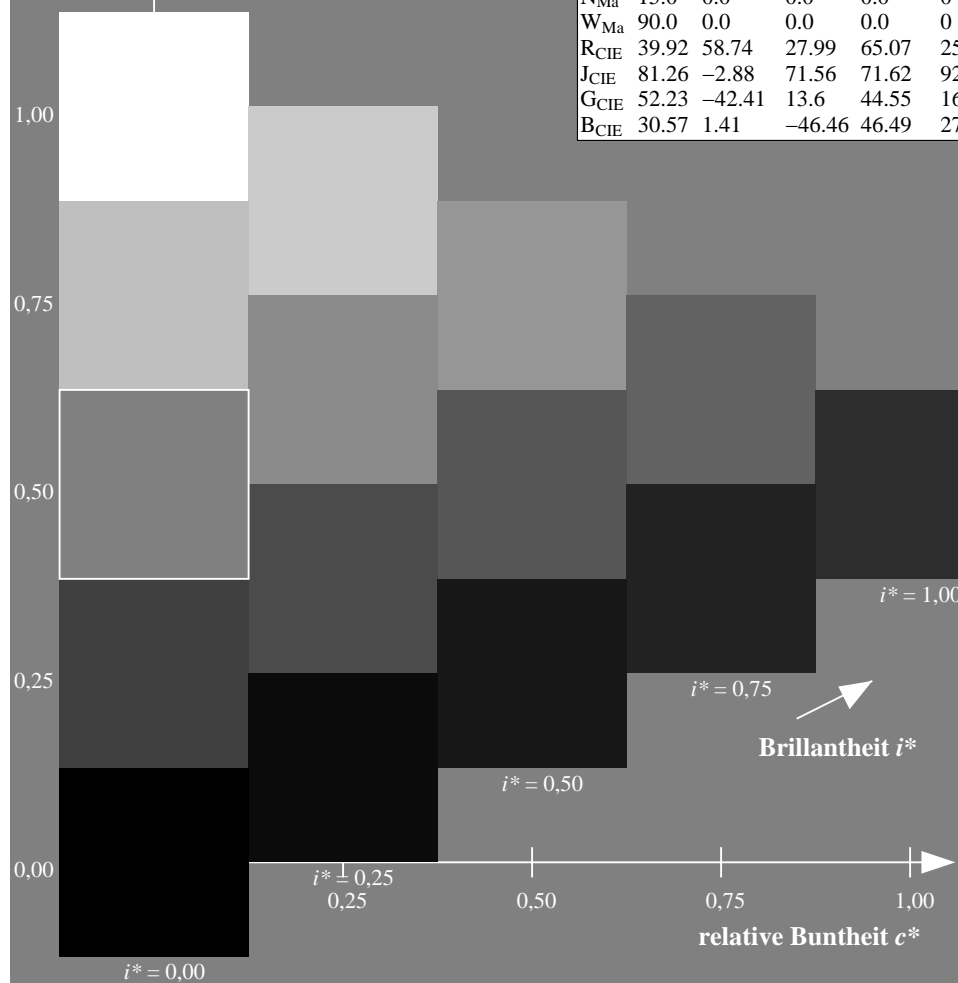
%Regularität

$g^*_{H,rel} = 31$

$g^*_{C,rel} = 40$

FRS15_90a; adaptierte CIELAB-Daten

	$L^*=L^*_a$	a^*_a	b^*_a	$C^*_{ab,a}$	$h^*_{ab,a}$
r00j	35.47	56.92	27.12	63.05	25
r25j	39.12	49.04	44.45	66.19	42
r50j	50.64	35.19	58.33	68.13	59
r75j	64.01	19.11	74.45	76.87	76
j00g	83.18	-3.93	97.56	97.64	92
j25g	66.73	-26.86	74.66	79.35	110
j50g	54.03	-43.42	57.07	71.71	127
j75g	44.73	-54.21	38.33	66.4	145
g00b	47.59	-44.11	14.14	46.33	162
g25b	49.97	-35.68	-6.03	36.19	190
g50b	51.85	-29.05	-21.88	36.38	217
g75b	46.92	-15.53	-32.37	35.92	244
b00r	37.91	1.15	-38.05	38.08	272
b25r	23.81	27.31	-46.96	54.33	300
b50r	29.52	62.07	-37.87	72.72	329
b75r	36.48	64.24	-3.31	64.33	357



Ein und Ausgabe: Farbmetrisches Drucker-Reflektiv-System FRS15_90a für relativen CIELAB-Buntton $h^* = lab^*h^* = h_{ab}/360 = 42/360 = 0.117$

Daten für jede Farbe:

lab^*ch^* und lab^*icu^*

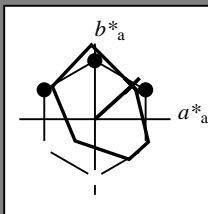
Elementar-Bunttontext:

$u^* = r25j$

Kontrastreduzierungsfaktor:

$c_R = 0.9$

Dreiecks-Helligkeit i^*



FRS15_90a; adaptierte CIELAB-Daten

	$L^*=L_a^*$	a_a^*	b_a^*	$C_{ab,a}^*$	$h_{ab,a}^*$
O _{Ma}	35.06	53.93	39.55	66.88	36
Y _{Ma}	83.77	-4.63	98.26	98.37	93
L _{Ma}	44.13	-56.32	43.36	71.09	142
C _{Ma}	52.66	-26.18	-28.74	38.89	228
V _{Ma}	14.15	45.22	-53.06	69.72	310
M _{Ma}	37.37	70.69	-30.1	76.83	337
N _{Ma}	15.0	0.0	0.0	0.0	0
W _{Ma}	90.0	0.0	0.0	0.0	0
R _{CIE}	39.92	58.74	27.99	65.07	25
J _{CIE}	81.26	-2.88	71.56	71.62	92
G _{CIE}	52.23	-42.41	13.6	44.55	162
B _{CIE}	30.57	1.41	-46.46	46.49	272

Daten für Maximalfarbe (Ma):

LAB^*LAB^*Ma : 39 49 44

LAB^*LCH^*Ma : 39 66 42

lab^*rgb^*Ma : 1.0 0.25 0.0

lab^*olv^*Ma : 1.0 0.08 0.0

Dreiecks-Helligkeit i^*

%Umfang

$u^*_{rel} = 88$

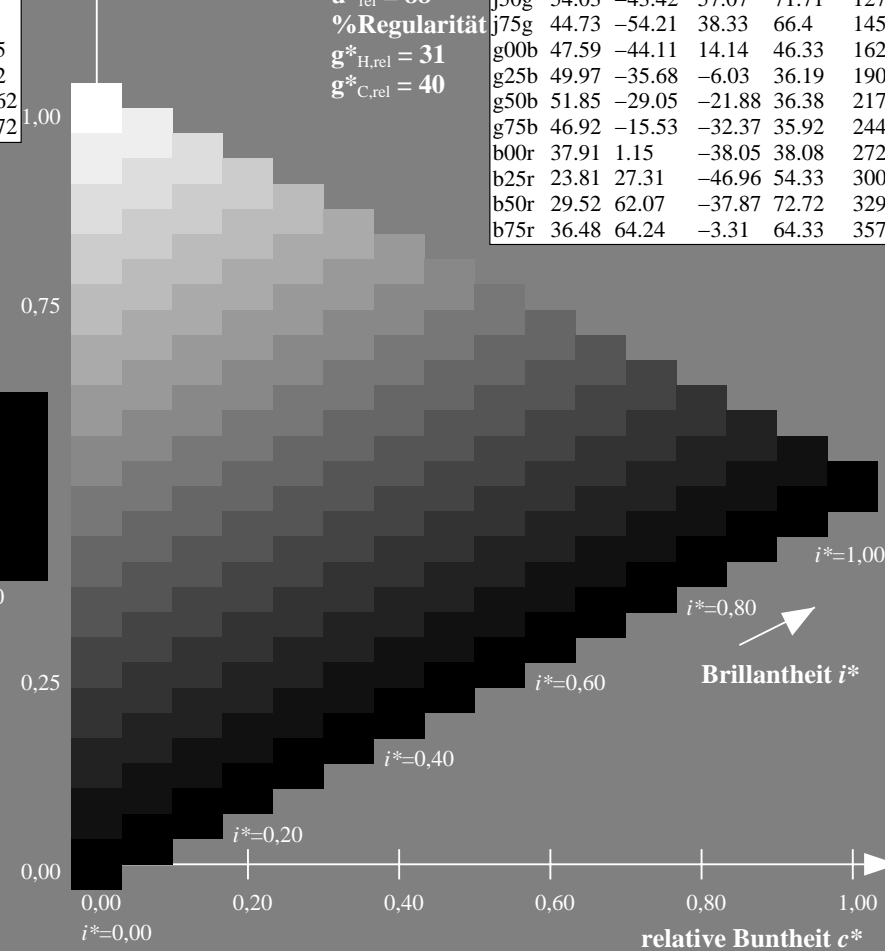
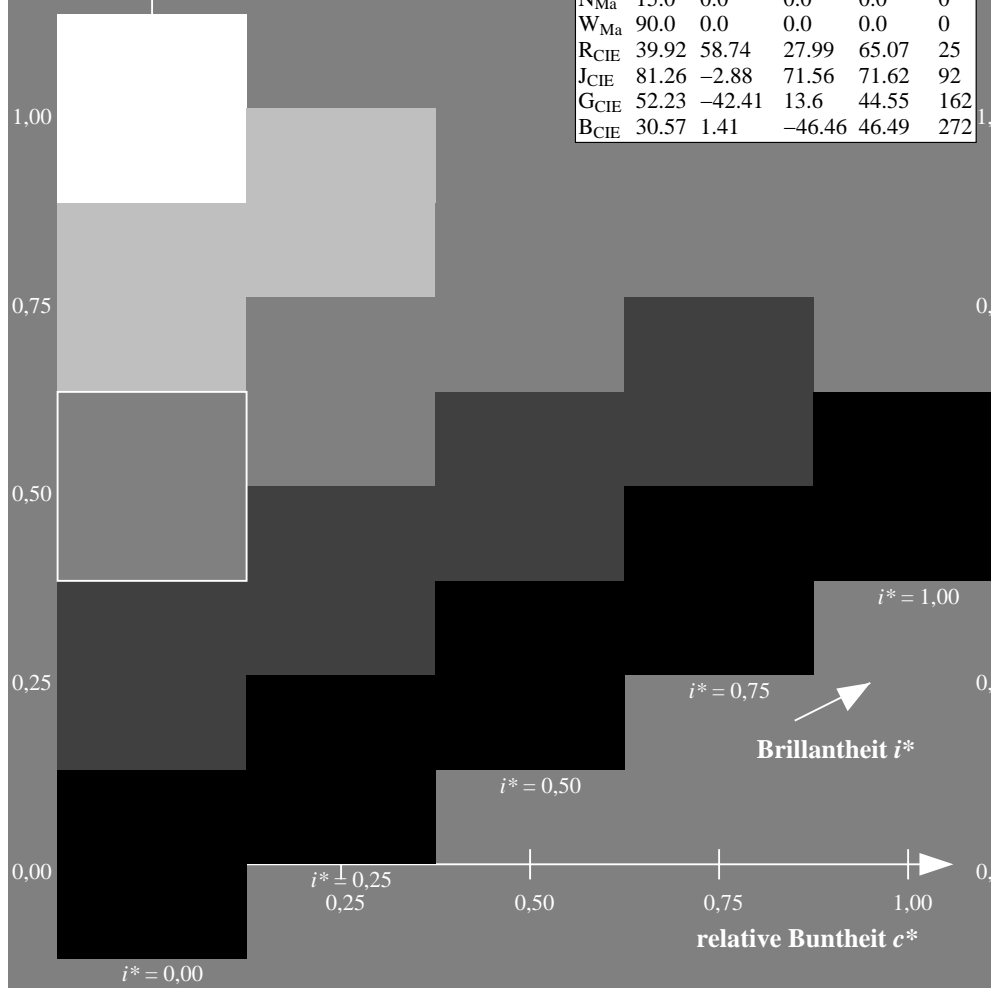
%Regularität

$g^*_{H,rel} = 31$

$g^*_{C,rel} = 40$

FRS15_90a; adaptierte CIELAB-Daten

	$L^*=L_a^*$	a_a^*	b_a^*	$C_{ab,a}^*$	$h_{ab,a}^*$
r00j	35.47	56.92	27.12	63.05	25
r25j	39.12	49.04	44.45	66.19	42
r50j	50.64	35.19	58.33	68.13	59
r75j	64.01	19.11	74.45	76.87	76
j00g	83.18	-3.93	97.56	97.64	92
j25g	66.73	-26.86	74.66	79.35	110
j50g	54.03	-43.42	57.07	71.71	127
j75g	44.73	-54.21	38.33	66.4	145
g00b	47.59	-44.11	14.14	46.33	162
g25b	49.97	-35.68	-6.03	36.19	190
g50b	51.85	-29.05	-21.88	36.38	217
g75b	46.92	-15.53	-32.37	35.92	244
b00r	37.91	1.15	-38.05	38.08	272
b25r	23.81	27.31	-46.96	54.33	300
b50r	29.52	62.07	-37.87	72.72	329
b75r	36.48	64.24	-3.31	64.33	357



Ein und Ausgabe: Farbmetrisches Drucker-Reflektiv-System FRS15_90a für relativen CIELAB-Buntton $h^* = lab^*h^* = h_{ab}/360 = 59/360 = 0.164$

Daten für jede Farbe:

lab^*tch^* und lab^*icu^*

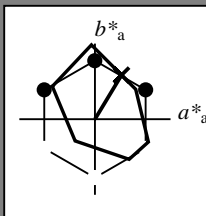
Elementar-Bunttoncontext:

$u^* = r50j$

Kontrastreduzierungsfaktor:

$c_R = 0.9$

Dreiecks-Helligkeit i^*



FRS15_90a; adaptierte CIELAB-Daten

	$L^*=L^*_a$	a^*_a	b^*_a	$C^*_{ab,a}$	$h^*_{ab,a}$
O _{Ma}	35.06	53.93	39.55	66.88	36
Y _{Ma}	83.77	-4.63	98.26	98.37	93
L _{Ma}	44.13	-56.32	43.36	71.09	142
C _{Ma}	52.66	-26.18	-28.74	38.89	228
V _{Ma}	14.15	45.22	-53.06	69.72	310
M _{Ma}	37.37	70.69	-30.1	76.83	337
N _{Ma}	15.0	0.0	0.0	0.0	0
W _{Ma}	90.0	0.0	0.0	0.0	0
R _{CIE}	39.92	58.74	27.99	65.07	25
J _{CIE}	81.26	-2.88	71.56	71.62	92
G _{CIE}	52.23	-42.41	13.6	44.55	162
B _{CIE}	30.57	1.41	-46.46	46.49	272

Daten für Maximalfarbe (Ma):

$LAB^*LAB^*_{Ma}$: 51 35 58

$LAB^*LCH^*_{Ma}$: 51 68 59

$lab^*rgb^*_{Ma}$: 1.0 0.5 0.0

$lab^*olv^*_{Ma}$: 1.0 0.32 0.0

Dreiecks-Helligkeit i^*

%Umfang

$u^*_{rel} = 88$

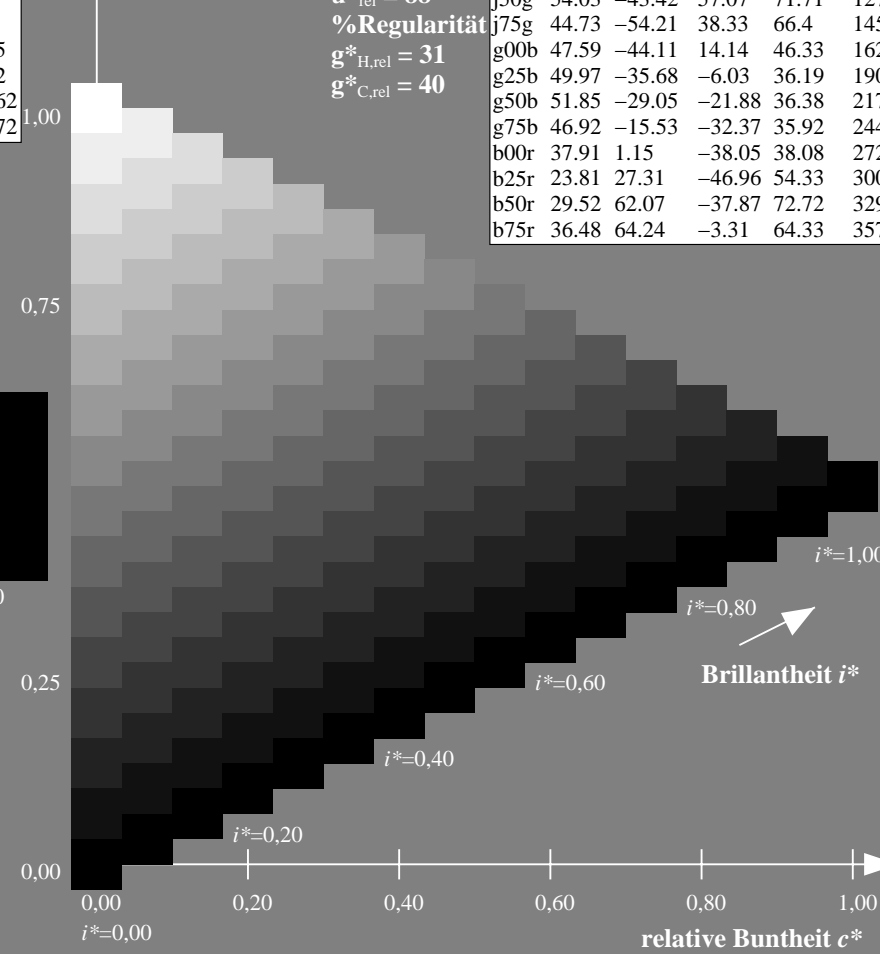
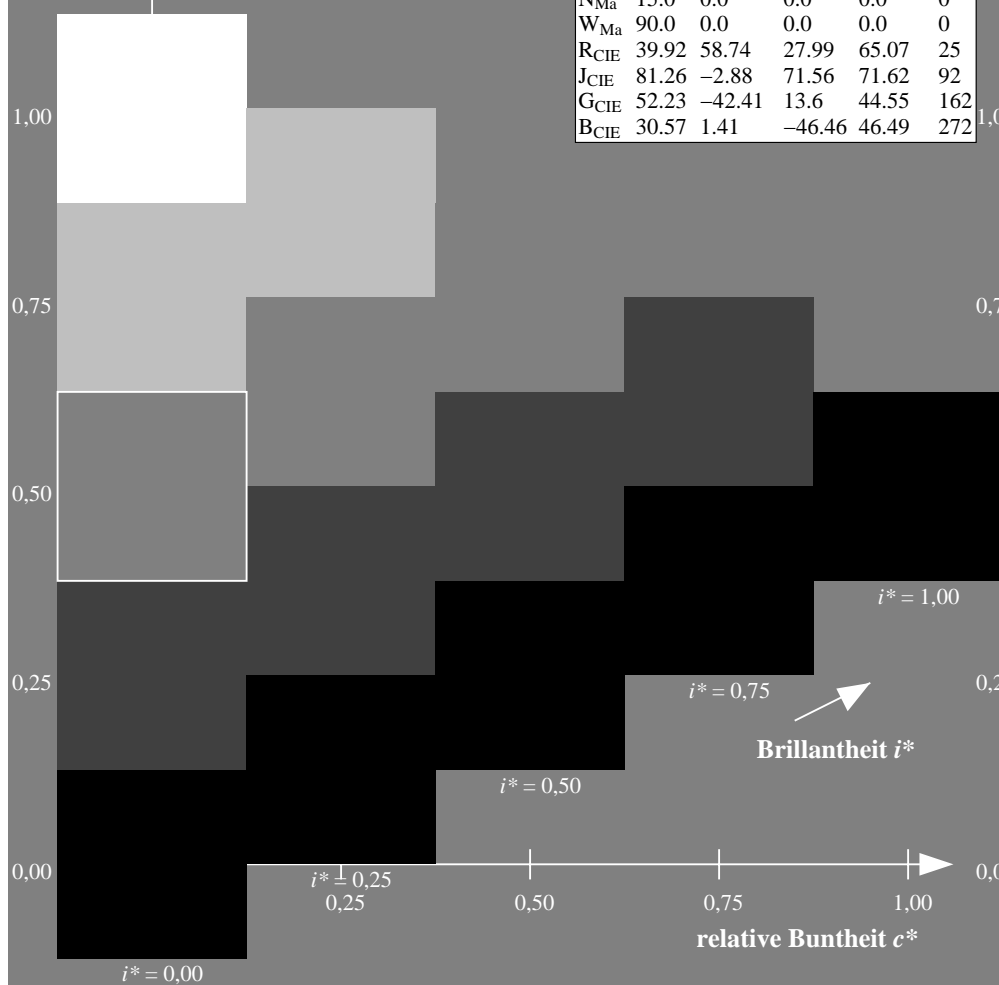
%Regularität

$g^*_{H,rel} = 31$

$g^*_{C,rel} = 40$

FRS15_90a; adaptierte CIELAB-Daten

	$L^*=L^*_a$	a^*_a	b^*_a	$C^*_{ab,a}$	$h^*_{ab,a}$
r00j	35.47	56.92	27.12	63.05	25
r25j	39.12	49.04	44.45	66.19	42
r50j	50.64	35.19	58.33	68.13	59
r75j	64.01	19.11	74.45	76.87	76
j00g	83.18	-3.93	97.56	97.64	92
j25g	66.73	-26.86	74.66	79.35	110
j50g	54.03	-43.42	57.07	71.71	127
j75g	44.73	-54.21	38.33	66.4	145
g00b	47.59	-44.11	14.14	46.33	162
g25b	49.97	-35.68	-6.03	36.19	190
g50b	51.85	-29.05	-21.88	36.38	217
g75b	46.92	-15.53	-32.37	35.92	244
b00r	37.91	1.15	-38.05	38.08	272
b25r	23.81	27.31	-46.96	54.33	300
b50r	29.52	62.07	-37.87	72.72	329
b75r	36.48	64.24	-3.31	64.33	357



Ein und Ausgabe: Farbmetrisches Drucker-Reflektiv-System FRS15_90a für relativen CIELAB-Buntton $h^* = lab^*h^* = h_{ab}/360 = 76/360 = 0.21$

Daten für jede Farbe:

lab^*tch^* und lab^*icu^*

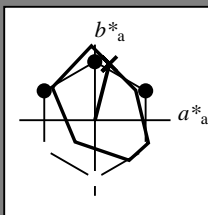
Elementar-Bunttoncontext:

$u^* = r75j$

Kontrastreduzierungsfaktor:

$c_R = 0.9$

Dreiecks-Helligkeit t^*



FRS15_90a; adaptierte CIELAB-Daten

	$L^*=L^*_a$	a^*_a	b^*_a	$C^*_{ab,a}$	$h^*_{ab,a}$
O _{Ma}	35.06	53.93	39.55	66.88	36
Y _{Ma}	83.77	-4.63	98.26	98.37	93
L _{Ma}	44.13	-56.32	43.36	71.09	142
C _{Ma}	52.66	-26.18	-28.74	38.89	228
V _{Ma}	14.15	45.22	-53.06	69.72	310
M _{Ma}	37.37	70.69	-30.1	76.83	337
N _{Ma}	15.0	0.0	0.0	0.0	0
W _{Ma}	90.0	0.0	0.0	0.0	0
R _{CIE}	39.92	58.74	27.99	65.07	25
J _{CIE}	81.26	-2.88	71.56	71.62	92
G _{CIE}	52.23	-42.41	13.6	44.55	162
B _{CIE}	30.57	1.41	-46.46	46.49	272

Daten für Maximalfarbe (Ma):

$LAB^*LAB^*_{Ma}$: 64 19 74

$LAB^*LCH^*_{Ma}$: 64 77 76

$lab^*rgb^*_{Ma}$: 1.0 0.75 0.0

$lab^*olv^*_{Ma}$: 1.0 0.59 0.0

Dreiecks-Helligkeit t^*

%Umfang

$u^*_{rel} = 88$

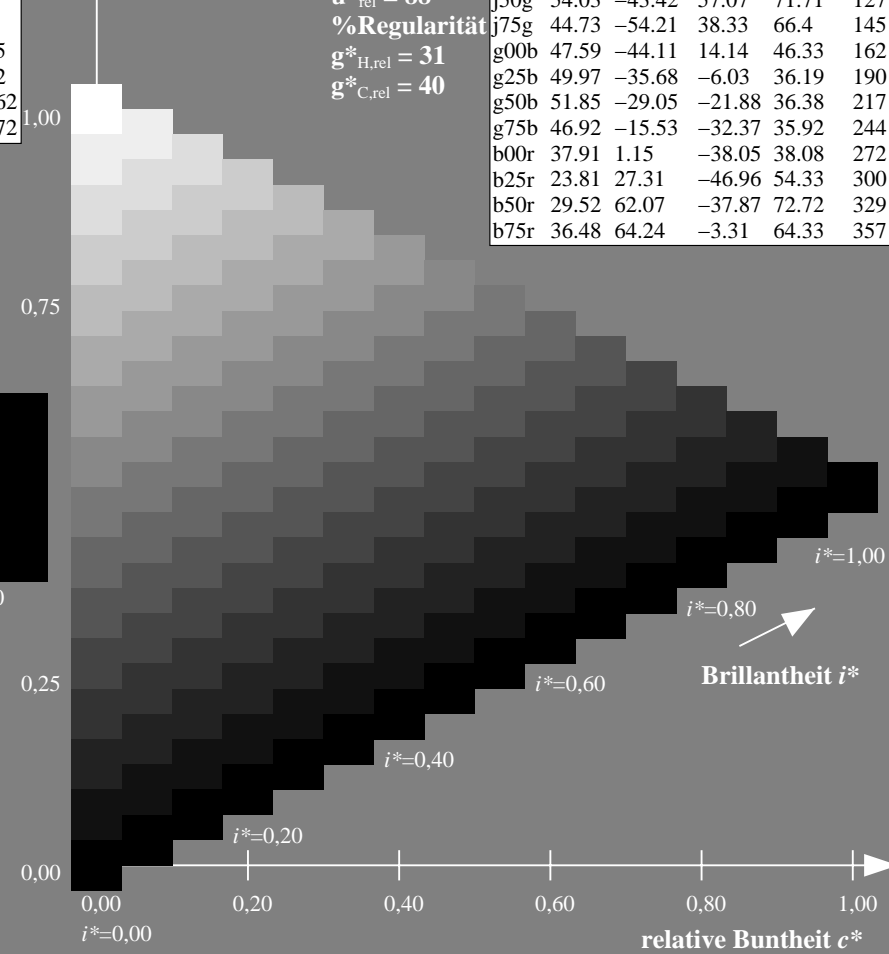
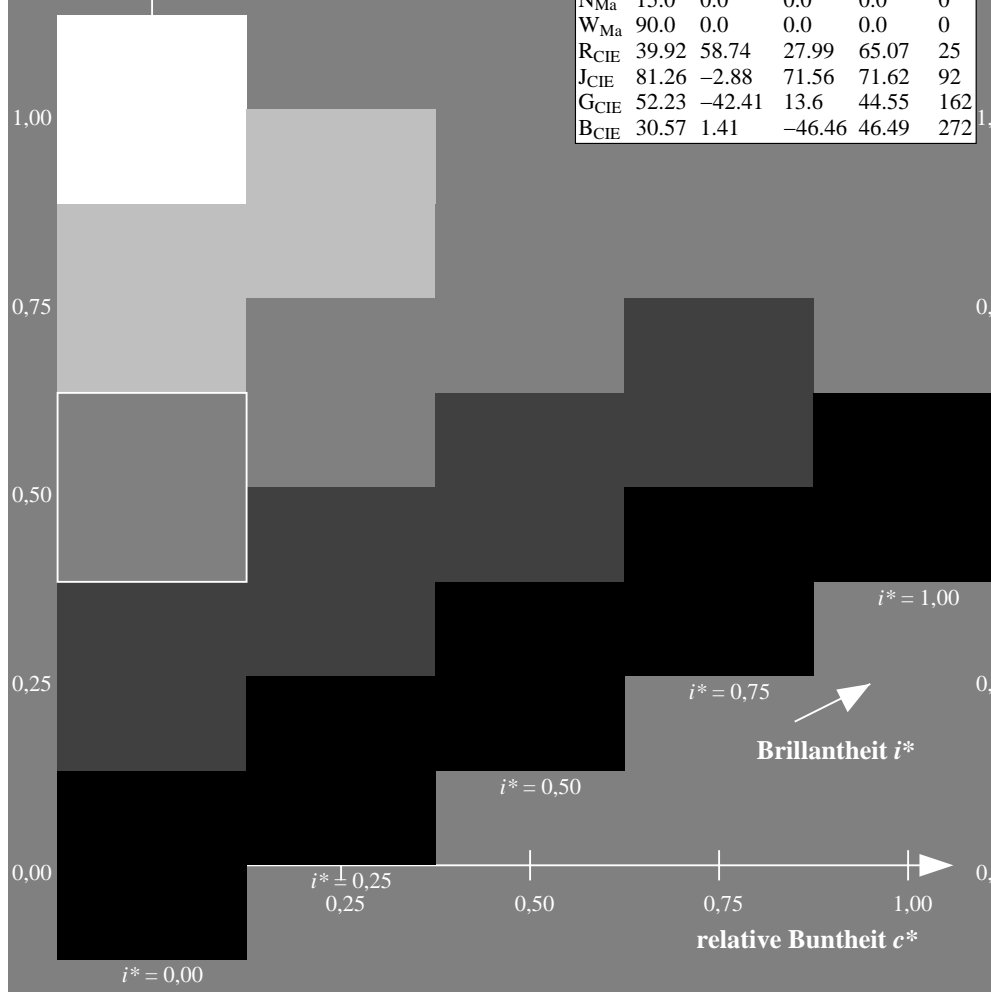
%Regularität

$g^*_{H,rel} = 31$

$g^*_{C,rel} = 40$

FRS15_90a; adaptierte CIELAB-Daten

	$L^*=L^*_a$	a^*_a	b^*_a	$C^*_{ab,a}$	$h^*_{ab,a}$
r00j	35.47	56.92	27.12	63.05	25
r25j	39.12	49.04	44.45	66.19	42
r50j	50.64	35.19	58.33	68.13	59
r75j	64.01	19.11	74.45	76.87	76
j00g	83.18	-3.93	97.56	97.64	92
j25g	66.73	-26.86	74.66	79.35	110
j50g	54.03	-43.42	57.07	71.71	127
j75g	44.73	-54.21	38.33	66.4	145
g00b	47.59	-44.11	14.14	46.33	162
g25b	49.97	-35.68	-6.03	36.19	190
g50b	51.85	-29.05	-21.88	36.38	217
g75b	46.92	-15.53	-32.37	35.92	244
b00r	37.91	1.15	-38.05	38.08	272
b25r	23.81	27.31	-46.96	54.33	300
b50r	29.52	62.07	-37.87	72.72	329
b75r	36.48	64.24	-3.31	64.33	357



Ein und Ausgabe: Farbmetrisches Drucker-Reflektiv-System FRS15_90a für relativen CIELAB-Buntton $h^* = lab^*h^* = h_{ab}/360 = 92/360 = 0.256$

Daten für jede Farbe:

lab^*ch^* und lab^*icu^*

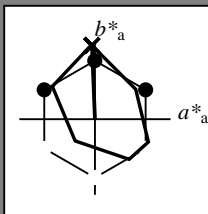
Elementar-Bunttoncontext:

$u^* = j00g$

Kontrastreduzierungsfaktor:

$c_R = 0.9$

Dreiecks-Helligkeit i^*



FRS15_90a; adaptierte CIELAB-Daten

	$L^*=L^*_a$	a^*_a	b^*_a	$C^*_{ab,a}$	$h^*_{ab,a}$
O _{Ma}	35.06	53.93	39.55	66.88	36
Y _{Ma}	83.77	-4.63	98.26	98.37	93
L _{Ma}	44.13	-56.32	43.36	71.09	142
C _{Ma}	52.66	-26.18	-28.74	38.89	228
V _{Ma}	14.15	45.22	-53.06	69.72	310
M _{Ma}	37.37	70.69	-30.1	76.83	337
N _{Ma}	15.0	0.0	0.0	0.0	0
W _{Ma}	90.0	0.0	0.0	0.0	0
R _{CIE}	39.92	58.74	27.99	65.07	25
J _{CIE}	81.26	-2.88	71.56	71.62	92
G _{CIE}	52.23	-42.41	13.6	44.55	162
B _{CIE}	30.57	1.41	-46.46	46.49	272

Daten für Maximalfarbe (Ma):

$LAB^*LAB^*_{Ma}$: 83 -3 98

$LAB^*LCH^*_{Ma}$: 83 98 92

$lab^*rgb^*_{Ma}$: 1.0 1.0 0.0

$lab^*olv^*_{Ma}$: 1.0 0.99 0.0

Dreiecks-Helligkeit i^*

%Umfang

$u^*_{rel} = 88$

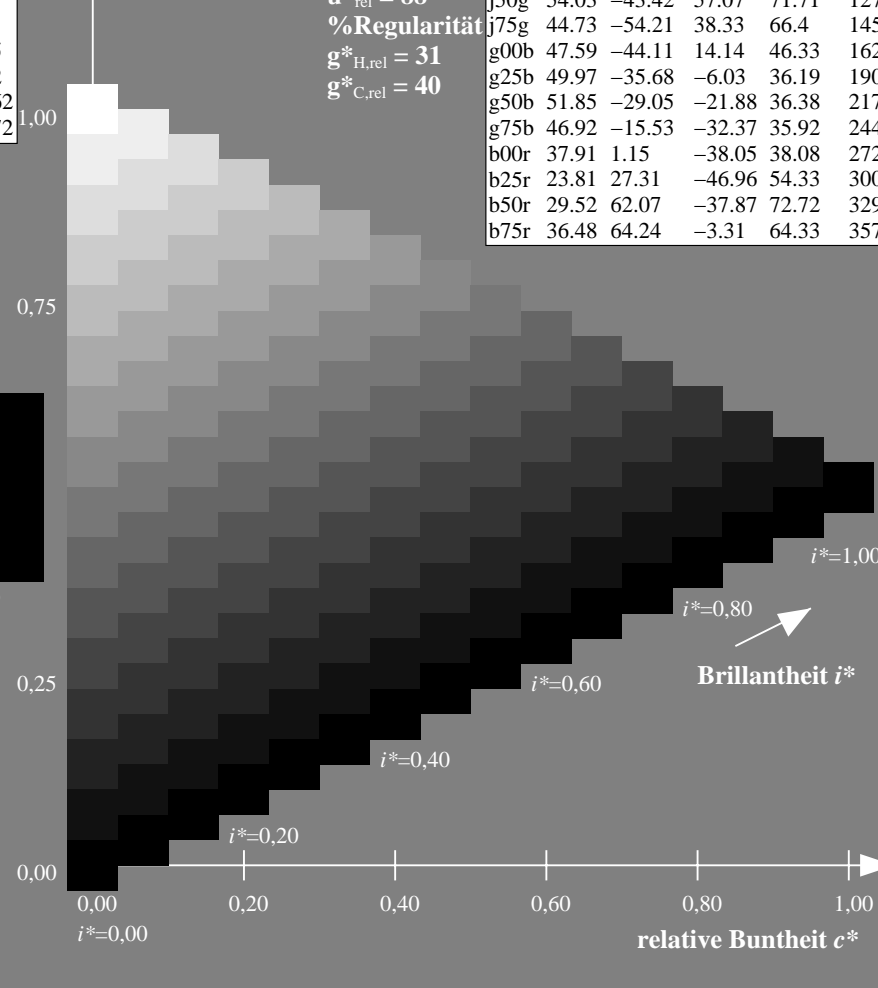
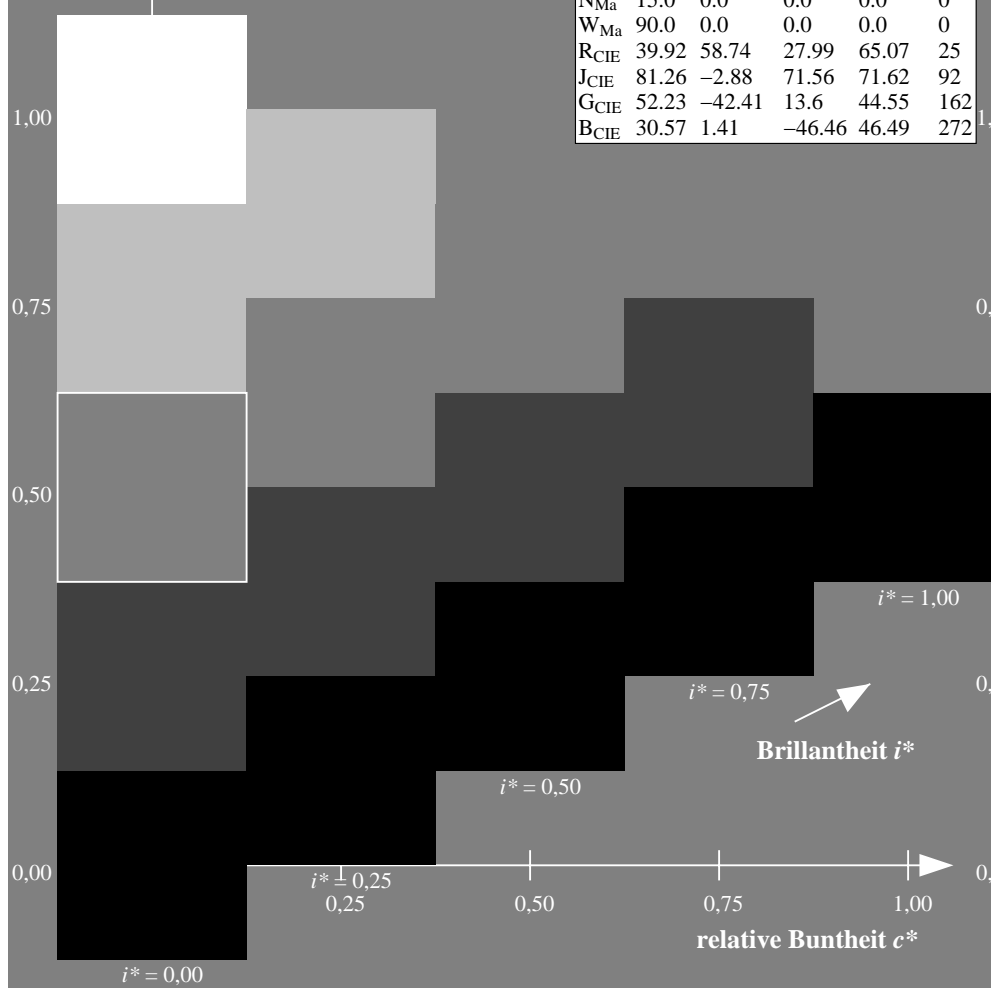
%Regularität

$g^*_{H,rel} = 31$

$g^*_{C,rel} = 40$

FRS15_90a; adaptierte CIELAB-Daten

	$L^*=L^*_a$	a^*_a	b^*_a	$C^*_{ab,a}$	$h^*_{ab,a}$
r00j	35.47	56.92	27.12	63.05	25
r25j	39.12	49.04	44.45	66.19	42
r50j	50.64	35.19	58.33	68.13	59
r75j	64.01	19.11	74.45	76.87	76
j00g	83.18	-3.93	97.56	97.64	92
j25g	66.73	-26.86	74.66	79.35	110
j50g	54.03	-43.42	57.07	71.71	127
j75g	44.73	-54.21	38.33	66.4	145
g00b	47.59	-44.11	14.14	46.33	162
g25b	49.97	-35.68	-6.03	36.19	190
g50b	51.85	-29.05	-21.88	36.38	217
g75b	46.92	-15.53	-32.37	35.92	244
b00r	37.91	1.15	-38.05	38.08	272
b25r	23.81	27.31	-46.96	54.33	300
b50r	29.52	62.07	-37.87	72.72	329
b75r	36.48	64.24	-3.31	64.33	357



Ein und Ausgabe: Farbmetrisches Drucker-Reflektiv-System FRS15_90a für relativen CIELAB-Buntton $h^* = lab^*h^* = h_{ab}/360 = 110/360 = 0.305$

Daten für jede Farbe:

lab^*ch^* und lab^*icu^*

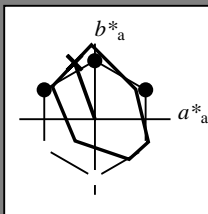
Elementar-Bunttoncontext:

$u^* = j25g$

Kontrastreduzierungsfaktor:

$c_R = 0.9$

Dreiecks-Helligkeit i^*



FRS15_90a; adaptierte CIELAB-Daten

	$L^*=L^*_a$	a^*_a	b^*_a	$C^*_{ab,a}$	$h^*_{ab,a}$
O _{Ma}	35.06	53.93	39.55	66.88	36
Y _{Ma}	83.77	-4.63	98.26	98.37	93
L _{Ma}	44.13	-56.32	43.36	71.09	142
C _{Ma}	52.66	-26.18	-28.74	38.89	228
V _{Ma}	14.15	45.22	-53.06	69.72	310
M _{Ma}	37.37	70.69	-30.1	76.83	337
N _{Ma}	15.0	0.0	0.0	0.0	0
W _{Ma}	90.0	0.0	0.0	0.0	0
R _{CIE}	39.92	58.74	27.99	65.07	25
J _{CIE}	81.26	-2.88	71.56	71.62	92
G _{CIE}	52.23	-42.41	13.6	44.55	162
B _{CIE}	30.57	1.41	-46.46	46.49	272

Daten für Maximalfarbe (Ma):

$LAB^*LAB^*_{Ma}$: 67 -26 75

$LAB^*LCH^*_{Ma}$: 67 79 110

$lab^*rgb^*_{Ma}$: 0.75 1.0 0.0

$lab^*olv^*_{Ma}$: 0.57 1.0 0.0

Dreiecks-Helligkeit i^*

%Umfang

$u^*_{rel} = 88$

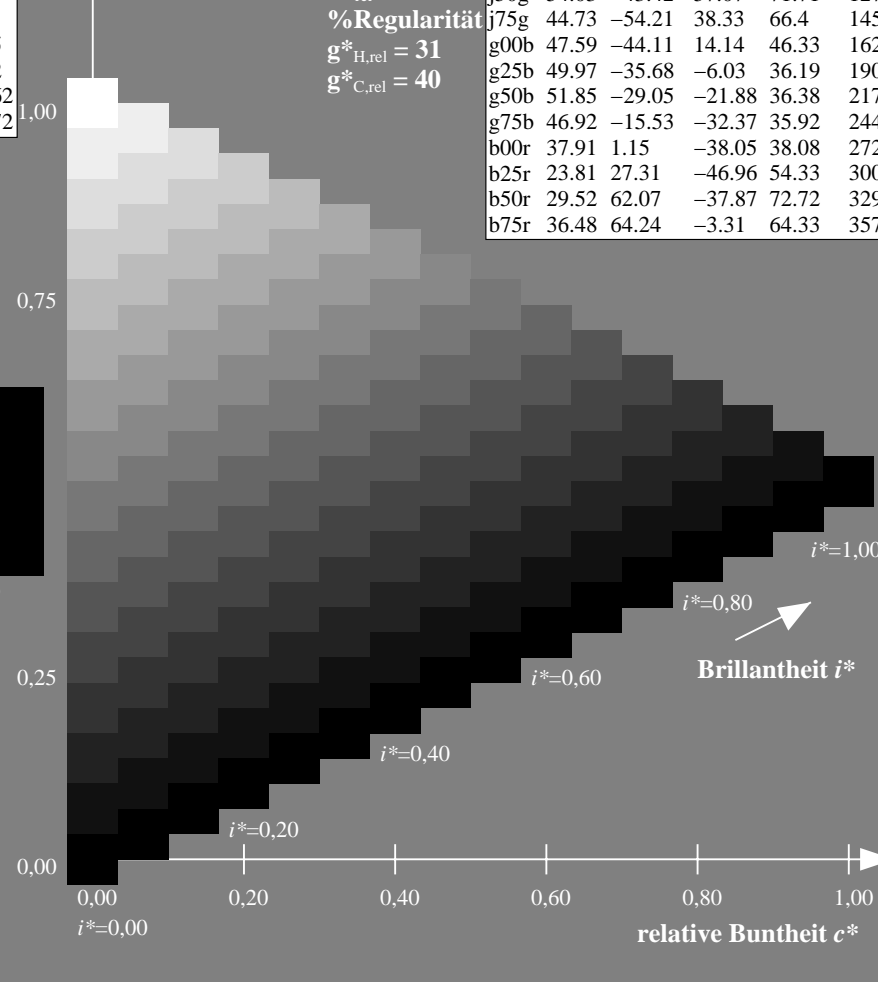
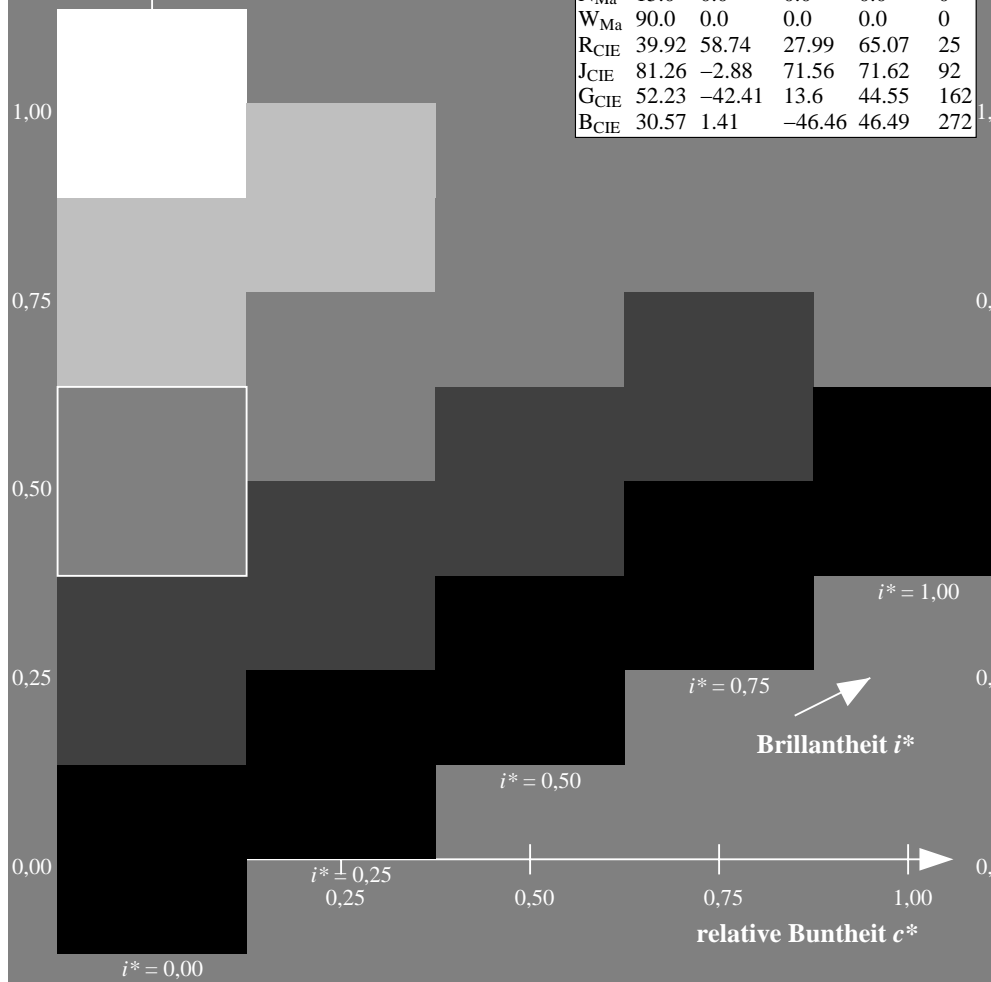
%Regularität

$g^*_{H,rel} = 31$

$g^*_{C,rel} = 40$

FRS15_90a; adaptierte CIELAB-Daten

	$L^*=L^*_a$	a^*_a	b^*_a	$C^*_{ab,a}$	$h^*_{ab,a}$
r00j	35.47	56.92	27.12	63.05	25
r25j	39.12	49.04	44.45	66.19	42
r50j	50.64	35.19	58.33	68.13	59
r75j	64.01	19.11	74.45	76.87	76
j00g	83.18	-3.93	97.56	97.64	92
j25g	66.73	-26.86	74.66	79.35	110
j50g	54.03	-43.42	57.07	71.71	127
j75g	44.73	-54.21	38.33	66.4	145
g00b	47.59	-44.11	14.14	46.33	162
g25b	49.97	-35.68	-6.03	36.19	190
g50b	51.85	-29.05	-21.88	36.38	217
g75b	46.92	-15.53	-32.37	35.92	244
b00r	37.91	1.15	-38.05	38.08	272
b25r	23.81	27.31	-46.96	54.33	300
b50r	29.52	62.07	-37.87	72.72	329
b75r	36.48	64.24	-3.31	64.33	357



Ein und Ausgabe: Farbmetrisches Drucker-Reflektiv-System FRS15_90a für relativen CIELAB-Buntton $h^* = lab^*h^* = h_{ab}/360 = 127/360 = 0.354$

Daten für jede Farbe:

lab^*ch^* und lab^*icu^*

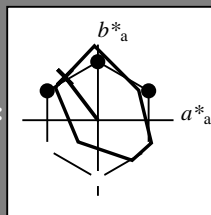
Elementar-Bunttontext:

$u^* = j50g$

Kontrastreduzierungsfaktor:

$c_R = 0.9$

Dreiecks-Helligkeit i^*



FRS15_90a; adaptierte CIELAB-Daten

	$L^*=L_a^*$	a_a^*	b_a^*	$C_{ab,a}^*$	$h_{ab,a}^*$
O _{Ma}	35.06	53.93	39.55	66.88	36
Y _{Ma}	83.77	-4.63	98.26	98.37	93
L _{Ma}	44.13	-56.32	43.36	71.09	142
C _{Ma}	52.66	-26.18	-28.74	38.89	228
V _{Ma}	14.15	45.22	-53.06	69.72	310
M _{Ma}	37.37	70.69	-30.1	76.83	337
N _{Ma}	15.0	0.0	0.0	0.0	0
W _{Ma}	90.0	0.0	0.0	0.0	0
R _{CIE}	39.92	58.74	27.99	65.07	25
J _{CIE}	81.26	-2.88	71.56	71.62	92
G _{CIE}	52.23	-42.41	13.6	44.55	162
B _{CIE}	30.57	1.41	-46.46	46.49	272

Daten für Maximalfarbe (Ma):

$LAB^*LAB^*_{Ma}$: 54 -42 57

$LAB^*LCH^*_{Ma}$: 54 72 127

$lab^*rgb^*_{Ma}$: 0.5 1.0 0.0

$lab^*olv^*_{Ma}$: 0.25 1.0 0.0

Dreiecks-Helligkeit i^*

%Umfang

$u^*_{rel} = 88$

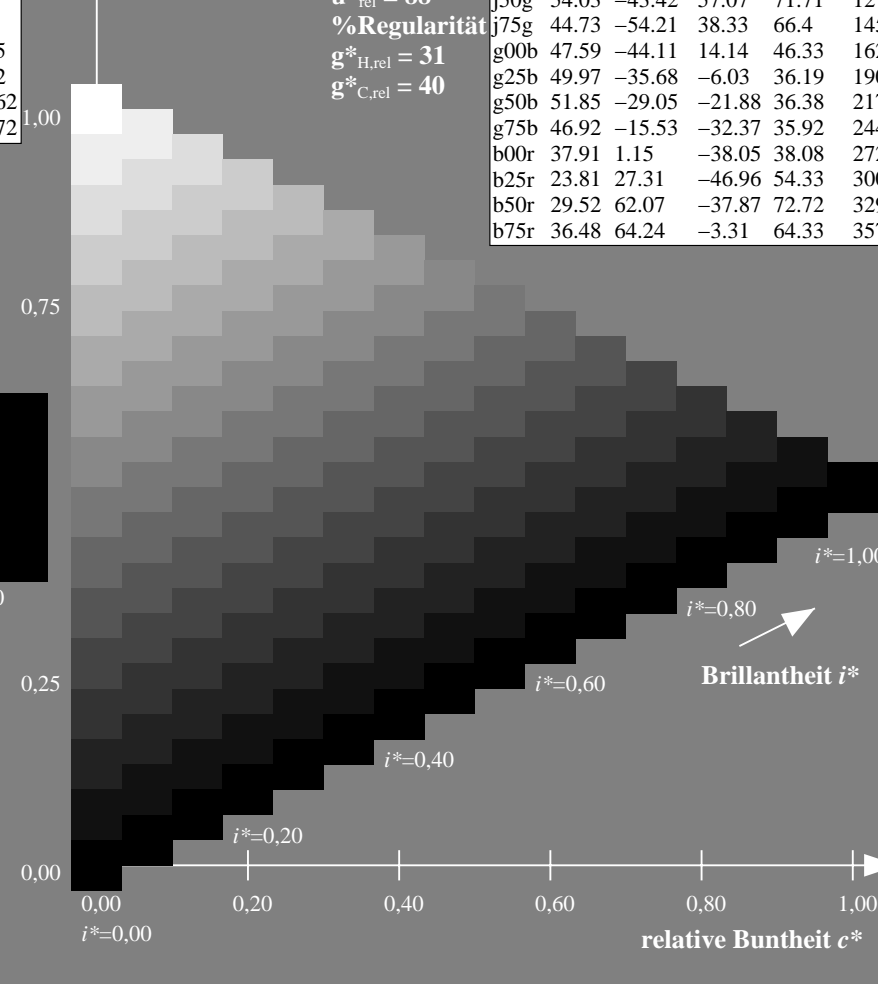
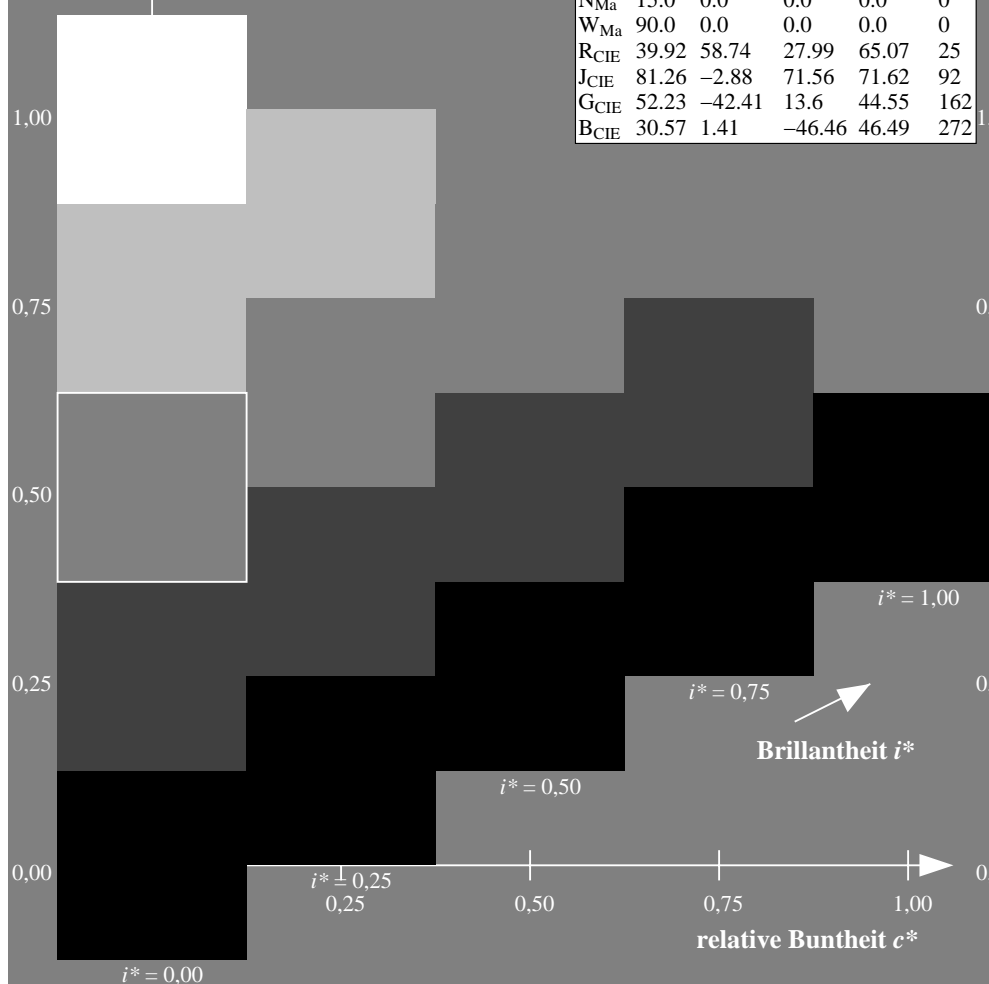
%Regularität

$g^*_{H,rel} = 31$

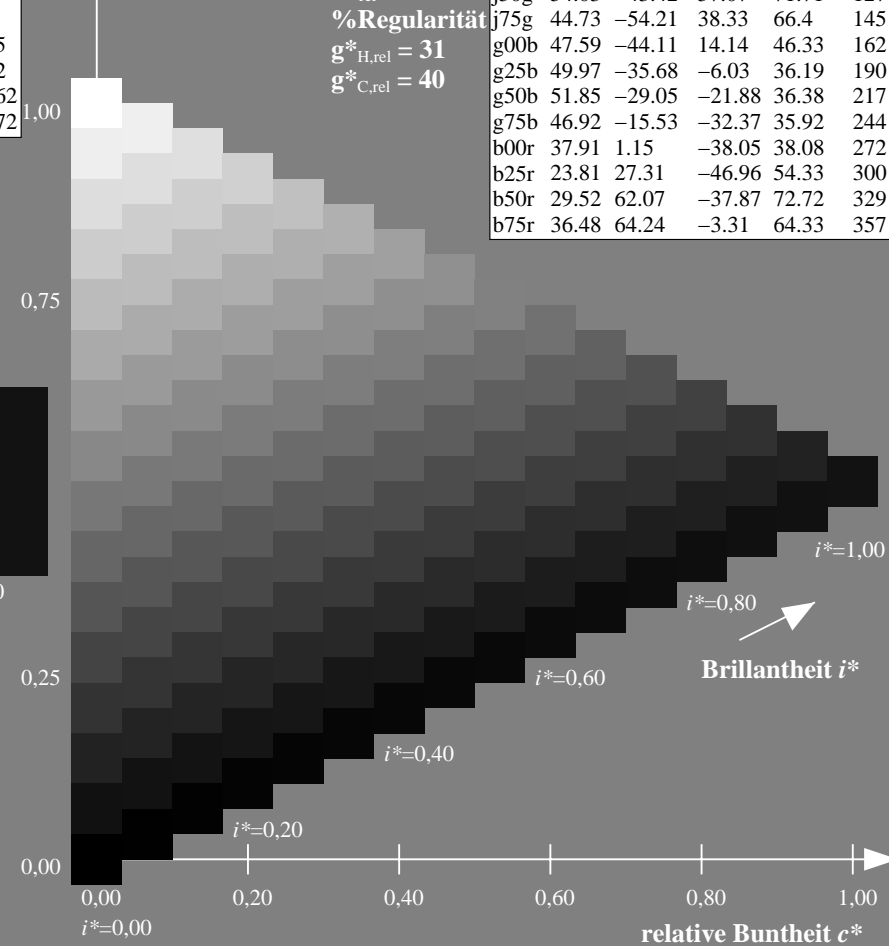
$g^*_{C,rel} = 40$

FRS15_90a; adaptierte CIELAB-Daten

	$L^*=L_a^*$	a_a^*	b_a^*	$C_{ab,a}^*$	$h_{ab,a}^*$
r00j	35.47	56.92	27.12	63.05	25
r25j	39.12	49.04	44.45	66.19	42
r50j	50.64	35.19	58.33	68.13	59
r75j	64.01	19.11	74.45	76.87	76
j00g	83.18	-3.93	97.56	97.64	92
j25g	66.73	-26.86	74.66	79.35	110
j50g	54.03	-43.42	57.07	71.71	127
j75g	44.73	-54.21	38.33	66.4	145
g00b	47.59	-44.11	14.14	46.33	162
g25b	49.97	-35.68	-6.03	36.19	190
g50b	51.85	-29.05	-21.88	36.38	217
g75b	46.92	-15.53	-32.37	35.92	244
b00r	37.91	1.15	-38.05	38.08	272
b25r	23.81	27.31	-46.96	54.33	300
b50r	29.52	62.07	-37.87	72.72	329
b75r	36.48	64.24	-3.31	64.33	357



100


$$g^*_{C,rel} = 40$$


Eingabe: 000n / w / nnn0 / www set...
Ausgabe: ->cmyn5* setcmykcolor

BAM-Registrierung: 20080701-Dg71/10L/L71G00NA.PS/.TXTBAM-Material: Code=rha4ta
Anwendung für Beurteilung und Messung von Drucker- oder Monitorsystemen

Ein und Ausgabe: Farbmetrisches Drucker-Reflektiv-System FRS15_90a für relativen CIELAB-Buntton $h^* = lab^*h^* = h_{ab}/360 = 190/360 = 0.527$

Daten für jede Farbe:

lab^*tch^* und lab^*icu^*

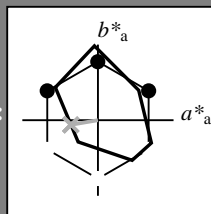
Elementar-Bunttontext:

$u^* = g25b$

Kontrastreduzierungsfaktor:

$c_R = 0.9$

Dreiecks-Helligkeit i^*



FRS15_90a; adaptierte CIELAB-Daten

	$L^*=L_a^*$	a_a^*	b_a^*	$C_{ab,a}^*$	$h_{ab,a}^*$
O _{Ma}	35.06	53.93	39.55	66.88	36
Y _{Ma}	83.77	-4.63	98.26	98.37	93
L _{Ma}	44.13	-56.32	43.36	71.09	142
C _{Ma}	52.66	-26.18	-28.74	38.89	228
V _{Ma}	14.15	45.22	-53.06	69.72	310
M _{Ma}	37.37	70.69	-30.1	76.83	337
N _{Ma}	15.0	0.0	0.0	0.0	0
W _{Ma}	90.0	0.0	0.0	0.0	0
R _{CIE}	39.92	58.74	27.99	65.07	25
J _{CIE}	81.26	-2.88	71.56	71.62	92
G _{CIE}	52.23	-42.41	13.6	44.55	162
B _{CIE}	30.57	1.41	-46.46	46.49	272

Daten für Maximalfarbe (Ma):

$LAB^*LAB^*_{Ma}$: 50 -35 -5

$LAB^*LCH^*_{Ma}$: 50 36 190

$lab^*rgb^*_{Ma}$: 0.0 1.0 0.5

$lab^*olv^*_{Ma}$: 0.0 1.0 0.69

Dreiecks-Helligkeit i^*

%Umfang

$u^*_{rel} = 88$

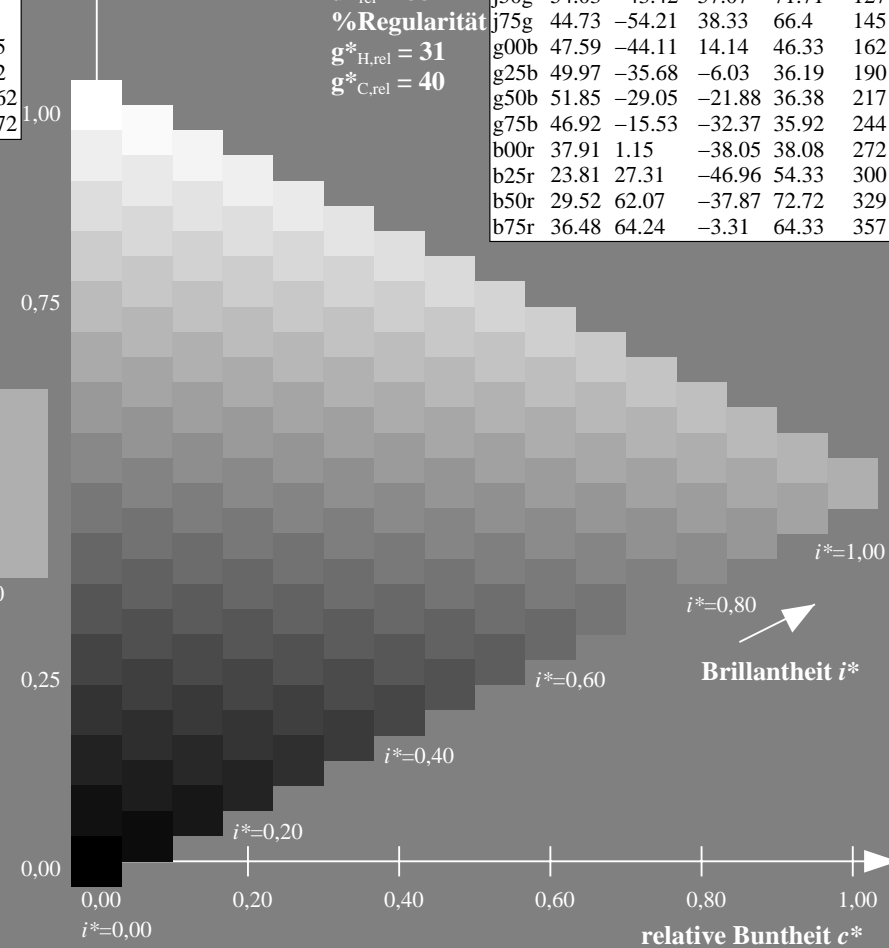
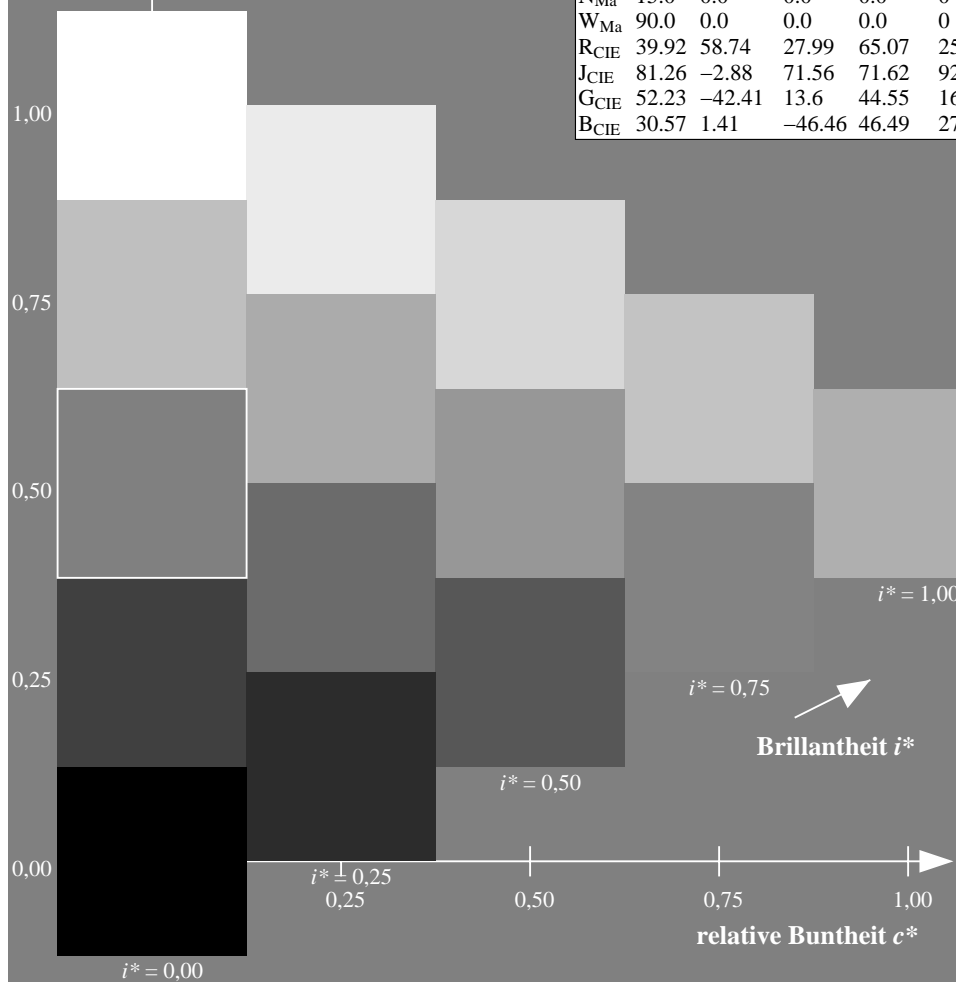
%Regularität

$g^*_{H,rel} = 31$

$g^*_{C,rel} = 40$

FRS15_90a; adaptierte CIELAB-Daten

	$L^*=L_a^*$	a_a^*	b_a^*	$C_{ab,a}^*$	$h_{ab,a}^*$
r00j	35.47	56.92	27.12	63.05	25
r25j	39.12	49.04	44.45	66.19	42
r50j	50.64	35.19	58.33	68.13	59
r75j	64.01	19.11	74.45	76.87	76
j00g	83.18	-3.93	97.56	97.64	92
j25g	66.73	-26.86	74.66	79.35	110
j50g	54.03	-43.42	57.07	71.71	127
j75g	44.73	-54.21	38.33	66.4	145
g00b	47.59	-44.11	14.14	46.33	162
g25b	49.97	-35.68	-6.03	36.19	190
g50b	51.85	-29.05	-21.88	36.38	217
g75b	46.92	-15.53	-32.37	35.92	244
b00r	37.91	1.15	-38.05	38.08	272
b25r	23.81	27.31	-46.96	54.33	300
b50r	29.52	62.07	-37.87	72.72	329
b75r	36.48	64.24	-3.31	64.33	357



Ein und Ausgabe: Farbmetrisches Drucker-Reflektiv-System FRS15_90a für relativen CIELAB-Buntton $h^* = lab^*h^* = h_{ab}/360 = 217/360 = 0.603$

Daten für jede Farbe:

lab^*ch^* und lab^*icu^*

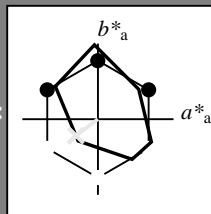
Elementar-Bunttontext:

$u^* = g50b$

Kontrastreduzierungsfaktor:

$c_R = 0.9$

Dreiecks-Helligkeit i^*



FRS15_90a; adaptierte CIELAB-Daten

	$L^*=L_a^*$	a_a^*	b_a^*	$C_{ab,a}^*$	$h_{ab,a}^*$
O _{Ma}	35.06	53.93	39.55	66.88	36
Y _{Ma}	83.77	-4.63	98.26	98.37	93
L _{Ma}	44.13	-56.32	43.36	71.09	142
C _{Ma}	52.66	-26.18	-28.74	38.89	228
V _{Ma}	14.15	45.22	-53.06	69.72	310
M _{Ma}	37.37	70.69	-30.1	76.83	337
N _{Ma}	15.0	0.0	0.0	0.0	0
W _{Ma}	90.0	0.0	0.0	0.0	0
R _{CIE}	39.92	58.74	27.99	65.07	25
J _{CIE}	81.26	-2.88	71.56	71.62	92
G _{CIE}	52.23	-42.41	13.6	44.55	162
B _{CIE}	30.57	1.41	-46.46	46.49	272

Daten für Maximalfarbe (Ma):

$LAB^*LAB^*_{Ma}$: 52 -28 -21

$LAB^*LCH^*_{Ma}$: 52 36 217

$lab^*rgb^*_{Ma}$: 0.0 1.0 1.0

$lab^*olv^*_{Ma}$: 0.0 1.0 0.9

Dreiecks-Helligkeit i^*

%Umfang

$u^*_{rel} = 88$

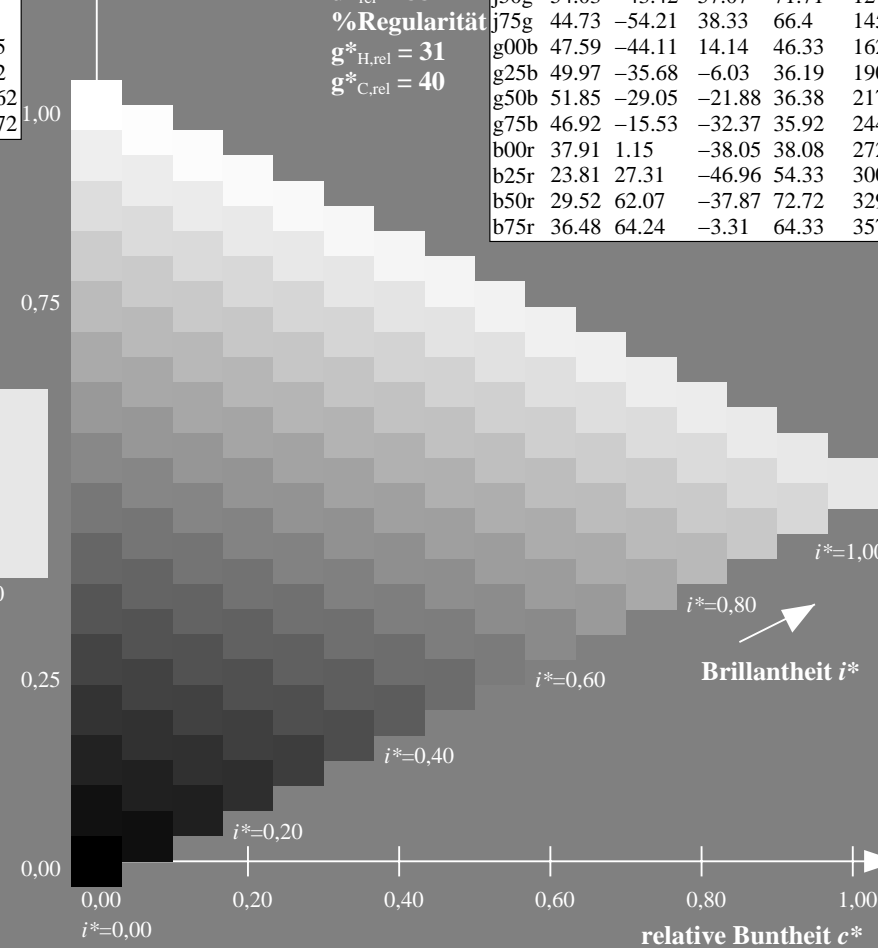
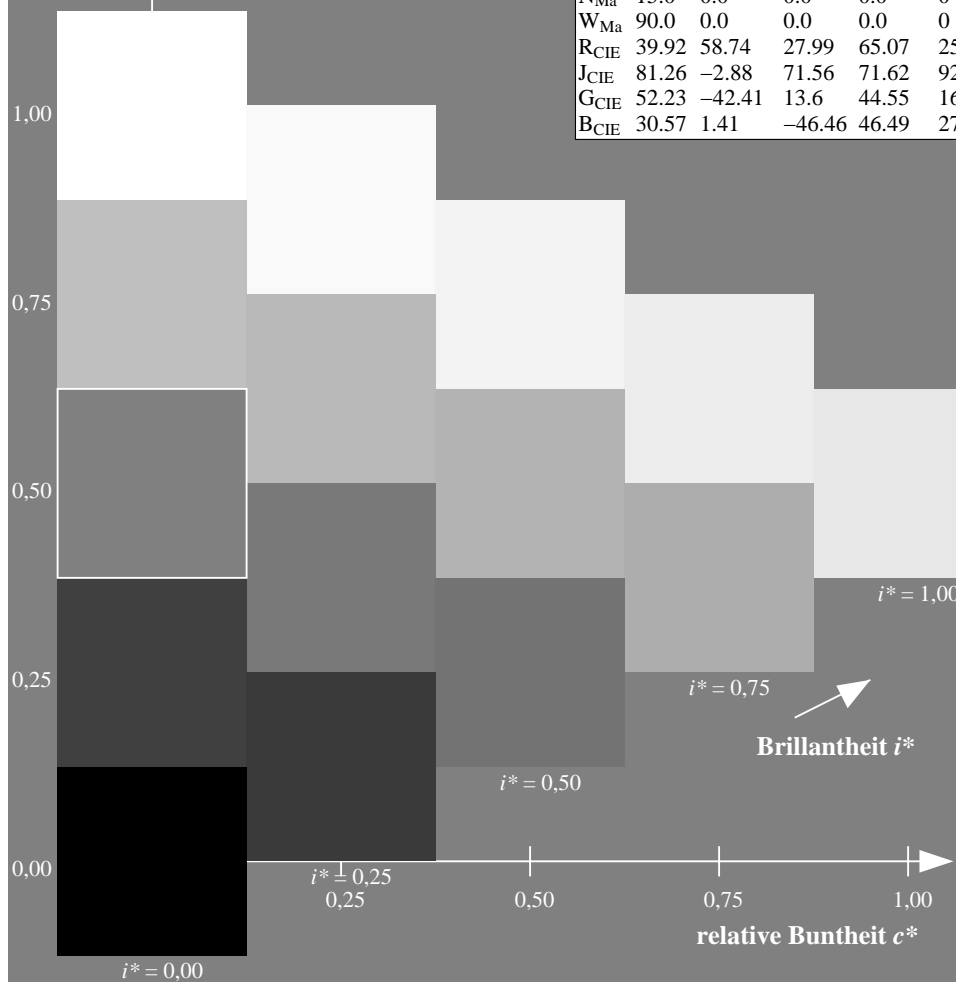
%Regularität

$g^*_{H,rel} = 31$

$g^*_{C,rel} = 40$

FRS15_90a; adaptierte CIELAB-Daten

	$L^*=L_a^*$	a_a^*	b_a^*	$C_{ab,a}^*$	$h_{ab,a}^*$
r00j	35.47	56.92	27.12	63.05	25
r25j	39.12	49.04	44.45	66.19	42
r50j	50.64	35.19	58.33	68.13	59
r75j	64.01	19.11	74.45	76.87	76
j00g	83.18	-3.93	97.56	97.64	92
j25g	66.73	-26.86	74.66	79.35	110
j50g	54.03	-43.42	57.07	71.71	127
j75g	44.73	-54.21	38.33	66.4	145
g00b	47.59	-44.11	14.14	46.33	162
g25b	49.97	-35.68	-6.03	36.19	190
g50b	51.85	-29.05	-21.88	36.38	217
g75b	46.92	-15.53	-32.37	35.92	244
b00r	37.91	1.15	-38.05	38.08	272
b25r	23.81	27.31	-46.96	54.33	300
b50r	29.52	62.07	-37.87	72.72	329
b75r	36.48	64.24	-3.31	64.33	357



Ein und Ausgabe: Farbmetrisches Drucker-Reflektiv-System FRS15_90a für relativen CIELAB-Buntton $h^* = lab^*h^* = h_{ab}/360 = 244/360 = 0.679$

Daten für jede Farbe:

lab^*ch^* und lab^*icu^*

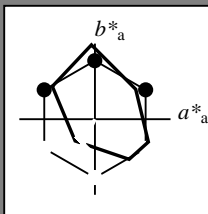
Elementar-Bunttontext:

$u^* = g75b$

Kontrastreduzierungsfaktor:

$c_R = 0.9$

Dreiecks-Helligkeit i^*



FRS15_90a; adaptierte CIELAB-Daten

	$L^*=L^*_a$	a^*_a	b^*_a	$C^*_{ab,a}$	$h^*_{ab,a}$
O _{Ma}	35.06	53.93	39.55	66.88	36
Y _{Ma}	83.77	-4.63	98.26	98.37	93
L _{Ma}	44.13	-56.32	43.36	71.09	142
C _{Ma}	52.66	-26.18	-28.74	38.89	228
V _{Ma}	14.15	45.22	-53.06	69.72	310
M _{Ma}	37.37	70.69	-30.1	76.83	337
N _{Ma}	15.0	0.0	0.0	0.0	0
W _{Ma}	90.0	0.0	0.0	0.0	0
R _{CIE}	39.92	58.74	27.99	65.07	25
J _{CIE}	81.26	-2.88	71.56	71.62	92
G _{CIE}	52.23	-42.41	13.6	44.55	162
B _{CIE}	30.57	1.41	-46.46	46.49	272

Daten für Maximalfarbe (Ma):

$LAB^*LAB^*_{Ma}$: 47 -15 -31

$LAB^*LCH^*_{Ma}$: 47 36 244

$lab^*rgb^*_{Ma}$: 0.0 0.5 1.0

$lab^*olv^*_{Ma}$: 0.0 0.85 1.0

Dreiecks-Helligkeit i^*

%Umfang

$u^*_{rel} = 88$

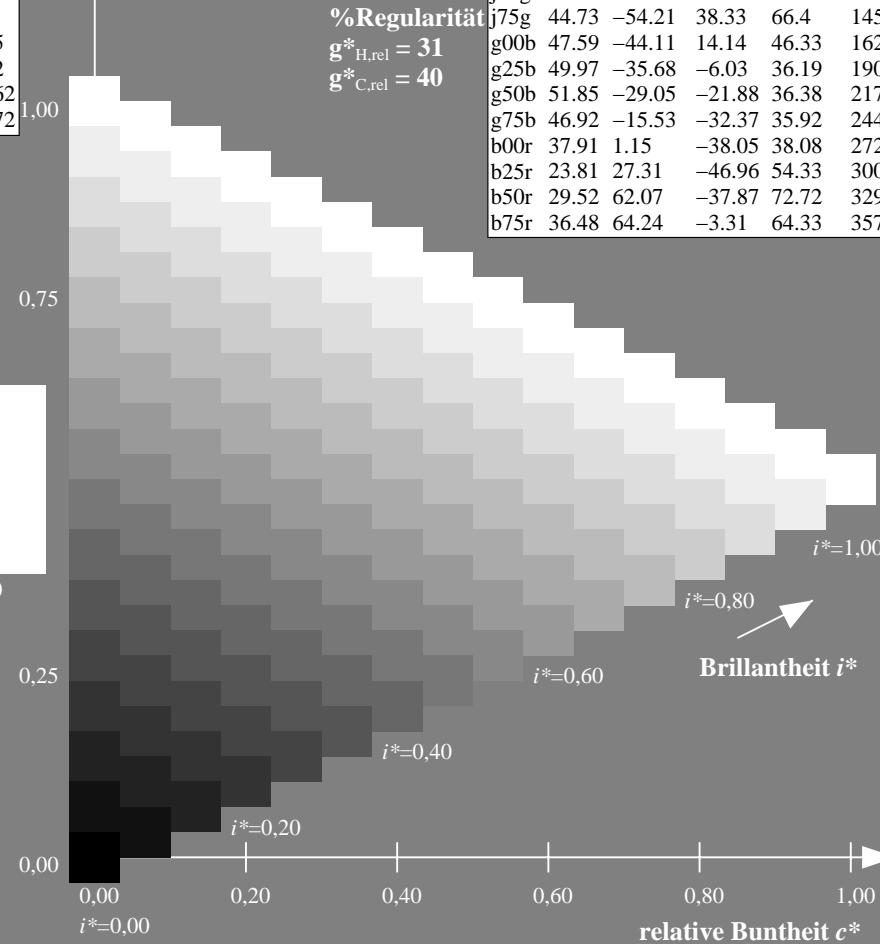
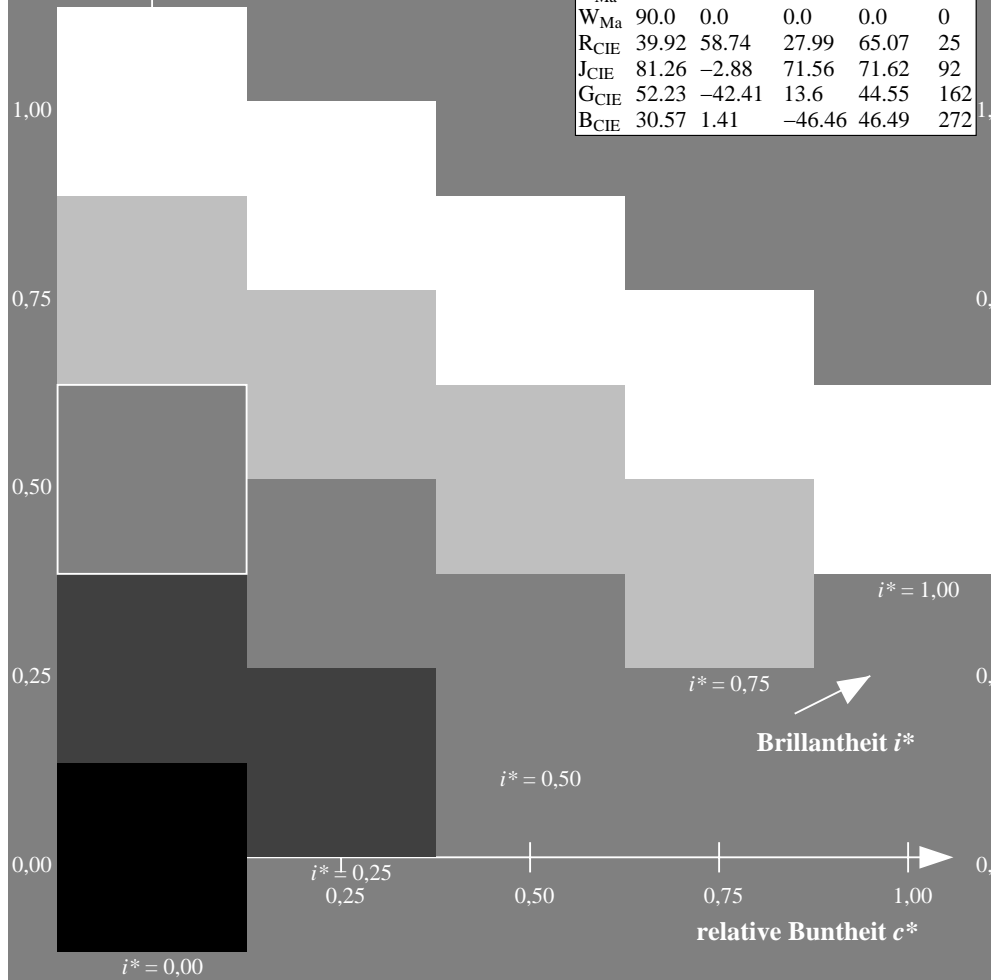
%Regularität

$g^*_{H,rel} = 31$

$g^*_{C,rel} = 40$

FRS15_90a; adaptierte CIELAB-Daten

	$L^*=L^*_a$	a^*_a	b^*_a	$C^*_{ab,a}$	$h^*_{ab,a}$
r00j	35.47	56.92	27.12	63.05	25
r25j	39.12	49.04	44.45	66.19	42
r50j	50.64	35.19	58.33	68.13	59
r75j	64.01	19.11	74.45	76.87	76
j00g	83.18	-3.93	97.56	97.64	92
j25g	66.73	-26.86	74.66	79.35	110
j50g	54.03	-43.42	57.07	71.71	127
j75g	44.73	-54.21	38.33	66.4	145
g00b	47.59	-44.11	14.14	46.33	162
g25b	49.97	-35.68	-6.03	36.19	190
g50b	51.85	-29.05	-21.88	36.38	217
g75b	46.92	-15.53	-32.37	35.92	244
b00r	37.91	1.15	-38.05	38.08	272
b25r	23.81	27.31	-46.96	54.33	300
b50r	29.52	62.07	-37.87	72.72	329
b75r	36.48	64.24	-3.31	64.33	357



Ein und Ausgabe: Farbmetrisches Drucker-Reflektiv-System FRS15_90a für relativen CIELAB-Buntton $h^* = lab^*h^* = h_{ab}/360 = 272/360 = 0.755$

Daten für jede Farbe:

lab^*ch^* und lab^*icu^*

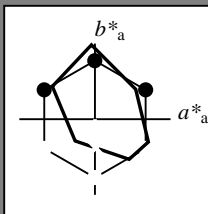
Elementar-Bunttontext:

$u^* = b00r$

Kontrastreduzierungsfaktor:

$c_R = 0.9$

Dreiecks-Helligkeit i^*



FRS15_90a; adaptierte CIELAB-Daten

	$L^*=L_a^*$	a_a^*	b_a^*	$C_{ab,a}^*$	$h_{ab,a}^*$
O _{Ma}	35.06	53.93	39.55	66.88	36
Y _{Ma}	83.77	-4.63	98.26	98.37	93
L _{Ma}	44.13	-56.32	43.36	71.09	142
C _{Ma}	52.66	-26.18	-28.74	38.89	228
V _{Ma}	14.15	45.22	-53.06	69.72	310
M _{Ma}	37.37	70.69	-30.1	76.83	337
N _{Ma}	15.0	0.0	0.0	0.0	0
W _{Ma}	90.0	0.0	0.0	0.0	0
R _{CIE}	39.92	58.74	27.99	65.07	25
J _{CIE}	81.26	-2.88	71.56	71.62	92
G _{CIE}	52.23	-42.41	13.6	44.55	162
B _{CIE}	30.57	1.41	-46.46	46.49	272

Daten für Maximalfarbe (Ma):

LAB^*LAB^*Ma : 38 1 -37

LAB^*LCH^*Ma : 38 38 272

lab^*rgb^*Ma : 0.0 0.0 1.0

lab^*olv^*Ma : 0.0 0.62 1.0

Dreiecks-Helligkeit i^*

%Umfang

$u^*_{rel} = 88$

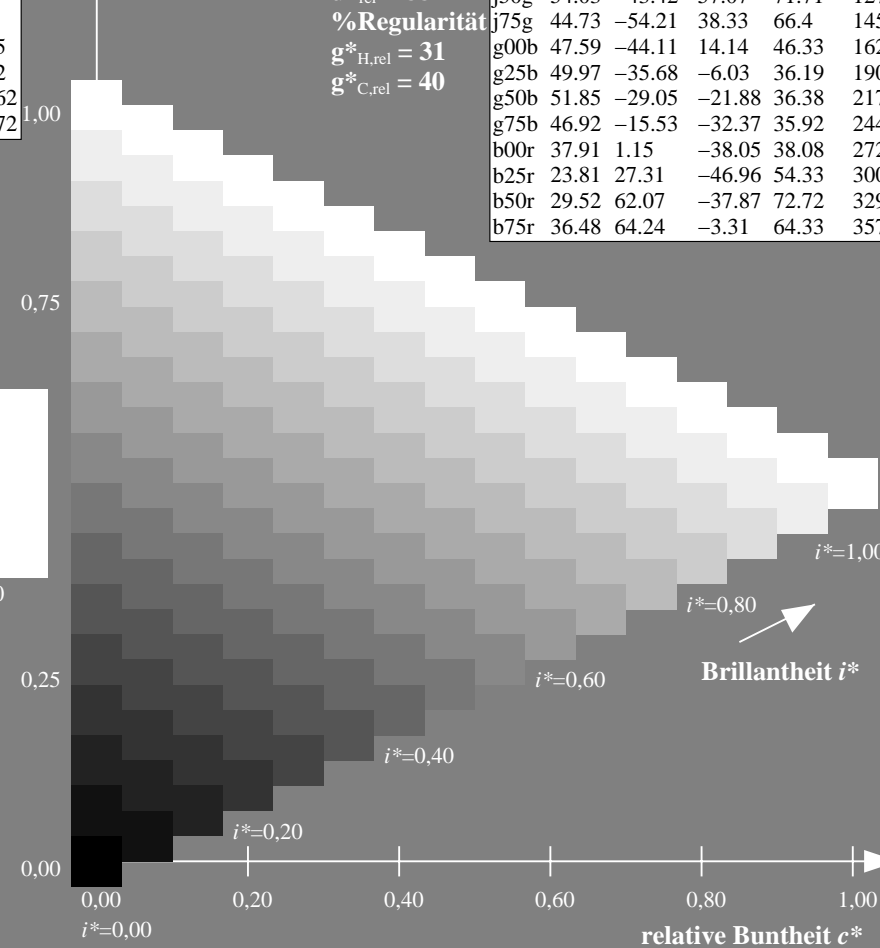
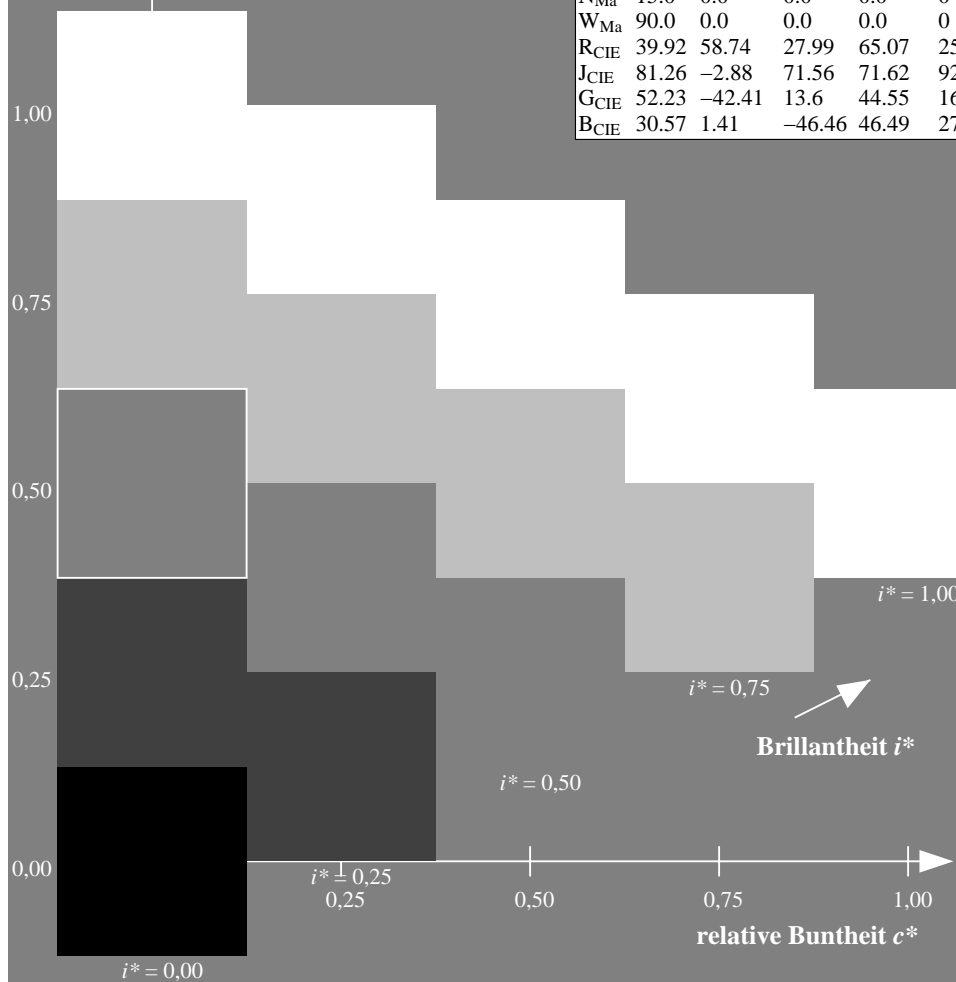
%Regularität

$g^*_{H,rel} = 31$

$g^*_{C,rel} = 40$

FRS15_90a; adaptierte CIELAB-Daten

	$L^*=L_a^*$	a_a^*	b_a^*	$C_{ab,a}^*$	$h_{ab,a}^*$
r00j	35.47	56.92	27.12	63.05	25
r25j	39.12	49.04	44.45	66.19	42
r50j	50.64	35.19	58.33	68.13	59
r75j	64.01	19.11	74.45	76.87	76
j00g	83.18	-3.93	97.56	97.64	92
j25g	66.73	-26.86	74.66	79.35	110
j50g	54.03	-43.42	57.07	71.71	127
j75g	44.73	-54.21	38.33	66.4	145
g00b	47.59	-44.11	14.14	46.33	162
g25b	49.97	-35.68	-6.03	36.19	190
g50b	51.85	-29.05	-21.88	36.38	217
g75b	46.92	-15.53	-32.37	35.92	244
b00r	37.91	1.15	-38.05	38.08	272
b25r	23.81	27.31	-46.96	54.33	300
b50r	29.52	62.07	-37.87	72.72	329
b75r	36.48	64.24	-3.31	64.33	357



Ein und Ausgabe: Farbmetrisches Drucker-Reflektiv-System FRS15_90a für relativen CIELAB-Buntton $h^* = lab^*h^* = h_{ab}/360 = 300/360 = 0.834$

Daten für jede Farbe:

lab^*ch^* und lab^*icu^*

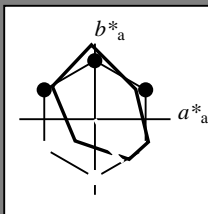
Elementar-Bunttontext:

$u^* = b25r$

Kontrastreduzierungsfaktor:

$c_R = 0.9$

Dreiecks-Helligkeit i^*



FRS15_90a; adaptierte CIELAB-Daten

	$L^*=L_a^*$	a_a^*	b_a^*	$C_{ab,a}^*$	$h_{ab,a}^*$
O _{Ma}	35.06	53.93	39.55	66.88	36
Y _{Ma}	83.77	-4.63	98.26	98.37	93
L _{Ma}	44.13	-56.32	43.36	71.09	142
C _{Ma}	52.66	-26.18	-28.74	38.89	228
V _{Ma}	14.15	45.22	-53.06	69.72	310
M _{Ma}	37.37	70.69	-30.1	76.83	337
N _{Ma}	15.0	0.0	0.0	0.0	0
W _{Ma}	90.0	0.0	0.0	0.0	0
R _{CIE}	39.92	58.74	27.99	65.07	25
J _{CIE}	81.26	-2.88	71.56	71.62	92
G _{CIE}	52.23	-42.41	13.6	44.55	162
B _{CIE}	30.57	1.41	-46.46	46.49	272

Daten für Maximalfarbe (Ma):

$LAB^*LAB^*_{Ma}$: 24 27 -46

$LAB^*LCH^*_{Ma}$: 24 54 300

$lab^*rgb^*_{Ma}$: 0.5 0.0 1.0

$lab^*olv^*_{Ma}$: 0.0 0.25 1.0

Dreiecks-Helligkeit i^*

%Umfang

$u^*_{rel} = 88$

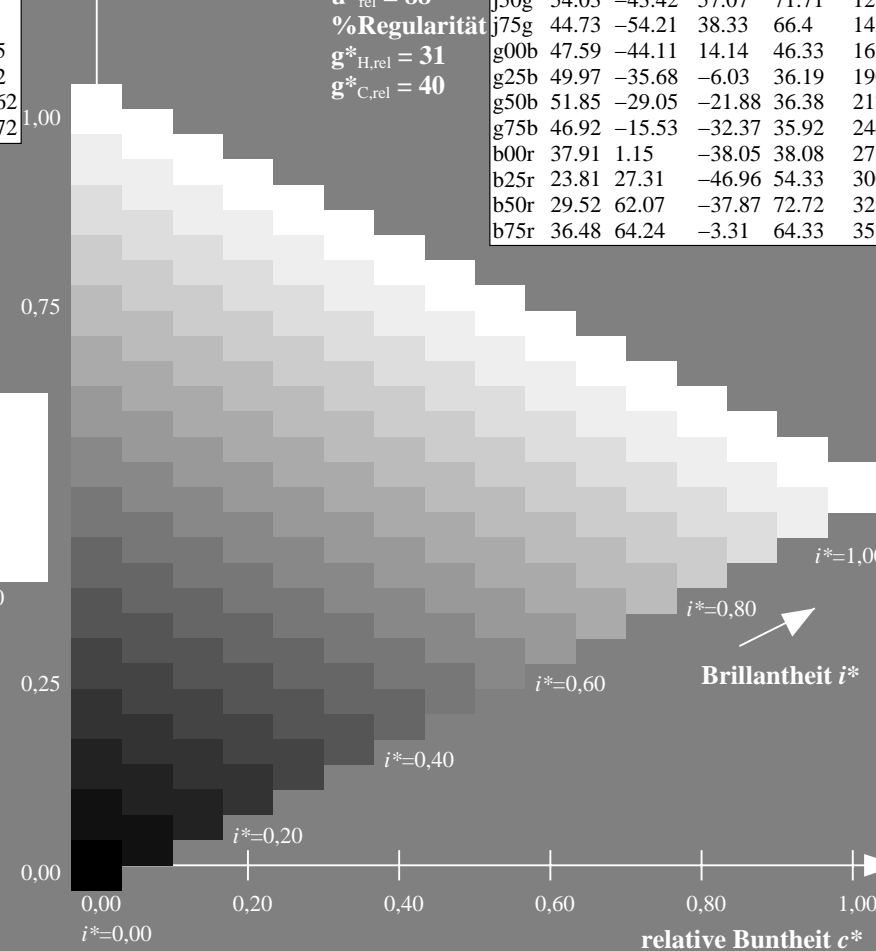
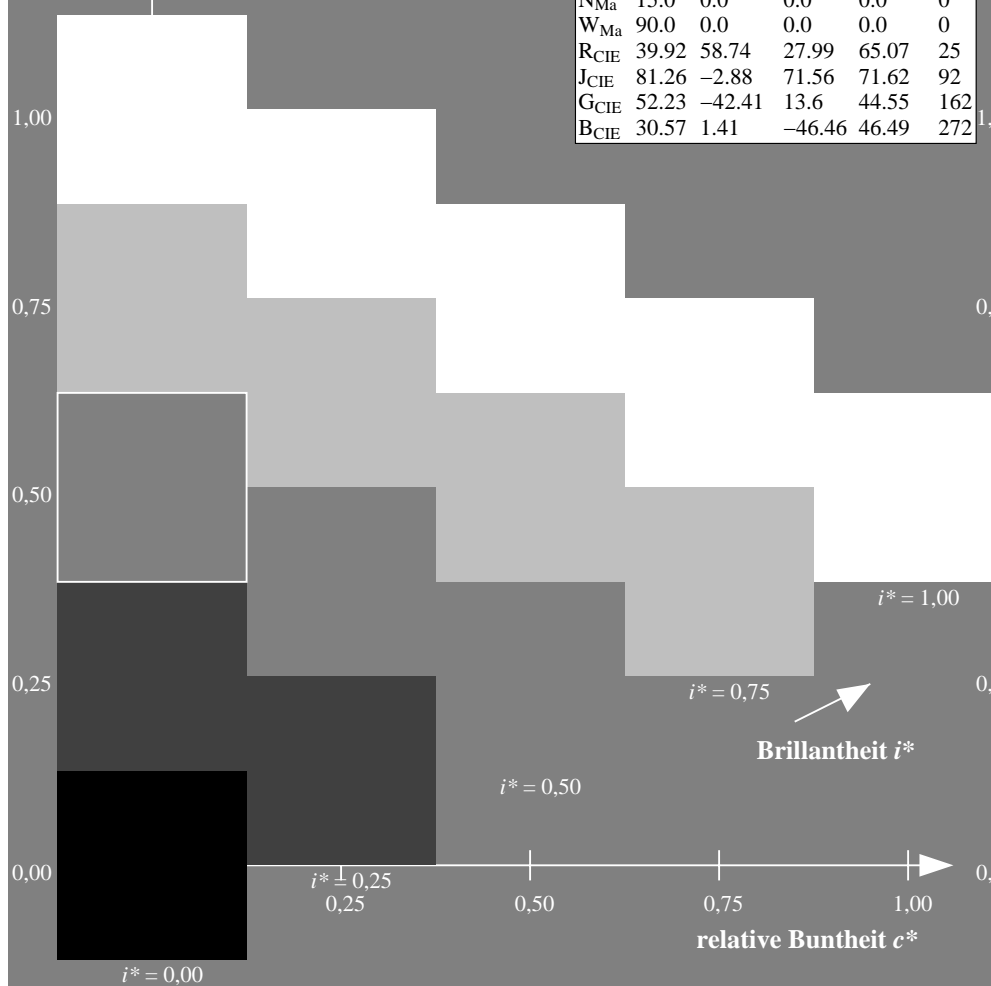
%Regularität

$g^*_{H,rel} = 31$

$g^*_{C,rel} = 40$

FRS15_90a; adaptierte CIELAB-Daten

	$L^*=L_a^*$	a_a^*	b_a^*	$C_{ab,a}^*$	$h_{ab,a}^*$
r00j	35.47	56.92	27.12	63.05	25
r25j	39.12	49.04	44.45	66.19	42
r50j	50.64	35.19	58.33	68.13	59
r75j	64.01	19.11	74.45	76.87	76
j00g	83.18	-3.93	97.56	97.64	92
j25g	66.73	-26.86	74.66	79.35	110
j50g	54.03	-43.42	57.07	71.71	127
j75g	44.73	-54.21	38.33	66.4	145
g00b	47.59	-44.11	14.14	46.33	162
g25b	49.97	-35.68	-6.03	36.19	190
g50b	51.85	-29.05	-21.88	36.38	217
g75b	46.92	-15.53	-32.37	35.92	244
b00r	37.91	1.15	-38.05	38.08	272
b25r	23.81	27.31	-46.96	54.33	300
b50r	29.52	62.07	-37.87	72.72	329
b75r	36.48	64.24	-3.31	64.33	357



Ein und Ausgabe: Farbmetrisches Drucker-Reflektiv-System FRS15_90a für relativen CIELAB-Buntton $h^* = lab^*h^* = h_{ab}/360 = 329/360 = 0.913$

Daten für jede Farbe:

lab^*ch^* und lab^*icu^*

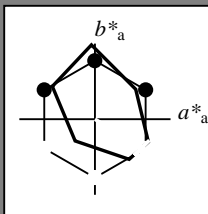
Elementar-Bunttontext:

$u^* = b50r$

Kontrastreduzierungsfaktor:

$c_R = 0.9$

Dreiecks-Helligkeit i^*



FRS15_90a; adaptierte CIELAB-Daten

	$L^*=L_a^*$	a_a^*	b_a^*	$C_{ab,a}^*$	$h_{ab,a}^*$
O _{Ma}	35.06	53.93	39.55	66.88	36
Y _{Ma}	83.77	-4.63	98.26	98.37	93
L _{Ma}	44.13	-56.32	43.36	71.09	142
C _{Ma}	52.66	-26.18	-28.74	38.89	228
V _{Ma}	14.15	45.22	-53.06	69.72	310
M _{Ma}	37.37	70.69	-30.1	76.83	337
N _{Ma}	15.0	0.0	0.0	0.0	0
W _{Ma}	90.0	0.0	0.0	0.0	0
R _{CIE}	39.92	58.74	27.99	65.07	25
J _{CIE}	81.26	-2.88	71.56	71.62	92
G _{CIE}	52.23	-42.41	13.6	44.55	162
B _{CIE}	30.57	1.41	-46.46	46.49	272

Daten für Maximalfarbe (Ma):

$LAB^*LAB^*_{Ma}$: 30 62 -37

$LAB^*LCH^*_{Ma}$: 30 73 329

$lab^*rgb^*_{Ma}$: 1.0 0.0 1.0

$lab^*olv^*_{Ma}$: 0.66 0.0 1.0

Dreiecks-Helligkeit i^*

%Umfang

$u^*_{rel} = 88$

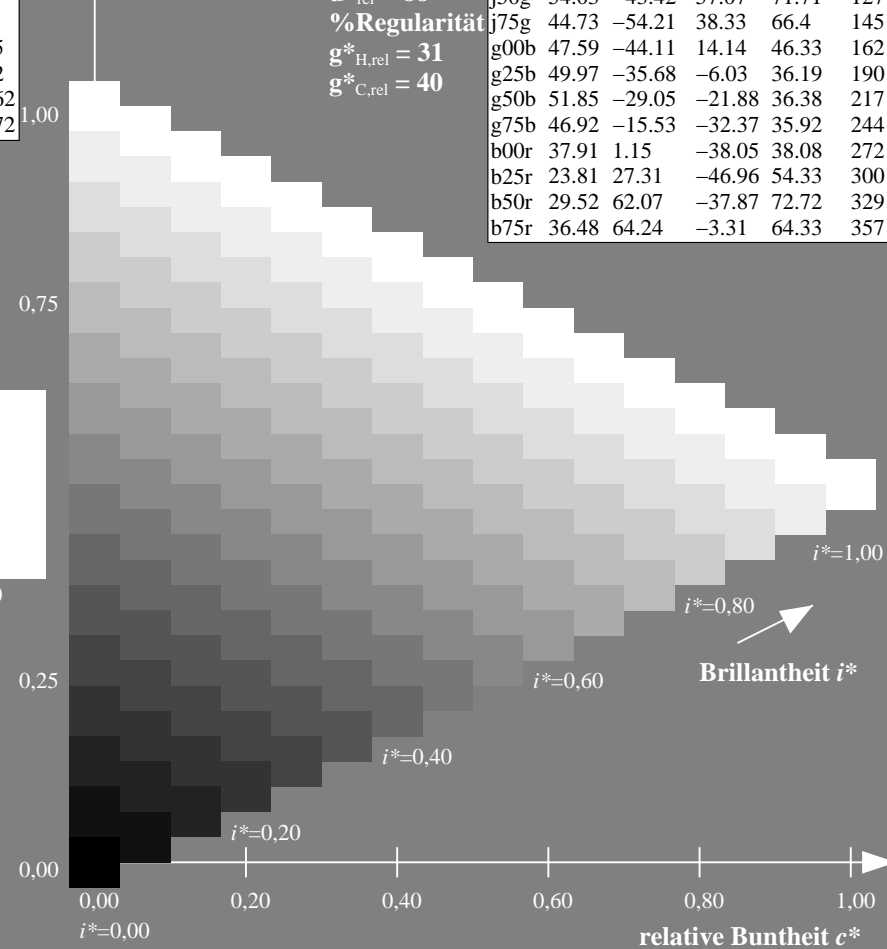
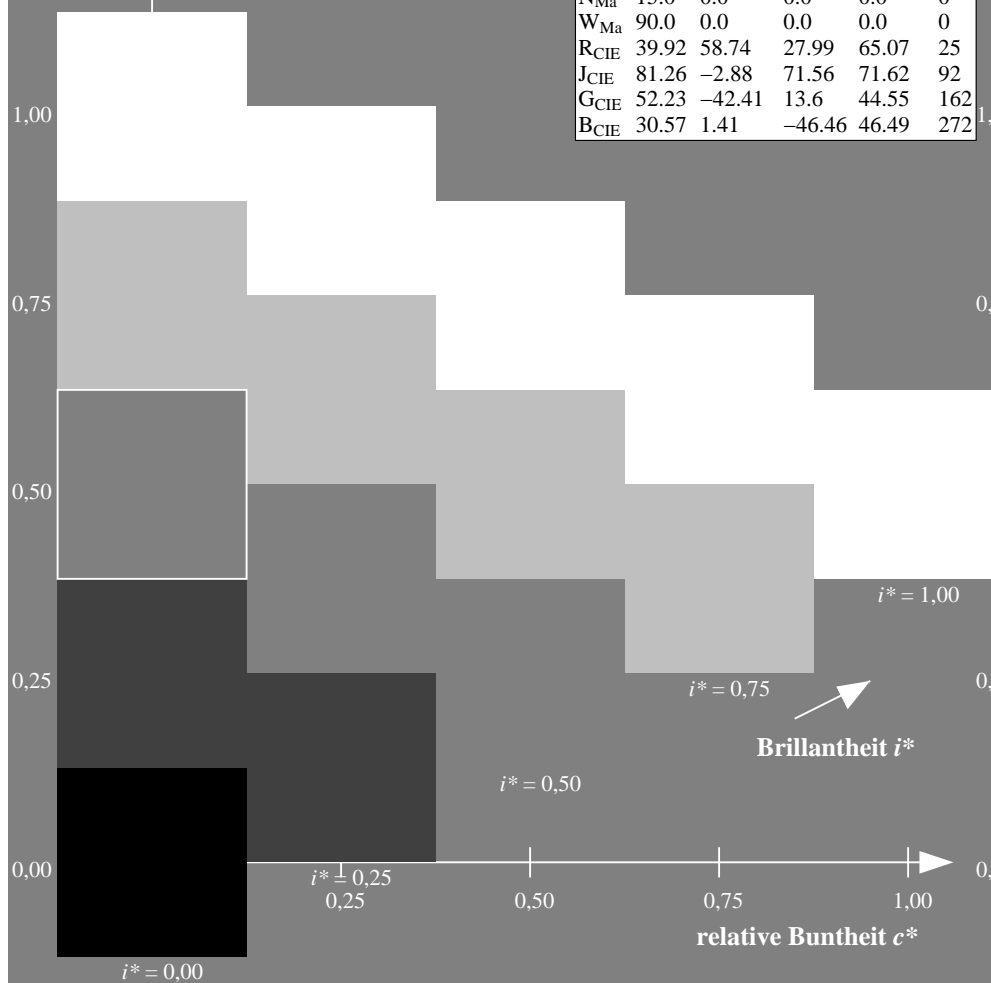
%Regularität

$g^*_{H,rel} = 31$

$g^*_{C,rel} = 40$

FRS15_90a; adaptierte CIELAB-Daten

	$L^*=L_a^*$	a_a^*	b_a^*	$C_{ab,a}^*$	$h_{ab,a}^*$
r00j	35.47	56.92	27.12	63.05	25
r25j	39.12	49.04	44.45	66.19	42
r50j	50.64	35.19	58.33	68.13	59
r75j	64.01	19.11	74.45	76.87	76
j00g	83.18	-3.93	97.56	97.64	92
j25g	66.73	-26.86	74.66	79.35	110
j50g	54.03	-43.42	57.07	71.71	127
j75g	44.73	-54.21	38.33	66.4	145
g00b	47.59	-44.11	14.14	46.33	162
g25b	49.97	-35.68	-6.03	36.19	190
g50b	51.85	-29.05	-21.88	36.38	217
g75b	46.92	-15.53	-32.37	35.92	244
b00r	37.91	1.15	-38.05	38.08	272
b25r	23.81	27.31	-46.96	54.33	300
b50r	29.52	62.07	-37.87	72.72	329
b75r	36.48	64.24	-3.31	64.33	357



Ein und Ausgabe: Farbmetrisches Drucker-Reflektiv-System FRS15_90a für relativen CIELAB-Buntton $h^* = lab^*h^* = h_{ab}/360 = 357/360 = 0.992$

Daten für jede Farbe:

lab^*tch^* und lab^*icu^*

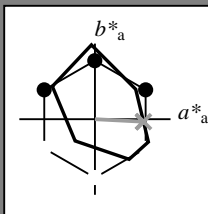
Elementar-Bunttontext:

$u^* = b75r$

Kontrastreduzierungsfaktor:

$c_R = 0.9$

Dreiecks-Helligkeit t^*



FRS15_90a; adaptierte CIELAB-Daten

	$L^*=L_a^*$	a_a^*	b_a^*	$C_{ab,a}^*$	$h_{ab,a}^*$
O _{Ma}	35.06	53.93	39.55	66.88	36
Y _{Ma}	83.77	-4.63	98.26	98.37	93
L _{Ma}	44.13	-56.32	43.36	71.09	142
C _{Ma}	52.66	-26.18	-28.74	38.89	228
V _{Ma}	14.15	45.22	-53.06	69.72	310
M _{Ma}	37.37	70.69	-30.1	76.83	337
N _{Ma}	15.0	0.0	0.0	0.0	0
W _{Ma}	90.0	0.0	0.0	0.0	0
R _{CIE}	39.92	58.74	27.99	65.07	25
J _{CIE}	81.26	-2.88	71.56	71.62	92
G _{CIE}	52.23	-42.41	13.6	44.55	162
B _{CIE}	30.57	1.41	-46.46	46.49	272

Daten für Maximalfarbe (Ma):

$LAB^*LAB^*_{Ma}$: 36 64 -2

$LAB^*LCH^*_{Ma}$: 36 64 357

$lab^*rgb^*_{Ma}$: 1.0 0.0 0.5

$lab^*olv^*_{Ma}$: 1.0 0.0 0.62

Dreiecks-Helligkeit t^*

%Umfang

$u^*_{rel} = 88$

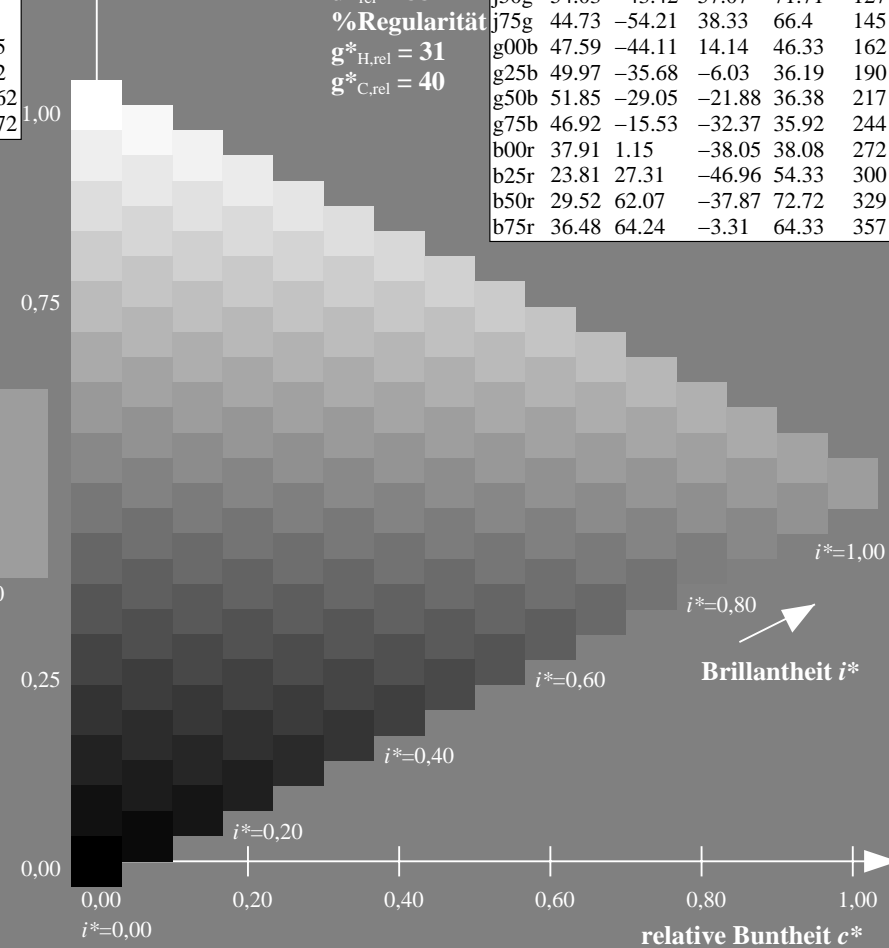
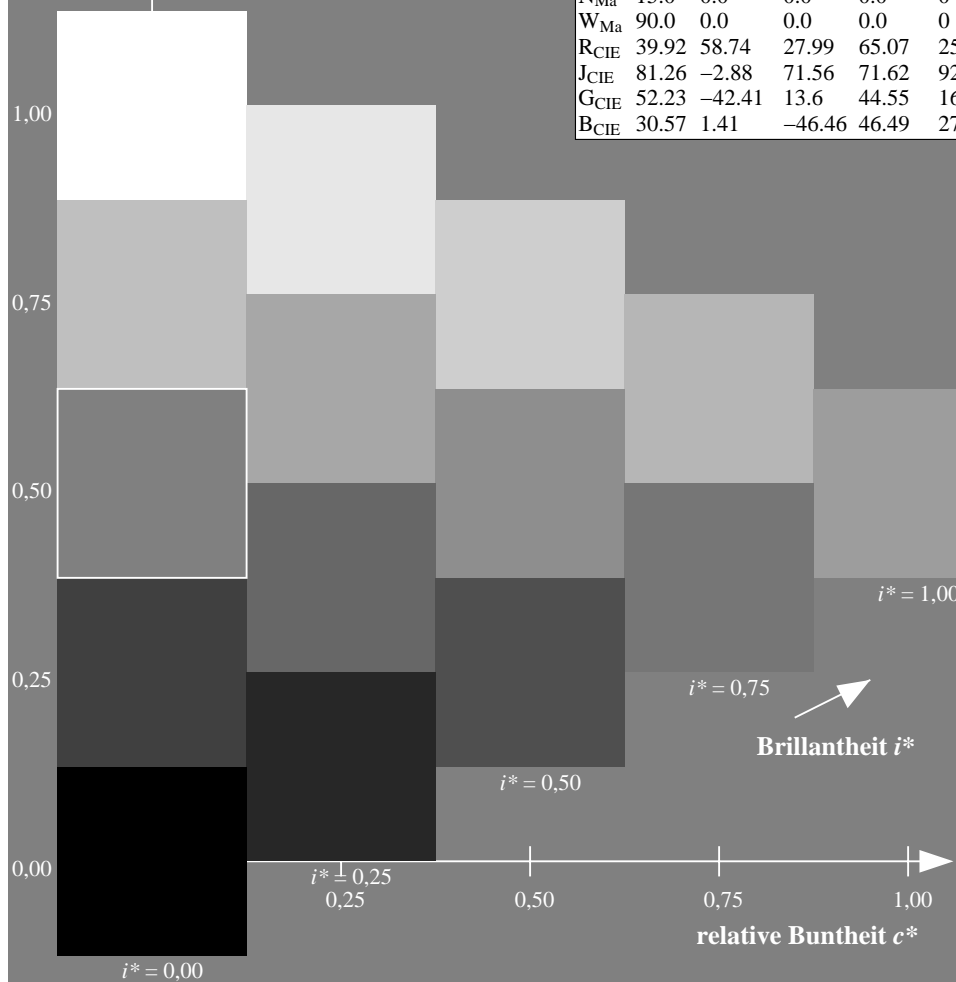
%Regularität

$g^*_{H,rel} = 31$

$g^*_{C,rel} = 40$

FRS15_90a; adaptierte CIELAB-Daten

	$L^*=L_a^*$	a_a^*	b_a^*	$C_{ab,a}^*$	$h_{ab,a}^*$
r00j	35.47	56.92	27.12	63.05	25
r25j	39.12	49.04	44.45	66.19	42
r50j	50.64	35.19	58.33	68.13	59
r75j	64.01	19.11	74.45	76.87	76
j00g	83.18	-3.93	97.56	97.64	92
j25g	66.73	-26.86	74.66	79.35	110
j50g	54.03	-43.42	57.07	71.71	127
j75g	44.73	-54.21	38.33	66.4	145
g00b	47.59	-44.11	14.14	46.33	162
g25b	49.97	-35.68	-6.03	36.19	190
g50b	51.85	-29.05	-21.88	36.38	217
g75b	46.92	-15.53	-32.37	35.92	244
b00r	37.91	1.15	-38.05	38.08	272
b25r	23.81	27.31	-46.96	54.33	300
b50r	29.52	62.07	-37.87	72.72	329
b75r	36.48	64.24	-3.31	64.33	357



Siehe ähnliche Dateien: <http://www.ps.bam.de/Dg71/>; www.ps.bam.de/Dg71/10L/L71G00NA.PS/.TXT
Technische Information: <http://www.ps.bam.de> Version 2.1, io=1,1, ColSpx=0

BAM-Registrierung: 20080701-Dg71/10L/L71G00NA.PS/.TXTBAM-Material: Code=rh4ta
Anwendung für Beurteilung und Messung von Drucker- oder Monitorsystemen

